

E78 GROSSETO - FANO
Tratto Nodo di Arezzo – Selci – Lama (E45)
Adeguamento a quattro corsie del tratto
San Zeno – Arezzo – Palazzo del Pero, 1° lotto

PROGETTO DEFINITIVO

FI 508

ANAS - DIREZIONE PROGETTAZIONE E REALIZZAZIONE LAVORI

IL GEOLOGO

Dott. Geol. Roberto Salucci
 Ordine dei geologi
 della Regione Lazio n. 633

**COORDINATORE PER LA SICUREZZA
 IN FASE DI PROGETTAZIONE**

Arch. Santo Salvatore Vermiglio
 Ordine Architetti
 Provincia di Reggio Calabria n. 1270

VISTO: IL RESP. DEL PROCEDIMENTO

Ing. Francesco Pisani

VISTO: IL RESP. DEL PROGETTO

Arch.Pianif. Marco Colazza

I PROGETTISTI SPECIALISTICI

Ing. Ambrogio Signorelli
 Ordine Ingegneri
 Provincia di Roma n. A35111

Ing. Moreno Panfili

Ordine Ingegneri
 Provincia di Perugia n. A2657
 (Mandante)

Ing. Matteo Bordugo

Ordine Ingegneri
 Provincia di Pordenone n. 790A
 (Mandante)

Ing. Giuseppe Pesta

Ordine Ingegneri
 Provincia di Roma n. 20629

PROGETTAZIONE ATI:
 (Mandataria)

GPINGEGNERIA

GESTIONE PROGETTI INGEGNERIA srl



cooprogetti

engeko

AIM
Studio di Architettura e Ingegneria Moderna

**IL PROGETTISTA RESPONSABILE DELL'INTEGRAZIONE DELLE PRESTAZIONI
 SPECIALISTICHE. (DPR207/10 ART 15 COMMA 12) :**

Dott. Ing. GIORGIO GUIDUCCI
 ORDINE INGEGNERI
 ROMA
 N° 14035

OPERE D'ARTE MAGGIORI

Asse principale

VI.10 – Viadotto Scopetone

Relazione di calcolo

CODICE PROGETTO

PROGETTO

LIV.PROG ANNO

DPFI508 D 23

NOME FILE

V01VI10STRRE01_B

REVISIONE

SCALA

**CODICE
 ELAB.**

V 0 1 V I 1 0 S T R R E 0 1

B

-

D

C

B

A

REV.

Revisione a seguito Istruttoria n°U. 0016028.09-01-2024

Gennaio '24

Cassarini

Bordugo

Guiducci

Emissione

Agosto '23

Cassarini

Bordugo

Guiducci

DESCRIZIONE

DATA

REDATTO

VERIFICATO

APPROVATO

INDICE

1. PREMESSA.....	4
1.1. DESCRIZIONE DELL'OPERA NUOVA.....	4
2. NORMATIVE DI RIFERIMENTO.....	6
3. CARATTERISTICHE MATERIALI.....	6
3.1. CALCESTRUZZO PER IMPALCATO.....	6
3.1. CALCESTRUZZO SOTTOTRUTTURE.....	8
3.2. ACCIAIO ORDINARIO PER ARMATURE.....	9
3.3. ACCIAIO PER CARPENTERIA.....	9
3.4. ACCIAIO E COPPIA DI SERRAGGIO DEI BULLONI.....	10
3.5. PIOLI CON TESTA TIPO "NELSON".....	10
3.6. GIUNZIONI SALDATE.....	10
4. VITA NOMINALE, CLASSE D'USO E PERIODO DI RIFERIMENTO.....	10
5. CLASSE DI ESECUZIONE.....	11
5.1. CLASSE DI IMPORTANZA.....	11
6. ANALISI DEI CARICHI DI PROGETTO.....	13
6.1. PESO PROPRIO DELLE STRUTTURE (G1).....	15
6.2. PESO PROPRIO FINITURE E PAVIMENTAZIONE (G2).....	16
6.3. EFFETTI DI RITIRO E VISCOSITÀ DEI CALCESTRUZZI (E2).....	19
6.4. EFFETTI DELLE VARIAZIONI TERMICHE (E3).....	21
6.4.1. <i>Variazioni termiche uniformi ΔTN</i>	21
6.4.2. <i>Variazioni termiche differenziali ΔTM</i>	22
6.5. EFFETTI DOVUTI ALLA VISCOSITÀ (E4).....	22
6.6. EFFETTI DEI CEDIMENTI DIFFERENZIALI (E5).....	25
6.7. CARICHI MOBILI (Q1).....	25
6.7.1. <i>Schema di carico</i>	25
6.7.2. <i>Disposizione delle corsie di carico</i>	26
6.8. CARICO DA TRAFFICO PER VERIFICHE A FATICA.....	28
6.8.1. <i>Metodi di verifica</i>	28
6.8.2. <i>Verifica dei dettagli di fatica</i>	29
6.9. AZIONE DI FRENAZIONE O ACCELERAZIONE (Q3).....	29
6.10. AZIONE CENTRIFUGA (Q4).....	29
6.11. AZIONE VENTO (Q5).....	29

6.11.1. <i>Velocità di riferimento</i>	29
6.11.2. <i>Pressione del vento</i>	30
6.11.3. <i>Coefficiente di esposizione</i>	30
6.11.4. <i>Azione da vento</i>	33
6.12. AZIONE SISMICA (Q6).....	36
7. COMBINAZIONI DI CARICO.....	44
7.1. COMBINAZIONI PER GLI SLU.....	44
7.2. COMBINAZIONI PER GLI SLE.....	46
8. CODICE DI CALCOLO.....	46
9. DESCRIZIONE DEL MODELLO DI CALCOLO.....	47
10. FASI DI COSTRUZIONE.....	49
11. SEZIONI MEMBRATURE IMPALCATO.....	51
12. STATO DI SOLLECITAZIONE.....	76
12.1. TRAVI D'IMPALCATO.....	76
13. ANALISI SISMICA DELLA STRUTTURA.....	83
14. APPARECCHI DI APPOGGIO E GIUNTI.....	89
15. STATO DI DEFORMAZIONE IN ESERCIZIO.....	93
16. VERIFICHE STRUTTURALI.....	94
16.1. VERIFICA DI RESISTENZA.....	95
16.1.1. <i>Verifica a flessione</i>	98
16.1.2. <i>Verifica a sforzo di taglio</i>	101
16.1.3. <i>Verifica all'instabilità flesso torsionale</i>	103
16.1.1. <i>Verifica connessione trave-soletta</i>	105
16.2. VERIFICHE ESTESE.....	110
16.2.1. <i>sezione di mezzeria</i>	110
16.2.1. <i>sezione di pila</i>	129
17. VERIFICHE A FATICA.....	145
17.1. INTRODUZIONE.....	145
17.2. MODELLO DI CARICO A FATICA.....	145
17.3. COEFFICIENTI PARZIALI PER LA RESISTENZA A FATICA.....	146
17.4. METODI DI VERIFICA.....	146
17.5. VERIFICA DEI DETTAGLI DI FATICA.....	147
18. SOLETTA D'IMPALCATO.....	149
18.1. DETERMINAZIONE DELLE SOLLECITAZIONI.....	151

PROGETTAZIONE ATI:

GPI INGEGNERIA
GESTIONE PROGETTI INGEGNERIA srl


cooprogetti




Studio di Architettura e Ingegneria Moderna

1.1.1	<i>Carichi permanenti.....</i>	153
1.1.2	<i>Condizione di carico a momento negativo sulla trave esterna.....</i>	155
1.1.3	<i>Condizione di carico a momento positivo.....</i>	158
18.1.1.	<i>Condizione di veicolo in svio.....</i>	161
19.	TRAVERSÌ.....	163
19.1.	TRAVERSO CORRENTE.....	163
19.2.	TRAVERSÌ IN APPOGGIO.....	169
20.	SPALLA.....	175
20.1.	SPINTE DEL TERRENO.....	178
20.2.	COMBINAZIONI PER GLI SLU PER LA VERIFICA DELLE SOTTOSTRUUTTURE.....	184
20.3.	VERIFICA DEL PLINTO DI FONDAZIONE.....	191
20.4.	VERIFICA DEL MURO FRONTALE.....	192
20.5.	VERIFICA DEL PARAGHIAIA.....	195
20.6.	VERIFICA DEL MURO DI RISVOLTO.....	199
21.	PILA203	
21.1.	PULVINO.....	220
21.2.	PILA P1-P3.....	220
21.1.	PILA P2.....	221
21.1.	FUSTO PILA.....	223
21.2.	RINGROSSO BASE PILA P1.....	223
21.1.	SEZIONE TIPICA Ø3000.....	224
22.	ACCETTABILITA' DEI RISULTATI (CAP.10.2 NTC2018).....	225

1. PREMESSA

La presente relazione contiene il progetto del nuovo viadotto di svincolo VI10 nell'ambito della progettazione per l'adeguamento a quattro corsie del tratto San Zeno – Arezzo – Palazzo del Pero, 1° lotto per il completamento della E78 GROSSETO – FANO - Tratto Nodo di Arezzo – Selci – Lama (E45).

1.1. DESCRIZIONE DELL'OPERA NUOVA

La struttura dell'impalcato ha uno schema statico a trave continua con la seguente scansione di luci 50+62+62+50 per complessivi 224m con una andamento planimetrico curvo, nel tratto centrale il raggio di curvatura minimo è di 62m).

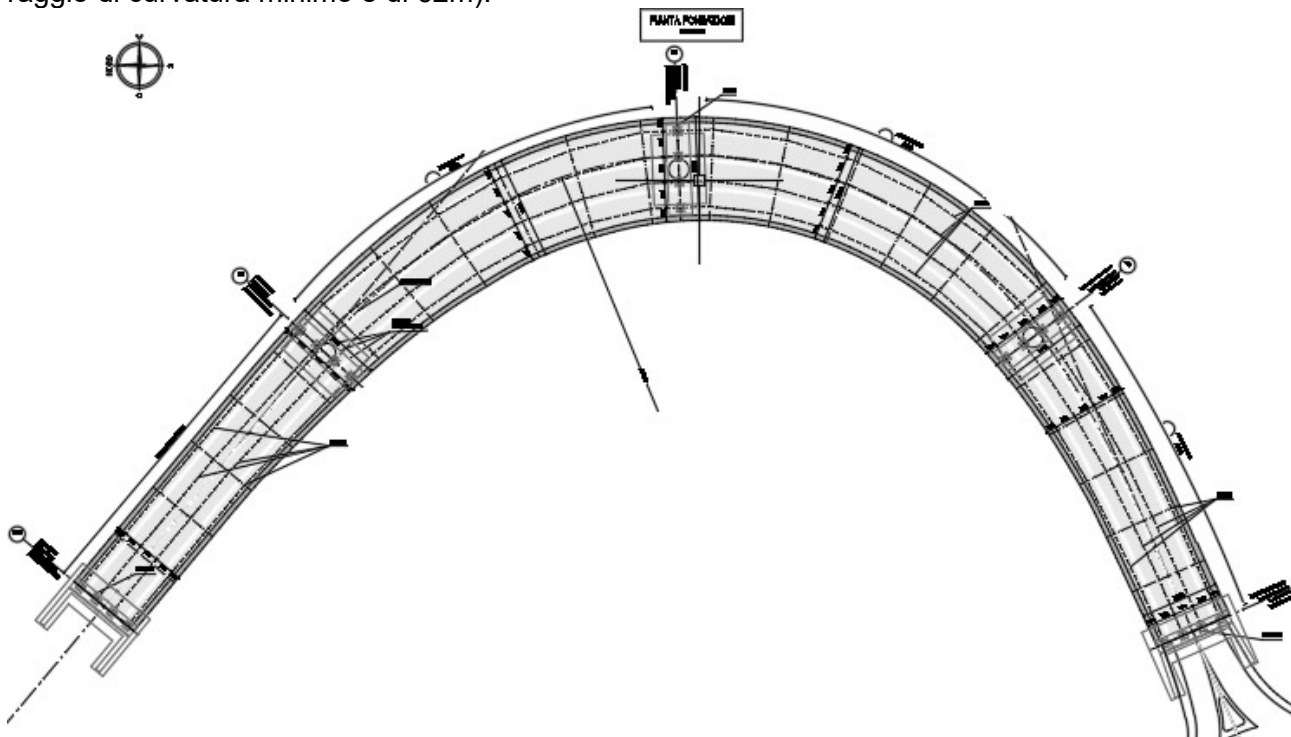


Figura 1.1 pianta

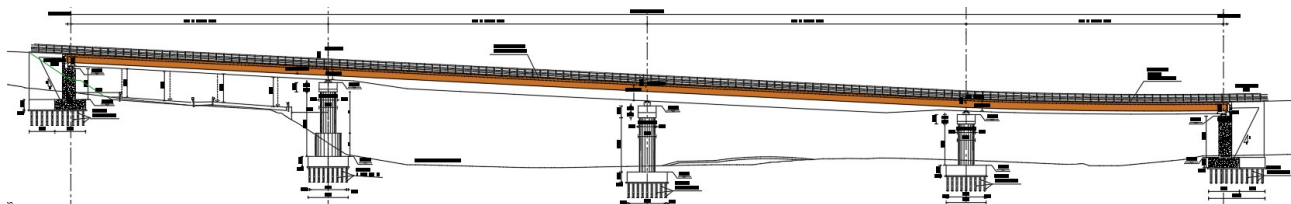


Figura 1.2 prospetto

L'impalcato è ripartito in due cordoli di lato 75cm ed una carreggiata di larghezza variabile da 10m sulla spalla a 13.86m in corrispondenza di P2.

PROGETTAZIONE ATI:

GPI INGEGNERIA
GESTIONE PROGETTI INGEGNERIA srl

 **cooprogetti**

 **engeko**

 **AIM**
Studio di Architettura e Ingegneria Moderna

L'impalcato ha un retrotrave pari a 0.60m.

Lo schema statico è a graticcio di trave nelle campate di riva, nelle campate centrali è stata inserita una controventatura inferiore per incrementare la rigidezza e compensare gli effetti legati alla l'elevata curvatura ed all'incremento della larghezza della carreggiata.

La sezione resistente è affidata ad una quattro travi in sistema misto acciaio-cls poste ad un interasse variabile da 3m in corrispondenza delle spalle a 3.8m in corrispondenza della pila centrale P2 con una altezza variabile da 1.8m sulle spalle fino a 2m sulle pile adiacenti, nel tratto centrale l'altezza delle travi è costante pari a 3m interasse con una altezza variabile da 2m in spalla a 3m in pila e nella campata centrale. La soletta ha uno spessore complessivo di 32cm costituito da 7cm di predalle e da 25cm di spessore gettato in opera.

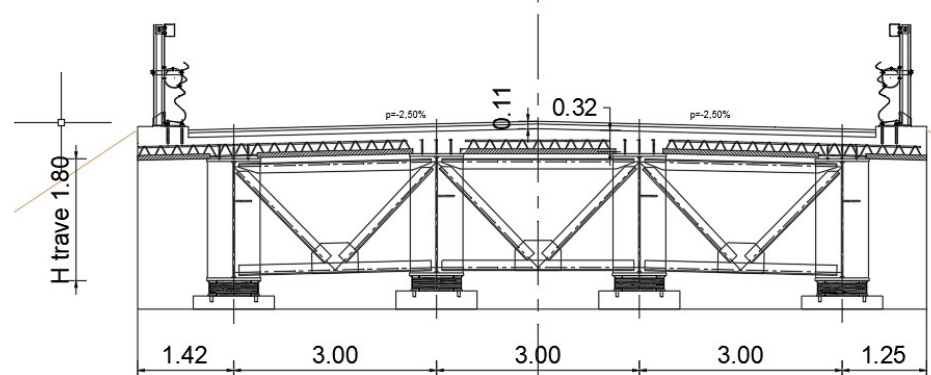


Figura 1.3 sezione di spalla.

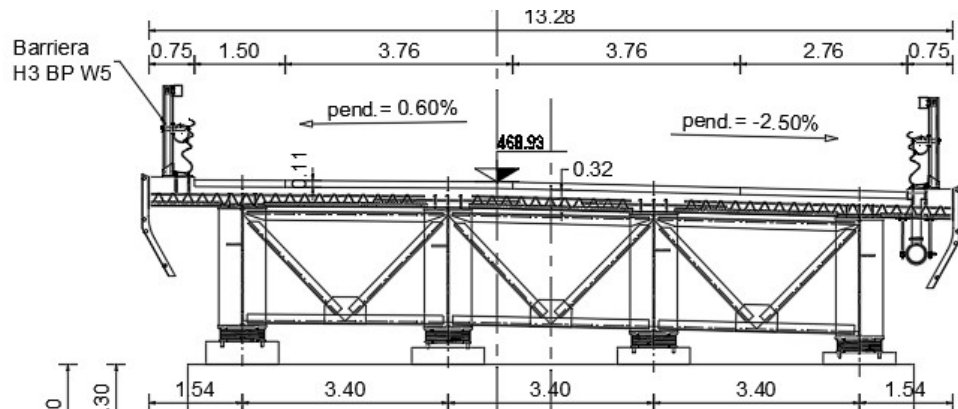


Figura 1.4 sezione su pile P1-P3.

OPERE D'ARTE MAGGIORI – ASSE COLLEGAMENTO PALAZZO DEL PERO - VI.10 - VIADOTTO SCOPETONE

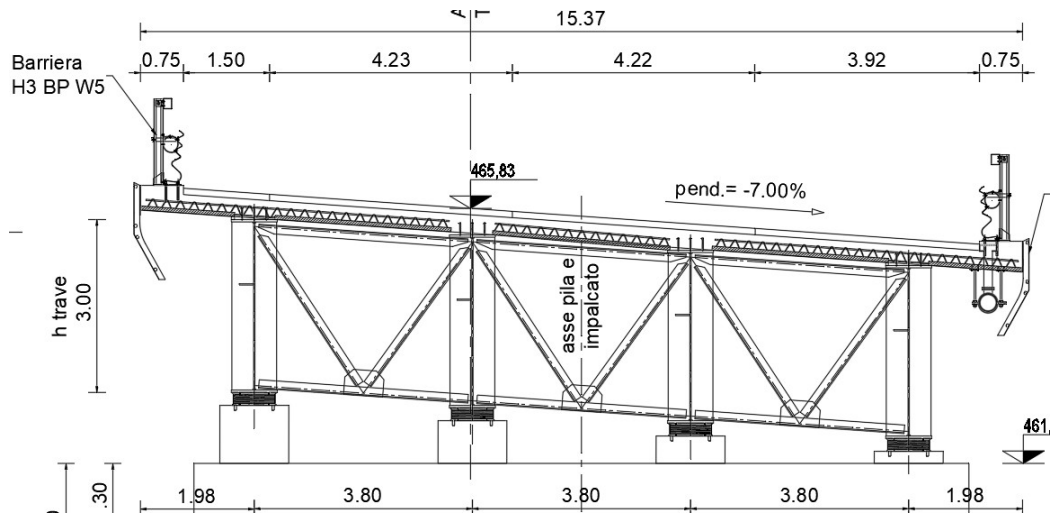


Figura 1.5 sezione su pila P2.

La collaborazione della soletta è affidata a pioli Nelson saldati alla piattabanda superiore.

Il passo dei traversi reticolari varia da 4m a 6m.

Le pile sono costituite da fusti circolari con diametro 3m con un pulvino superiore con uno spessore di 1.8m su p1 e p3, 2.3m su p2.

Alla base la fondazione è costituita da plinti di spessore 2m e dimensioni in pianta 7.8mx10.5m su micropali.

Le spalle sono realizzate su fondazioni C su micropali, il muro prontale ha uno spessore di 2.5m e supporta un paragliaia di spessore 40cm.

2. NORMATIVE DI RIFERIMENTO

Si riportano le Normative adottate per le verifiche delle singole componenti strutturali:

D.M. 17-01-2018 "Norme Tecniche per le Costruzioni" [NTC18]

UNI EN1991-2 "Azioni sulle strutture: carichi da traffico su ponti" [EC1-2]

UNI EN1991-1-5 "Azioni sulle strutture: azioni in generale-azioni termiche" [EC1-1-5]

UNI EN1991-1-7 "Azioni sulle strutture: azioni in generale-azioni eccezionali" [EC1-1-7]

UNI EN1992-1-1 "Progettazione delle strutture in calcestruzzo: regole generali e regole per gli edifici" [EC2-1]

UNI EN1993-1-1 "Progettazione delle strutture in acciaio: regole generali e regole per gli edifici" [EC3-1]

UNI EN1993-1-5 "Progettazione delle strutture in acciaio: elementi strutturali a lastra" [EC3-1-5]

UNI EN1993-1-8 "Progettazione delle strutture in acciaio: progettazione dei collegamenti" [EC3-1-8]

UNI EN1993-1-9 "Progettazione delle strutture in acciaio: fatica" [EC3-1-9]

UNI EN1993-2 "Progettazione delle strutture in acciaio: Ponti di acciaio" [EC3-1-8]

UNI EN1994-1-1 "Progettazione delle strutture in composte acciaio-calcestruzzo: progettazione dei collegamenti" [EC4-1-1]

3. CARATTERISTICHE MATERIALI

PROGETTAZIONE ATI:

GPI INGEGNERIA
GESTIONE PROGETTI INGEGNERIA srl


cooprogetti


engeko
Studio di Architettura e Ingegneria Moderna

3.1. CALCESTRUZZO PER IMPALCATO

SOLETTA 35/45

CALCESTRUZZO				NTC 2018
Classe C35/45				
<i>coefficiente di sicurezza</i> γ_c				1.5
<i>resistenza a compressione cilindrica caratteristica</i> f_{ck}				35 MPa
<i>resistenza a compressione cubica caratteristica</i> R_{ck}				45 MPa
<i>resistenza a compressione cilindrica media</i> f_{cm}				43.00 MPa
<i>resistenza a trazione semplice media</i> f_{ctm}				3.21 MPa
<i>resistenza a trazione semplice caratteristica</i> f_{ctk}				2.25 MPa
<i>resistenza a trazione per flessione media</i> f_{cfm}				3.85 MPa
<i>resistenza a trazione per flessione caratteristica</i> f_{cfk}				2.70 MPa
<i>modulo elastico</i> E_{cm}				34077 MPa
<i>coefficiente di Poisson (cls non fessurato)</i> ν_{NF}				0.2 -
<i>coefficiente di Poisson (cls fessurato)</i> ν_F				0 -
<i>coefficiente di dilatazione termica</i> α				1.00E-05 1/°C
<i>densità</i> ρ				2500 kg/m³
<i>resistenza a compressione cilindrica di progetto allo SLU</i> f_{cd}				19.83 MPa
<i>resistenza a trazione cilindrica di progetto allo SLU</i> f_{ctd}				1.50 MPa
<i>tensione limite allo SLE nella comb. rara</i> $\sigma_{c,rara}$				21.00 MPa
<i>tensione limite allo SLE nella comb. quasi perm.</i> $\sigma_{c,q.perm.}$				15.75 MPa

Tali valori sono coerenti con quanto indicato nei quaderni tecnici Anas per strade non di montagna

Elemento strutturale	Classe di esposizione	Classe di resistenza minima	Rapporto A/C massimo	Classe di consistenza S (slump)	Dosaggio minimo di cemento (kg/m³)	Cemento	inerte max (mm)	copriferro su barre B450C (mm)
Solette in c.a. gettate in opera (1)	XC3 + XD1	C32/40	0,55	S4	320	-----	22	35
Predalles collaboranti con la soletta	XC3 + XD1	C40/50	0,45	(2)	350	-----	16	25
Impalcati in c.a. o in c.a.p. gettati in opera (1)	XC4 + XD1	C32/40	0,50	S5	340	-----	22	35
Elementi prefabbricati di impalcato (conci, travi, solette, ecc.)	XC4 + XD1	C40/50	0,50	(2)	340	-----	22	30
Parti in elevazione delle Pile:								
- pile a setti	XC4 + XD1	C28/35	0,55	S4	320	-----	22	40
- pile a setti costruite con casseri rampanti	XC4 + XD1	C28/35	0,55	S3	320	-----	22	40
- pile piene	XC4 + XD1	C28/35	0,55	S4	320	CEM IV	22	40
- pulvini "a mensola" (8)	XC4 + XD1	C32/40	0,50	S4	340	CEM IV	22	40
Parti in elevazione delle Spalle e dei Muri (muri di sostegno, muri d'ala, murandatori e muri di sottoscarpa)	XC4 + XD1 + XC2	C26/35	0,55	(4)	320	-----	22	35
Parti in elevazione dei Muri di controripa:								
- muri dotati di rivestimento protettivo sul lato di valle	XC3 + XC2	C26/35	0,55	(4)	320	-----	22	35
- muri non dotati di rivestimento protettivo sul lato di valle	XD3 + XC4 + XC2	C32/40	0,50	(4)	340	-----	32	46
Plinti di fondazione, pareti di pozzi aventi funzione strutturale definitiva ed eseguiti per sottomurazione								
- XC2	C25/30	0,60	S4	300	CEM IV	32	45	
- XC2 + XA1	C28/35	0,55	S4	320	CEM IV	32	45	
- XC2 + XA2	C32/40	0,50	S4	320	(3)	32	45	
Pali (esclusi quelli prefabbricati), diaframmi e riempimento di pozzi armati								
- XC2	C25/30	0,60	S5	300	CEM IV	32	75	
- XC2 + XA1	C26/35	0,55	S5	320	CEM IV	32	75	
- XC2 + XA2	C32/40	0,50	S5	320	(3)	32	75	
Sottofondazioni ("magroni"), cls per riempimenti pozzi non armati o debolmente armati	-----	C12/15	-----	-----	-----	-----	-----	-----
cls per opere aventi funzioni provvisorie	-----	C20/25	-----	-----	-----	-----	-----	(5)

PROGETTAZIONE ATI:

GPI INGEGNERIA
GESTIONE PROGETTI INGEGNERIA srl


cooprogetti




Studio di Architettura e Ingegneria Moderna

Valutando il copriferro minimo secondo quanto indicato nell'eurocodice 2 si ottiene un copriferro nominale minimo di 34mm.

COPRIFERRO				UNI EN 1992-1-1:2005
		Vita utile di progetto	50	anni
Copriferro estradosso				
	<i>Classe di esposizione (ai fini del copriferro)</i>	XC3		<i>par. 4.2, prosp. 4.1</i>
	<i>Classe di esposizione (ai fini della composizione)</i>	XC3		<i>par. 4.2, prosp. 4.1</i>
	<i>Controllo di qualità speciale della produzione del cls?</i>	No		<i>par. 4.4.1.2, prosp. 4.3N</i>
	<i>Classe strutturale</i>	S	2	<i>par. 4.4.1.2(5)</i>
<i>Copriferro minimo dovuto al requisito di aderenza (ferri sup)</i>	$c_{min,b,sup}$	24	mm	<i>par. 4.4.1.2(3)</i>
<i>Copriferro minimo dovuto alle condizioni ambientali</i>	$c_{min,dur}$	15	mm	<i>par. 4.4.1.2(5)</i>
<i>Margine di sicurezza</i>	$\Delta c_{dur,y}$	0	mm	<i>par. 4.4.1.2(6) e Appendice Nazionale</i>
<i>Riduzione del copriferro minimo per acciaio inox</i>	$\Delta c_{dur,st}$	0	mm	<i>par. 4.4.1.2(7) e Appendice Nazionale</i>
<i>Riduzione del copriferro minimo per protezione aggiuntiva</i>	$\Delta c_{dur,add}$	0	mm	<i>par. 4.4.1.2(8) e Appendice Nazionale</i>
Copriferro nominale minimo - strato superiore		$c_{nom,sup}$	34 mm	
<i>Margine di progetto per gli scostamenti</i>		$\Delta c_{dev,sup}$	10	mm <i>par. 4.4.1.3(1,3) e Appendice Nazionale</i>
<i>Copriferro minimo</i>		$c_{min,sup}$	24 mm	<i>par. 4.4.1.2(2)</i>
max		$c_{min,b,sup}$	24 mm	
		$c_{min,dur} + \Delta c_{dur,y} - \Delta c_{dur,st} - \Delta c_{dur,add}$	15 mm	
			10 mm	

Per quanto sopra esposto si considera un valore minimo di 35mm, tenuto conto la posizione e l'aggressività ambientale.

All'intradosso, essendo la soletta protetta dalla predalle collaboranti con la soletta pari a 25mm

Tabella C4.1.IV - Copriferri minimi in mm

			barre da c.a. elementi a piastra		barre da c.a. altri elementi		cavi da c.a.p. elementi a piastra		cavi da c.a.p. altri elementi	
C_{min}	C_0	ambiente	$C \geq C_0$	$C_{min} \leq C < C_0$	$C \geq C_0$	$C_{min} \leq C < C_0$	$C \geq C_0$	$C_{min} \leq C < C_0$	$C \geq C_0$	$C_{min} \leq C < C_0$
C25/30	C35/45	ordinario	15	20	20	25	25	30	30	35
C30/37	C40/50	aggressivo	25	30	30	35	35	40	40	45
C35/45	C45/55	molto ag.	35	40	40	45	45	50	50	50

Conglomerato cementizio per predalle collaboranti con la soletta:

- Classe di resistenza C40/50
- Diam. massimo inerte 16 mm
- Classe di consistenza secondo le specifiche di produzione del processo di prefabbricazione

3.2. CALCESTRUZZO SOTTOTRUTTURE

Conglomerato cementizio per sottofondazioni:

- Classe di resistenza C12/15
- Classe di consistenza -

PROGETTAZIONE ATI:

GPI INGEGNERIA
 GESTIONE PROGETTI INGEGNERIA srl


cooprogetti


engeko


AIM
 Studio di Architettura e Ingegneria Moderna

Conglomerato cementizio per pali di fondazione:

- Classe di resistenza C32/40
- Diam. massimo inerte 32 mm
- Classe di consistenza S5

Conglomerato cementizio per platee di fondazione di spalle e pile:

- Classe di resistenza C32/40
- Diam. massimo inerte 32 mm
- Classe di consistenza S4

Conglomerato cementizio per le strutture in elevazione delle spalle:

- Classe di resistenza C32/40
- Diam. massimo inerte 25 mm
- Classe di consistenza S4

Conglomerato cementizio per le strutture in elevazione delle pile:

- Classe di resistenza C32/40
- Diam. massimo inerte 25 mm
- Classe di consistenza S4

Conglomerato cementizio per baggioli:

- Classe di resistenza C35/45
- Diam. massimo inerte 25 mm
- Classe di consistenza S5

3.3. ACCIAIO ORDINARIO PER ARMATURE

Si utilizzeranno barre ad aderenza migliorata tipo B450C controllato in stabilimento, aventi le seguenti caratteristiche:

tensione caratteristica di snervamento $f_yk \geq f_{y,nom} = 450 \text{ MPa}$

tensione caratteristica di rottura $f_{tk} \geq f_{t,nom} = 540 \text{ MPa}$

modulo elastico $E_s = 210.000 \text{ MPa}$

$1.15 < (f_t / f_y)k < 1.35$

$(f_{y,eff} / f_{y,nom}) < 1.25$

$(Agt)k \geq 7.5\%$

con tensioni di progetto pari a:

- tensioni allo stato limite ultimo

$f_{yd} = 391 \text{ N/mm}^2$ con $\gamma_s = 1.15$

- tensioni allo stato limite esercizio

$\sigma_c = 0.8 f_{yk} = 360 \text{ N/mm}^2$ (nella c.c. rara)

3.4. ACCIAIO PER CARPENTERIA

La carpenteria metallica sarà realizzata in acciaio patinabile a resistenza alla corrosione migliorata: tipo S355J2W - per elementi saldati per spessori $t \leq 40 \text{ mm}$;

PROGETTAZIONE ATI:

GPI INGEGNERIA
GESTIONE PROGETTI INGEGNERIA srl


cooprogetti


engeko
Studio di Architettura e Ingegneria Moderna

tipo S355K2W per elementi saldati per spessori $t > 40$ mm;

tipo S355J2W - per elementi non saldati, piastre sciolte ed angolari

Gli acciai con spessori $t \leq 40$ mm devono essere conformi alle prescrizioni del D.M. 17.1.2018, dovendo presentare le seguenti caratteristiche:

- tensione di rottura a trazione
S355 ft ≥ 510 MPa
- tensione di snervamento fy ≥ 355 MPa
S355 fy ≥ 355 MPa
- modulo elastico Es = 210.000 MPa

Gli acciai con spessori $t > 40$ mm devono essere conformi alle prescrizioni del D.M. 17.1.2018, dovendo presentare le seguenti caratteristiche:

- tensione di rottura a trazione
S355 ft ≥ 470 MPa
- tensione di snervamento fy ≥ 355 MPa
S355 fy ≥ 335 MPa
- modulo elastico Es = 210.000 MPa

Vengono considerati elementi di carpenteria, quindi caratterizzati dalle specifiche sopra riportate anche le predalle metalliche, gli elementi di interfaccia e collegamento degli apparecchi di appoggio.

L'assemblaggio dei conci delle travi principali sarà realizzato mediante giunzioni saldate, secondo quanto riportato negli elaborati progettuali.

3.5. ACCIAIO E COPPIA DI SERRAGGIO DEI BULLONI

Le giunzioni bullonate saranno realizzate con bulloni ad alta resistenza per giunzioni ad attrito conformi alle specifiche contenute nel p.to 11.3.4.6.2 del D.M. 17.1.2018 e nella UNI EN 14399-1

- vite classe 10.9 (UNI EN 14399-4)
- dado classe 10 (UNI EN 14399-4)
- rosette classe C50 UNI EN 10083-5/6)

I bulloni dovranno essere montati con una rosetta sotto la testa della vite e una rosetta sotto il dado, inoltre dovranno essere contrassegnati con le indicazioni del produttore, la classe di resistenza e la marcatura CE.

I bulloni disposti verticalmente avranno la testa della vite rivolta verso l'alto e il dado verso il basso.

3.6. PIOLI CON TESTA TIPO “NELSON”

I pioli devono essere conformi alle specifiche contenute nel p.to 11.3.4.7 del D.M. 17.01.2018 e nella UNI EN 10025.

Vengono adottati pioli tipo Nelson $\Phi 19$ con altezza H=200 mm in acciaio S235J2G3+C450 caratterizzato da:

- resistenza a snervamento dell'acciaio fy ≥ 350 MPa;
- resistenza a rottura dell'acciaio fu ≥ 450 MPa;
- allungamento a rottura dell'acciaio maggiore del 15%;
- strizione a rottura dell'acciaio maggiore del 50%.

3.7. GIUNZIONI SALDATE

Le saldature dovranno essere realizzate secondo le indicazioni del D.M. 17.1.2018

PROGETTAZIONE ATI:

GPI INGEGNERIA
GESTIONE PROGETTI INGEGNERIA srl


cooprogetti




Studio di Architettura e Ingegneria Moderna

4. VITA NOMINALE, CLASSE D'USO E PERIODO DI RIFERIMENTO

Per quanto riguarda la vita nominale, con riferimento al par. 2.4.1 e alla tabella 2.4.I del D.M. 17/1/2018, qui riportata, si farà riferimento alla cat. 3, assumendo una vita nominale pari a $V_N = 50$ anni.

Tab. 2.4.I – Valori minimi della Vita nominale V_N di progetto per i diversi tipi di costruzioni

TIPI DI COSTRUZIONI		Valori minimi di V_N (anni)
1	Costruzioni temporanee e provvisorie	10
2	Costruzioni con livelli di prestazioni ordinari	50
3	Costruzioni con livelli di prestazioni elevati	100

La classe d'uso è la IV cui corrisponde un coefficiente d'uso $CU=2$

5. CLASSE DI ESECUZIONE

La determinazione della classe di esecuzione avviene nella fase di progettazione strutturale in cui vengono valutate le specifiche per la progettazione e la realizzazione della struttura.

La determinazione della classe di esecuzione viene fatta tenendo conto delle disposizioni nazionali, consultando, e collaborando in tale processo decisionale con tutte le figure che intervengono nella realizzazione dell'opera (costruttore, proprietario, responsabile del progetto) e seguendo le disposizioni nazionali nel luogo di utilizzo della struttura.

La procedura raccomandata per la determinazione della classe di esecuzione avviene in tre fasi: Selezione di una classe di importanza, espressa in termini di conseguenze prevedibili sia umane, che economiche o ambientali, di un guasto o di un cedimento di una componente.

Selezione di una categorie di servizio e di una di categoria di produzione.

Determinazione della classe di esecuzione dei risultati delle due scelte sopra riportate secondo il prospetto B3 della UNI EN 1090-2.

Fattori di amministrazione per la scelta della classe di esecuzione

5.1. CLASSE DI IMPORTANZA

Nell'Eurocodice 0_EN 1990 "Criteri generali di progettazione" all'appendice B Tabella B1 "differenziazione dell'affidabilità strutturale per le costruzioni" vengono riportate le classi di conseguenza in caso di malfunzionamento della struttura, definite in base all'impatto sulla popolazione, ambiente, vite umane, sociali.

CLASSE DI CONSEGUENZA (CCi)		DESCRIZIONE
CC3	Impatto elevato	Gravi conseguenze per perdite di vite umane, economiche o sociali. Oppure gravi conseguenze per l'ambiente

CC2	impatto medio	Conseguenze di media entità per perdite di vite umane, economiche, sociali, oppure considerevoli conseguenze per l'ambiente.
CC1	basso impatto	Lievi conseguenze per perdite di vite umane, economiche, sociali, oppure basse o trascurabili conseguenze per l'ambiente.

Rischi connessi con l'esecuzione

Tali pericoli possono derivare dalla complessità dell'esecuzione dei lavori e dalla incertezza nella esposizione e nella azioni della struttura che possono evidenziare difetti nella struttura durante il suo utilizzo.

Rischi potenziali sono connessi in particolari con:

- fattori di servizio derivanti dalle azioni di cui la struttura e le sue parti possono essere esposte durante il montaggio, l'utilizzo, e i livelli di sollecitazione nei componenti in relazione alla loro resistenza
- fattori di produzione derivanti dalla complessità della realizzazione della struttura e delle sue componenti, per esempio, applicazione di particolari tecniche, procedure o controlli.

Per spiegare questa differenziazione dei rischi in categorie di servizio sono state introdotte le categorie di produzione.

La categoria di produzione può essere determinata sulla base del prospetto B.2. delle UNI EN 1090:2

CATEGORIA DI PRODUZIONE (PC)		
PC1	no saldature e acciai con grado < S355	<ul style="list-style-type: none"> - Componenti non saldati e realizzati con qualunque grado di acciaio - Componenti saldati realizzati con acciaio di grado inferiore a S355
PC2	componenti saldati e acciaio con grado ≥S355	<ul style="list-style-type: none"> - Componenti saldati realizzati con acciaio di grado S355 e superiore - Componenti essenziali per l'integrità strutturale che vengono assemblati tramite saldatura sulla costruzione in situ - Componenti con formatura a caldo oppure che abbiano ricevuto un trattamento termico durante la produzione - Componenti di tralicci CHS che richiedono taglie profilature

Categoria di servizio - Rischi connessi con l'utilizzo della struttura

La categoria di servizio può essere determinata sulla base del prospetto B.1. delle UNI EN 1090:2

CATEGORIA	DEFINITE IN BASE ALLE	ESEMPI
-----------	-----------------------	--------

PROGETTAZIONE ATI:

GPI INGEGNERIA
GESTIONE PROGETTI INGEGNERIA srl


cooprogetti




AIM
Studio di Architettura e Ingegneria Moderna

DI SERVIZIO (SC)		SOLLECITAZIONI PREVISTE (dinamiche / statiche)	
SC1	sollecitazione statica	- Strutture e componenti progettati per azioni quasi-statiche	(Esempio: Edifici)
		- Strutture e componenti per connessioni progettate per resistere ad azioni simiche in regioni a bassa intensità sismica e DCL	DCL: Comportamento strutturale poco dissipativo (EN 1998 – Prospetto 6.1)
		- Strutture e componenti progettati per azioni a fatica da gru (Classe S0)	
SC2	sollecitazione dinamica a fatica	- Strutture e componenti progettati per azioni a fatica in accordo con EN 1993	(Esempio: ponti ferroviari e stradali, gru (da S1 a S9), strutture suscettibili a vibrazioni determinate dall'azione del vento, gru oppure macchine con funzione rotazionale)
		- Strutture e componenti le cui connessioni sono progettate per azioni sismiche in regioni con medio ed alto rischio sismico e in DCM e DCH	Comportamento strutturale (EN 1998 – Prospetto 6.1) DCM: mediamente dissipativo DCH: Altamente dissipativo

Determinazione della classe di esecuzione per la carpenteria metallica

- CLASSE DI CONSEGUENZA = CC2
- CLASSE DI SERVIZIO = SC2
- CATEGORIA DI PRODUZIONE = PC2

CLASSE DI ESECUZIONE

La classe di esecuzione è deducibile dalla tabella riportata nella 1090-2 appendice B

Tabella di determinazione della classe di esecuzione B.3. UNI EN 1090:2							
Classi di conseguenza		CC1		CC2		CC3	
Categorie di servizio		SC1	SC2	SC1	SC2	SC1	SC2
Categorie di produzione	PC1	EXC1	EXC2	EXC2	EXC3	EXC3	EXC3
	PC2	EXC2	EXC2	EXC2	EXC3	EXC3	EXC4

Per la carpenteria metallica della dell'impalcato in sistema misto acciaio-calcestruzzo la classe di esecuzione può essere assunta pari a EXC3.

6. ANALISI DEI CARICHI DI PROGETTO

Elenco delle condizioni Elementari di Carico

Si calcola l'opera sottoposta alle azioni indotte da:

- g1 peso proprio delle strutture: Acciaio-cls. di soletta

PROGETTAZIONE ATI:

GPI INGEGNERIA
GESTIONE PROGETTI INGEGNERIA srl


cooprogetti


engeko


AIM
Studio di Architettura e Ingegneria Moderna

- g2 carichi permanenti portati: pavimentazione, guardrails, marciapiedi, parapetti, cordoli
- ε 1 distorsioni di progetto
- ε 2 ritiro del calcestruzzo
- ε 3 variazioni termiche differenziali: Acciaio-cls.
- ε 4 effetti viscosi
- ε 5 cedimenti differenziali dei vincoli
- q1 carichi mobili
- q2 effetto dinamico dei carichi mobili
- q3 azioni longitudinali di frenamento
- q4 azione centrifuga
- q5 azioni del vento
- q8 azioni sui parapetti – urto di veicolo in svio

Tali azioni saranno combinate secondo le prescrizioni delle normative vigenti.

PROGETTAZIONE ATI:

GPI INGEGNERIA

GESTIONE PROGETTI INGEGNERIA srl


cooprogetti

engeko
Studio di Architettura e Ingegneria Moderna

6.1. PESO PROPRIO DELLE STRUTTURE (G1)

La sezione tipo dell'impalcato ha le seguenti caratteristiche

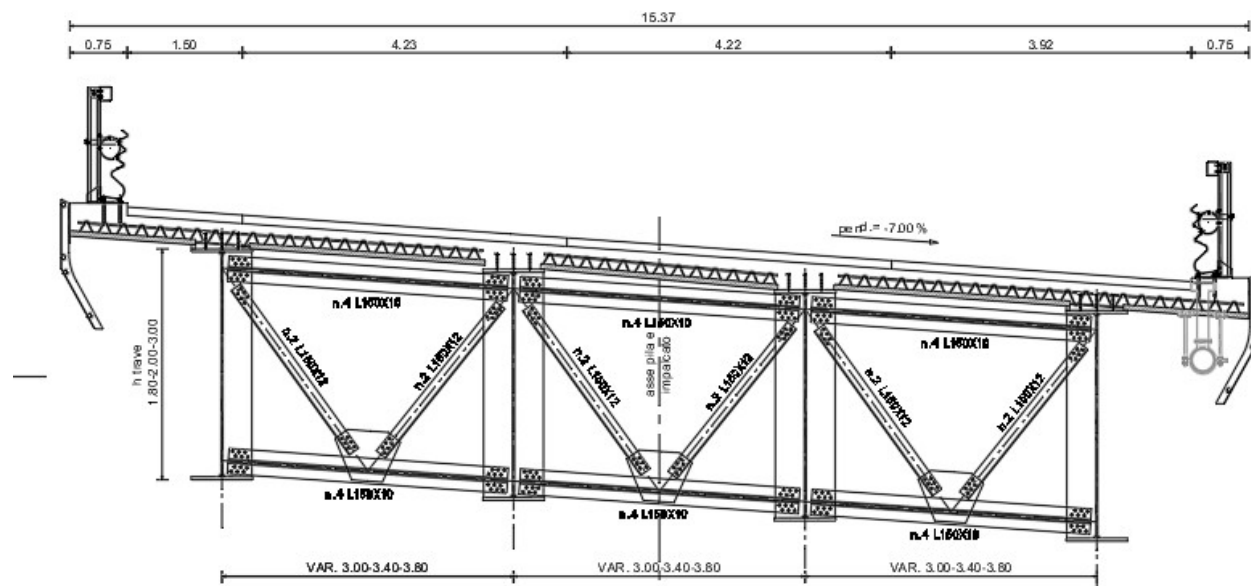


Figura 6.6 sezione tipo.

Larghezza impalcato (interasse travi)	7	m
Cordoli	0.75	m
h marciapiede	0.16	m
carreggiata	var	m

La soletta è eseguita su predalle metallica con spessore complessivo di 320mm comprensivo dello spessore del fondello della predalle di 70mm.

Per la determinazione dei carichi permanenti si sono adottati i seguenti pesi specifici dei materiali:

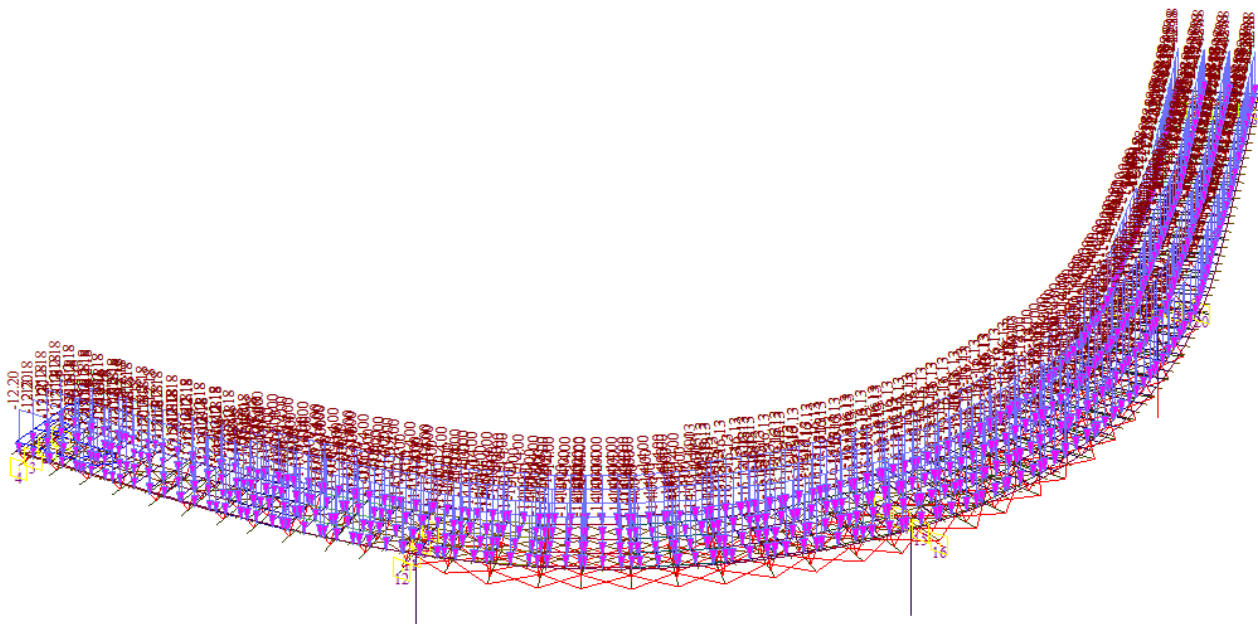
Peso getto cls	25	kN/mc
Peso pavimentazione	24	kN/mc
acciaio	78.5	kN/mc

Di seguito si riporta l'entità dei carichi a mq:

Soletta (getto+predalle) $25 \times 0.32 = 8 \text{ kN/m}^2$

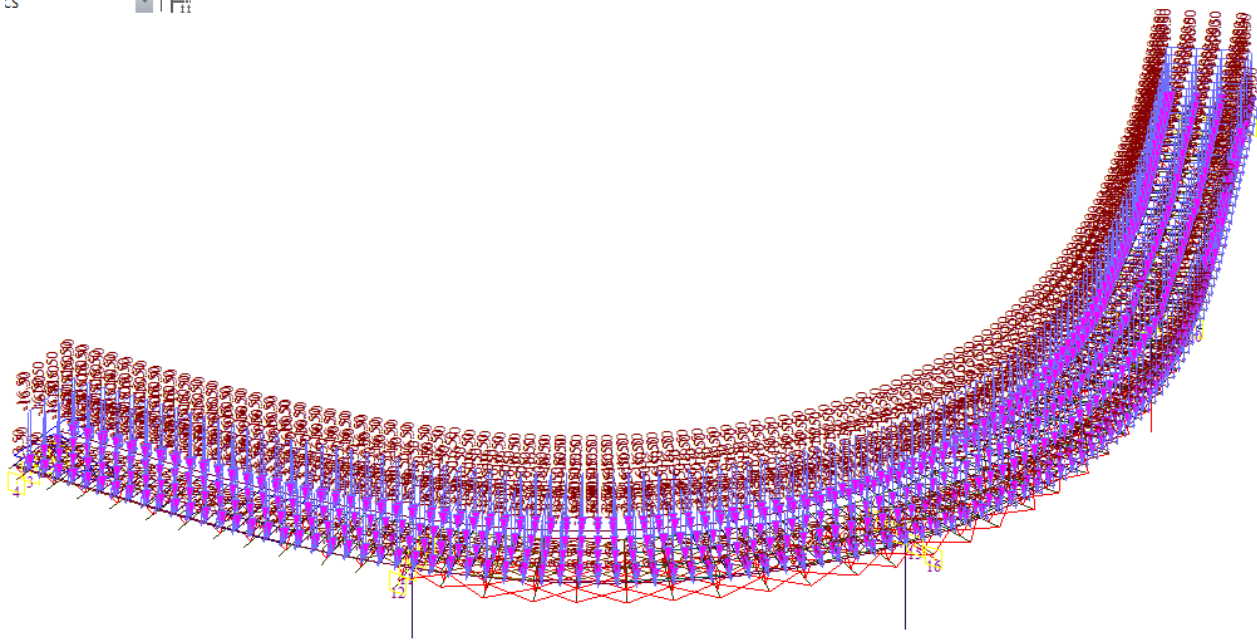
Predalle $25 \times 0.07 = 1.75 \text{ KN/m}^2$

La carpenteria metallica delle travi è applicata sugli elementi che costituiscono la trave, si adotta una incidenza di 4.2 kN/mq.



Il getto della soletta è stato considerato per tutta la larghezza del tratto carrabile. Il getto della rimanente parte e dei cordoli viene considerato nella fase G2.

CS ■ H 11



6.2. PESO PROPRIO FINITURE E PAVIMENTAZIONE (G2)

In questa condizione di carico viene considerato il getto della rimanente parte dei cordoli e dei seguenti carichi permanenti così definiti ed applicati ai traversi:

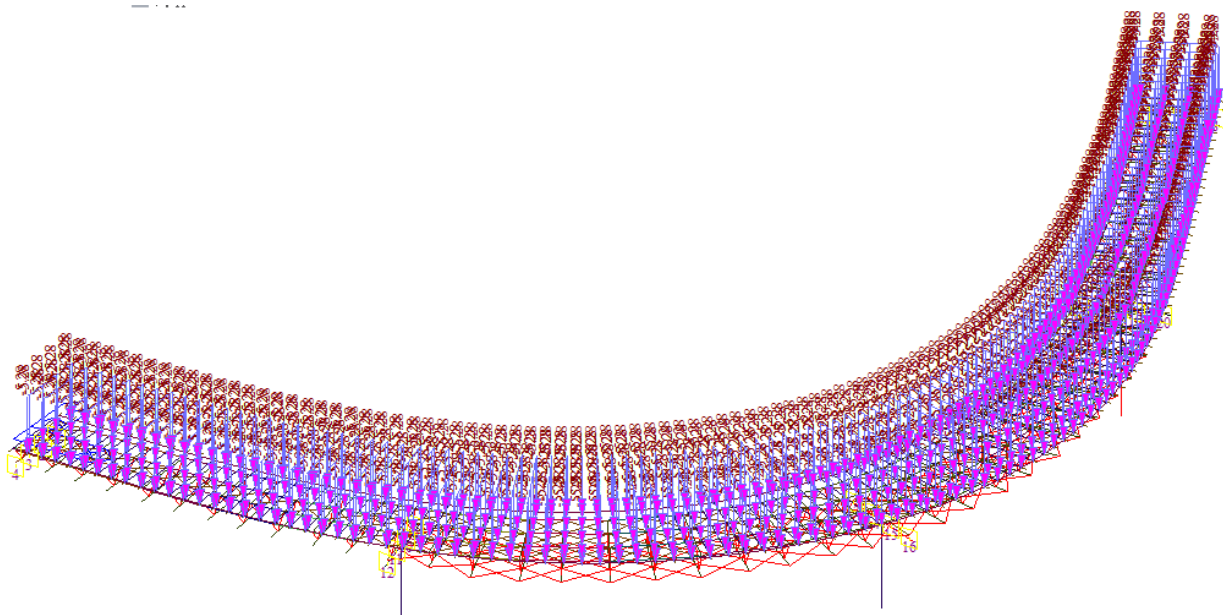
I carichi unitari permanentemente portati così definiti sulla sezione tipica

- Pavimentazione tratto carrabile: $24 \times 0.11 = 2.64 \text{ kN/m}^2$ considerando uno spessore di 11cm

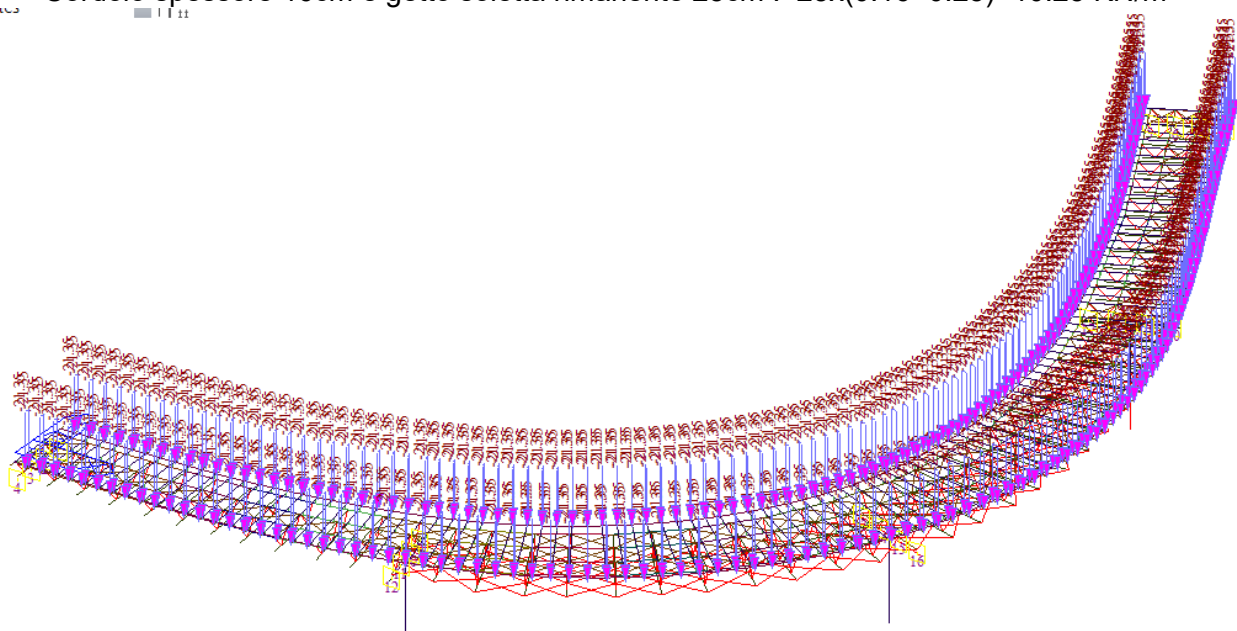
PROGETTAZIONE ATI:

GPI INGEGNERIA
GESTIONE PROGETTI INGEGNERIA srl

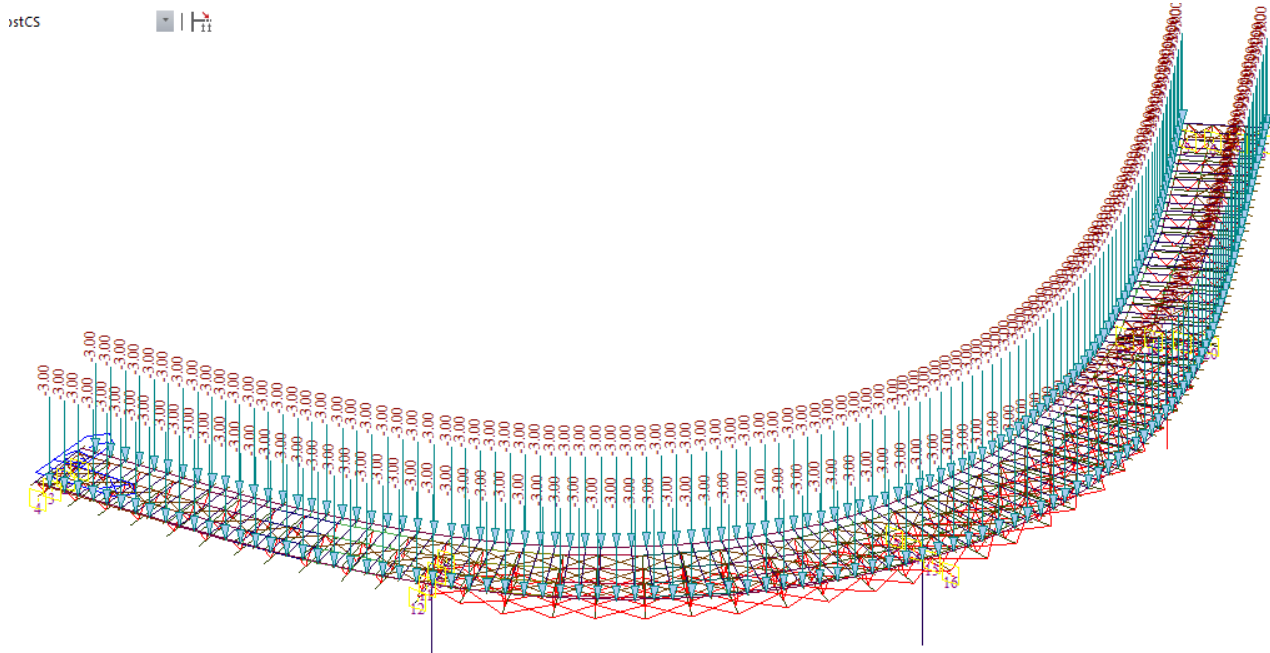

cooprogetti



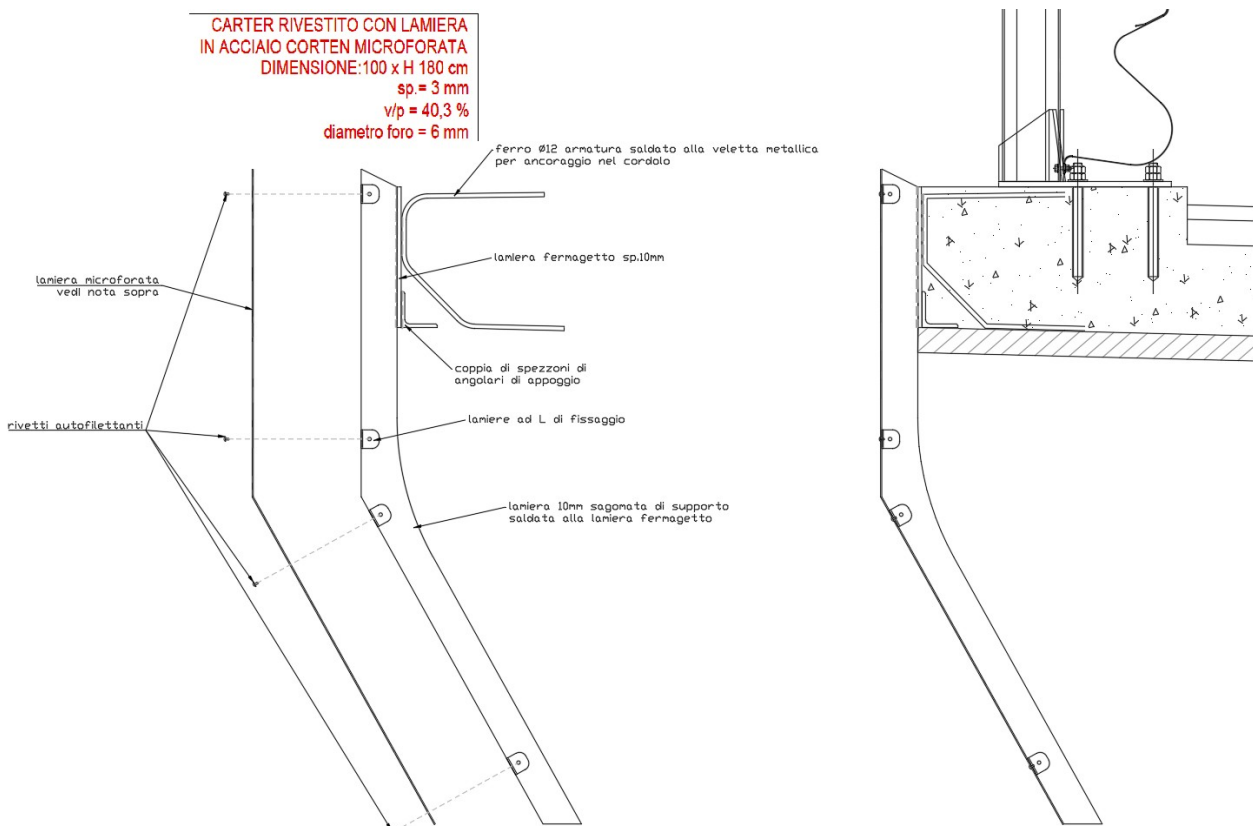
- Cordolo spessore 16cm e getto soletta rimanente 25cm : $25 \times (0.16 + 0.25) = 10.25 \text{ KN/m}^2$



- Guardrail 1.5 KN/m



- Smaltimento acque (tubo Ø300 riempito al 50%): $0.2+0.5 \times 0.07 \times 10 = 0.55 \text{ kN/m}$
- Carter metallico (vedi schema sotto) : 0.8 kN/m

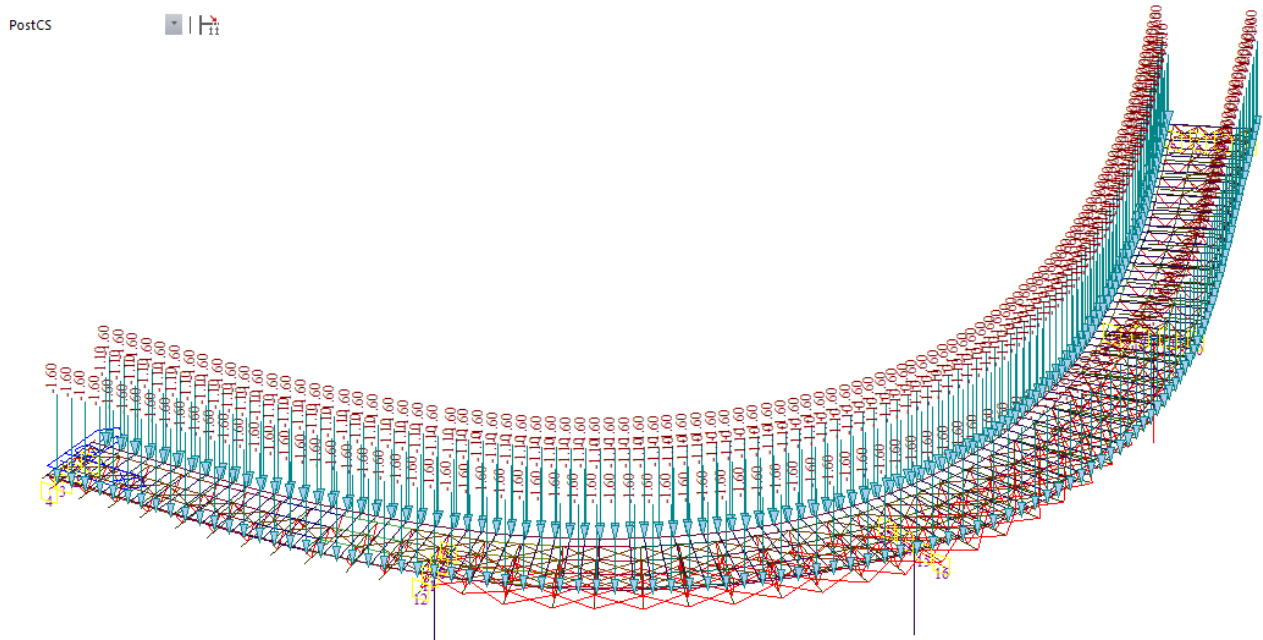


PROGETTAZIONE ATI:

GPI INGEGNERIA

GESTIONE PROGETTI INGEGNERIA srl

cooprogetti



6.3. EFFETTI DI RITIRO E VISCOSITÀ DEI CALCESTRUZZI (E2)

La deformazione totale da ritiro si può esprimere, in sede di progettazione, come una contrazione termica derivante da un Δt differenziale.

Si considera una larghezza media.

Soletta				
Larghezza	[mm]	11805	Area getto [mm ²]	2951250
spessore di getto	[mm]	250	h0 [mm]	500
Perimetro	[mm]	11805		

RITIRO

RH - umidità relativa	70%	
f_{ck}	35	MPa
f_{cm}	43	MPa
f_{ctm}	3.21	MPa
f_{cfm}	3.85	MPa
E_c	34077	MPa
Classe cemento	N	-
ε_{cd}	3.41E-04	deformazione di base di ritiro per essicramento
K_h	0.700	
$\varepsilon_{cd,inf}$	2.39E-04	deformazione di ritiro per essicamento
$\varepsilon_{ca,inf}$	6.25E-05	deformazione per ritiro autogeno
α	1.00E-05	coefficiente di dilatazione termica del cls ($^{\circ}\text{C}^{-1}$)
ε_{cs}	3.01E-04	deformazione totale per ritiro

il ritiro è equivalente ad una contrazione termica derivante da un Δt pari a :

Δt 30.1 $^{\circ}\text{C}$

L'azione di ritiro è applicata alla soletta dell'elemento sezione considerando il modulo elastico differente del cls della soletta per la fase di ritiro.

Per la modellazione dell'azione viene considerato il momento flettente primario dovuto dall'eccentricità dello sforzo normale fittizio dovuto alla contrazione della soletta moltiplicato per la distanza tra il baricentro della soletta e la media dei baricentri della sezione composta dei conci presenti nel tratto in campata non fessurato,

Lo sforzo normale fittizio è pari a :

$N = \text{Area totale cls} \times \alpha \times Dtr \times Er$ dove:

α = coefficiente di dilatazione termica

Er = modulo elastico omogeneizzato al ritiro

Cui corrisponde un momento isostatico pari a:

$Miso = N \times \text{distanza baricentro dalla soletta}$



PROGETTAZIONE ATI:

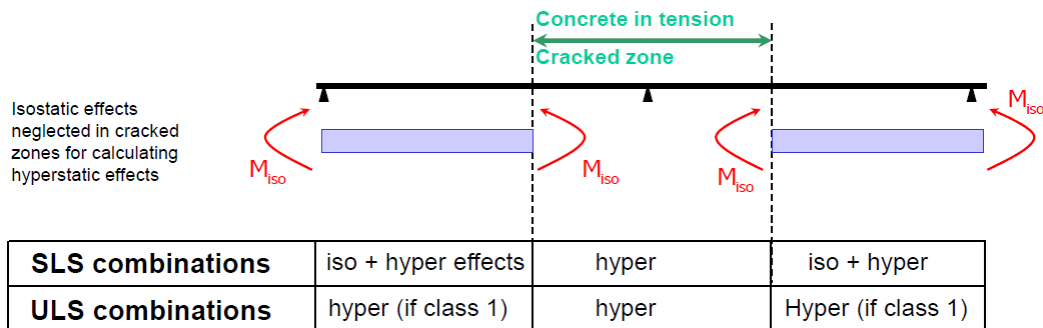
GPI INGEGNERIA
GESTIONE PROGETTI INGEGNERIA srl


cooprogetti


engeko
Studio di Architettura e Ingegneria Moderna

Le coppie sono applicate alle estremità del tratto di campata non fessurata, il diagramma delle sollecitazioni flettenti che si ottiene è da considerarsi una sommatoria tra quello derivante tra il ritiro primario o isostatico ed il ritiro secondario o iperstatico.

In questo modo viene considerato per effetto del ritiro un momento positivo nei tratti non fessurati ed un momento negativo nei tratti fessurati, conforme con quanto riportato ai punti 7 e 8 del parag.5.4.2.2 EN 1994-2.



Le azioni da applicare per il momento isostatico sono

RITIRO (singola trave)		
N_{rit} [kN]	2746	
	campata 1	campata 2
Yg_medio_mista [m]	0.600	0.982
e_{g,mista-cls} [m]	0.760	1.142
M _{iso} [kNm]	2088	3135

6.4. EFFETTI DELLE VARIAZIONI TERMICHE (E3)

6.4.1. VARIAZIONI TERMICHE UNIFORMI ΔTN

Il range di temperature indicato nelle NTC 2018 per il sito in esame è il seguente

Zona II

Liguria, Toscana, Umbria, Lazio, Sardegna, Campania, Basilicata:

$$T_{\min} = -8 - 6 \cdot a_s / 1000 \quad [3.5.3]$$

$$T_{\max} = 42 - 2 \cdot a_s / 1000 \quad [3.5.4]$$

Cui corrisponde un range, essendo la zona di Arezzo a quota di 450m:

Temin=-8°-6x450/1000=-10.7°

Temax=42°-2x450/1000=41.1°

PROGETTAZIONE ATI:

GPI INGEGNERIA
GESTIONE PROGETTI INGEGNERIA srl


cooprogetti


engeko
Studio di Architettura e Ingegneria Moderna

Fissando T₀ a 15.0 °C, dedotto dall'Annesso nazionale dell'Eurocodice coerente con il valore indicato dal D.M. 17.1.2018 par. 3.5.4, si ottiene l'escursione termica effettiva subita dall'impalcato:

- $\Delta T_{Ncomp} = T_0 - T_{emin} = 15 - (-10.7) = 25.7 \text{ } ^\circ\text{C}$
- $\Delta T_{Nexp} = T_{emax} - T_0 = 41.64 - 15 = +26.1 \text{ } ^\circ\text{C}$

a cui corrisponde complessivamente un'escursione pari a:
 $\Delta T_N = 51.8 \text{ } ^\circ\text{C}$.

6.4.2. VARIAZIONI TERMICHE DIFFERENZIALI ΔT_M

Valutazione con eurocodice 1991-1-5 – parag. 6.1.4

Per la determinazione del gradiente di temperatura si farà riferimento all'approccio 1.

Per ponti di tipo 2 a sezione composta i valori caratteristici delle variazioni lineari di temperatura (gradiente tra intradosso ed estradosso) risultano:

Type of Deck ^(a)	Top warmer than bottom $\Delta T_{M,heat} [^\circ\text{C}]$	Bottom warmer than top $\Delta T_{M,cool} [^\circ\text{C}]$
Type 1. Steel deck	18	13
Type 2. Composite deck	15	18
Type 3. Concrete deck:		
- concrete box girder	10	5
- concrete beam	15	8
- concrete slab	15	8

$\Delta T_{M,heat} = 15.0 \text{ } ^\circ\text{C}$

$\Delta T_{M,cool} = -18.0 \text{ } ^\circ\text{C}$

Il coefficiente riduttivo di $\Delta T_{M,heat}$ concesso per tenere conto dello spessore del manto di asfaltatura (ponti di tipo 2 - k_{sur} = 1.0 per spessore compreso tra 100mm e 150mm) non apporta variazioni ai valori caratteristici:

k_{sur} x $\Delta T_{M,heat} = 15.0 \text{ } ^\circ\text{C}$ estradosso più caldo dell'intradosso

k_{sur} x $\Delta T_{M,cool} = -18.0 \text{ } ^\circ\text{C}$ estradosso più freddo dell'intradosso

6.5. EFFETTI DOVUTI ALLA VISCOSITÀ (E4)

Dei fenomeni viscosi si tiene conto nella definizione delle sezioni. Ciò porta alla caratterizzazione delle differenti rigidezze che la struttura mista assume nelle diverse fasi temporali di lavoro (fase 2 a lungo termine e fase 3 a breve termine). Le NTC, al paragrafo 11.2.10.7, rimandano all'UNI EN 1992-1-1 per valutazioni accurate del coefficiente di viscosità a tempo infinito; i coefficienti di viscosità a tempo infinito vengono dunque valutati secondo il procedimento descritto nell'appendice B.

$$\varphi(t, t_0) = \varphi_0 \cdot \beta_c(t, t_0)$$

Coefficiente di viscosità

$$\varphi_0 = \varphi_{RH} \cdot \beta(f_{cm}) \cdot \beta(t_0)$$

Coefficiente nominale di viscosità

per fcm $\leq 35 \text{ MPa}$

PROGETTAZIONE ATI:

GPI INGEGNERIA
GESTIONE PROGETTI INGEGNERIA srl


cooprogetti

 engeko

 AIM
Studio di Architettura e Ingegneria Moderna

$$\varphi_{RH} = 1 + \frac{\left| \frac{1 - RH}{100} \right|}{0.1 \cdot \sqrt[3]{h_0}}$$

$$\varphi_{RH} = 1 + \left[\frac{\left| \frac{1 - RH}{100} \right|}{0.1 \cdot \sqrt[3]{h_0}} \cdot \alpha_1 \right] \cdot \alpha_2 \quad \text{per } fcm > 35 \text{ MPa}$$

Con:

RH umidità relativa in %;

$\beta(f_{cm}) = \frac{16.8}{\sqrt{f_{cm}}}$ coefficiente che tiene conto dell'effetto della resistenza del calcestruzzo sul coefficiente nominale di viscosità

$\beta(t_0) = \frac{1}{(0.1 + t_0^{0.20})}$ coefficiente che tiene conto dell'effetto dell'età del calcestruzzo al momento del carico sul coefficiente nominale di viscosità.

$\beta_c(t, t_0) = \left[\frac{(t-t_0)}{(\beta_H + t - t_0)} \right]^{0.3}$ coefficiente atto a descrivere l'evoluzione della viscosità nel tempo dopo

l'applicazione del carico

t età del calcestruzzo, in giorni, al momento considerato;

t_0 età del calcestruzzo, in giorni, al momento dell'applicazione del carico; $t - t_0$ la durata non corretta del carico, in giorni;

β_H coefficiente dipendente dall'umidità relativa (RH in %) e dalla dimensione fittizia dell'elemento (h_0 in millimetri):

$$\beta_H = 1.5 \cdot [1 + (0.012 \cdot RH)^{18}] \cdot h_0 + 250 \leq 1500 \quad \text{per } fcm \leq 35 \text{ MPa (B.8)}$$

$$\beta_H = 1.5 \cdot [1 + (0.012 \cdot RH)^{18}] \cdot h_0 + 250 \cdot \alpha_3 \leq 1500 \cdot \alpha_3 \quad \text{per } fcm \geq 35 \text{ MPa}$$

L'effetto del tipo di cemento sul cemento sul coefficiente di viscosità può essere considerato modificando l'età del carico t_0 nell'espressione (B.5) secondo la seguente espressione:

$$t_0 = t_{0,T} \cdot \left(\frac{9}{2 + t_{0,T}^{1.2}} + 1 \right)^\alpha \geq 0,5$$

Con:

$t_{0,T}$ età del calcestruzzo, in giorni, al momento dell'applicazione del carico

α esponente che dipende dal tipo di cemento:

- = -1 per cemento di classe S;
- = 0 per cemento di classe N;
- = 1 per cemento di classe R.

il valori di Ac ed u sono stati considerati per la valutazione del valore della dimensione fittizia di h_0 nella valutazione del parametro frh . I valori di Ac e u utilizzati fanno riferimento alla sezione di mezzeria nelle campate tipiche con luce 24.5 con spessore del getto maggiore di 245mm e predalle metallica che forniscono un valore di h_0 pari a:

Soletta				
Larghezza	[mm]	9900	Area getto [mm ²]	2465100
spessore di getto	[mm]	249	h0 [mm]	498
Perimetro	[mm]	9900		

RH-umidità relativa = 70%

PROGETTAZIONE ATI:

GPI INGEGNERIA
GESTIONE PROGETTI INGEGNERIA srl


cooprogetti


engeko


AIM
Studio di Architettura e Ingegneria Moderna

COEFFICIENTE DI OMOGENEIZZAZIONE - CARICHI PERMANENTI				UNI EN 1994-2:2006, UNI EN 1992-1-1:2005	
t	1.00E+15	giorni - età del calcestruzzo al momento considerato			
t ₀	28	giorni - tempo di messa in carico			
tipo di carico	carichi permanenti				
ψ _L	1.1	moltiplicatore del fattore di viscosità			
n	18.04	coefficiente di omogeneizzazione			
E _{cinf}	11639	MPa	modulo elastico modificato		
φ(t,t ₀)	1.753	φ ₀	1.753	β _{c(t,t₀)}	1.000 Influenza temperatura
		φ _{Rh}	1.338	β _H	626 T(Δt _i) [°C] 15
		α ₁	0.866	α ₃	0.902 tT 22.05
		α ₂	0.960		α 0.00
		β _{fcm}	2.562		t _{0,corr} 22.05
		β _{t0}	0.511		

COEFFICIENTE DI OMOGENEIZZAZIONE - RITIRO				UNI EN 1994-2:2006, UNI EN 1992-1-1:2005	
t	1.00E+15	giorni - età del calcestruzzo al momento considerato			
t ₀	1	tempo di messa in carico			
tipo di carico	ritiro				
ψ _L	0.55	moltiplicatore del fattore di viscosità			
n	17.20	coefficiente di omogeneizzazione			
E _{cinf}	12213	MPa	modulo elastico modificato		
φ(t,t ₀)	3.255	φ ₀	3.255	β _{c(t,t₀)}	1.000 Influenza temperatura
		φ _{Rh}	1.338	β _H	1353 T(Δt _i) [°C] 15
		α ₁	0.866	α ₃	0.902 tT 0.79
		α ₂	0.960		α 0.00
		β _{fcm}	2.562		t _{0,corr} 0.79
		β _{t0}	0.949		

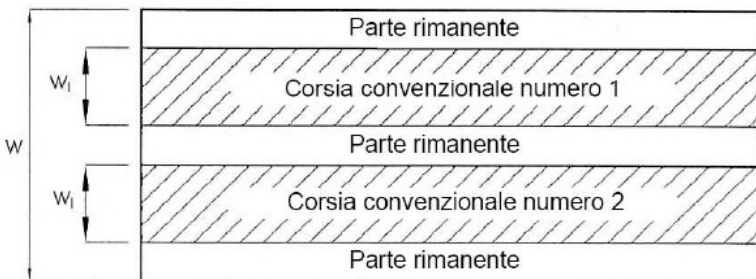
6.6. EFFETTI DEI CEDIMENTI DIFFERENZIALI (E5)

Le fondazioni sono di tipo profondo e pertanto cedimenti di significativa entità non sono attesi, in ogni caso si applica cautelativamente un cedimento differenziale di entità pari ad 1/5000 della luce maggiore che afferisce alla sottostruttura.

6.7. CARICHI MOBILI (Q1)

I carichi variabili da traffico sono definiti dagli Schemi di Carico descritti nel § 5.1.3.3.3 NTC18, disposti su corsie convenzionali.

Le larghezze w_l delle corsie convenzionali su una carreggiata ed il massimo numero (intero) possibile di tali corsie su di essa sono indicati nel prospetto di Fig. 5.1.1 e Tab. 5.1.I NTC18.



Larghezza di carreggiata "w"	Numero corsie convenzionali	Larghezza corsia convenzionale [m]	Larghezza della zona rimanente [m]
$w < 5.40 \text{ m}$	$n_i = 1$	3.00	$(w - 3.00)$
$5.4 \leq w < 6.0$	$n_i = 2$	$w/2$	0
$6.0 \text{ m} \leq w$	$n_i = \text{Int}(w/3)$	3.00	$w - (3.00 \times n_i)$

La disposizione e la numerazione delle corsie va determinata in modo da indurre le più sfavorevoli condizioni di progetto. Per ogni singola verifica il numero di corsie da considerare caricate, la loro disposizione sulla carreggiata e la loro numerazione vanno scelte in modo che gli effetti della disposizione dei carichi risultino i più sfavorevoli.

La corsia che, caricata, dà l'effetto più sfavorevole è numerata come corsia Numero 1; la corsia che dà il successivo effetto più sfavorevole è numerata come corsia Numero 2, ecc.

6.7.1. SCHEMA DI CARICO

Le azioni variabili del traffico, comprensive degli effetti dinamici, sono definite dai seguenti Schemi di Carico:

Schema di Carico 1: è costituito da carichi concentrati su due assi in tandem, applicati su impronte di pneumatico di forma quadrata e lato 0,40 m, e da carichi uniformemente distribuiti. Questo schema è da assumere a riferimento sia per le verifiche globali, sia per le verifiche locali, considerando un solo carico tandem per corsia, disposto in asse alla corsia stessa. Il carico tandem, se presente, va considerato per intero.

Schema di Carico 2: è costituito da un singolo asse applicato su specifiche impronte di pneumatico di forma rettangolare, di larghezza 0,60 m ed altezza 0,35 m. Questo schema va considerato autonomamente con asse longitudinale nella posizione più gravosa ed è da assumere a riferimento

solo per verifiche locali. Qualora sia più gravoso si considererà il peso di una singola ruota di 200 kN.

Schema di Carico 3: è costituito da un carico isolato da 150kN con impronta quadrata di lato 0,40m. Si utilizza per verifiche locali su marciapiedi non protetti da sicurvia.

Schema di Carico 4: è costituito da un carico isolato da 10 kN con impronta quadrata di lato 0,10m. Si utilizza per verifiche locali su marciapiedi protetti da sicurvia e sulle passerelle pedonali.

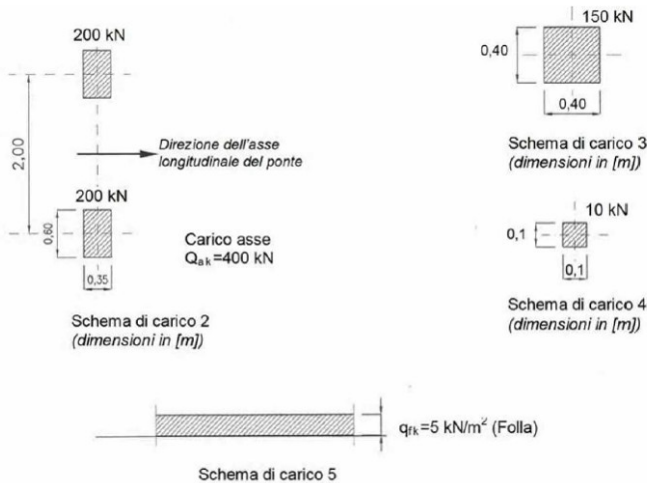
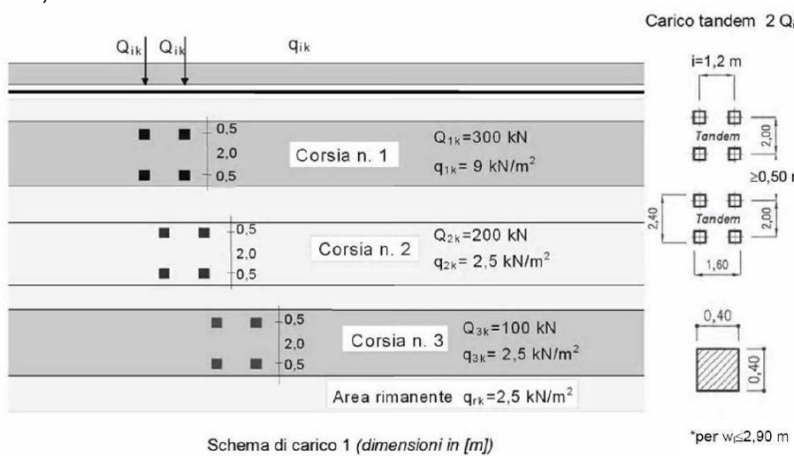
Schema di Carico 5: costituito dalla folla compatta, agente con intensità nominale, comprensiva degli effetti dinamici, di 5,0 kN/m². Il valore di combinazione è invece di 2,5 kN/m². Il carico folla deve essere applicato su tutte le zone significative della superficie di influenza, inclusa l'area dello spartitraffico centrale, ove rilevante.

Categoria stradale

Il ponte in oggetto è definito di Categoria 1°.

6.7.2. DISPOSIZIONE DELLE CORSIE DI CARICO

Il numero delle colonne di carichi mobili da considerare nel calcolo dei ponti di 1a e 2a Categoria è quello massimo compatibile con la larghezza della carreggiata, comprese le eventuali banchine di rispetto e per sosta di emergenza, nonché gli eventuali marciapiedi non protetti e di altezza inferiore a 20 cm, tenuto conto che la larghezza di ingombro convenzionale è stabilita per ciascuna colonna in 3,00 m.



PROGETTAZIONE ATI:

GPI INGEGNERIA
 GESTIONE PROGETTI INGEGNERIA srl


cooprogetti


engeko


anim
Studio di Architettura e Ingegneria Moderna

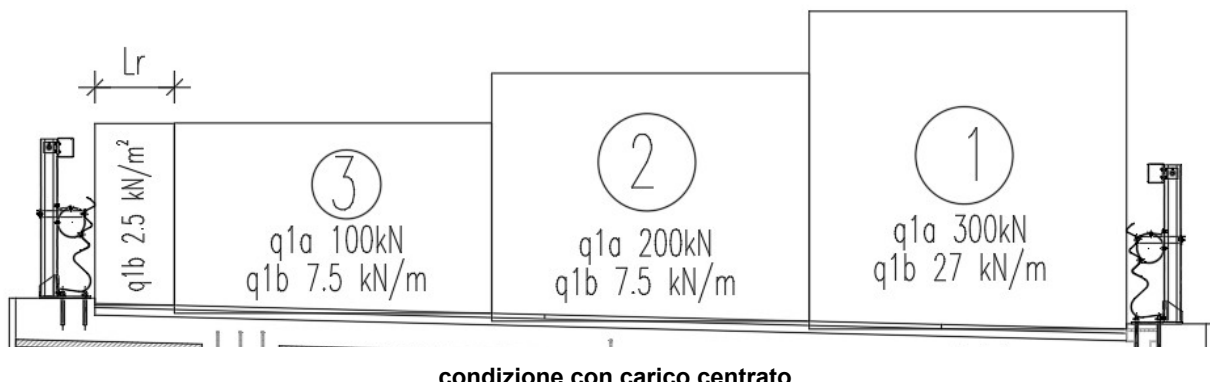
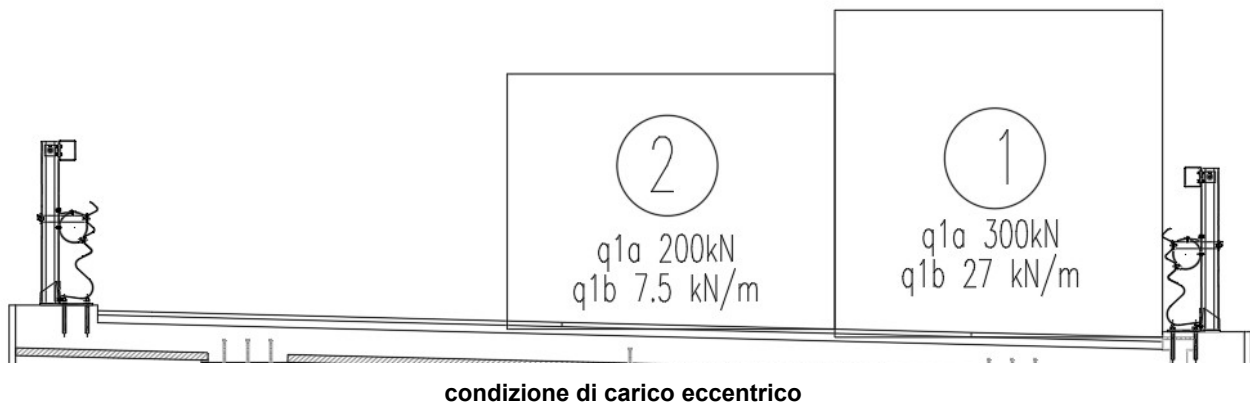
La disposizione e la numerazione delle corsie viene determinata in modo da indurre le più sfavorevoli condizioni di progetto. Per ogni singola verifica il numero di corsie da considerare caricate, la loro disposizione sulla carreggiata e la loro numerazione vengono scelte in modo che gli effetti della disposizione dei carichi risultino i più sfavorevoli. La corsia che, caricata, dà l'effetto più sfavorevole è numerata come Corsia 1; la corsia che dà il successivo effetto più sfavorevole è numerata come Corsia 2, ecc.

Per i ponti di 1° Categoria si devono considerare, compatibilmente con le larghezze precedentemente definite, le seguenti intensità dei carichi (NTC18):

Posizione carico asse	Q_{ik} [kN]	q_{ik} [kN/m ²]
Corsia numero 1	300	9.00
Corsia numero 2	200	2.50
Corsia numero 3	100	2.50
Altre corsie	0	2.50

L'analisi della disposizione in senso longitudinale dei carichi mobili che massimizzino le sollecitazioni su ogni singolo elemento strutturale principale è automaticamente svolta dal programma di calcolo attraverso l'analisi della linea di influenza, una volta assegnate le caratteristiche in termini di geometria, posizione e pesi di ciascuna colonna di carico.

Per quanto riguarda la disposizione trasversale dei carichi, tenuta in considerazione che la struttura portante dell'impalcato è costituita da una coppia di travi con uno schema di ripartizione a graticcio si considerano le seguenti disposizioni di carico trasversale..



Per il viadotto in oggetto L_r è pari a 0.75m cui corrisponde un carico lineare di 1.875 kN/m.

Per il calcolo della soletta è stata considerate ulteriori condizioni, si veda il capitolo specifico.

PROGETTAZIONE ATI:

GPI INGEGNERIA
GESTIONE PROGETTI INGEGNERIA srl


cooprogetti




 Studio di Architettura e Ingegneria Moderna

La condizione di massimo carico è stata applicata anche in interno curva.

Oltre alle condizioni rappresentate è stata effettuata anche una configurazione centrata sulla carreggiata.

6.8. CARICO DA TRAFFICO PER VERIFICHE A FATICA

Con riferimento a quanto prescritto dalle NTC 2018, in funzione del limitato carico di traffico previsto per il ponte, si fa riferimento al modello di carico a fatica 2 previsto al punto 5.1.4.3 del DM 17/1/2018. Si adotta pertanto il più gravoso dei mezzi riportati in tabella 5.1.VII, considerato viaggiante da solo sulla corsia convenzionale (massima eccentricità trasversale) per la verifica sulla trave principale.

SAGOMA del VEICOLO		Distanza tra gli assi (m)	Carico frequente per asse (kN)	Tipo di ruota (Tab. 5.1.IX)
		4,5	90 190	A B
		4,20 1,30	80 140 140	A B B
		3,20 5,20 1,30 1,30	90 180 120 120 120	A B C C C
		3,40 6,00 1,80	90 190 140 140	A B B B
		4,80 3,60 4,40 1,30	90 180 120 110 110	A B C C C

Veicolo schema di carico a fatica 2

Coefficienti parziali per la resistenza a fatica

I valori dei coefficienti γ_{Mf} adottati nelle verifiche a fatica sono riportati nella seguente tabella, estratta dalla circolare delle NTC18.

Coefficienti parziali di sicurezza

$\gamma_f = 1$ coefficiente parziale di sicurezza relativo alle azioni di fatica

$\gamma_M = 1,35$ coefficiente parziale di sicurezza relativo alla resistenza a fatica

$\gamma_{Mf} = \gamma_f \cdot \gamma_M = 1,35$ coefficiente parziale di sicurezza per le verifiche a fatica

Metodo di valutazione	Conseguenze del collasso	
	Basse conseguenze	Alte conseguenze
metodo del "danneggiamento accettabile"	1,00	1,15
metodo della "vita sicura"	1,15	1,35

6.8.1. METODI DI VERIFICA

PROGETTAZIONE ATI:

GPI INGEGNERIA
GESTIONE PROGETTI INGEGNERIA srl

cooprogetti

engeko

AIM
Studio di Architettura e Ingegneria Moderna

Per la verifica a fatica secondo il criterio della vita illimitata, l'ampiezza di tensione di riferimento è quella ad ampiezza costante, definita come

$$\Delta\sigma_D = 0.737 \cdot \Delta\sigma_C$$

dove $\Delta\sigma_C$ è il valore della classe del dettaglio.

La verifica a vita illimitata si esegue controllando che sia

$$\Delta\sigma_{max} \leq \Delta\sigma_D / \gamma_{Mf}$$

dove $\Delta\sigma_D$ sono i valori di progetto delle massime escursioni di tensioni normali indotte nel dettaglio considerato dallo spettro di carico per vita illimitata.

6.8.2. VERIFICA DEI DETTAGLI DI FATICA

Nelle verifiche a fatica le tensioni considerate sono coerenti con quelle alle quali è riferita la curva S-N del dettaglio.

Si veda capitolo specifico della presente relazione.

6.9. AZIONE DI FRENAZIONE O ACCELERAZIONE (Q3)

Secondo quanto riportato nel DM 17 gennaio 2018 parag 5.1.3.5, la forza orizzontale dovuta al frenamento dei veicoli per l'impalcato in questione diviene:

$$Q3=0.6 \times 2 \times 300 + 0.1 \times 27 \times 146 = 755 \text{ kN}$$

6.10. AZIONE CENTRIFUGA (Q4)

Essendo la curvatura massima in corrispondenza della pila P2, nel dimensionamento della stessa viene considerata una azione pari a $0.2 \times 1200 = 240 \text{ kN}$.

6.11. AZIONE VENTO (Q5)

L'azione del vento può essere convenzionalmente assimilata ad un carico orizzontale e verticale statico, diretto ortogonalmente all'asse del ponte e/o diretto nelle direzioni più sfavorevoli per alcuni dei suoi elementi (ad es. le pile). Tale azione si considera agente sulla proiezione nel piano delle superfici direttamente investite.

6.11.1. VELOCITÀ DI RIFERIMENTO

La velocità di riferimento v_b assunta nei calcoli è il valore caratteristico della velocità del vento a 20 m dal suolo su un terreno di categoria di esposizione II, mediata su 10 minuti e riferita ad un periodo di ritorno di 50 anni.

In mancanza di specifiche ed adeguate indagini statistiche v_b è data dall'espressione:

$$v_b = v_{b,0} \text{ per } a_s \leq a_0$$

$$v_b = v_{b,0} + k_a (a_s - a_0) \text{ per } a_0 < a_s \leq 1500 \text{ m}$$

dove:

$v_{b,0}$, a_0 , k_a sono parametri forniti nella norma e legati alla regione in cui sorge la costruzione in esame;

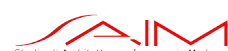
a_s è l'altitudine sul livello del mare (in m) del sito ove sorge la costruzione.

PROGETTAZIONE ATI:

GPI INGEGNERIA
GESTIONE PROGETTI INGEGNERIA srl


cooprogetti




Studio di Architettura e Ingegneria Moderna

Zona	Descrizione	$v_{b,0}$ [m/s]	a_0 [m]	k_s
1	Valle d'Aosta, Piemonte, Lombardia, Trentino Alto Adige, Veneto, Friuli Venezia Giulia (con l'eccezione della provincia di Trieste)	25	1000	0,40
2	Emilia Romagna	25	750	0,45
3	Toscana, Marche, Umbria, Lazio, Abruzzo, Molise, Puglia, Campania, Basilicata, Calabria (esclusa la provincia di Reggio Calabria)	27	500	0,37
4	Sicilia e provincia di Reggio Calabria	28	500	0,36
5	Sardegna (zona a oriente della retta congiungente Capo Teulada con l'Isola di Maddalena)	28	750	0,40
6	Sardegna (zona a occidente della retta congiungente Capo Teulada con l'Isola di Maddalena)	28	500	0,36
7	Liguria	28	1000	0,54
8	Provincia di Trieste	30	1500	0,50
9	Isole (con l'eccezione di Sicilia e Sardegna) e mare aperto	31	500	0,32

La Toscana è in zona 3 cui corrisponde una $v_{b,0} = 27$ m/sec

Pressione cinetica di riferimento

La pressione cinetica di riferimento q_b (in N/m²) è data dall'espressione:

$$q_b = 0.5 \cdot \rho v_{b,0}^2$$

dove:

$v_{b,0}$ è la velocità di riferimento del vento (in m/s);

ρ è la densità dell'aria assunta convenzionalmente costante e pari a 1,25 kg/m³.

6.11.2. PRESSIONE DEL VENTO

La pressione del vento è data dall'espressione:

$$p = q_b c_e c_p c_d$$

dove:

q_b è la pressione cinetica di riferimento di cui al § 3.3.6 D.M. 14/01/08;

c_e è il coefficiente di esposizione di cui al § 3.3.7 D.M. 14/01/08;

c_p è il coefficiente di forma (o coefficiente aerodinamico), funzione della tipologia e della geometria della costruzione e del suo orientamento rispetto alla direzione del vento;

c_d è il coefficiente dinamico con cui si tiene conto degli effetti riduttivi associati alla non contemporaneità delle massime pressioni locali e degli effetti amplificativi dovuti alle vibrazioni strutturali. Indicazioni per la sua valutazione sono riportate al § 3.3.8 D.M. 14/01/08.

6.11.3. COEFFICIENTE DI ESPOSIZIONE

Il coefficiente di esposizione c_e dipende dall'altezza z sul suolo del punto considerato, dalla topografia del terreno, e dalla categoria di esposizione del sito ove sorge la costruzione.

In assenza di analisi specifiche che tengano in conto la direzione di provenienza del vento e l'effettiva scabrezza e topografia del terreno che circonda la costruzione, per altezze sul suolo non maggiori di $z = 200$ m, esso è dato dalla relazione:

$$c_e(z) = kr^2 ct \ln(z/z_0) [7 + ct \ln(z/z_0)] \text{ per } z \geq z_{min}$$

$$c_e(z) = c_e(z_{min}) \text{ per } z < z_{min}$$

PROGETTAZIONE ATI:

GPI INGEGNERIA
GESTIONE PROGETTI INGEGNERIA srl


cooprogetti


engeko


AIM
Studio di Architettura e Ingegneria Moderna

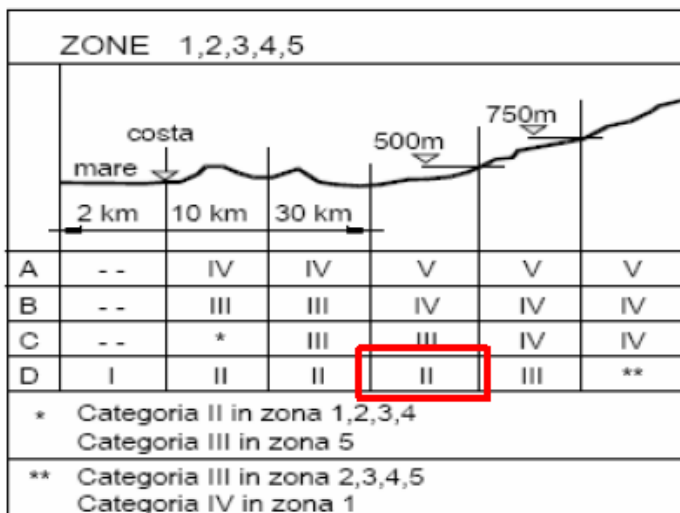
dove:

k_r , z_0 , z_{min} sono assegnati in Tab. 3.3.II D.M. 14/01/08 in funzione della categoria di esposizione del sito ove sorge la costruzione;

c_t è il coefficiente di topografia.

Categoria di esposizione del sito	k_r	z_0 [m]	z_{min} [m]
I	0,17	0,01	2
II	0,19	0,05	4
III	0,20	0,10	5
IV	0,22	0,30	8
V	0,23	0,70	12

In mancanza di analisi specifiche, la categoria di esposizione è assegnata nella Fig. 3.3.2 D.M. 14/01/08 in funzione della posizione geografica del sito ove sorge la costruzione e della classe di rugosità del terreno definita in Tab. 3.3.III D.M. 14/01/08.



Nel caso in esame, vista l'ubicazione del sito posto oltre 30 km dalla costa ad una quota inferiore a 500m, si è considerata una categoria di esposizione II.

Il coefficiente di topografia c_t è posto generalmente pari a 1, sia per le zone pianeggianti sia per quelle ondulate, collinose e montane.

Classe di rugosità del terreno	Descrizione
A	Aree urbane in cui almeno il 15% della superficie sia coperto da edifici la cui altezza media superi i 15m
B	Aree urbane (non di classe A), suburbane, industriali e boschive
C	Aree con ostacoli diffusi (alberi, case, muri, recinzioni,...); aree con rugosità non riconducibile alle classi A, B, D
D	Aree prive di ostacoli (aperta campagna, aeroporti, aree agricole, pascoli, zone paludose o sabbiose, superfici innevate o ghiacciate, mare, laghi,...)

L'assegnazione della classe di rugosità non dipende dalla conformazione orografica e topografica del terreno. Affinché una costruzione possa dirsi ubicata in classe A o B è necessario che la situazione che contraddistingue la classe permanga intorno alla costruzione per non meno di 1 km e comunque non meno di 20 volte l'altezza della costruzione. Laddove sussistano dubbi sulla scelta della classe di rugosità, a meno di analisi dettagliate, verrà assegnata la classe più sfavorevole.

PROGETTAZIONE ATI:

GPI INGEGNERIA
 GESTIONE PROGETTI INGEGNERIA srl


 cooprogetti

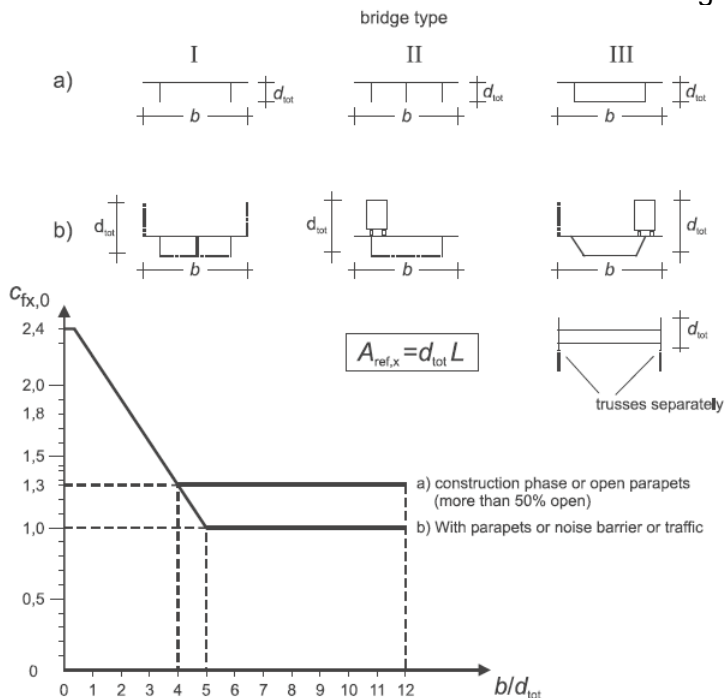

engeko


AIM
 Studio di Architettura e Ingegneria Moderna

Si adotta per la zona del ponte una Classe D.

Coefficienti di forma

Il coefficiente di forma è determinato sulla base dal diagramma fornito dalla UNI-EN 1991-1-4:2005.



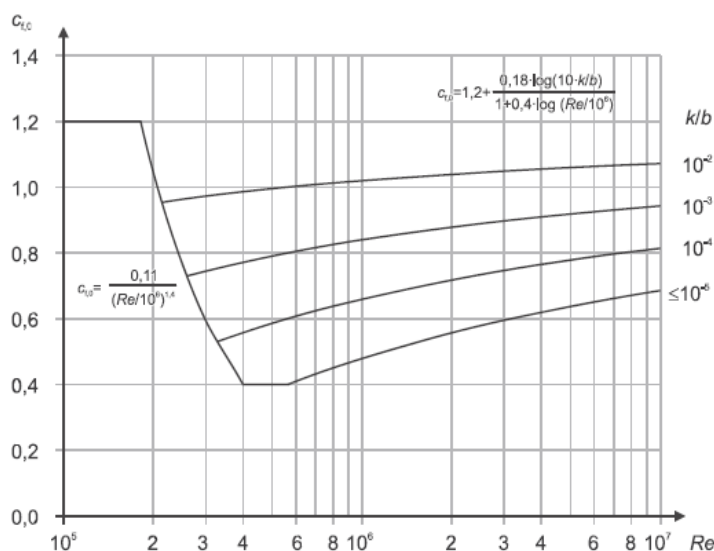
Per il ponte in oggetto, conforme alla tipologia b perché soggetto al traffico, il coefficiente di forma è assunto pari a:

Ponte scarico = 1.463, essendo il rapporto $b/d=11.25/(3.54)=3.18$.

Ponte carico = 1.914, essendo il rapporto $b/d=11.25/(3.17+3)=1.82$.

Il guardrail aperto è fattorizzato per 0.3 così come indicato nella EN 1991-1-4 al parag. 8.3.1 al punto 4.a.4

Per il fusto circolare della pila il coefficiente di forma può essere valutato della formulazione seguente (UNI ENV 1991-2-4:2010) in base al numero di reynolds



PROGETTAZIONE ATI:

GPI INGEGNERIA
 GESTIONE PROGETTI INGEGNERIA srl


 cooprogetti


 engeko
Studio di Architettura e Ingegneria Moderna

Essendo il numero di reynolds pari a :

$$Re = \frac{b \cdot v(z_e)}{v}$$

diametro =	
b	3
v	1.50E-05
qp	76.62
ce(z)	2.73
Vpicco	11.07
Re	1476269.55

Da cui si ottiene un coefficiente di forma pari a 1.29.

coefficiente per sezione circolari

Reynolds	Re	1.48E+06
	k	1
	k/b	0.33
Controlla nella tabella a fianco	Cf,0	1.29

6.11.4. AZIONE DA VENTO

L'azione da vento può essere convenzionalmente assimilata ad una carico statico diretto ortogonalmente e/o verticalmente all'asse del ponte. Come superficie investita orizzontalmente è stata presa in considerazione la situazione con ponte sia carico (con sagoma veicolare) sia scarico, mentre la superficie verticale non risente del traffico veicolare.

Le superfici di esposizione dell'impalcato al vento sono state calcolate in accordo all'Eurocodice UNI EN 1991-1-4:2005 par. 8.3.

Tenuta in considerazione la bassa altezza del suolo e l'ingombro limitato dei telai delle sottostruuture, l'azione su di essi viene trascurata.

Di seguito vengono riportati i parametri considerati con riferimento agli elaborati grafici di progetto. Per la determinazione dell'area di riferimento si è valutata graficamente la sagoma.

CALCOLO DELLA PRESSIONE DEL VENTO				
Pressione cinetica di riferimento				
NORMATIVA				
Altitudine sito	a_s	450	m	Toscana, Marche, Umbria, Lazio, Abruzzo, Molise, Campania, Puglia, Basilicata, Calabria (esclusa la prov. di Reggio Calabria)
Zona		3	m	
Velocità di riferimento	$V_{ref, o}$	27	m/s	
	a_0	500	m	
	K_a	0.02	1/s	
Velocità di riferimento	V_b	27	m/s	
Tempo di ritorno	Tr	100		
§ 3.3.2 C.M. 02/02/09:	cr	1.04		
	$Vr(Tr)$	28.06	m/s	$\alpha_R = 0.75 \sqrt{1 - 0.2 \ln \left[-\ln \left(1 - \frac{1}{T_R} \right) \right]} = 1.039$
Pressione cinetica di riferimento	q_b	492.08	N/mq	
Classe di rugosità				
Distanza dalla costa	Classe	D	Aree prive di ostacoli o con al più rari ostacoli isolati	
		Terra oltre 30 Km e h < 500 m		
Coefficiente topografico	c_t	1		
Altezza dal suolo	z	20	m	
Categoria di Esposizione		II		
	z_0	0.05	m	
Parametri per la determinazione del coef. di esposizione	z_{min}	4	m	
	K_r	0.19		
Coefficiente di esposizione	c_e	2.81	$c_e(z) = k_r^2 c_t \ln(z/z_0) [7 + c_t \ln(z/z_0)]$	
Coefficiente dinamico	c_p	1	$c_e(z) = c_e(z_{min})$	

La pressione di picco di progetto, senza coefficiente di forma, è pari a:

$$p = q_b c_e c_p = 492.08 \times 2.81 \times 1 = 1382.73 \text{ N/m}^2$$

dove:

- q_b è la pressione cinetica di riferimento di cui al § 3.3.6 D.M. 14/01/08;
- c_e è il coefficiente di esposizione di cui al § 3.3.7 D.M. 14/01/08;
- c_p è il coefficiente dinamico

le pressioni sono pertanto pari a :

$$p_{scarico} = 1382.73 \times 1.46 = 2022 \text{ N/m}^2$$

$$p_{carico} = 1382.73 \times 1.91 = 2647 \text{ N/m}^2$$

La distribuzione dell'azione del vento possono essere di seguito riassunte secondo i seguenti schemi:

Ponte scarico con applicazione sulla trave esterna.

L'azione complessiva per metro di impalcato è pari a $P = 2022 \times (3.54) = 7160 \text{ N/m}$
Applicato sulla trave sopra vento.

Ponte carico con applicazione sulla trave esterna e sulla sagoma di traffico.

PROGETTAZIONE ATI:

GPI INGEGNERIA
GESTIONE PROGETTI INGEGNERIA srl


cooprogetti


engeko

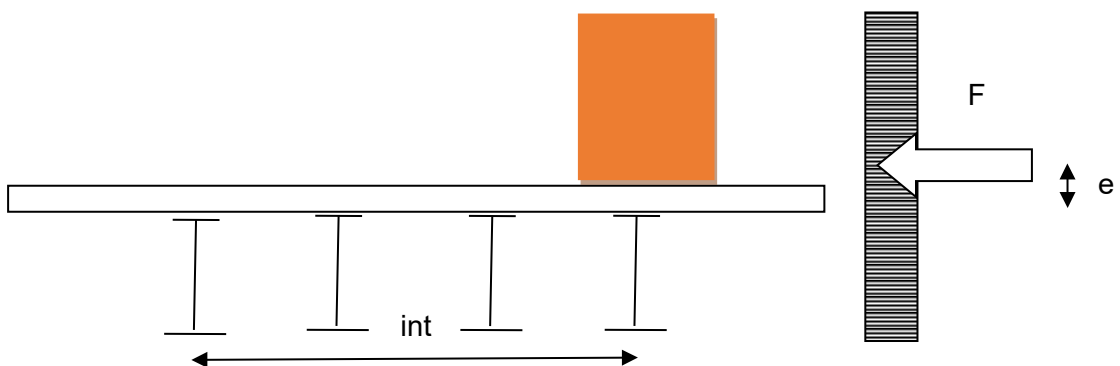

AIM
Studio di Architettura e Ingegneria Moderna

L'azione per metro di impalcato è pari a $P=2647 \times (3.17+3)=16330$ N/m applicato sulla trave più esposta.

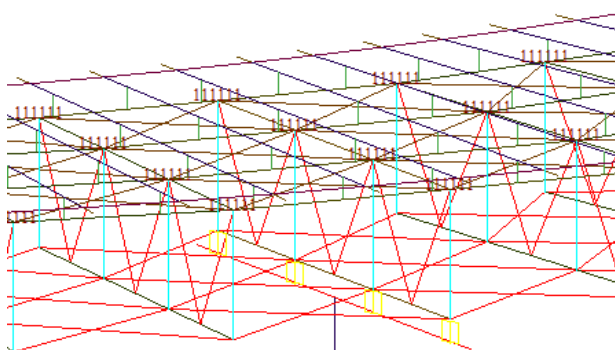
Sul fusto della pila la pressione è pari a $1.382 \times 1.29 = 1.781$ kN/m²

L'azione lineare è pari a $1.781 \times 3 = 5.33$ kN/m

Lo spessore dell'impalcato (trave+soletta+pavimentazione) è sostanzialmente equivalente alla sagoma di carico dei mobili, pertanto la risultante è applicata a quota impalcato. Lievi eccentricità comportano effetti torsionali risibili sulle travi di impalcato quando trasformati attraverso la divisione per il numero di travi e per l'interasse delle travi in coppie di forze, in quanto il rapporto tra e/int risulta di lieve entità.



L'eccentricità sulla sottostruttura è schematizzata grazie alla presenza di bracci rigidi pari alla distanza tra la soletta ed il piano di appoggi in modo da garantire una corretta ripartizione del momento trasversale trasmesso alla sottostruttura.



6.12. AZIONE SISMICA (Q6)

Le azioni sismiche su ciascuna costruzione vengono valutate in relazione ad un periodo di riferimento VR che si ricava, per ciascun tipo di costruzione, moltiplicandone la vita nominale VN per il coefficiente d'uso CU.

Si ottiene pertanto il periodo di riferimento: $VR = VN \times CU = 50 \times 2 = 100$ anni

Per il terreno e le caratteristiche topografiche si sono assunti seguenti parametri:

Terreno tipo B

Classe topografica T1

La struttura si trova in corrispondenza delle seguenti coordinate geografiche:

PROGETTAZIONE ATI:

GPI INGEGNERIA
GESTIONE PROGETTI INGEGNERIA srl


cooprogetti


engeko


AIM
Studio di Architettura e Ingegneria Moderna

FASE 1. INDIVIDUAZIONE DELLA PERICOLOSITÀ DEL SITO

<input checked="" type="radio"/> Ricerca per coordinate <input type="radio"/> Ricerca per comune	LONGITUDINE 11.93227	LATITUDINE 43.41657	
Elaborazioni grafiche Grafici spettri di risposta > Variabilità dei parametri >		Elaborazioni numeriche Tabella parametri >	
Nodi del reticolo intorno al sito 			
Reticolo di riferimento  <p style="margin-left: 20px;"> La "Ricerca per comune" utilizza le ... coordinate ISTAT del comune per identificare il sito. Si sottolinea che ... all'interno del territorio comunale le azioni sismiche possono essere significativamente diverse da quelle così individuate e si consiglia, quindi, la "Ricerca per coordinate". </p>			
INTRO	FASE 1	FASE 2	FASE 3

FASE 2. SCELTA DELLA STRATEGIA DI PROGETTAZIONE

Vita nominale della costruzione (in anni) - V_N	50	info
Coefficiente d'uso della costruzione - c_u	2	info

Valori di progetto

Periodo di riferimento per la costruzione (in anni) - V_R 100 info

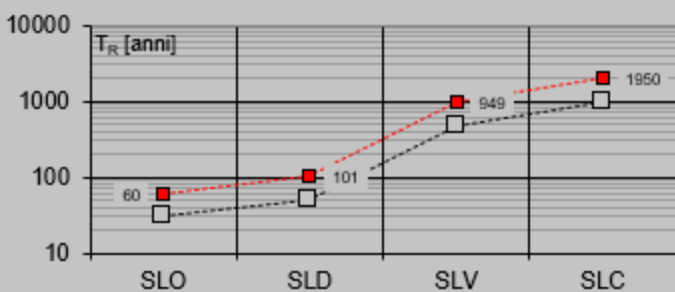
Periodi di ritorno per la definizione dell'azione sismica (in anni) - T_R info

Stati limite di esercizio - SLE	SLO - $P_{VR} = 81\%$	60
	SLD - $P_{VR} = 63\%$	101
Stati limite ultimi - SLU	SLV - $P_{VR} = 10\%$	949
	SLC - $P_{VR} = 5\%$	1950

Elaborazioni

- Grafici parametri azione 
- Grafici spettri di risposta 
- Tabella parametri azione 

Strategia di progettazione



INTRO

FASE 1

FASE 2

FASE 3

SLV

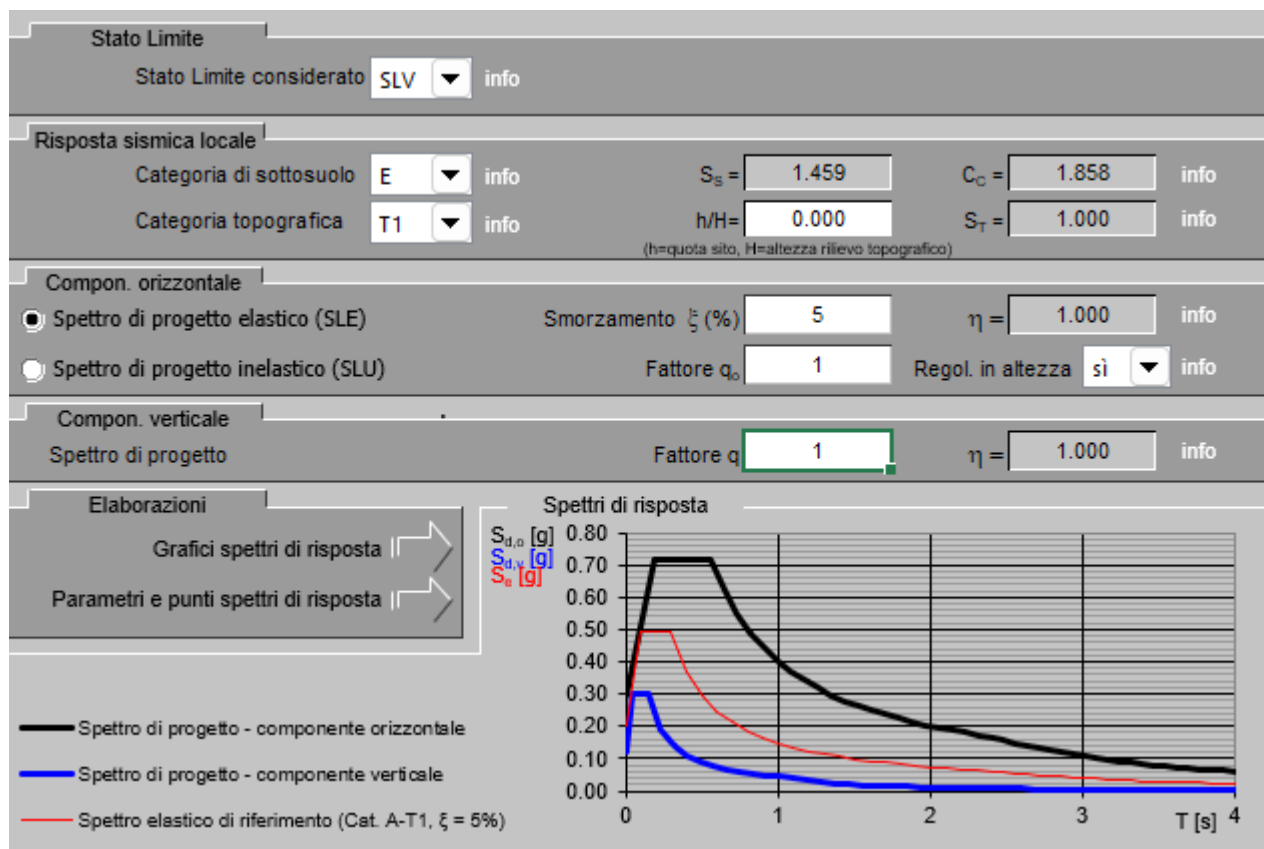
PROGETTAZIONE ATI:

GPI INGEGNERIA

GESTIONE PROGETTI INGEGNERIA srl


cooprogetti

 
Studio di Architettura e Ingegneria Moderna



Parametri e punti dello spettro di risposta orizzontale per lo stato SL

Parametri indipendenti

STATO LIMITE	SLV
a_g	0.202 g
F_o	2.434
T_c	0.301 s
S_s	1.459
C_c	1.858
S_T	1.000
q	1.000

Punti dello spettro di risposta

T [s]	Se [g]
0.000	0.295
0.187	0.718
0.560	0.718
0.648	0.620
0.736	0.546
0.824	0.488
0.912	0.441
1.000	0.402
1.088	0.369
1.176	0.342
1.264	0.318
1.352	0.297
1.440	0.279
1.528	0.263
1.616	0.249
1.704	0.236
1.792	0.224
1.880	0.214
1.968	0.204
2.056	0.195
2.144	0.187
2.232	0.180
2.320	0.173
2.408	0.167
2.484	0.157
2.560	0.148
2.636	0.139
2.712	0.132
2.787	0.125
2.863	0.118
2.939	0.112
3.015	0.106
3.091	0.101
3.166	0.097
3.242	0.092
3.318	0.088
3.394	0.084
3.469	0.080
3.545	0.077
3.621	0.074
3.697	0.071
3.773	0.068
3.848	0.065
3.924	0.063
4.000	0.060

Parametri dipendenti

S	1.459
η	1.000
T_B	0.187 s
T_c	0.560 s
T_D	2.408 s

Espressioni dei parametri dipendenti

$$S = S_s \cdot S_T \quad (\text{NTC-08 Eq. 3.2.5})$$

$$\eta = \sqrt{10/(5+\xi)} \geq 0.55; \quad \eta = 1/q \quad (\text{NTC-08 Eq. 3.2.6; § 3.2.3.5})$$

$$T_B = T_c / 3 \quad (\text{NTC-07 Eq. 3.2.8})$$

$$T_c = C_c \cdot T_c^* \quad (\text{NTC-07 Eq. 3.2.7})$$

$$T_D = 4,0 \cdot a_g / g + 1,6 \quad (\text{NTC-07 Eq. 3.2.9})$$

Espressioni dello spettro di risposta (NTC-08 Eq. 3.2.4)

$$0 \leq T < T_B \quad S_e(T) = a_g \cdot S \cdot \eta \cdot F_o \cdot \left[\frac{T}{T_B} + \frac{1}{\eta \cdot F_o} \left(1 - \frac{T}{T_B} \right) \right]$$

$$T_B \leq T < T_c \quad S_e(T) = a_g \cdot S \cdot \eta \cdot F_o$$

$$T_c \leq T < T_D \quad S_e(T) = a_g \cdot S \cdot \eta \cdot F_o \cdot \left(\frac{T_c}{T} \right)$$

$$T_D \leq T \quad S_e(T) = a_g \cdot S \cdot \eta \cdot F_o \cdot \left(\frac{T_c T_D}{T^2} \right)$$

Lo spettro di progetto $S_e(T)$ per le verifiche agli Stati Limite Ultimi è ottenuto dalle espressioni dello spettro elastico $S_e(T)$ sostituendo η con $1/q$, dove q è il fattore di struttura. (NTC-08 § 3.2.3.5)

PROGETTAZIONE ATI:

GPI INGEGNERIA

GESTIONE PROGETTI INGEGNERIA srl


cooprogetti

 
Studio di Architettura e Ingegneria Moderna

Parametri e punti dello spettro di risposta verticale per lo stato InSLV

Parametri indipendenti

STATO LIMITE	SLV
a_g	0.123 g
S_s	1.000
S_T	1.000
q	1.000
T_B	0.050 s
T_C	0.150 s
T_D	1.000 s

Punti dello spettro di risposta

T [s]	Se [g]
0.000	0.123
0.050	0.299
0.150	0.299
0.235	0.191
0.320	0.140
0.405	0.111
0.490	0.091
0.575	0.078
0.660	0.068
0.745	0.060
0.830	0.054
0.915	0.049
1.000	0.045
1.094	0.037
1.188	0.032
1.281	0.027
1.375	0.024
1.469	0.021
1.563	0.018
1.656	0.016
1.750	0.015
1.844	0.013
1.938	0.012
2.031	0.011
2.125	0.010
2.219	0.009
2.313	0.008
2.406	0.008
2.500	0.007
2.594	0.007
2.688	0.006
2.781	0.006
2.875	0.005
2.969	0.005
3.063	0.005
3.156	0.004
3.250	0.004
3.344	0.004
3.438	0.004
3.531	0.004
3.625	0.003
3.719	0.003
3.813	0.003
3.906	0.003
4.000	0.003

Parametri dipendenti

F _v	1.477
S	1.000
η	1.000

Espressioni dei parametri dipendenti

$$S = S_s \cdot S_T \quad (\text{NTC-08 Eq. 3.2.5})$$

$$\eta = 1/q \quad (\text{NTC-08 §. 3.2.3.5})$$

$$F_v = 1,35 \cdot F_o \cdot \left(\frac{a_g}{g} \right)^{0.5} \quad (\text{NTC-08 Eq. 3.2.11})$$

Espressioni dello spettro di risposta (NTC-08 Eq. 3.2.10)

$$0 \leq T < T_B \quad S_c(T) = a_g \cdot S \cdot \eta \cdot F_v \cdot \left[\frac{T}{T_B} + \frac{1}{\eta \cdot F_o} \left(1 - \frac{T}{T_B} \right) \right]$$

$$T_B \leq T < T_C \quad S_c(T) = a_g \cdot S \cdot \eta \cdot F_v$$

$$T_C \leq T < T_D \quad S_c(T) = a_g \cdot S \cdot \eta \cdot F_v \cdot \left(\frac{T}{T} \right)$$

$$T_D \leq T \quad S_c(T) = a_g \cdot S \cdot \eta \cdot F_v \cdot \left(\frac{T_C \cdot T_D}{T^2} \right)$$

PROGETTAZIONE ATI:

GPI INGEGNERIA

GESTIONE PROGETTI INGEGNERIA srl

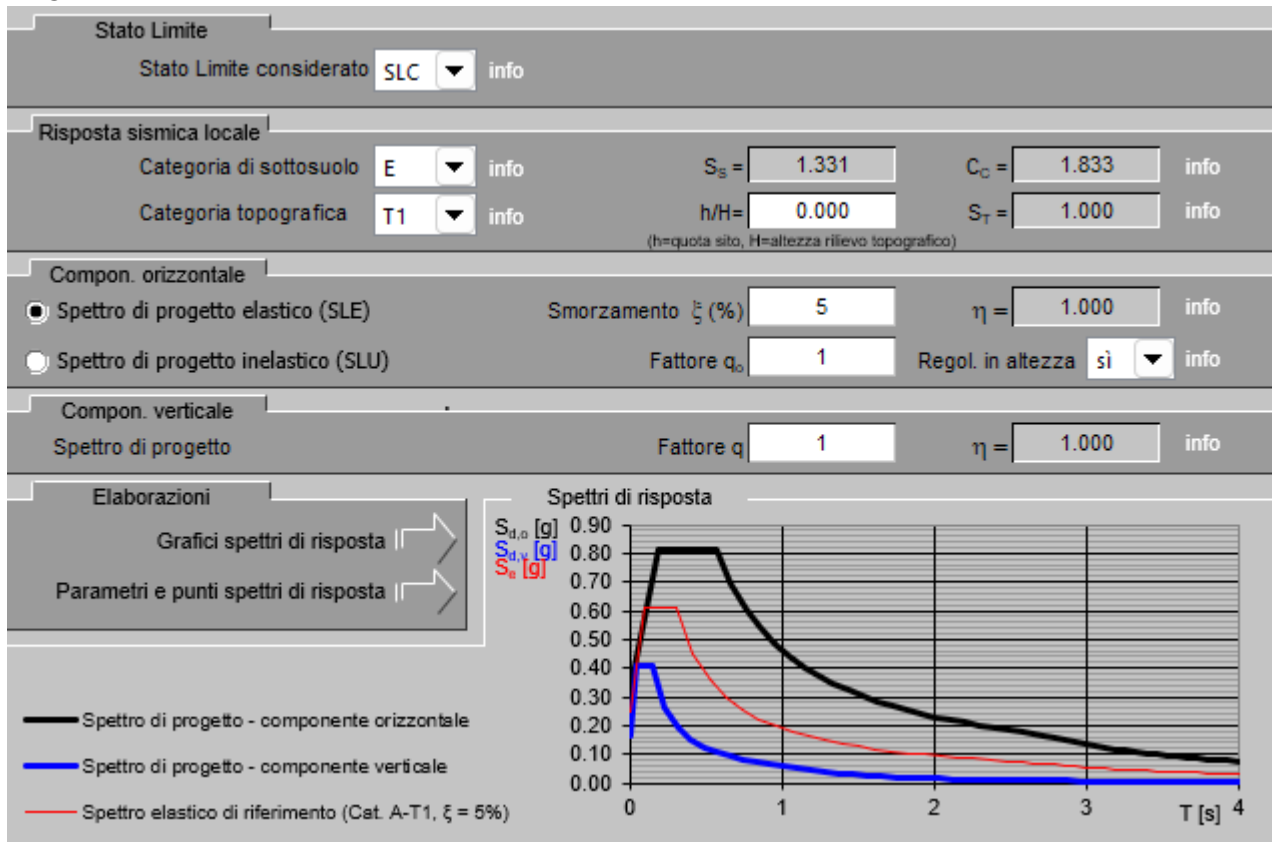


cooprogetti



AM
Studio di Architettura e Ingegneria Moderna

SLC



PROGETTAZIONE ATI:

GPI INGEGNERIA

GESTIONE PROGETTI INGEGNERIA srl


cooprogetti


engeko
Studio di Architettura e Ingegneria Moderna

Pag. 42 di 240

Parametri e punti dello spettro di risposta orizzontale per lo stato SLC

Parametri indipendenti

STATO LIMITE	SLC
a_g	0.247 g
F_o	2.463
T_c'	0.312 s
S_s	1.331
C_c	1.833
S_T	1.000
q	1.000

Punti dello spettro di risposta

T [s]	Se [g]
0.000	0.329
0.190	0.809
0.571	0.809
0.667	0.693
0.763	0.606
0.859	0.538
0.955	0.484
1.051	0.440
1.147	0.403
1.243	0.372
1.339	0.345
1.436	0.322
1.532	0.302
1.628	0.284
1.724	0.268
1.820	0.254
1.916	0.241
2.012	0.230
2.108	0.219
2.204	0.210
2.300	0.201
2.396	0.193
2.492	0.186
2.588	0.179
2.655	0.170
2.722	0.161
2.790	0.154
2.857	0.147
2.924	0.140
2.991	0.134
3.059	0.128
3.126	0.122
3.193	0.117
3.260	0.113
3.328	0.108
3.395	0.104
3.462	0.100
3.529	0.096
3.597	0.093
3.664	0.089
3.731	0.086
3.798	0.083
3.866	0.080
3.933	0.077
4.000	0.075

Parametri dipendenti

S	1.331
η	1.000
T_B	0.190 s
T_c	0.571 s
T_D	2.588 s

Espressioni dei parametri dipendenti

$$S = S_S \cdot S_T \quad (\text{NTC-08 Eq. 3.2.5})$$

$$\eta = \sqrt{10/(5+\xi)} \geq 0.55; \quad \eta = 1/q \quad (\text{NTC-08 Eq. 3.2.6; §. 3.2.3.5})$$

$$T_B = T_c / 3 \quad (\text{NTC-07 Eq. 3.2.8})$$

$$T_c = C_c \cdot T'_c \quad (\text{NTC-07 Eq. 3.2.7})$$

$$T_D = 4,0 \cdot a_g / g + 1,6 \quad (\text{NTC-07 Eq. 3.2.9})$$

Espressioni dello spettro di risposta (NTC-08 Eq. 3.2.4)

$$0 \leq T < T_B \quad S_e(T) = a_g \cdot S \cdot \eta \cdot F_o \cdot \left[\frac{T}{T_B} + \frac{1}{\eta \cdot F_o} \left(1 - \frac{T}{T_B} \right) \right]$$

$$T_B \leq T < T_c \quad S_e(T) = a_g \cdot S \cdot \eta \cdot F_o$$

$$T_c \leq T < T_D \quad S_e(T) = a_g \cdot S \cdot \eta \cdot F_o \cdot \left(\frac{T_c}{T} \right)$$

$$T_D \leq T \quad S_e(T) = a_g \cdot S \cdot \eta \cdot F_o \cdot \left(\frac{T_c \cdot T_D}{T^2} \right)$$

Lo spettro di progetto $S_e(T)$ per le verifiche agli Stati Limite Ultimi è ottenuto dalle espressioni dello spettro elastico $S_e(T)$ sostituendo η con $1/q$, dove q è il fattore di struttura. (NTC-08 § 3.2.3.5)

Parametri e punti dello spettro di risposta verticale per lo stato **inSLC**

Parametri indipendenti

STATO LIMITE	SLC
a_g	0.166 g
S_s	1.000
S_T	1.000
q	1.000
T_B	0.050 s
T_C	0.150 s
T_D	1.000 s

Punti dello spettro di risposta

T [s]	Se [g]
0.000	0.166
0.050	0.408
0.150	0.408
0.235	0.260
0.320	0.191
0.405	0.151
0.490	0.125
0.575	0.106
0.660	0.093
0.745	0.082
0.830	0.074
0.915	0.067
1.000	0.061
1.094	0.051
1.188	0.043
1.281	0.037
1.375	0.032
1.469	0.028
1.563	0.025
1.656	0.022
1.750	0.020
1.844	0.018
1.938	0.016
2.031	0.015
2.125	0.014
2.219	0.012
2.313	0.011
2.406	0.011
2.500	0.010
2.594	0.009
2.688	0.008
2.781	0.008
2.875	0.007
2.969	0.007
3.063	0.007
3.156	0.006
3.250	0.006
3.344	0.005
3.438	0.005
3.531	0.005
3.625	0.005
3.719	0.004
3.813	0.004
3.906	0.004
4.000	0.004

Espressioni dei parametri dipendenti

$$S = S_s \cdot S_T \quad (\text{NTC-08 Eq. 3.2.5})$$

$$\eta = 1/q \quad (\text{NTC-08 §. 3.2.3.5})$$

$$F_v = 1,35 \cdot F_o \cdot \left(\frac{a_g}{g} \right)^{0.5} \quad (\text{NTC-08 Eq. 3.2.11})$$

Espressioni dello spettro di risposta (NTC-08 Eq. 3.2.10)

$$\begin{cases} 0 \leq T < T_B & S_e(T) = a_g \cdot S \cdot \eta \cdot F_v \cdot \left[\frac{T}{T_B} + \frac{1}{\eta \cdot F_o} \left(1 - \frac{T}{T_B} \right) \right] \\ T_B \leq T < T_C & S_e(T) = a_g \cdot S \cdot \eta \cdot F_v \\ T_C \leq T < T_D & S_e(T) = a_g \cdot S \cdot \eta \cdot F_v \cdot \left(\frac{T}{T} \right) \\ T_D \leq T & S_e(T) = a_g \cdot S \cdot \eta \cdot F_v \cdot \left(\frac{T_C \cdot T_D}{T^2} \right) \end{cases}$$

L'impalcato è vincolato con 20 isolatori in gomma.

Inoltre le proprietà nominali dell'isolatore, e dunque quelle di tutto il sistema di isolamento, possono subire modifiche dovute all'invecchiamento, temperatura, storia di carico. Questa variabilità è tenuta in conto (come richiesto per le costruzioni in classe d'uso III e IV al paragrafo 7.10.5.1 del D.M. 14.01.2008) in accordo alla EN1998-2 [punto 7.5.2.4(2)P], tramite l'utilizzo di due gruppi di caratteristiche del sistema di isolamento:

PROGETTAZIONE ATI:

GPI INGEGNERIA
GESTIONE PROGETTI INGEGNERIA srl


cooprogetti


engeko


ANIM
Studio di Architettura e Ingegneria Moderna

- proprietà di progetto limiti superiori [upper bound design properties (UBDP)]
- proprietà di progetto limiti inferiori [lower bound design properties (LBDP)]

In generale devono essere effettuate due distinte analisi, una usando l'UBDP, ed un'altra usando l'LBDP. L'analisi con UBDP conduce in genere alle azioni massime su sottostrutture ed impalcato, mentre quella con LBDP porta ai massimi spostamenti dei dispositivi di isolamento.

I valori di progetto UBDP e LBDP sono calcolati in accordo alle EN1998-2 (Appendici J e JJ) e la UNI EN 15129, secondo quanto riportato di seguito attraverso la definizione di un parametro λ che tengono conto di alcuni effetti come bassa temperatura e invecchiamento che aumentano la rigidezza di progetto della gomma.

A questo va aggiunta una variabilità del 20% per la produzione.

Tenuto conto che il rapporto tra i parametri UBDP e LBDP deve essere almeno maggiore di 1.8, si considera un fattore di 1.5 per l'UBDP e di 0.8 per LBDP.

7. COMBINAZIONI DI CARICO

7.1. COMBINAZIONI PER GLI SLU

Con riferimento al §5.1.3.12 del NTC 2018, ed alle tabelle riportate nel seguito, si sono impiegate nei calcoli di verifica le seguenti combinazioni allo SLU.

Combinazione tipo:

$$1.35 g_1 + 1.5 g_2 + 1.35 q_{1A,i} + 0.9 q_{5vento2} + 1.2 \varepsilon_2$$

		Coefficiente	EQU ⁽¹⁾	A1 STR	A2 GEO
Carichi permanenti	favorevoli sfavorevoli	γ_{G1}	0,90 1,10	1,00 1,35	1,00 1,00
Carichi permanenti non strutturali ⁽²⁾	favorevoli sfavorevoli	γ_{G2}	0,00 1,50	0,00 1,50	0,00 1,30
Carichi variabili da traffico	favorevoli sfavorevoli	γ_Q	0,00 1,35	0,00 1,35	0,00 1,15
Carichi variabili	favorevoli sfavorevoli	γ_{Qi}	0,00 1,50	0,00 1,50	0,00 1,30
Distorsioni e presollecitazioni di progetto	favorevoli sfavorevoli	γ_{e1}	0,90 1,00 ⁽³⁾	1,00 1,00 ⁽⁴⁾	1,00 1,00
Ritiro e viscosità, Variazioni termiche, Cedimenti vincolari	favorevoli sfavorevoli	$\gamma_{e2}, \gamma_{e3}, \gamma_{e4}$	0,00 1,20	0,00 1,20	0,00 1,00

⁽¹⁾ Equilibrio che non coinvolga i parametri di deformabilità e resistenza del terreno; altrimenti si applicano i valori di GEO.
⁽²⁾ Nel caso in cui i carichi permanenti non strutturali (ad es. carichi permanenti portati) siano compiutamente definiti si potranno adottare gli stessi coefficienti validi per le azioni permanenti.
⁽³⁾ 1,30 per instabilità in strutture con precompressione esterna
⁽⁴⁾ 1,20 per effetti locali

Per quanto riguarda i carichi mobili, la simultaneità dei sistemi di carico definiti nel DM 17 gennaio 2018 (modelli di carico 1, 2, 3, 4, 6 - forze orizzontali - carichi agenti su ponti pedonali), deve essere tenuta in conto considerando i "gruppi di azioni" definiti nella tabella seguente.

Ognuno dei "gruppi di azioni", indipendente dagli altri, deve essere considerato come azione

PROGETTAZIONE ATI:

GPI INGEGNERIA
GESTIONE PROGETTI INGEGNERIA srl


cooprogetti


engeko


AIM
Studio di Architettura e Ingegneria Moderna

caratteristica per la combinazione con gli altri carichi agenti sul ponte.

Gruppo di azioni	<i>Carichi sulla carreggiata</i>				<i>Carichi su marciapiedi e piste ciclabili</i>	
	<i>Carichi verticali</i>			<i>Carichi orizzontali</i>		<i>Carichi verticali</i>
	Modello principale (Schemi di carico 1, 2, 3, 4, 6)	Veicoli speciali	Folla (Schema di carico 5)	Frenatura q_3	Forza centrifuga q_4	Carico uniformemente distribuito
1	Valore caratteristico					Schema di carico 5 con valore di combinazione $2,5 \text{ kN/m}^2$
2 a	Valore frequente			Valore caratteristico		
2 b	Valore frequente				Valore caratteristico	
3 (*)						Schema di carico 5 con valore caratteristico $5,0 \text{ kN/m}^2$
4 (**)			Schema di carico 5 con valore caratteristico $5,0 \text{ kN/m}^2$			Schema di carico 5 con valore caratteristico $5,0 \text{ kN/m}^2$
5 (***)	Da definirsi per il singolo progetto	Valore caratteristico o nominale				

(*) Ponti di 3^a categoria
 (**) Da considerare solo se richiesto dal particolare progetto (ad es. ponti in zona urbana)
 (***) Da considerare solo se si considerano veicoli speciali

Le combinazioni di azioni per le verifiche agli stati limite ultimi, definite al punto 2.5.3 del D.M. 17 gennaio 2018, sono espresse complessivamente dalle seguenti relazioni:

$$\sum_{j>1} \gamma_{G,j} \cdot G_{k,j} + \gamma_P \cdot P + \gamma_{Q,1} \cdot Q_{k,1} + \sum_{i>1} \gamma_{Q,i} \cdot \psi_{0,i} \cdot Q_{k,i}$$

Dove:

- G_k è il valore caratteristico delle azioni permanenti;
- E è l'azione del sisma per lo stato limite considerato;
- P è il valore caratteristico delle azioni di precompressione;
- Q_k è il valore caratteristico delle azioni variabili;
- $\gamma_G, \gamma_P, \gamma_Q$ sono i coefficienti parziali delle azioni agli SLU;
- ψ_0, ψ_2 sono i coefficienti di combinazione delle azioni variabili;

I valori dei coefficienti $\psi_0, \gamma_G, \gamma_P, \gamma_Q$ sono riportati nelle tabelle sottostanti:

PROGETTAZIONE ATI:

GPI INGEGNERIA
GESTIONE PROGETTI INGEGNERIA srl


cooprogetti


engeko


Studio di Architettura e Ingegneria Moderna

OPERE D'ARTE MAGGIORI – ASSE COLLEGAMENTO PALAZZO DEL PERO - VI.10 - VIADOTTO SCOPETONE

<i>Azioni</i>	<i>Gruppo di azioni (Tabella 5.IV)</i>	<i>Coefficiente ψ_0 di combinazione</i>	<i>Coefficiente Ψ_1 (valori frequenti)</i>	<i>Coefficiente Ψ_2 (valori quasi permanenti)</i>
<i>Azioni da traffico (Tabella 5.IV)</i>	Schema 1 (Carichi tandem)	0,75	0,75	0,0
	Schemi 1, 5 e 6 (Carichi distribuiti)	0,40	0,40	0,0
	Schemi 3 e 4 (carichi concentrati)	0,40	0,40	0,0
	Schema 2	0,0	0,75	0,0
	2	0,0	0,0	0,0
	3	0,0	0,0	0,0
<i>Vento qs</i>	4 (folla)	----	0,75	0,0
	5	0,0	0,0	0,0
<i>Neve qs</i>	Vento a ponte scarico			
	SLU e SLE	0,6	0,2	0,0
	Esecuzione	0,8	----	0,0
<i>Temperatura</i>	Vento a ponte carico	0,6		
	SLU e SLE	0,0	0,0	0,0
	esecuzione	0,8	0,6	0,5
<i>Temperatura</i>	T _k	0,6	0,6	0,5

		<i>Coefficiente</i>	<i>EQU⁽¹⁾</i>	<i>A1 STR</i>	<i>A2 GEO</i>
Carichi permanenti	favorevoli sfavorevoli	γ_{G1}	0,90 1,10	1,00 1,35	1,00 1,00
Carichi permanenti non strutturali ⁽²⁾	favorevoli sfavorevoli	γ_{G2}	0,00 1,50	0,00 1,50	0,00 1,30
Carichi variabili da traffico	favorevoli sfavorevoli	γ_Q	0,00 1,35	0,00 1,35	0,00 1,15
Carichi variabili	favorevoli sfavorevoli	γ_{Qi}	0,00 1,50	0,00 1,50	0,00 1,30
Distorsioni e presollecitazioni di progetto	favorevoli sfavorevoli	γ_{el}	0,90 1,00 ⁽³⁾	1,00 1,00 ⁽⁴⁾	1,00 1,00
Ritiro e viscosità, Variazioni termiche, Cedimenti vincolari	favorevoli sfavorevoli	$\gamma_{e2}, \gamma_{e3}, \gamma_{e4}$	0,00 1,20	0,00 1,20	0,00 1,00

⁽¹⁾ Equilibrio che non coinvolge i parametri di deformabilità e resistenza del terreno; altrimenti si applicano i valori di GEO.

⁽²⁾ Nel caso in cui i carichi permanenti non strutturali (ad es. carichi permanenti portati) siano comunque definiti si potranno adottare gli stessi coefficienti validi per le azioni permanenti.

⁽³⁾ 1,30 per instabilità in strutture con precompressione esterna

⁽⁴⁾ 1,20 per effetti locali

7.2. COMBINAZIONI PER GLI SLE

Le combinazioni di azioni per le verifiche agli stati limite di esercizio SLE, sono invece espresse dalla seguente relazione di limitazione delle tensioni, in combinazione di carico caratteristica

$$G_1 + G_2 + P + Q_{k1} + \psi_{02} \cdot Q_{k2} + \psi_{03} \cdot Q_{k3} + \dots$$

8. CODICE DI CALCOLO

Il calcolo agli elementi finiti della struttura è stato condotto mediante l'utilizzo del software MIDAS CIVIL 2020 ver.3.2.

Origine e caratteristiche del codice di calcolo

MIDAS Information Technology, Co., Ltd.

SKn Technopark Tech-center 15th fl. 190-1 Sangdaewon1-dong

Jungwon-gu, Seongnam, Gyeonggi-do, 462-721, Korea

Tel: 82-31-789-2000 Fax: 82-31-789-2001

PROGETTAZIONE ATI:

GPI INGEGNERIA
 GESTIONE PROGETTI INGEGNERIA srl

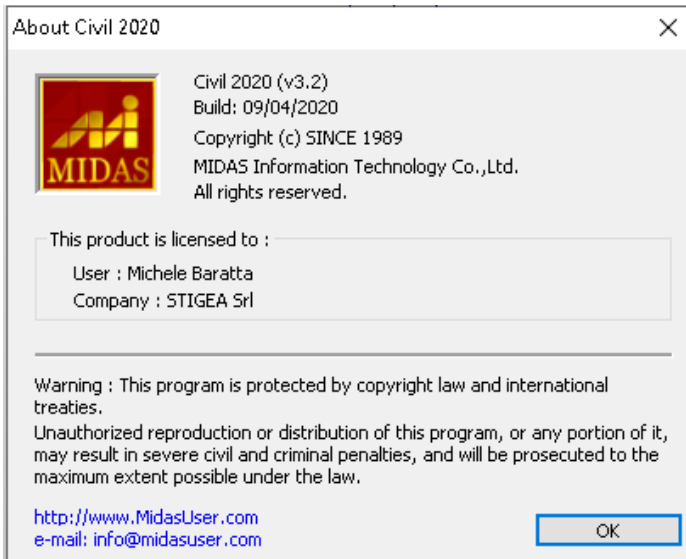

 cooprogetti


 engeko


 AIM
Studio di Architettura e Ingegneria Moderna

- n. di serie della licenza: *U001-09640*
- intestato alla Ditta : *STIGEA S.r.l., Bologna*

Si allegano gli estremi della licenza d'uso:



Affidabilità del codice utilizzato

La documentazione di validazione a corredo del software, fornita dal distributore del prodotto e preliminarmente esaminata dal progettista, è disponibile presso STIGEA S.r.l., via Irnerio n.10, Bologna.

9. DESCRIZIONE DEL MODELLO DI CALCOLO

Per la modellazione dell'impalcato si è considerato uno schema strutturale a travi, costituito da n.2 travi a sezione composta (trave "a doppia T" in acciaio e soletta in c.a. s=0.32 m).

La modellazione dell'impalcato è completata dai traversi a sezione generica con inerzia equivalente ai traversi reticolari (diaframmi), costituiti da profili a L accoppiati in acciaio, posti a un interasse tra i 4 ed i 6.00m.

Solo i diaframmi in appoggio sono modellati tridimensionalmente per tenere in conto della distanza ed eccentricità dal piano di appoggio.

Nelle due campate centrali è modellata anche la controventatura inferiore.

Nel modello è rappresentato il piano della soletta costituito da elementi con passo 2m collegati con elementi rigidi solo assialmente (quindi non in grado di influenzare la deformabilità della trave) sui cui viene fatto viaggiare il carico mobile che trasferisce alle travi la quotaparte di carico

Delle sottostrutture sono modellate solo le elevazioni delle pile, le spalle sono considerate come punti fissi essendo il ponte vincolato tramite isolatori elastomerici.

PROGETTAZIONE ATI:

GPI INGEGNERIA

GESTIONE PROGETTI INGEGNERIA srl

 **cooprogetti**

 **engeko**
Studio di Architettura e Ingegneria Moderna

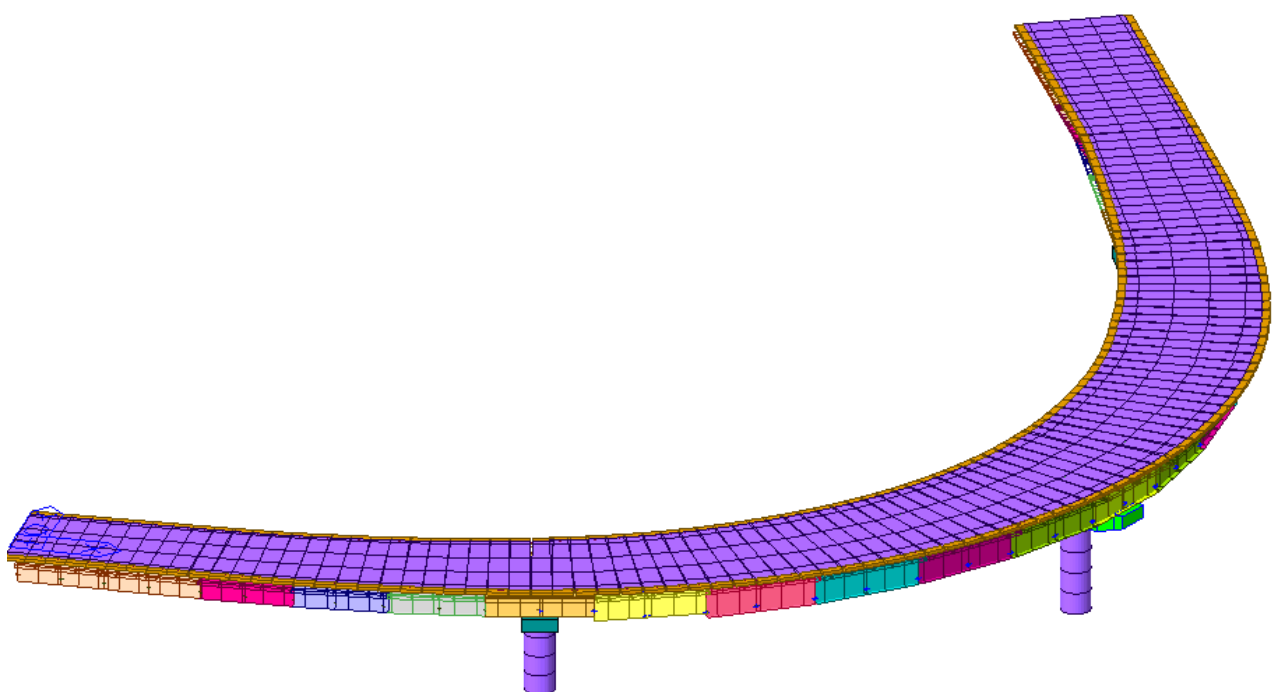


Figura 7 Modello di calcolo - vista estrusa

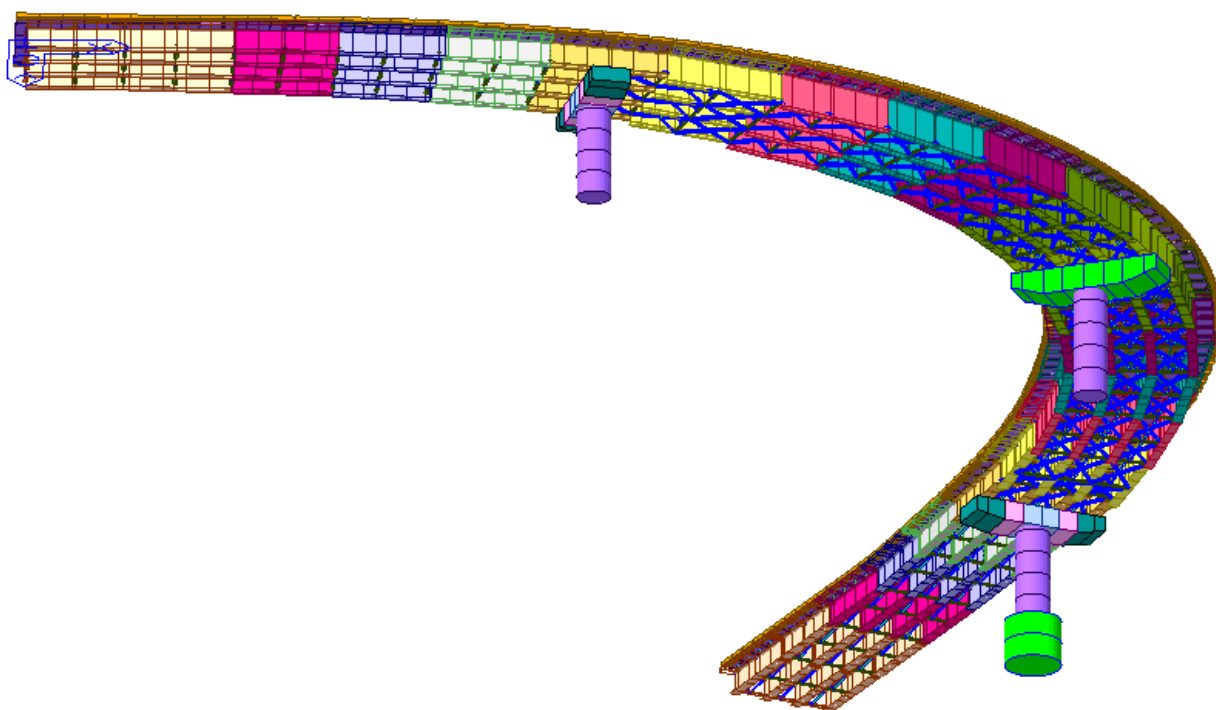


Figura 8 Modello di calcolo – vista estrusa

10. FASI DI COSTRUZIONE

Le varie fasi esecutive dell'impalcato e i differenti tempi di applicazione del carico sono determinate attraverso la construction stage analysis secondo il metodo:

SEQUENTIAL ANALYSIS + LONG-TERM MODULAR RATIO

In cui vengono definite delle caratteristiche inerziali con coefficienti di omogenizzazione del cls all'acciaio differenti a seconda della natura temporale dell'azione agente, sostanzialmente raggruppate nelle seguenti fasi:

- Fase 1: Considera il peso proprio della struttura metallica, il peso delle lastre prefabbricate e del getto fluido della soletta (che in questa fase non è ancora reagente).
 - Fase 2: Considera il peso dei successivi carichi permanenti applicati alla struttura (pavimentazione, cordoli, barriere di sicurezza, velette prefabbricate in cls, parapetti metallici), i carichi dovuti al ritiro del cls ed eventuali cedimenti vincolari.
- In questa fase viene considerato un coefficiente $n = Es/Ec$ pari a 18 così come definito nel parag.7.5
- Fase 3: Considera il transito dei carichi mobili (comprese le azioni centrifughe e di avviamento/frenamento ad essi imputabili), l'azione del vento, le azioni sismiche e l'effetto della differenza di temperatura tra la soletta in cls e le travi metalliche.

La sezione resistente è completamente reagente; le sue caratteristiche statiche sono calcolate con modulo istantaneo ($n = Es / Ec$) in virtù della breve durata delle sollecitazioni.

Per il calcolo della larghezza collaborante efficace di soletta (b_{eff}), si è fatto riferimento a quanto prescritto al paragrafo 4.3.2.3 delle NTC.

4.3.2.3 Larghezze efficaci

La distribuzione delle tensioni normali negli elementi composti, deve essere determinata o mediante una analisi rigorosa o utilizzando nel calcolo la larghezza efficace della soletta.

La larghezza efficace, b_{eff} , di una soletta in calcestruzzo può essere determinata mediante l'espressione

$$b_{eff} = b_0 + b_{el} + b_{e2}. \quad (4.3.2)$$

dove b_0 è la distanza tra gli assi dei connettori e $b_{el} = \min(L_e/8, b_i)$ è il valore della larghezza collaborante da ciascun lato della sezione composta (vedi fig. 4.3.1).

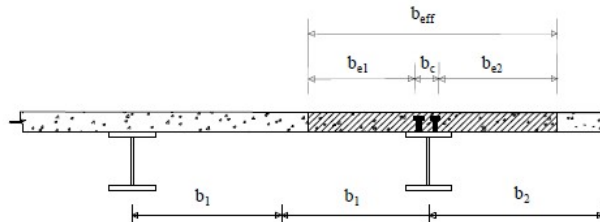


Figura 4.3.1. - Definizione della larghezza efficace b_{eff} e delle aliquote b_{el} .

L_e nelle travi semplicemente appoggiate è la luce della trave, nelle travi continue è la distanza indicata in fig. 4.3.2.

Per gli appoggi di estremità la formula diviene

$$b_{eff} = b_0 + \beta_1 b_{el} + \beta_2 b_{e2}. \quad (4.3.3)$$

dove $\beta_i = \left(0,55 + 0,025 \cdot \frac{L_e}{b_{ui}} \right) \leq 1,0$.

PROGETTAZIONE ATI:

GPI INGEGNERIA

GESTIONE PROGETTI INGEGNERIA srl


cooprogetti


engeko


AIM
Studio di Architettura e Ingegneria Moderna

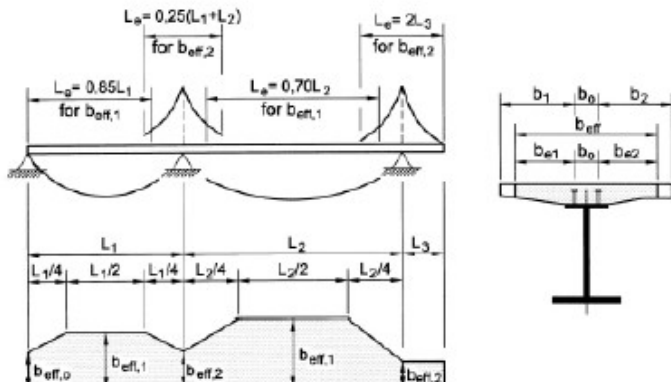
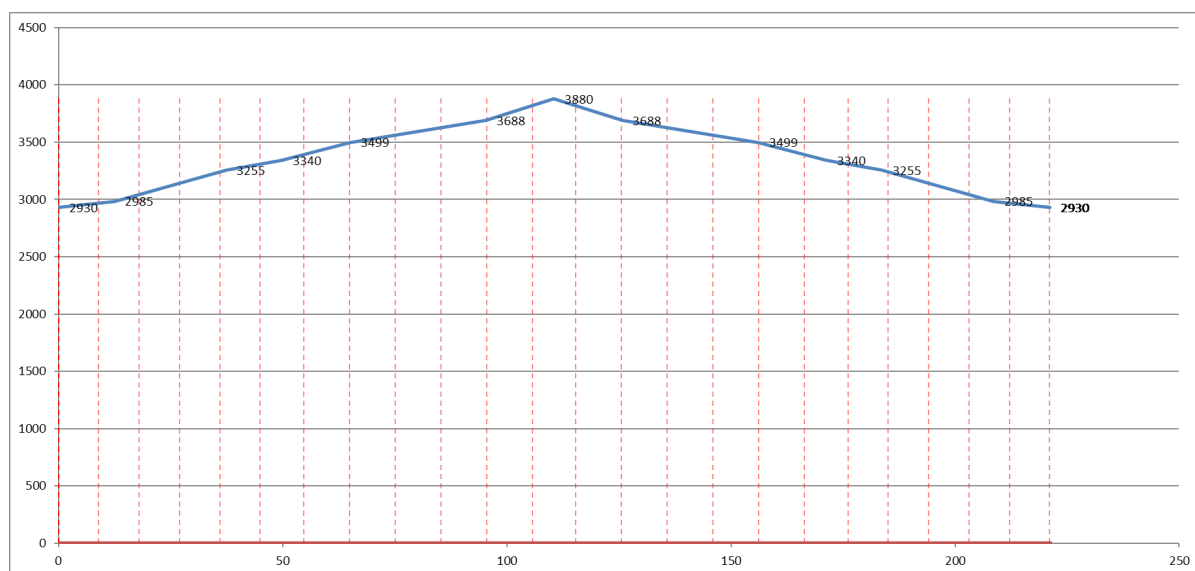


Figura 4.3.2 - Larghezza efficace, b_{eff} , e luci equivalenti, L_e , per le travi continue

Si riporta di seguito il grafico dell'andamento della larghezza collaborante nello sviluppo dell'impalcato.



La larghezza collaborante aumenta nel tratto centrale per effetto dell'aumento dell'interasse delle travi, nei conci si adotta un valore medio dei valori all'estremità del concio stesso.

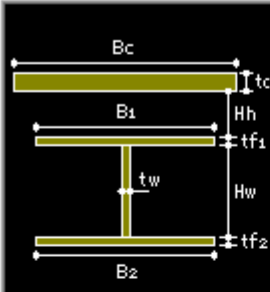
Per le sezioni comprese nelle zone adiacenti alle pile per una estensione pari al 15% della luce della campata la sezione viene considerata fessurata.

11. SEZIONI MEMBRATURE IMPALCATO

Nel modello di calcolo si sono considerate le seguenti 12 sezioni della trave principale, di seguito si riportano le caratteristiche geometriche e le caratteristiche inerziali secondo le fasi di calcolo considerate:

Concio:	1	2	3	4	5	6	7	8	9	10	11	12	11	10	9	8	7	6	5	4	3	2	1
n° pila:	Spalla						Pila						Pila					Pila					Spalla
							1						2					3					

Section ID Name



Section Type :

Slab

Bc	<input type="text" value="2.921"/>	m
tc	<input type="text" value="0.32"/>	m
Hh	<input type="text" value="0"/>	m

Girder

Hw	<input type="text" value="1.74"/>	tw	<input type="text" value="0.022"/>	m
B1	<input type="text" value="0.6"/>	B2	<input type="text" value="0.9"/>	m
Bf1	<input type="text" value="0"/>	Bf2	<input type="text" value="0"/>	m
tf1	<input type="text" value="0.03"/>	tf2	<input type="text" value="0.03"/>	m
Bf3	<input type="text" value="0"/>	tfp	<input type="text" value="0"/>	m

FEM Equation

Offset : Center-Top

Select Material from DB ...

Es / Ec	<input type="text" value="6.16251"/>	Ds / Dc	<input type="text" value="3.0792"/>
Ps	<input type="text" value="0.3"/>	Pc	<input type="text" value="0.2"/>
Ts / Tc	<input type="text" value="1.2"/>	<input checked="" type="checkbox"/> Multiple Modulus of Elasticity	
Es/Ec (Creep)	<input type="text" value="18"/>		
Es/Ec (Shrinkage)	<input type="text" value="18"/>		

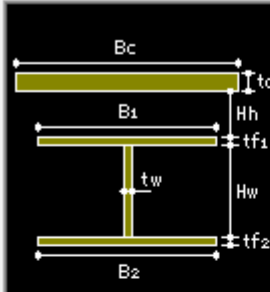
Consider Shear Deformation.
 Consider Warping Effect(7th DOF)

Section Properties

X

	Value(Before)	Value(After)	Long Term	Shrinkage	Unit
Area	8.328000e-02	2.349585e-01	1.352089e-01	1.352089e-01	m^2
Asy	3.382082e-02	1.580525e-01	6.202170e-02	6.202170e-02	m^2
Asz	3.759449e-02	4.451544e-02	4.104798e-02	4.104798e-02	m^2
Ixx	1.978232e-05	2.824148e-03	9.798898e-04	9.798898e-04	m^4
Iyy	4.414476e-02	1.172383e-01	8.730388e-02	8.730388e-02	m^4
Izz	2.364044e-03	1.102105e-01	3.928653e-02	3.928653e-02	m^4
Cxp	4.500000e-01	4.500000e-01	4.500000e-01	4.500000e-01	m
Cym	4.500000e-01	4.500000e-01	4.500000e-01	4.500000e-01	m
Czp	9.956412e-01	2.496120e-01	5.518008e-01	5.518008e-01	m
Czm	8.043588e-01	1.550388e+00	1.248199e+00	1.248199e+00	m
Qyb	0.000000e+00	0.000000e+00	0.000000e+00	0.000000e+00	m^2
Qzb	0.000000e+00	0.000000e+00	0.000000e+00	0.000000e+00	m^2
Peri:O	6.556000e+00	1.303800e+01	1.303800e+01	1.303800e+01	m
Peri:I	0.000000e+00	0.000000e+00	0.000000e+00	0.000000e+00	m
Center:y	4.500000e-01	1.460500e+00	1.460500e+00	1.460500e+00	m
Center:z	8.043588e-01	1.550388e+00	1.248199e+00	1.248199e+00	m
y1	-3.000000e-01	-3.000000e-01	-3.000000e-01	-3.000000e-01	m
z1	9.956412e-01	2.496120e-01	5.518008e-01	5.518008e-01	m
v2	3.000000e-01	3.000000e-01	3.000000e-01	3.000000e-01	m
z2	9.956412e-01	2.496120e-01	5.518008e-01	5.518008e-01	m
v3	4.500000e-01	4.500000e-01	4.500000e-01	4.500000e-01	m
z3	-8.043588e-01	-1.550388e+00	-1.248199e+00	-1.248199e+00	m
y4	-4.500000e-01	-4.500000e-01	-4.500000e-01	-4.500000e-01	m
z4	-8.043588e-01	-1.550388e+00	-1.248199e+00	-1.248199e+00	m

Section ID Name



Section Type :

Slab

Bc	<input type="text" value="2.979"/>	m
tc	<input type="text" value="0.32"/>	m
Hh	<input type="text" value="0"/>	m

Girder

Hw	<input type="text" value="1.755"/>	tw	<input type="text" value="0.02"/>	m
B1	<input type="text" value="0.7"/>	B2	<input type="text" value="1"/>	m
Bf1	<input type="text" value="0"/>	Bf2	<input type="text" value="0"/>	m
tf1	<input type="text" value="0.03"/>	tf2	<input type="text" value="0.04"/>	m
Bf3	<input type="text" value="0"/>	tfp	<input type="text" value="0"/>	m

Display Centroid

FEM Equation

Offset : Center-Top

Material

Es / Ec	<input type="text" value="6.16251"/>	Ds / Dc	<input type="text" value="3.0792"/>
Ps	<input type="text" value="0.3"/>	Pc	<input type="text" value="0.2"/>
Ts / Tc	<input type="text" value="1.2"/>	<input checked="" type="checkbox"/> Multiple Modulus of Elasticity	

Es/Ec (Creep)

Es/Ec (Shrinkage)

Consider Shear Deformation.

Consider Warping Effect(7th DOF)

Section Properties X

	Value(Before)	Value(After)	Long Term	Shrinkage	Unit
Area	9.610000e-02	2.507902e-01	1.490600e-01	1.490600e-01	m^2
Asy	4.712517e-02	1.681287e-01	7.005848e-02	7.005848e-02	m^2
Asz	3.478895e-02	4.118338e-02	3.834328e-02	3.834328e-02	m^2
Ixx	3.240667e-05	2.892457e-03	1.011578e-03	1.011578e-03	m^4
Iyy	5.490065e-02	1.482525e-01	1.083644e-01	1.083644e-01	m^4
Izz	4.192003e-03	1.185911e-01	4.335787e-02	4.335787e-02	m^4
Cyp	5.000000e-01	5.000000e-01	5.000000e-01	5.000000e-01	m
Cym	5.000000e-01	5.000000e-01	5.000000e-01	5.000000e-01	m
Czp	1.086038e+00	3.174678e-01	6.433292e-01	6.433292e-01	m
Czm	7.389620e-01	1.507532e+00	1.181671e+00	1.181671e+00	m
Qvb	0.000000e+00	0.000000e+00	0.000000e+00	0.000000e+00	m^2
Qzb	0.000000e+00	0.000000e+00	0.000000e+00	0.000000e+00	m^2
Peri:O	7.010000e+00	1.360800e+01	1.360800e+01	1.360800e+01	m
Peri:l	0.000000e+00	0.000000e+00	0.000000e+00	0.000000e+00	m
Center:y	5.000000e-01	1.489500e+00	1.489500e+00	1.489500e+00	m
Center:z	7.389620e-01	1.507532e+00	1.181671e+00	1.181671e+00	m
y1	-3.500000e-01	-3.500000e-01	-3.500000e-01	-3.500000e-01	m
z1	1.086038e+00	3.174678e-01	6.433292e-01	6.433292e-01	m
y2	3.500000e-01	3.500000e-01	3.500000e-01	3.500000e-01	m
z2	1.086038e+00	3.174678e-01	6.433292e-01	6.433292e-01	m
y3	5.000000e-01	5.000000e-01	5.000000e-01	5.000000e-01	m
z3	-7.389620e-01	-1.507532e+00	-1.181671e+00	-1.181671e+00	m
y4	-5.000000e-01	-5.000000e-01	-5.000000e-01	-5.000000e-01	m
z4	-7.389620e-01	-1.507532e+00	-1.181671e+00	-1.181671e+00	m

Section ID

Name

Section Type :

Slab

Bc	<input type="text" value="3.094"/>	m
tc	<input type="text" value="0.32"/>	m
Hh	<input type="text" value="0"/>	m

Girder

Hw	<input type="text" value="1.805"/>	tw	<input type="text" value="0.02"/>	m
B1	<input type="text" value="0.7"/>	B2	<input type="text" value="1"/>	m
Bf1	<input type="text" value="0"/>	Bf2	<input type="text" value="0"/>	m
tf1	<input type="text" value="0.03"/>	tf2	<input type="text" value="0.04"/>	m
Bf3	<input type="text" value="0"/>	tfp	<input type="text" value="0"/>	m

Material

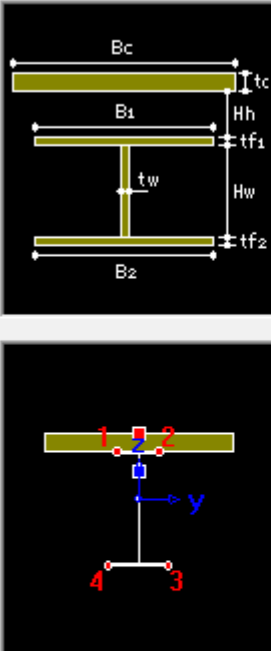
Select Material from DB ...

Es / Ec	<input type="text" value="6.16251"/>	Ds / Dc	<input type="text" value="3.0792"/>
Ps	<input type="text" value="0.3"/>	Pc	<input type="text" value="0.2"/>
Ts / Tc	<input type="text" value="1.2"/>	<input checked="" type="checkbox"/> Multiple Modulus of Elasticity	
Es/Ec (Creep)	<input type="text" value="18"/>		
Es/Ec (Shrinkage)	<input type="text" value="18"/>		

FEM Equation

Offset : Center-Top

Consider Shear Deformation.
 Consider Warping Effect(7th DOF)



Section Properties

X

	Value(Before)	Value(After)	Long Term	Shrinkage	Unit
Area	9.710000e-02	2.577618e-01	1.521044e-01	1.521044e-01	m^2
Asy	4.713521e-02	1.728613e-01	7.104067e-02	7.104067e-02	m^2
Asz	3.577002e-02	4.211785e-02	3.923776e-02	3.923776e-02	m^2
Ixx	3.254000e-05	3.002998e-03	1.049511e-03	1.049511e-03	m^4
Iyy	5.832441e-02	1.579413e-01	1.157939e-01	1.157939e-01	m^4
Izz	4.192037e-03	1.323578e-01	4.807108e-02	4.807108e-02	m^4
Cyp	5.000000e-01	5.000000e-01	5.000000e-01	5.000000e-01	m
Cym	5.000000e-01	5.000000e-01	5.000000e-01	5.000000e-01	m
Czp	1.114091e+00	3.199557e-01	6.533507e-01	6.533507e-01	m
Czm	7.609089e-01	1.555044e+00	1.221649e+00	1.221649e+00	m
Qvb	0.000000e+00	0.000000e+00	0.000000e+00	0.000000e+00	m^2
Qzb	0.000000e+00	0.000000e+00	0.000000e+00	0.000000e+00	m^2
Peri:O	7.110000e+00	1.393800e+01	1.393800e+01	1.393800e+01	m
Peri:l	0.000000e+00	0.000000e+00	0.000000e+00	0.000000e+00	m
Center:y	5.000000e-01	1.547000e+00	1.547000e+00	1.547000e+00	m
Center:z	7.609089e-01	1.555044e+00	1.221649e+00	1.221649e+00	m
y1	-3.500000e-01	-3.500000e-01	-3.500000e-01	-3.500000e-01	m
z1	1.114091e+00	3.199557e-01	6.533507e-01	6.533507e-01	m
y2	3.500000e-01	3.500000e-01	3.500000e-01	3.500000e-01	m
z2	1.114091e+00	3.199557e-01	6.533507e-01	6.533507e-01	m
y3	5.000000e-01	5.000000e-01	5.000000e-01	5.000000e-01	m
z3	-7.609089e-01	-1.555044e+00	-1.221649e+00	-1.221649e+00	m
y4	-5.000000e-01	-5.000000e-01	-5.000000e-01	-5.000000e-01	m
z4	-7.609089e-01	-1.555044e+00	-1.221649e+00	-1.221649e+00	m

Section ID

Name

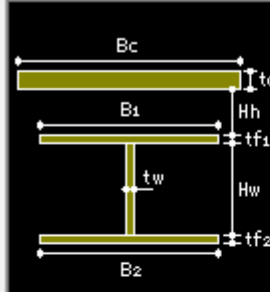
Section Type :

Slab

Bc	<input type="text" value="3.191"/>	m
tc	<input type="text" value="0.32"/>	m
Hh	<input type="text" value="0"/>	m

Girder

Hw	<input type="text" value="1.855"/>	tw	<input type="text" value="0.02"/>	m
B1	<input type="text" value="0.7"/>	B2	<input type="text" value="0.9"/>	m
Bf1	<input type="text" value="0"/>	Bf2	<input type="text" value="0"/>	m
tf1	<input type="text" value="0.03"/>	tf2	<input type="text" value="0.04"/>	m
Bf3	<input type="text" value="0"/>	tfp	<input type="text" value="0"/>	m



FEM Equation

Offset: Center-Top

Material

Es / Ec	<input type="text" value="6.16251"/>	Ds / Dc	<input type="text" value="3.0792"/>
Ps	<input type="text" value="0.3"/>	Pc	<input type="text" value="0.2"/>
Ts / Tc	<input type="text" value="1.2"/>	<input checked="" type="checkbox"/> Multiple Modulus of Elasticity	

Es/Ec (Creep)

Es/Ec (Shrinkage)

Consider Shear Deformation.

Consider Warping Effect(7th DOF)

Section Properties

X

	Value(Before)	Value(After)	Long Term	Shrinkage	Unit
Area	9.410000e-02	2.597987e-01	1.508289e-01	1.508289e-01	m^2
Asy	4.562373e-02	1.749592e-01	6.974672e-02	6.974672e-02	m^2
Asz	3.684790e-02	4.314560e-02	4.018114e-02	4.018114e-02	m^2
Ixx	3.054000e-05	3.094125e-03	1.079394e-03	1.079394e-03	m^4
Iyy	5.944010e-02	1.576019e-01	1.169772e-01	1.169772e-01	m^4
Izz	3.288737e-03	1.438907e-01	5.142547e-02	5.142547e-02	m^4
Cyp	4.500000e-01	4.500000e-01	4.500000e-01	4.500000e-01	m
Cym	4.500000e-01	4.500000e-01	4.500000e-01	4.500000e-01	m
Czp	1.109652e+00	2.998724e-01	6.321178e-01	6.321178e-01	m
Czm	8.153480e-01	1.625128e+00	1.292882e+00	1.292882e+00	m
Qyb	0.000000e+00	0.000000e+00	0.000000e+00	0.000000e+00	m^2
Qzb	0.000000e+00	0.000000e+00	0.000000e+00	0.000000e+00	m^2
Peri:O	7.010000e+00	1.403200e+01	1.403200e+01	1.403200e+01	m
Peri:I	0.000000e+00	0.000000e+00	0.000000e+00	0.000000e+00	m
Center:y	4.500000e-01	1.595500e+00	1.595500e+00	1.595500e+00	m
Center:z	8.153480e-01	1.625128e+00	1.292882e+00	1.292882e+00	m
y1	-3.500000e-01	-3.500000e-01	-3.500000e-01	-3.500000e-01	m
z1	1.109652e+00	2.998724e-01	6.321178e-01	6.321178e-01	m
y2	3.500000e-01	3.500000e-01	3.500000e-01	3.500000e-01	m
z2	1.109652e+00	2.998724e-01	6.321178e-01	6.321178e-01	m
y3	4.500000e-01	4.500000e-01	4.500000e-01	4.500000e-01	m
z3	-8.153480e-01	-1.625128e+00	-1.292882e+00	-1.292882e+00	m
y4	-4.500000e-01	-4.500000e-01	-4.500000e-01	-4.500000e-01	m
z4	-8.153480e-01	-1.625128e+00	-1.292882e+00	-1.292882e+00	m

PROGETTAZIONE ATI:

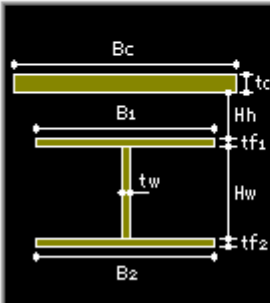
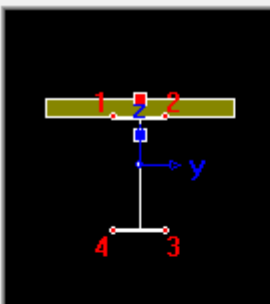
GPI INGEGNERIA

GESTIONE PROGETTI INGEGNERIA srl


cooprogetti

 
Studio di Architettura e Ingegneria Moderna

Section Data

DB/User	Composite																												
Section ID	5																												
Name	C5																												
Section Type :	Steel-I (Type 1)																												
																													
Slab	<table border="1"> <tr> <td>Bc</td> <td>3.273</td> <td>m</td> </tr> <tr> <td>tc</td> <td>0.32</td> <td>m</td> </tr> <tr> <td>Hh</td> <td>0</td> <td>m</td> </tr> </table>	Bc	3.273	m	tc	0.32	m	Hh	0	m																			
Bc	3.273	m																											
tc	0.32	m																											
Hh	0	m																											
Girder	<table border="1"> <tr> <td>Hw</td> <td>1.9</td> <td>tw</td> <td>0.022</td> <td>m</td> </tr> <tr> <td>B1</td> <td>0.9</td> <td>B2</td> <td>0.9</td> <td>m</td> </tr> <tr> <td>Bf1</td> <td>0</td> <td>Bf2</td> <td>0</td> <td>m</td> </tr> <tr> <td>tf1</td> <td>0.04</td> <td>tf2</td> <td>0.04</td> <td>m</td> </tr> <tr> <td>Bf3</td> <td>0</td> <td>tfp</td> <td>0</td> <td>m</td> </tr> </table>	Hw	1.9	tw	0.022	m	B1	0.9	B2	0.9	m	Bf1	0	Bf2	0	m	tf1	0.04	tf2	0.04	m	Bf3	0	tfp	0	m			
Hw	1.9	tw	0.022	m																									
B1	0.9	B2	0.9	m																									
Bf1	0	Bf2	0	m																									
tf1	0.04	tf2	0.04	m																									
Bf3	0	tfp	0	m																									
Stiffener...																													
																													
<input type="button" value="Display Centroid"/>																													
<input type="radio"/> FEM <input type="radio"/> Equation																													
Offset : Center-Top																													
<input type="button" value="Change Offset ..."/>																													
<table border="1"> <tr> <td colspan="4">Select Material from DB ...</td> </tr> <tr> <td>Es / Ec</td> <td>6.16251</td> <td>Ds / Dc</td> <td>3.0792</td> </tr> <tr> <td>Ps</td> <td>0.3</td> <td>Pc</td> <td>0.2</td> </tr> <tr> <td>Ts / Tc</td> <td>1.2</td> <td colspan="2"></td> </tr> <tr> <td colspan="4"><input checked="" type="checkbox"/> Multiple Modulus of Elasticity</td> </tr> <tr> <td colspan="2">Es/Ec (Creep)</td> <td colspan="2">18</td> </tr> <tr> <td colspan="2">Es/Ec (Shrinkage)</td> <td colspan="2">18</td> </tr> </table>		Select Material from DB ...				Es / Ec	6.16251	Ds / Dc	3.0792	Ps	0.3	Pc	0.2	Ts / Tc	1.2			<input checked="" type="checkbox"/> Multiple Modulus of Elasticity				Es/Ec (Creep)		18		Es/Ec (Shrinkage)		18	
Select Material from DB ...																													
Es / Ec	6.16251	Ds / Dc	3.0792																										
Ps	0.3	Pc	0.2																										
Ts / Tc	1.2																												
<input checked="" type="checkbox"/> Multiple Modulus of Elasticity																													
Es/Ec (Creep)		18																											
Es/Ec (Shrinkage)		18																											
<input checked="" type="checkbox"/> Consider Shear Deformation. <input type="checkbox"/> Consider Warping Effect(7th DOF)																													

Section Properties

X

	Value(Before)	Value(After)	Long Term	Shrinkage	Unit
Area	1.138000e-01	2.837567e-01	1.719867e-01	1.719867e-01	m^2
Asy	6.048889e-02	1.922159e-01	8.074987e-02	8.074987e-02	m^2
Asz	4.172159e-02	4.850930e-02	4.531924e-02	4.531924e-02	m^2
Ixx	4.528571e-05	3.187597e-03	1.121093e-03	1.121093e-03	m^4
Iyy	8.032923e-02	1.719221e-01	1.317432e-01	1.317432e-01	m^4
Izz	4.861686e-03	1.565839e-01	5.680555e-02	5.680555e-02	m^4
Cyp	4.500000e-01	4.500000e-01	4.500000e-01	4.500000e-01	m
Cym	4.500000e-01	4.500000e-01	4.500000e-01	4.500000e-01	m
Czp	9.900000e-01	3.012049e-01	6.009311e-01	6.009311e-01	m
Czm	9.900000e-01	1.678795e+00	1.379069e+00	1.379069e+00	m
Qyb	0.000000e+00	0.000000e+00	0.000000e+00	0.000000e+00	m^2
Qzb	0.000000e+00	0.000000e+00	0.000000e+00	0.000000e+00	m^2
Peri:O	7.516000e+00	1.470200e+01	1.470200e+01	1.470200e+01	m
Peri:I	0.000000e+00	0.000000e+00	0.000000e+00	0.000000e+00	m
Center:y	4.500000e-01	1.636500e+00	1.636500e+00	1.636500e+00	m
Center:z	9.900000e-01	1.678795e+00	1.379069e+00	1.379069e+00	m
y1	-4.500000e-01	-4.500000e-01	-4.500000e-01	-4.500000e-01	m
z1	9.900000e-01	3.012049e-01	6.009311e-01	6.009311e-01	m
y2	4.500000e-01	4.500000e-01	4.500000e-01	4.500000e-01	m
z2	9.900000e-01	3.012049e-01	6.009311e-01	6.009311e-01	m
y3	4.500000e-01	4.500000e-01	4.500000e-01	4.500000e-01	m
z3	-9.900000e-01	-1.678795e+00	-1.379069e+00	-1.379069e+00	m
y4	-4.500000e-01	-4.500000e-01	-4.500000e-01	-4.500000e-01	m
z4	-9.900000e-01	-1.678795e+00	-1.379069e+00	-1.379069e+00	m

Section ID

Name

Section Type :

Slab

Bc	<input type="text" value="3.323"/>	m
tc	<input type="text" value="0.32"/>	m
Hh	<input type="text" value="0"/>	m

Girder

Hw	<input type="text" value="1.86"/>	tw	<input type="text" value="0.024"/>	m
B1	<input type="text" value="1"/>	B2	<input type="text" value="1.2"/>	m
Bf1	<input type="text" value="0"/>	Bf2	<input type="text" value="0"/>	m
tf1	<input type="text" value="0.04"/>	tf2	<input type="text" value="0.06"/>	m
Bf3	<input type="text" value="0"/>	tfp	<input type="text" value="0"/>	m

FEM Equation

Offset : Center-Top

Material

Es / Ec	<input type="text" value="6.16251"/>	Ds / Dc	<input type="text" value="3.0792"/>
Ps	<input type="text" value="0.3"/>	Pc	<input type="text" value="0.2"/>
Ts / Tc	<input type="text" value="1.2"/>		

Multiple Modulus of Elasticity

18

18

Consider Shear Deformation.

Consider Warping Effect(7th DOF)

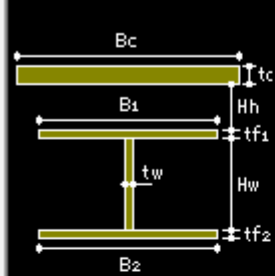
Section Properties X

	Value(Before)	Value(After)	Long Term	Shrinkage	Unit
Area	1.566400e-01	3.291931e-01	2.157156e-01	2.157156e-01	m^2
Asy	9.139427e-02	2.130511e-01	1.019489e-01	1.019489e-01	m^2
Asz	4.478665e-02	5.180258e-02	4.863382e-02	4.863382e-02	m^2
Ixx	1.165346e-04	3.306849e-03	1.208776e-03	1.208776e-03	m^4
Iyy	1.091692e-01	2.555890e-01	1.854027e-01	1.854027e-01	m^4
Izz	1.197548e-02	1.707578e-01	6.633645e-02	6.633645e-02	m^4
Cvp	6.000000e-01	6.000000e-01	6.000000e-01	6.000000e-01	m
Cym	6.000000e-01	6.000000e-01	6.000000e-01	6.000000e-01	m
Czp	1.168672e+00	4.722223e-01	8.048039e-01	8.048039e-01	m
Czm	7.913279e-01	1.487778e+00	1.155196e+00	1.155196e+00	m
Qvb	0.000000e+00	0.000000e+00	0.000000e+00	0.000000e+00	m^2
Qzb	0.000000e+00	0.000000e+00	0.000000e+00	0.000000e+00	m^2
Peri:O	8.272000e+00	1.555800e+01	1.555800e+01	1.555800e+01	m
Peri:I	0.000000e+00	0.000000e+00	0.000000e+00	0.000000e+00	m
Center:y	6.000000e-01	1.661500e+00	1.661500e+00	1.661500e+00	m
Center:z	7.913279e-01	1.487778e+00	1.155196e+00	1.155196e+00	m
y1	-5.000000e-01	-5.000000e-01	-5.000000e-01	-5.000000e-01	m
z1	1.168672e+00	4.722223e-01	8.048039e-01	8.048039e-01	m
y2	5.000000e-01	5.000000e-01	5.000000e-01	5.000000e-01	m
z2	1.168672e+00	4.722223e-01	8.048039e-01	8.048039e-01	m
y3	6.000000e-01	6.000000e-01	6.000000e-01	6.000000e-01	m
z3	-7.913279e-01	-1.487778e+00	-1.155196e+00	-1.155196e+00	m
y4	-6.000000e-01	-6.000000e-01	-6.000000e-01	-6.000000e-01	m
z4	-7.913279e-01	-1.487778e+00	-1.155196e+00	-1.155196e+00	m

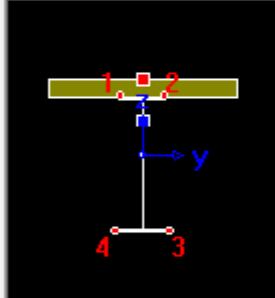
Section ID

Name

Section Type :



Slab	Bc	<input type="text" value="3.445"/>	m
	tc	<input type="text" value="0.32"/>	m
	Hh	<input type="text" value="0"/>	m



Girder	Hw	<input type="text" value="2.4"/>	tw	<input type="text" value="0.02"/>	m
	B1	<input type="text" value="0.8"/>	B2	<input type="text" value="1"/>	m
	Bf1	<input type="text" value="0"/>	Bf2	<input type="text" value="0"/>	m
	tf1	<input type="text" value="0.04"/>	tf2	<input type="text" value="0.04"/>	m
	Bf3	<input type="text" value="0"/>	tfp	<input type="text" value="0"/>	m

FEM Equation

Offset : Center-Top

Material

Es / Ec	<input type="text" value="6.16251"/>	Ds / Dc	<input type="text" value="3.0792"/>
Ps	<input type="text" value="0.3"/>	Pc	<input type="text" value="0.2"/>
Ts / Tc	<input type="text" value="1.2"/>	<input checked="" type="checkbox"/> Multiple Modulus of Elasticity	

Es/Ec (Creep)

Es/Ec (Shrinkage)

Consider Shear Deformation.

Consider Warping Effect(7th DOF)

Section Properties >

	Value(Before)	Value(After)	Long Term	Shrinkage	Unit
Area	1.200000e-01	2.988881e-01	1.812444e-01	1.812444e-01	m^2
Asy	5.781891e-02	1.964370e-01	8.025218e-02	8.025218e-02	m^2
Asz	4.791557e-02	5.387495e-02	5.114885e-02	5.114885e-02	m^2
Ixx	4.490667e-05	3.352350e-03	1.177248e-03	1.177248e-03	m^4
Iyy	1.294206e-01	2.885484e-01	2.189225e-01	2.189225e-01	m^4
Izz	5.041600e-03	1.819624e-01	6.561248e-02	6.561248e-02	m^4
Cyp	5.000000e-01	5.000000e-01	5.000000e-01	5.000000e-01	m
Cym	5.000000e-01	5.000000e-01	5.000000e-01	5.000000e-01	m
Czp	1.321333e+00	4.347375e-01	8.207749e-01	8.207749e-01	m
Czm	1.158667e+00	2.045262e+00	1.659225e+00	1.659225e+00	m
Qyb	0.000000e+00	0.000000e+00	0.000000e+00	0.000000e+00	m^2
Qzb	0.000000e+00	0.000000e+00	0.000000e+00	0.000000e+00	m^2
Peri:O	8.520000e+00	1.605000e+01	1.605000e+01	1.605000e+01	m
Peri:I	0.000000e+00	0.000000e+00	0.000000e+00	0.000000e+00	m
Center:y	5.000000e-01	1.722500e+00	1.722500e+00	1.722500e+00	m
Center:z	1.158667e+00	2.045262e+00	1.659225e+00	1.659225e+00	m
y1	-4.000000e-01	-4.000000e-01	-4.000000e-01	-4.000000e-01	m
z1	1.321333e+00	4.347375e-01	8.207749e-01	8.207749e-01	m
y2	4.000000e-01	4.000000e-01	4.000000e-01	4.000000e-01	m
z2	1.321333e+00	4.347375e-01	8.207749e-01	8.207749e-01	m
y3	5.000000e-01	5.000000e-01	5.000000e-01	5.000000e-01	m
z3	-1.158667e+00	-2.045262e+00	-1.659225e+00	-1.659225e+00	m
y4	-5.000000e-01	-5.000000e-01	-5.000000e-01	-5.000000e-01	m
z4	-1.158667e+00	-2.045262e+00	-1.659225e+00	-1.659225e+00	m

PROGETTAZIONE ATI:

GPI INGEGNERIA

GESTIONE PROGETTI INGEGNERIA srl

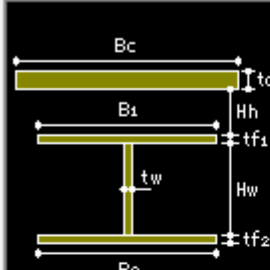


cooprogetti



AM
Studio di Architettura e Ingegneria Moderna

Section ID Name

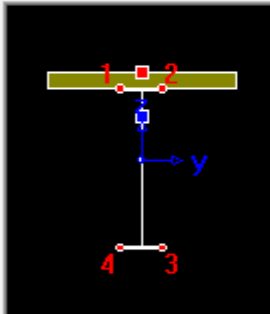

Section Type :

Slab

Bc	<input type="text" value="3.53"/>	m
tc	<input type="text" value="0.32"/>	m
Hh	<input type="text" value="0"/>	m

Girder

Hw	<input type="text" value="2.93"/>	tw	<input type="text" value="0.02"/>	m
B1	<input type="text" value="0.8"/>	B2	<input type="text" value="0.8"/>	m
Bf1	<input type="text" value="0"/>	Bf2	<input type="text" value="0"/>	m
tf1	<input type="text" value="0.03"/>	tf2	<input type="text" value="0.04"/>	m
Bf3	<input type="text" value="0"/>	tfp	<input type="text" value="0"/>	m



FEM Equation

Offset : Center-Top

Material

Es / Ec	<input type="text" value="6.16251"/>	Ds / Dc	<input type="text" value="3.0792"/>
Ps	<input type="text" value="0.3"/>	Pc	<input type="text" value="0.2"/>
Ts / Tc	<input type="text" value="1.2"/>	<input checked="" type="checkbox"/> Multiple Modulus of Elasticity	
Es/Ec (Creep)	<input type="text" value="18"/>		
Es/Ec (Shrinkage)	<input type="text" value="18"/>		

Consider Shear Deformation.
 Consider Warping Effect(7th DOF)

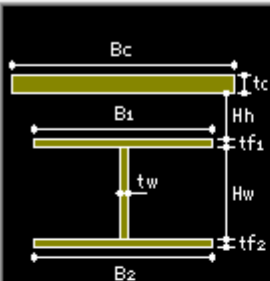
Section Properties

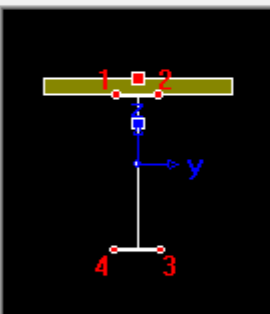
X

	Value(Before)	Value(After)	Long Term	Shrinkage	Unit
Area	1.146000e-01	2.979019e-01	1.773556e-01	1.773556e-01	m^2
Asy	4.723450e-02	1.921544e-01	7.532995e-02	7.532995e-02	m^2
Asz	5.795937e-02	6.343011e-02	6.087884e-02	6.087884e-02	m^2
Ixx	3.217333e-05	3.421222e-03	1.192454e-03	1.192454e-03	m^4
Iyy	1.638093e-01	3.837276e-01	2.899117e-01	2.899117e-01	m^4
Izz	2.988620e-03	1.933309e-01	6.815451e-02	6.815451e-02	m^4
Cyp	4.000000e-01	4.000000e-01	4.000000e-01	4.000000e-01	m
Cym	4.000000e-01	4.000000e-01	4.000000e-01	4.000000e-01	m
Czp	1.599712e+00	5.169442e-01	9.770549e-01	9.770549e-01	m
Czm	1.400288e+00	2.483056e+00	2.022945e+00	2.022945e+00	m
Qyb	0.000000e+00	0.000000e+00	0.000000e+00	0.000000e+00	m^2
Qzb	0.000000e+00	0.000000e+00	0.000000e+00	0.000000e+00	m^2
Peri:O	9.160000e+00	1.686000e+01	1.686000e+01	1.686000e+01	m
Peri:I	0.000000e+00	0.000000e+00	0.000000e+00	0.000000e+00	m
Center:y	4.000000e-01	1.765000e+00	1.765000e+00	1.765000e+00	m
Center:z	1.400288e+00	2.483056e+00	2.022945e+00	2.022945e+00	m
y1	-4.000000e-01	-4.000000e-01	-4.000000e-01	-4.000000e-01	m
z1	1.599712e+00	5.169442e-01	9.770549e-01	9.770549e-01	m
y2	4.000000e-01	4.000000e-01	4.000000e-01	4.000000e-01	m
z2	1.599712e+00	5.169442e-01	9.770549e-01	9.770549e-01	m
y3	4.000000e-01	4.000000e-01	4.000000e-01	4.000000e-01	m
z3	-1.400288e+00	-2.483056e+00	-2.022945e+00	-2.022945e+00	m
y4	-4.000000e-01	-4.000000e-01	-4.000000e-01	-4.000000e-01	m
z4	-1.400288e+00	-2.483056e+00	-2.022945e+00	-2.022945e+00	m

Section ID :

Name :





FEM Equation

Offset : Center-Top

Section Type :

Slab		
Bc	<input type="text" value="3.594"/>	m
tc	<input type="text" value="0.32"/>	m
Hh	<input type="text" value="0"/>	m
Girder		
Hw	<input type="text" value="2.9"/>	m
B1	<input type="text" value="0.8"/>	m
Bf1	<input type="text" value="0"/>	m
tf1	<input type="text" value="0.03"/>	m
Bf3	<input type="text" value="0"/>	m
tw	<input type="text" value="0.02"/>	m
B2	<input type="text" value="0.9"/>	m
Bf2	<input type="text" value="0"/>	m
tf2	<input type="text" value="0.04"/>	m
tfp	<input type="text" value="0"/>	m
<input type="button" value="Stiffener..."/>		

Select Material from DB ...

Es / Ec	<input type="text" value="6.16251"/>	Ds / Dc	<input type="text" value="3.0792"/>
Ps	<input type="text" value="0.3"/>	Pc	<input type="text" value="0.2"/>
Ts / Tc	<input type="text" value="1.2"/>		

Multiple Modulus of Elasticity

Es/Ec (Creep)	<input type="text" value="18"/>
Es/Ec (Shrinkage)	<input type="text" value="18"/>

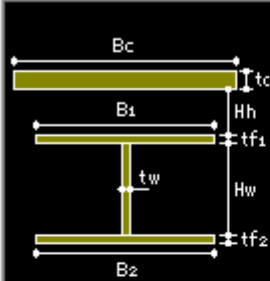
Consider Shear Deformation.

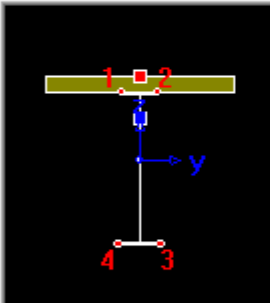
Consider Warping Effect(7th DOF)

Section Properties >

	Value(Before)	Value(After)	Long Term	Shrinkage	Unit
Area	1.180000e-01	3.046253e-01	1.818933e-01	1.818933e-01	m^2
Asy	4.988516e-02	1.963832e-01	7.761938e-02	7.761938e-02	m^2
Asz	5.733532e-02	6.295124e-02	6.035406e-02	6.035406e-02	m^2
Ixx	3.422667e-05	3.484720e-03	1.215543e-03	1.215543e-03	m^4
Iwy	1.672837e-01	4.006367e-01	3.007132e-01	3.007132e-01	m^4
Izz	3.711933e-03	2.045959e-01	7.248691e-02	7.248691e-02	m^4
Cvp	4.500000e-01	4.500000e-01	4.500000e-01	4.500000e-01	m
Cym	4.500000e-01	4.500000e-01	4.500000e-01	4.500000e-01	m
Czp	1.630508e+00	5.335735e-01	1.001560e+00	1.001560e+00	m
Czm	1.339492e+00	2.436427e+00	1.968440e+00	1.968440e+00	m
Qyb	0.000000e+00	0.000000e+00	0.000000e+00	0.000000e+00	m^2
Qzb	0.000000e+00	0.000000e+00	0.000000e+00	0.000000e+00	m^2
Peri:O	9.300000e+00	1.712800e+01	1.712800e+01	1.712800e+01	m
Peri:l	0.000000e+00	0.000000e+00	0.000000e+00	0.000000e+00	m
Center:y	4.500000e-01	1.797000e+00	1.797000e+00	1.797000e+00	m
Center:z	1.339492e+00	2.436427e+00	1.968440e+00	1.968440e+00	m
y1	-4.000000e-01	-4.000000e-01	-4.000000e-01	-4.000000e-01	m
z1	1.630508e+00	5.335735e-01	1.001560e+00	1.001560e+00	m
y2	4.000000e-01	4.000000e-01	4.000000e-01	4.000000e-01	m
z2	1.630508e+00	5.335735e-01	1.001560e+00	1.001560e+00	m
y3	4.500000e-01	4.500000e-01	4.500000e-01	4.500000e-01	m
z3	-1.339492e+00	-2.436427e+00	-1.968440e+00	-1.968440e+00	m
y4	-4.500000e-01	-4.500000e-01	-4.500000e-01	-4.500000e-01	m
z4	-1.339492e+00	-2.436427e+00	-1.968440e+00	-1.968440e+00	m

Section ID Name


Section Type :


Girder

Hw	<input type="text" value="2.9"/>	tw	<input type="text" value="0.02"/>	m
B1	<input type="text" value="0.7"/>	B2	<input type="text" value="0.8"/>	m
Bf1	<input type="text" value="0"/>	Bf2	<input type="text" value="0"/>	m
tf1	<input type="text" value="0.03"/>	tf2	<input type="text" value="0.04"/>	m
Bf3	<input type="text" value="0"/>	tfp	<input type="text" value="0"/>	m

Slab

Bc	<input type="text" value="3.657"/>	m
tc	<input type="text" value="0.32"/>	m
Hh	<input type="text" value="0"/>	m

Material

Select Material from DB ...

Es / Ec	<input type="text" value="6.16251"/>	Ds / Dc	<input type="text" value="3.0792"/>
Ps	<input type="text" value="0.3"/>	Pc	<input type="text" value="0.2"/>
Ts / Tc	<input type="text" value="1.2"/>		

Multiple Modulus of Elasticity

Es/Ec (Creep)	<input type="text" value="18"/>
Es/Ec (Shrinkage)	<input type="text" value="18"/>

Consider Shear Deformation.
 Consider Warping Effect(7th DOF)

Display Centroid

FEM Equation

Offset: Center-Top

Section Properties

X

	Value(Before)	Value(After)	Long Term	Shrinkage	Unit
Area	1.110000e-01	3.008966e-01	1.760133e-01	1.760133e-01	m^2
Asy	4.393838e-02	1.941295e-01	7.399039e-02	7.399039e-02	m^2
Asz	5.730289e-02	6.281205e-02	6.008024e-02	6.008024e-02	m^2
Ixx	3.119333e-05	3.542171e-03	1.233218e-03	1.233218e-03	m^4
Iyy	1.524874e-01	3.777163e-01	2.839137e-01	2.839137e-01	m^4
Izz	2.566100e-03	2.142004e-01	7.502156e-02	7.502156e-02	m^4
Cyp	4.000000e-01	4.000000e-01	4.000000e-01	4.000000e-01	m
Cym	4.000000e-01	4.000000e-01	4.000000e-01	4.000000e-01	m
Czp	1.626622e+00	4.990801e-01	9.667044e-01	9.667044e-01	m
Czm	1.343378e+00	2.470920e+00	2.003296e+00	2.003296e+00	m
Qyb	0.000000e+00	0.000000e+00	0.000000e+00	0.000000e+00	m^2
Qzb	0.000000e+00	0.000000e+00	0.000000e+00	0.000000e+00	m^2
Peri:O	8.900000e+00	1.685400e+01	1.685400e+01	1.685400e+01	m
Peri:I	0.000000e+00	0.000000e+00	0.000000e+00	0.000000e+00	m
Center:y	4.000000e-01	1.828500e+00	1.828500e+00	1.828500e+00	m
Center:z	1.343378e+00	2.470920e+00	2.003296e+00	2.003296e+00	m
y1	-3.500000e-01	-3.500000e-01	-3.500000e-01	-3.500000e-01	m
z1	1.626622e+00	4.990801e-01	9.667044e-01	9.667044e-01	m
y2	3.500000e-01	3.500000e-01	3.500000e-01	3.500000e-01	m
z2	1.626622e+00	4.990801e-01	9.667044e-01	9.667044e-01	m
y3	4.000000e-01	4.000000e-01	4.000000e-01	4.000000e-01	m
z3	-1.343378e+00	-2.470920e+00	-2.003296e+00	-2.003296e+00	m
y4	-4.000000e-01	-4.000000e-01	-4.000000e-01	-4.000000e-01	m
z4	-1.343378e+00	-2.470920e+00	-2.003296e+00	-2.003296e+00	m

PROGETTAZIONE ATI:

GPI INGEGNERIA

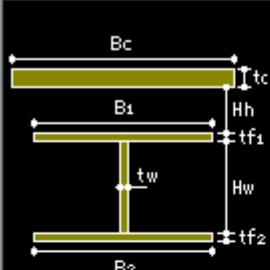
GESTIONE PROGETTI INGEGNERIA srl


cooprogetti


engeko


AIM
Studio di Architettura e Ingegneria Moderna

Section ID Name



Section Type :

Slab	
Bc	<input type="text" value="3.754"/> m
tc	<input type="text" value="0.32"/> m
Hh	<input type="text" value="0"/> m

Girder	
Hw	<input type="text" value="2.9"/> m
B1	<input type="text" value="0.9"/> m
Bf1	<input type="text" value="0"/> m
tf1	<input type="text" value="0.04"/> m
Bf3	<input type="text" value="0"/> m
tw	<input type="text" value="0.024"/> m
B2	<input type="text" value="0.9"/> m
Bf2	<input type="text" value="0"/> m
tf2	<input type="text" value="0.04"/> m
tfp	<input type="text" value="0"/> m

Stiffener...

Display Centroid

FEM Equation

Offset : Center-Top

Material

Select Material from DB ...

Es / Ec	<input type="text" value="6.16251"/>	Ds / Dc	<input type="text" value="3.0792"/>
Ps	<input type="text" value="0.3"/>	Pc	<input type="text" value="0.2"/>
Ts / Tc	<input type="text" value="1.2"/>		

Multiple Modulus of Elasticity

Es/Ec (Creep)	<input type="text" value="18"/>
Es/Ec (Shrinkage)	<input type="text" value="18"/>

Consider Shear Deformation.

Consider Warping Effect(7th DOF)

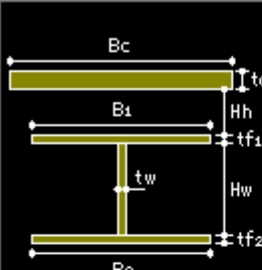
PROGETTAZIONE ATI:
GPI INGEGNERIA
GESTIONE PROGETTI INGEGNERIA srl

cooprogetti

 **engeko**
Studio di Architettura e Ingegneria Moderna

Pag. 73 di 240

	Value(Before)	Value(After)	Long Term	Shrinkage	Unit
Area	1.416000e-01	3.365336e-01	2.083378e-01	2.083378e-01	m^2
Asy	6.064837e-02	2.129474e-01	8.564817e-02	8.564817e-02	m^2
Asz	6.899629e-02	7.505939e-02	7.193569e-02	7.193569e-02	m^2
Ixx	5.194752e-05	3.656052e-03	1.285855e-03	1.285855e-03	m^4
Iyy	2.043724e-01	4.293362e-01	3.284328e-01	3.284328e-01	m^4
Izz	4.863341e-03	2.337887e-01	8.323861e-02	8.323861e-02	m^4
Cyp	4.500000e-01	4.500000e-01	4.500000e-01	4.500000e-01	m
Cym	4.500000e-01	4.500000e-01	4.500000e-01	4.500000e-01	m
Czp	1.490000e+00	5.342547e-01	9.614481e-01	9.614481e-01	m
Czm	1.490000e+00	2.445745e+00	2.018552e+00	2.018552e+00	m
Qvb	0.000000e+00	0.000000e+00	0.000000e+00	0.000000e+00	m^2
Qzb	0.000000e+00	0.000000e+00	0.000000e+00	0.000000e+00	m^2
Peri:O	9.512000e+00	1.766000e+01	1.766000e+01	1.766000e+01	m
Peri:I	0.000000e+00	0.000000e+00	0.000000e+00	0.000000e+00	m
Center:y	4.500000e-01	1.877000e+00	1.877000e+00	1.877000e+00	m
Center:z	1.490000e+00	2.445745e+00	2.018552e+00	2.018552e+00	m
y1	-4.500000e-01	-4.500000e-01	-4.500000e-01	-4.500000e-01	m
z1	1.490000e+00	5.342547e-01	9.614481e-01	9.614481e-01	m
y2	4.500000e-01	4.500000e-01	4.500000e-01	4.500000e-01	m
z2	1.490000e+00	5.342547e-01	9.614481e-01	9.614481e-01	m
y3	4.500000e-01	4.500000e-01	4.500000e-01	4.500000e-01	m
z3	-1.490000e+00	-2.445745e+00	-2.018552e+00	-2.018552e+00	m
y4	-4.500000e-01	-4.500000e-01	-4.500000e-01	-4.500000e-01	m
z4	-1.490000e+00	-2.445745e+00	-2.018552e+00	-2.018552e+00	m

Section ID	12	Name	C12																																								
		Section Type : Steel-I (Type 1)																																									
<table border="1" style="width: 100%; border-collapse: collapse;"> <tr> <td colspan="2">Slab</td> </tr> <tr> <td>Bc</td> <td>3.849</td> <td>m</td> </tr> <tr> <td>tc</td> <td>0.32</td> <td>m</td> </tr> <tr> <td>Hh</td> <td>0</td> <td>m</td> </tr> </table>				Slab		Bc	3.849	m	tc	0.32	m	Hh	0	m																													
Slab																																											
Bc	3.849	m																																									
tc	0.32	m																																									
Hh	0	m																																									
<table border="1" style="width: 100%; border-collapse: collapse;"> <tr> <td colspan="2">Girder</td> </tr> <tr> <td>Hw</td> <td>2.9</td> <td>tw</td> <td>0.028</td> <td>m</td> </tr> <tr> <td>B1</td> <td>0.9</td> <td>B2</td> <td>1</td> <td>m</td> </tr> <tr> <td>Bf1</td> <td>0</td> <td>Bf2</td> <td>0</td> <td>m</td> </tr> <tr> <td>tf1</td> <td>0.04</td> <td>tf2</td> <td>0.06</td> <td>m</td> </tr> <tr> <td>Bf3</td> <td>0</td> <td>tfp</td> <td>0</td> <td>m</td> </tr> <tr> <td colspan="5" style="text-align: center; padding-top: 5px;"> Stiffener... </td> </tr> </table>				Girder		Hw	2.9	tw	0.028	m	B1	0.9	B2	1	m	Bf1	0	Bf2	0	m	tf1	0.04	tf2	0.06	m	Bf3	0	tfp	0	m	Stiffener...												
Girder																																											
Hw	2.9	tw	0.028	m																																							
B1	0.9	B2	1	m																																							
Bf1	0	Bf2	0	m																																							
tf1	0.04	tf2	0.06	m																																							
Bf3	0	tfp	0	m																																							
Stiffener...																																											
<table border="1" style="width: 100%; border-collapse: collapse;"> <tr> <td colspan="4">Material</td> </tr> <tr> <td colspan="4" style="text-align: center;">Select Material from DB ...</td> </tr> <tr> <td>Es / Ec</td> <td>6.16251</td> <td>Ds / Dc</td> <td>3.0792</td> </tr> <tr> <td>Ps</td> <td>0.3</td> <td>Pc</td> <td>0.2</td> </tr> <tr> <td>Ts / Tc</td> <td>1.2</td> <td colspan="2"></td> </tr> <tr> <td colspan="4"> <input checked="" type="checkbox"/> Multiple Modulus of Elasticity </td> </tr> <tr> <td>Es/Ec (Creep)</td> <td colspan="3">18</td> </tr> <tr> <td>Es/Ec (Shrinkage)</td> <td colspan="3">18</td> </tr> <tr> <td colspan="4"> <input checked="" type="checkbox"/> Consider Shear Deformation. </td> </tr> <tr> <td colspan="4"> <input type="checkbox"/> Consider Warping Effect(7th DOF) </td> </tr> </table>				Material				Select Material from DB ...				Es / Ec	6.16251	Ds / Dc	3.0792	Ps	0.3	Pc	0.2	Ts / Tc	1.2			<input checked="" type="checkbox"/> Multiple Modulus of Elasticity				Es/Ec (Creep)	18			Es/Ec (Shrinkage)	18			<input checked="" type="checkbox"/> Consider Shear Deformation.				<input type="checkbox"/> Consider Warping Effect(7th DOF)			
Material																																											
Select Material from DB ...																																											
Es / Ec	6.16251	Ds / Dc	3.0792																																								
Ps	0.3	Pc	0.2																																								
Ts / Tc	1.2																																										
<input checked="" type="checkbox"/> Multiple Modulus of Elasticity																																											
Es/Ec (Creep)	18																																										
Es/Ec (Shrinkage)	18																																										
<input checked="" type="checkbox"/> Consider Shear Deformation.																																											
<input type="checkbox"/> Consider Warping Effect(7th DOF)																																											
<input type="button" value="Display Centroid"/>		<input type="radio"/> FEM <input type="radio"/> Equation																																									
Offset : Center-Top <input type="button" value="Change Offset ..."/>																																											

Section Properties

X

	Value(Before)	Value(After)	Long Term	Shrinkage	Unit
Area	1.772000e-01	3.770666e-01	2.456267e-01	2.456267e-01	m^2
Asy	7.994746e-02	2.213473e-01	9.148566e-02	9.148566e-02	m^2
Asz	8.081475e-02	8.783710e-02	8.419159e-02	8.419159e-02	m^2
Ixx	1.127861e-04	3.808098e-03	1.377919e-03	1.377919e-03	m^4
Iyy	2.588818e-01	5.829126e-01	4.288691e-01	4.288691e-01	m^4
Izz	7.435305e-03	2.541840e-01	9.191259e-02	9.191259e-02	m^4
Cyp	5.000000e-01	5.000000e-01	5.000000e-01	5.000000e-01	m
Cym	5.000000e-01	5.000000e-01	5.000000e-01	5.000000e-01	m
Czp	1.692483e+00	7.105624e-01	1.176418e+00	1.176418e+00	m
Czm	1.307517e+00	2.289438e+00	1.823582e+00	1.823582e+00	m
Qyb	0.000000e+00	0.000000e+00	0.000000e+00	0.000000e+00	m^2
Qzb	0.000000e+00	0.000000e+00	0.000000e+00	0.000000e+00	m^2
Peri:O	9.744000e+00	1.808200e+01	1.808200e+01	1.808200e+01	m
Peri:I	0.000000e+00	0.000000e+00	0.000000e+00	0.000000e+00	m
Center:y	5.000000e-01	1.924500e+00	1.924500e+00	1.924500e+00	m
Center:z	1.307517e+00	2.289438e+00	1.823582e+00	1.823582e+00	m
y1	-4.500000e-01	-4.500000e-01	-4.500000e-01	-4.500000e-01	m
z1	1.692483e+00	7.105624e-01	1.176418e+00	1.176418e+00	m
y2	4.500000e-01	4.500000e-01	4.500000e-01	4.500000e-01	m
z2	1.692483e+00	7.105624e-01	1.176418e+00	1.176418e+00	m
y3	5.000000e-01	5.000000e-01	5.000000e-01	5.000000e-01	m
z3	-1.307517e+00	-2.289438e+00	-1.823582e+00	-1.823582e+00	m
y4	-5.000000e-01	-5.000000e-01	-5.000000e-01	-5.000000e-01	m
z4	-1.307517e+00	-2.289438e+00	-1.823582e+00	-1.823582e+00	m

12. STATO DI SOLLECITAZIONE

Nel presente paragrafo si riportano gli inviluppi delle componenti di sollecitazione delle travi principali per le condizioni di carico principali considerate.

12.1. TRAVI D'IMPALCATO

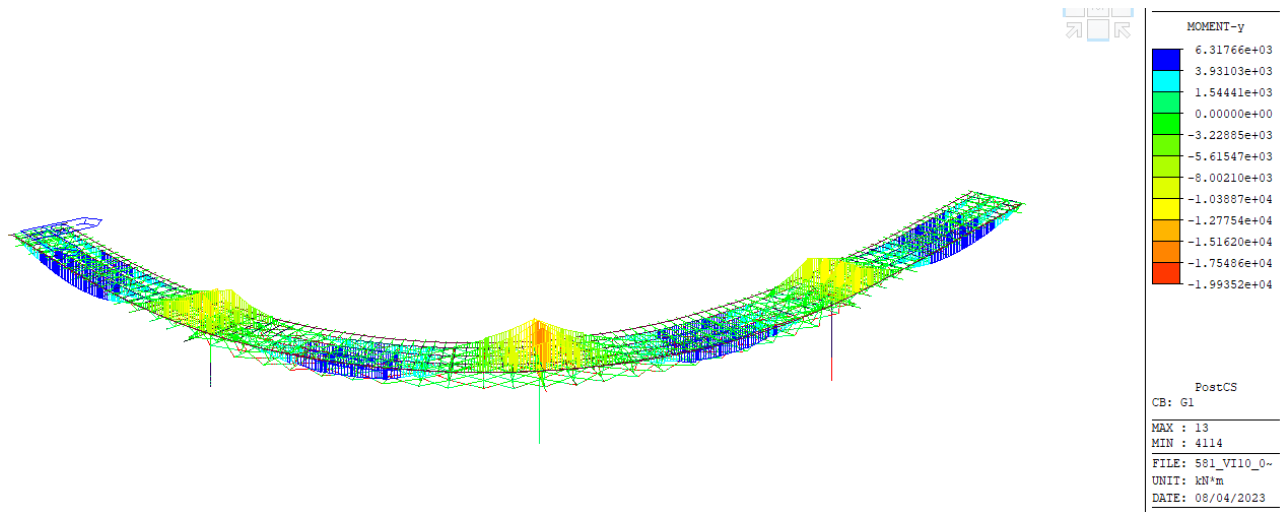


Figure 1 g1- momento flettente

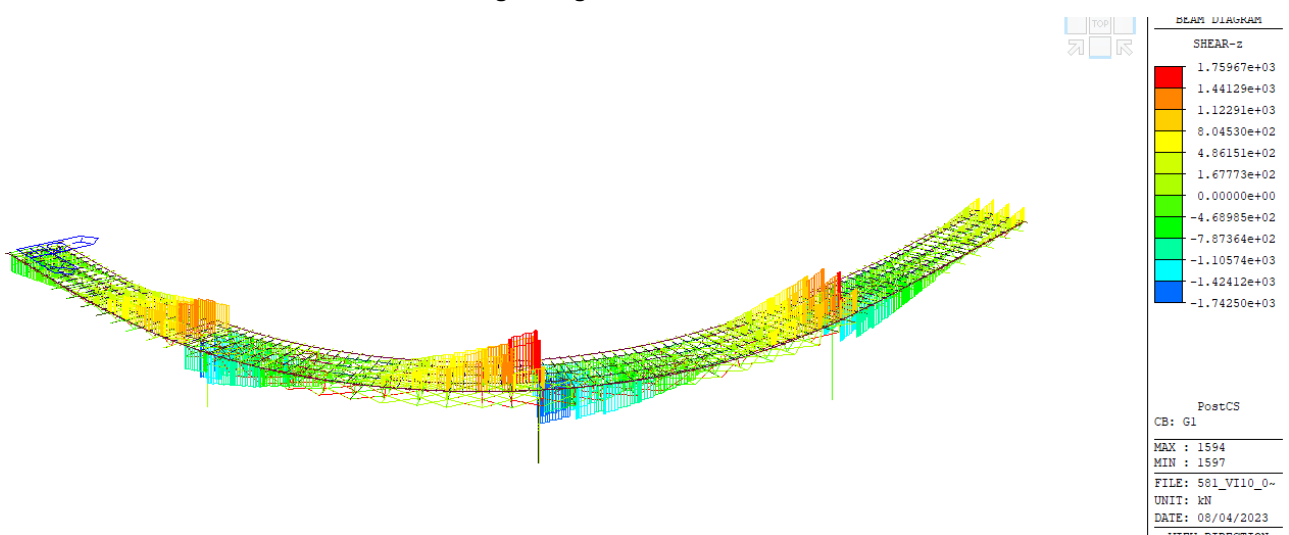


Figure 2 g1- sforzo di taglio

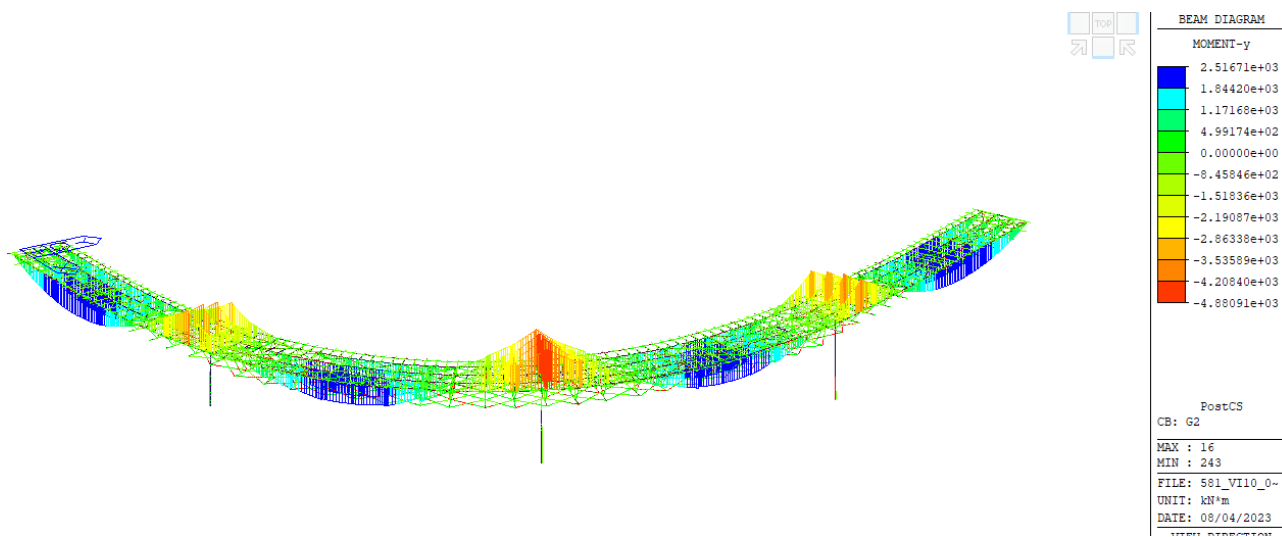


Figure 3 g2 – momento flettente

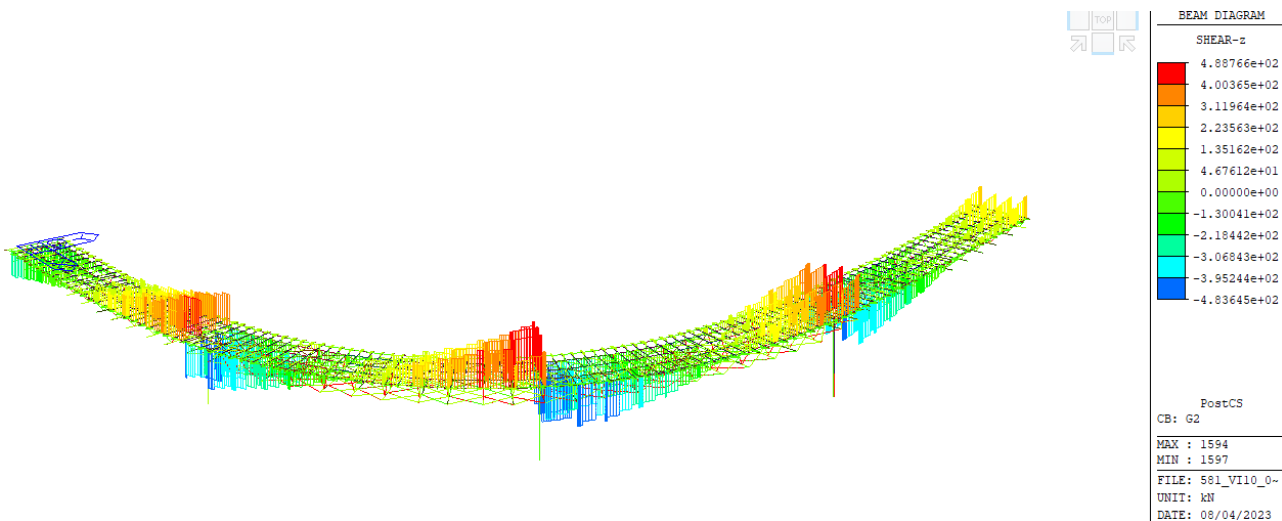


Figure 4 g2 – sforzo di taglio

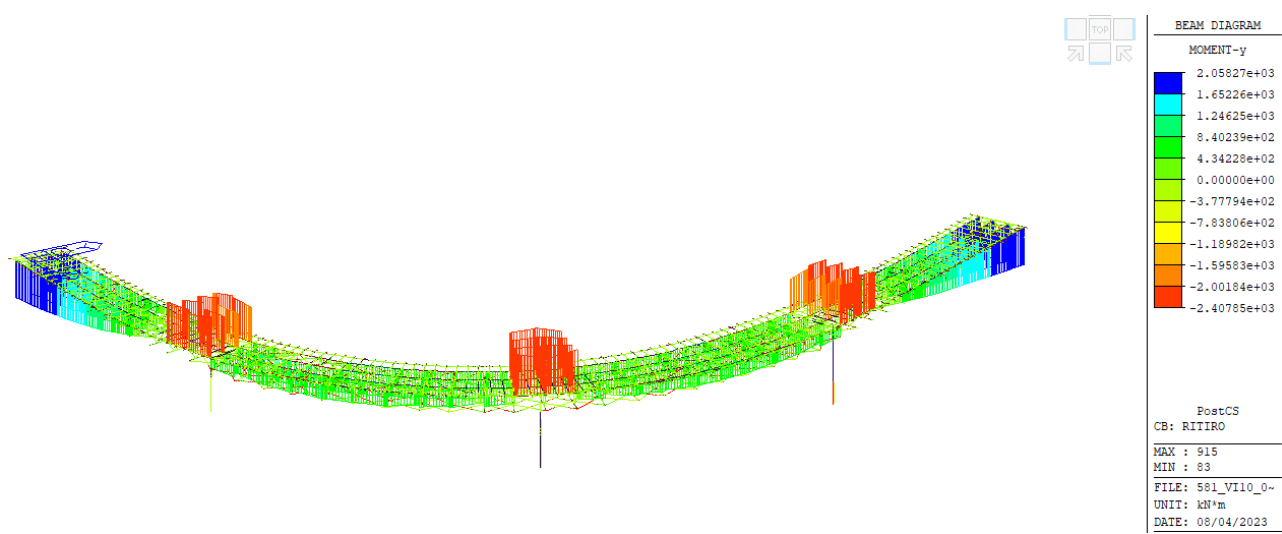


Figure 5 ritiro – momento flettente

PROGETTAZIONE ATI:

GPI INGEGNERIA
GESTIONE PROGETTI INGEGNERIA srl

cooprogetti

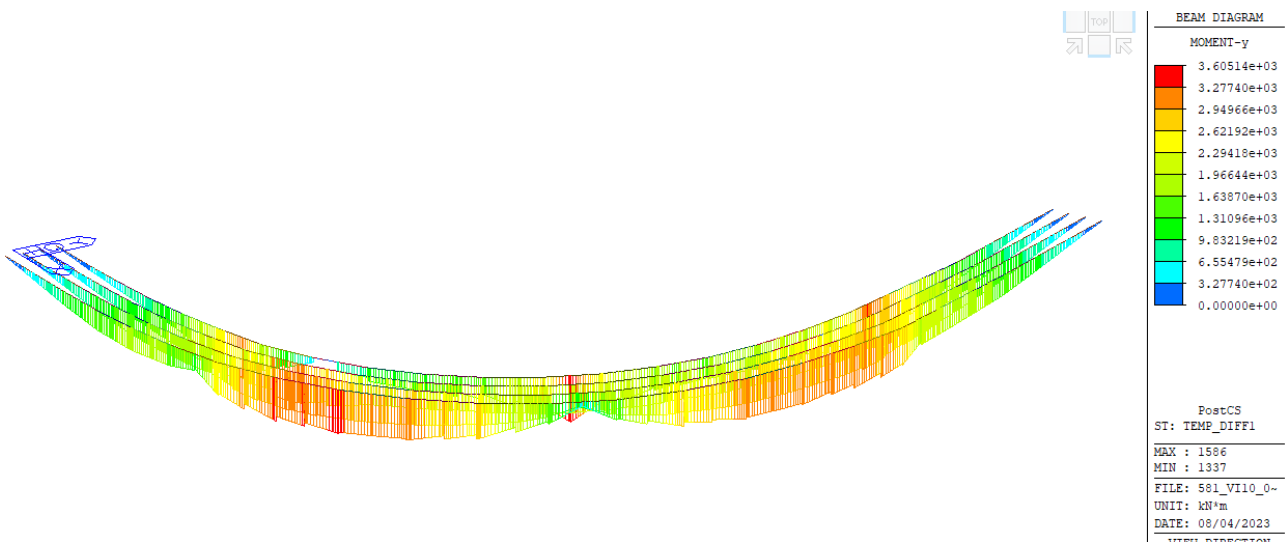


Figure 6 variazione termica positiva – momento flettente

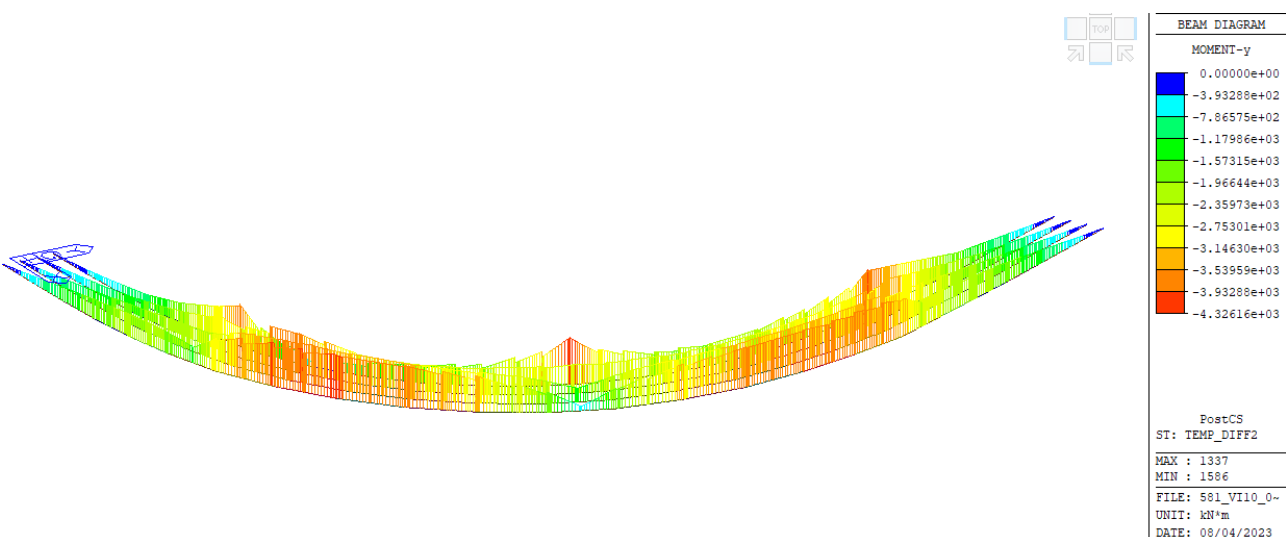


Figure 7 variazione termica negativa – momento flettente

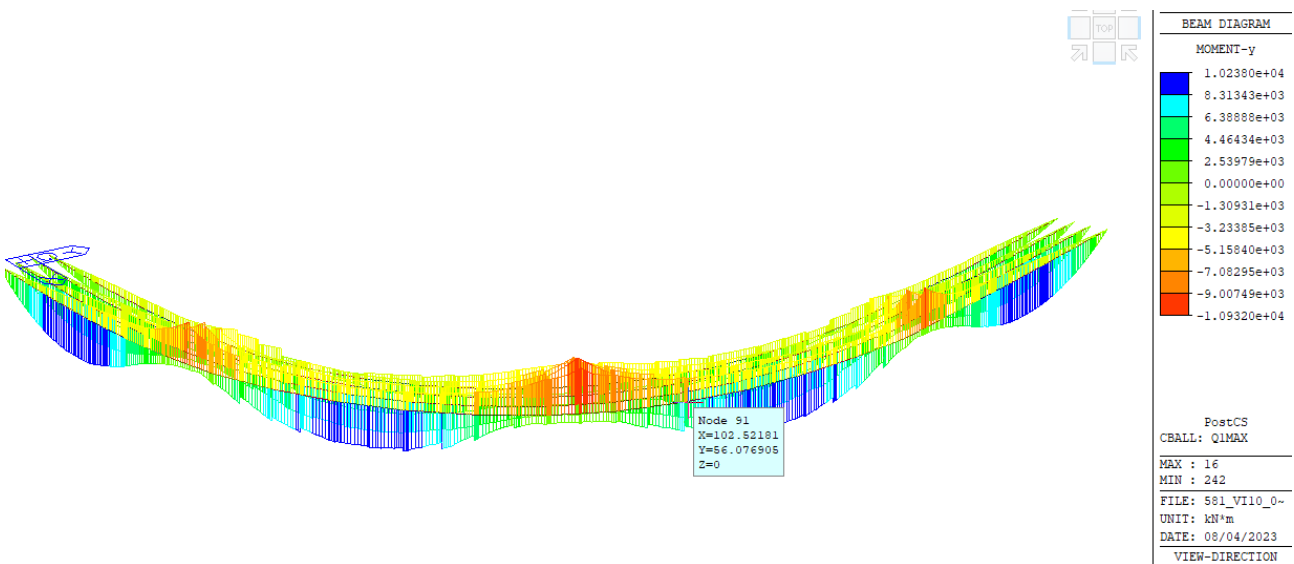


Figure 8 inviluppo dei carichi mobili – massimo carico in esterno curva – momento flettente

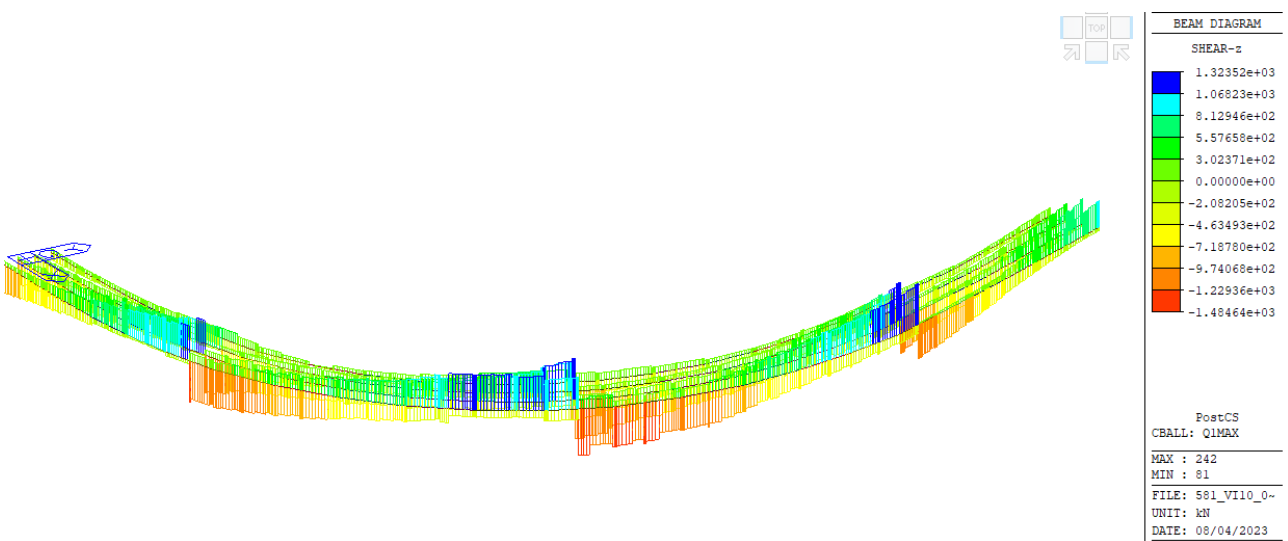


Figure 9 inviluppo dei carichi mobili – massimo carico in esterno curva – sforzo di taglio

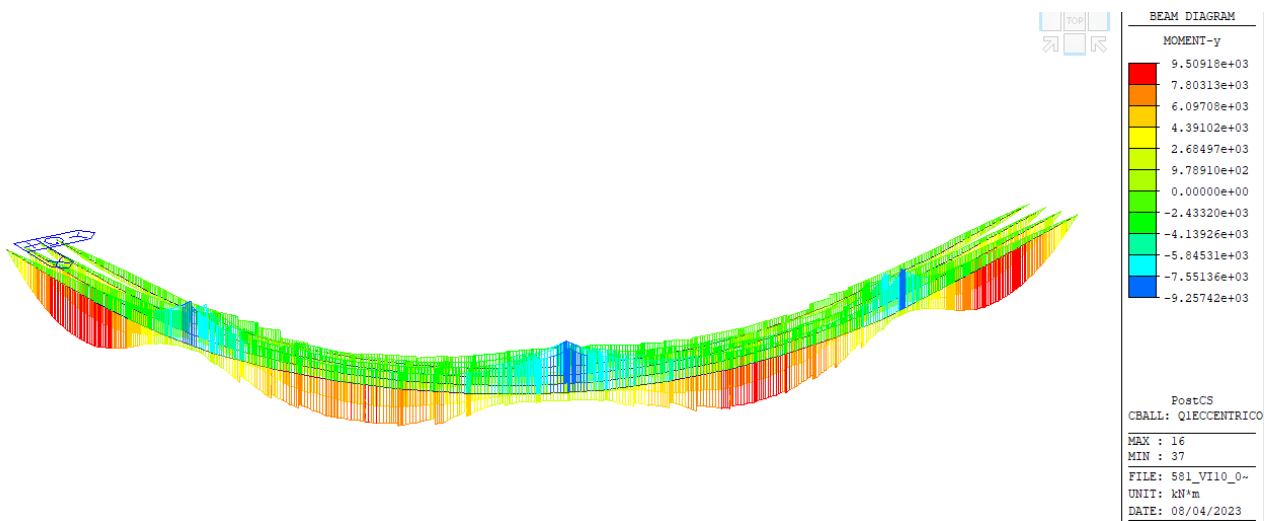


Figure 10 inviluppo dei carichi mobili – massimo carico eccentrico in esterno curva– momento flettente

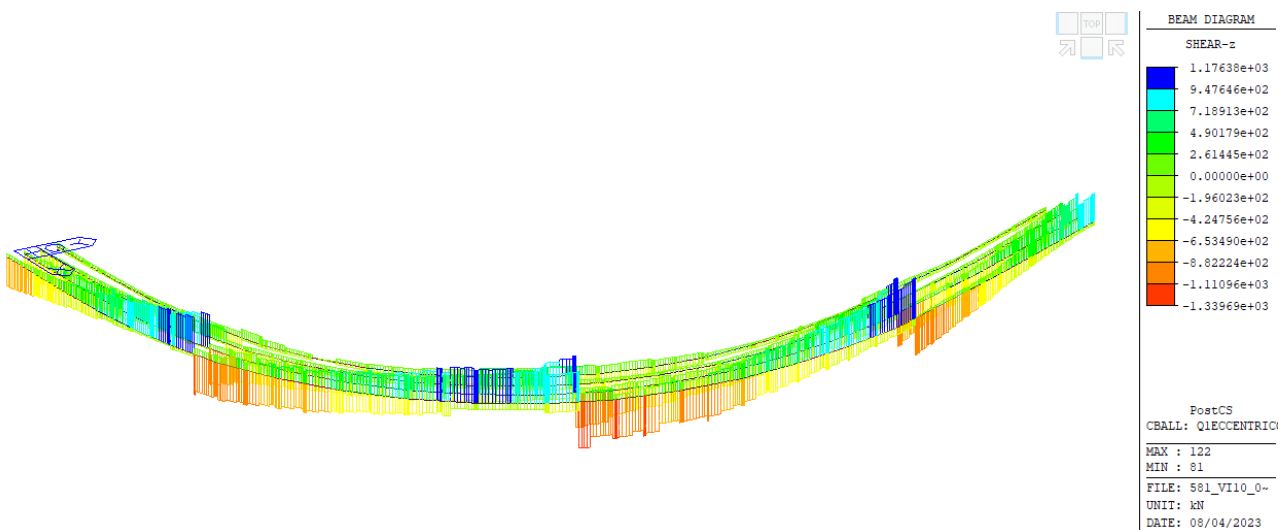


Figure 11 inviluppo dei carichi mobili – massimo carico eccentrico in esterno curva– sforzo di taglio

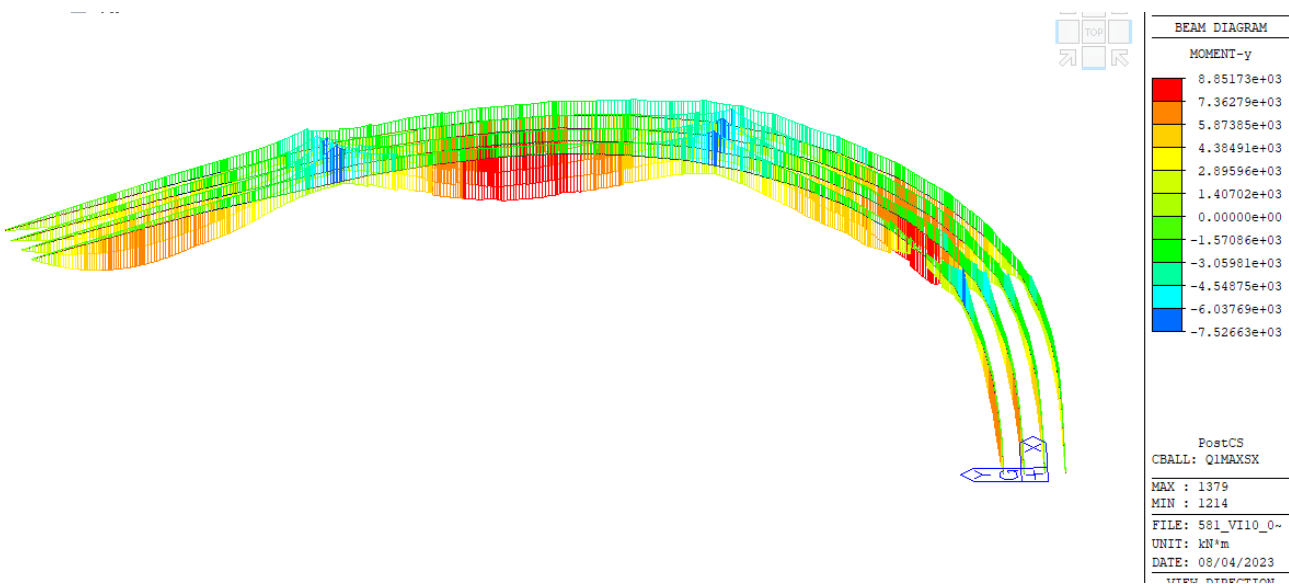


Figure 12 inviluppo dei carichi mobili – massimo carico in interno curva – momento flettente

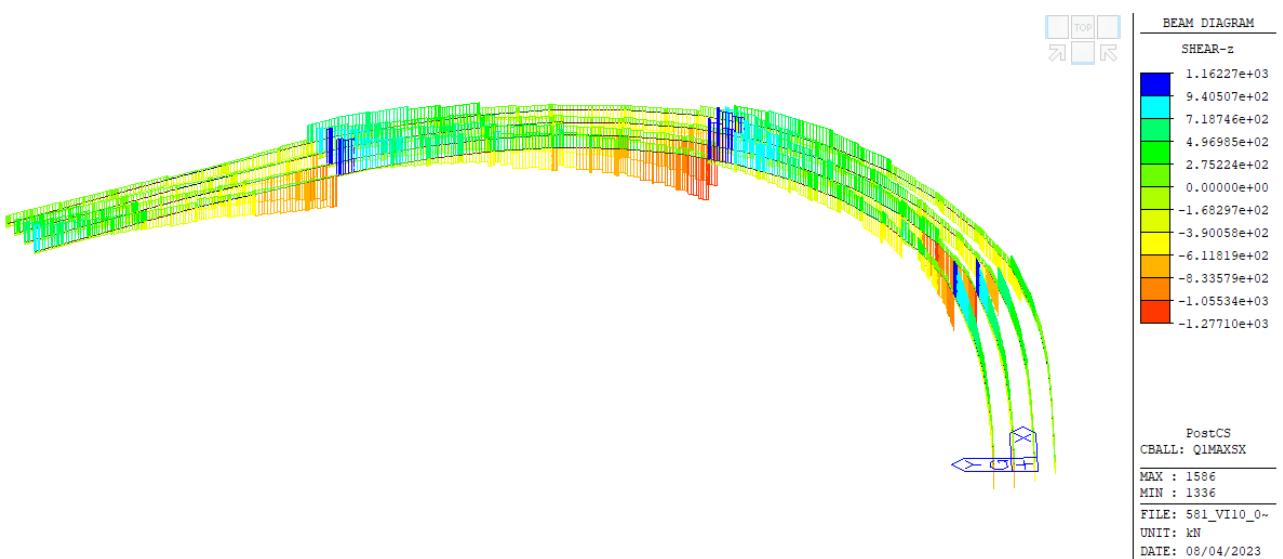


Figure 13 inviluppo dei carichi mobili – massimo carico in interno curva – sforzo di taglio

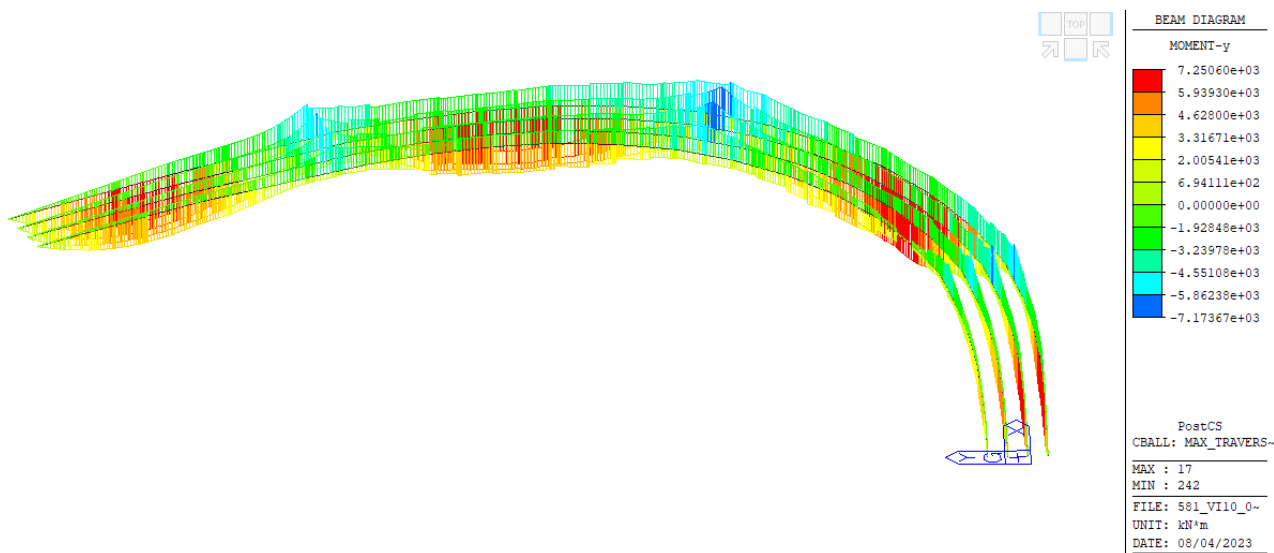


Figure 14 inviluppo dei carichi mobili – massimo carico centratò – momento flettente

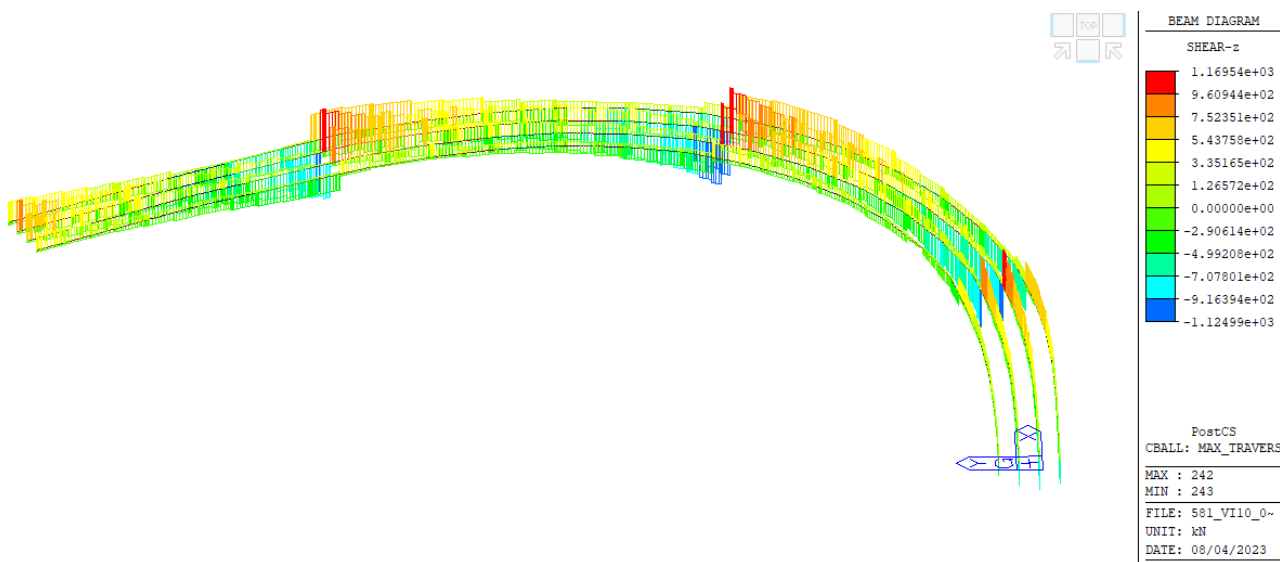


Figure 15 inviluppo dei carichi mobili – massimo carico centratò – sforzo di taglio

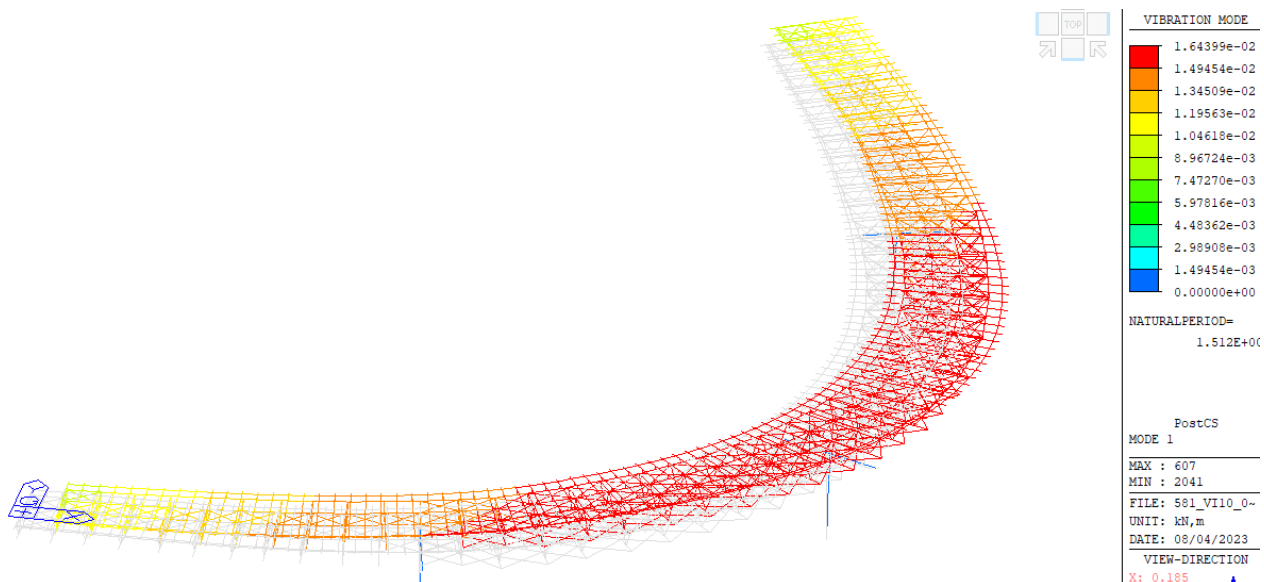
13. ANALISI SISMICA DELLA STRUTTURA

Come indicato nel paragrafo 7.12, l'analisi è stata effettuata tramite la definizione della modifica delle proprietà dei dispositivi di vincolo attraverso le due soglie limiti UBDP (Upper bound design properties) ed LBDB (lower bound design properties),

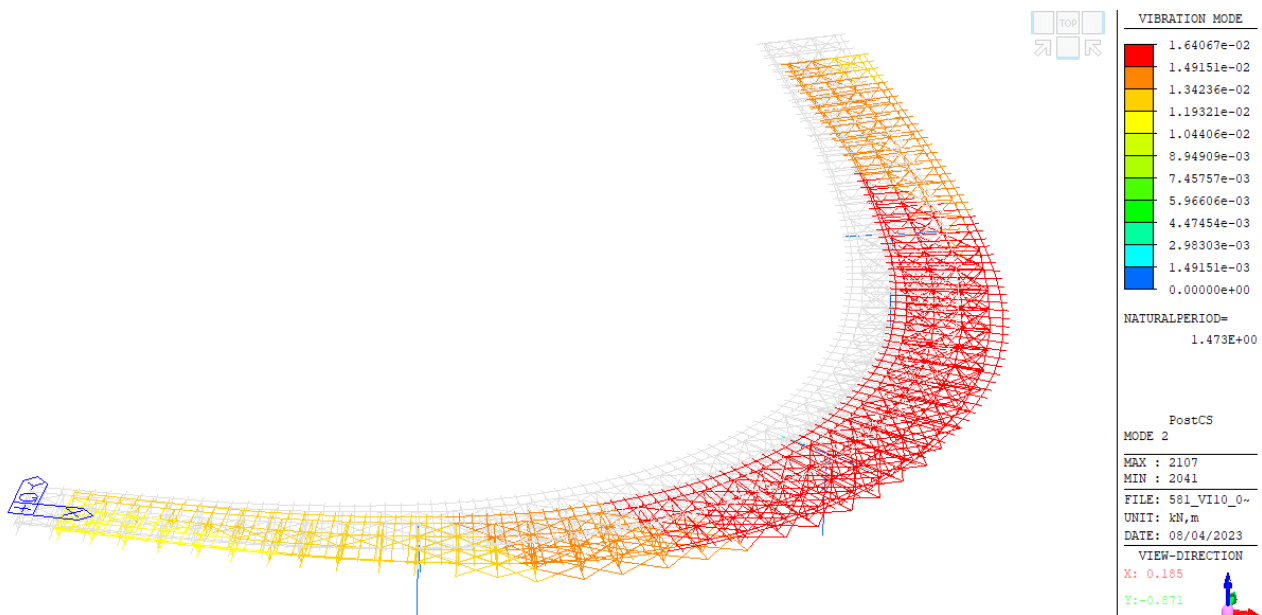
Rigidezza	pila	spalla
Rigidezza nominale appoggio	3.35	3.04 kN/mm
Rigidezza eq.appoggio LBDP	2.68	2.432 kN/mm
Rigidezza eq.appoggio UBDP	5.025	4.56 kN/mm

L'analisi UBDP è associata allo spettro SLV per rendere massima la sollecitazione sulle strutture, La condizione LBDP invece è associata allo spettro SLC per valutare lo spostamento massimo dei dispositivi.

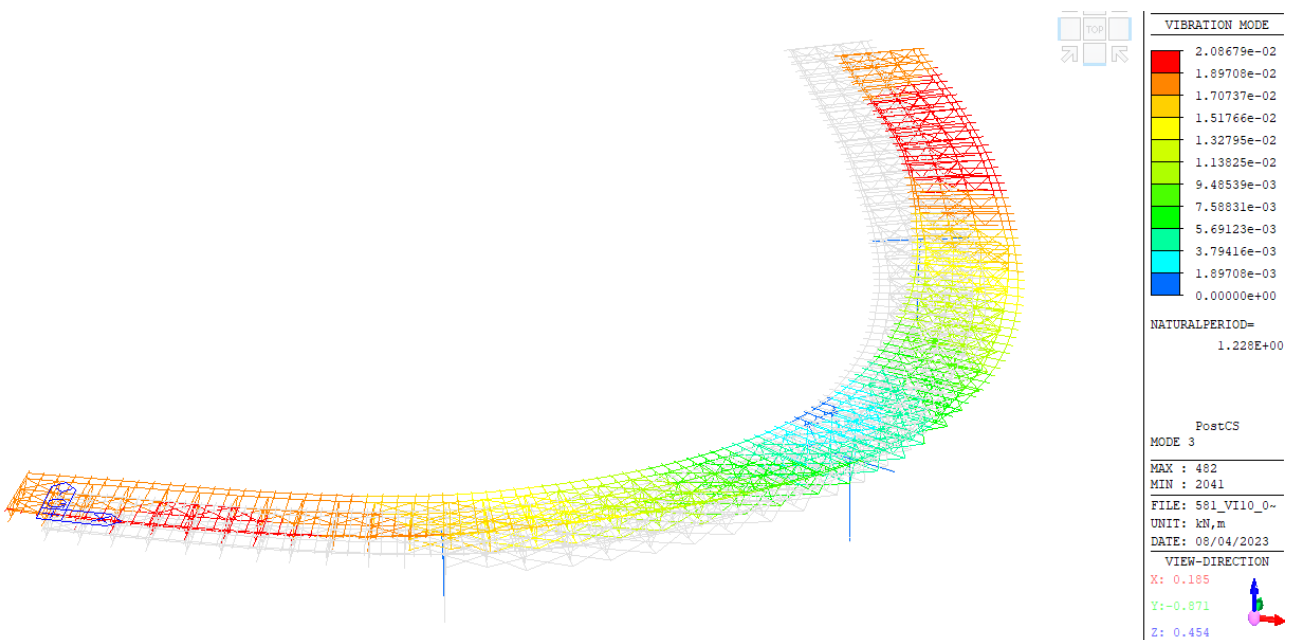
Si illustrano le deformate associate ai modi di vibrare piani più significativi, determinati mediante l'analisi modale:



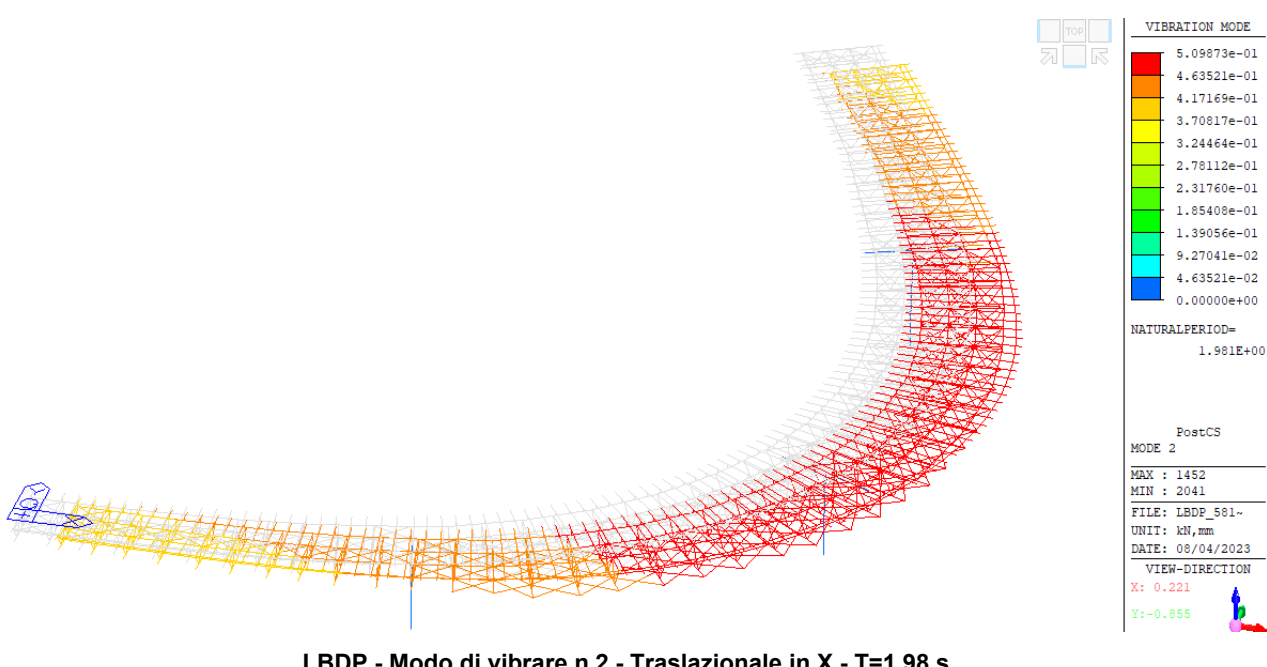
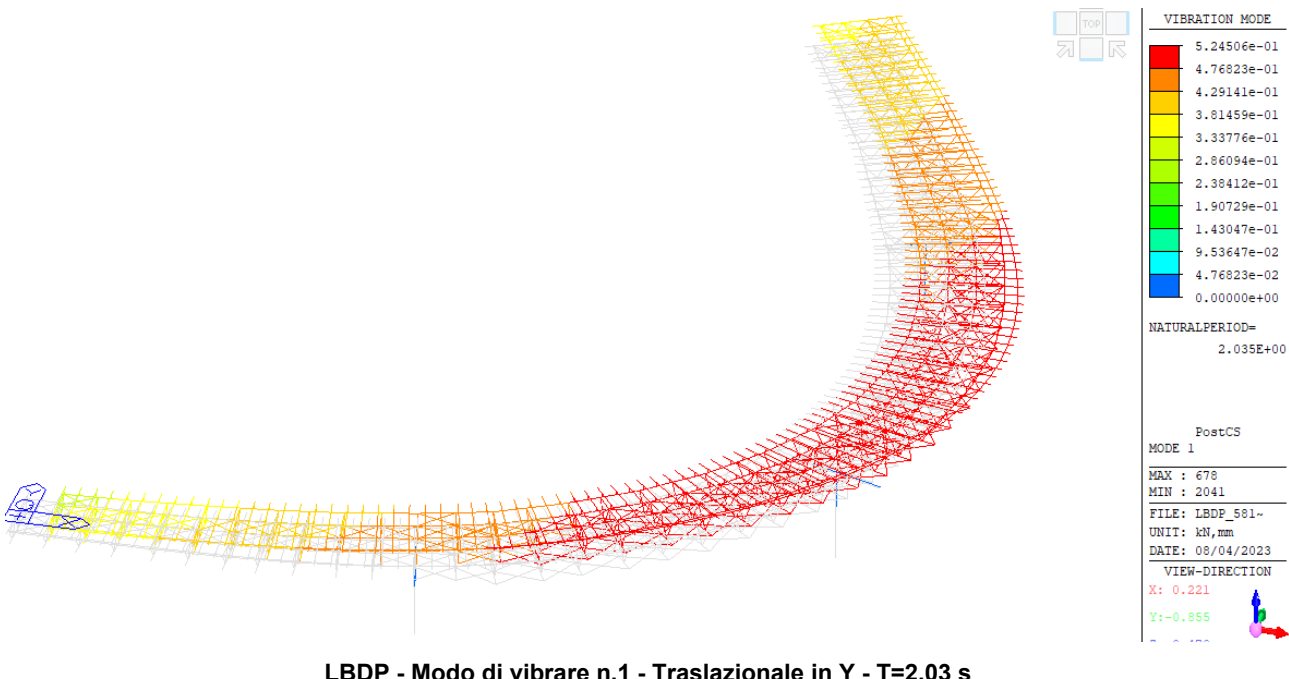
UBDP - Modo di vibrare n.1 - Traslazionale in Y - T=1.51 s

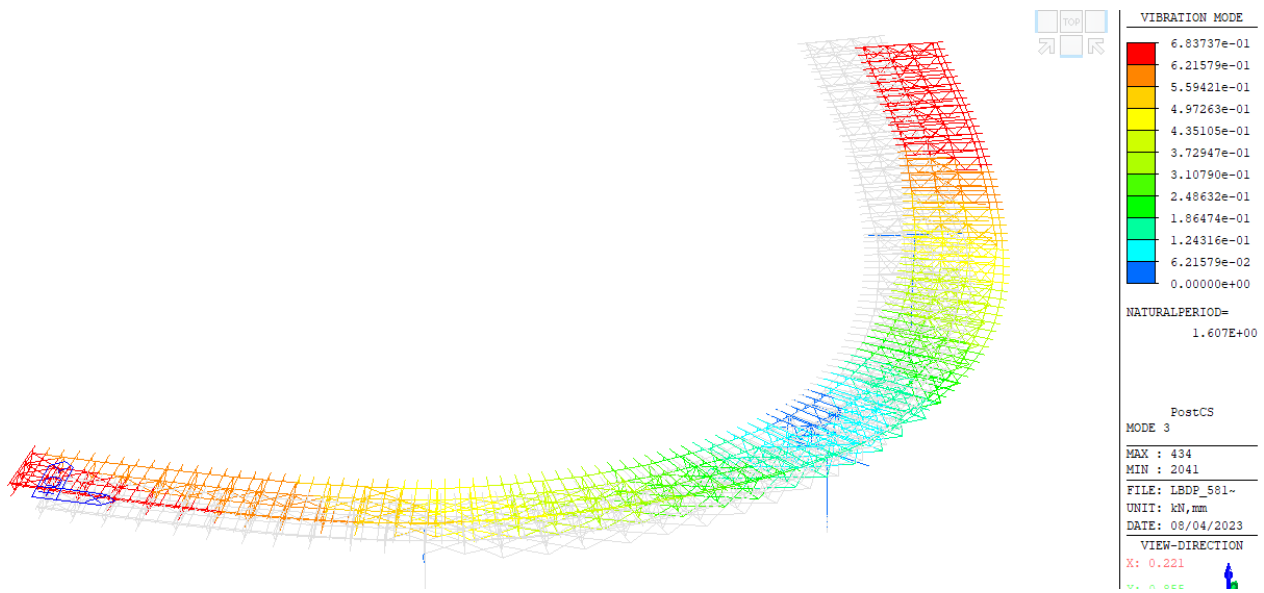


UBDP - Modo di vibrare n.2 - Traslazionale in X - T=1.47 s



UBDP - Modo di vibrare n.3 - Rotazionale in Z - T=1.22 s





PROGETTAZIONE ATI:

GPI INGEGNERIA

GESTIONE PROGETTI INGEGNERIA srl


cooprogetti

 **engeko**
Studio di Architettura e Ingegneria Moderna

Pag. 87 di 240

Come prescritto dalle NTC2018 al par.7.3.3.1, si è determinato, tramite calcolo agli autovalori, un numero di modi di vibrare sufficiente da attivare l'85% della massa delle strutture in elevazione.

MODAL PARTICIPATION MASSES PRINTOUT				
Mode No	TRAN-X		TRAN-Y	
	MASS(%)	SUM(%)	MASS(%)	SUM(%)
1	13.36	13.36	62.09	62.09
2	65.83	79.18	13.62	75.71
3	0.58	79.76	3.92	79.63
4	0.84	80.60	0.59	80.22
5	0.09	80.69	0.33	80.55
6	0.12	80.81	0.25	80.80
7	0.00	80.81	0.01	80.81
8	0.01	80.81	0.01	80.81
9	0.03	80.85	0.01	80.83
10	0.01	80.86	0.00	80.83
11	0.00	80.86	0.02	80.85
12	0.00	80.87	0.00	80.85
13	0.01	80.87	0.01	80.86
14	0.89	81.76	0.01	80.87
15	0.76	82.52	0.36	81.24
16	0.21	82.73	0.10	81.34
17	0.83	83.56	4.03	85.37
18	0.51	84.07	0.11	85.48
19	0.03	84.10	0.02	85.50
20	1.26	85.36	0.18	85.68
21	0.85	86.21	4.85	90.53
22	0.01	86.22	0.38	90.92
23	0.02	86.24	0.47	91.39
24	0.00	86.24	0.09	91.47
25	0.23	86.47	0.00	91.47
26	0.41	86.88	0.08	91.56
27	0.38	87.26	0.00	91.56
28	0.11	87.37	0.16	91.72
29	0.80	88.17	0.05	91.77
30	4.04	92.22	0.02	91.79
31	0.34	92.55	0.70	92.49
32	0.24	92.79	0.13	92.62
33	0.29	93.08	0.14	92.76
34	0.24	93.32	0.00	92.76
35	0.64	93.96	0.07	92.83
36	0.01	93.97	0.13	92.97
37	0.00	93.97	0.00	92.97

PROGETTAZIONE ATI:

GPI INGEGNERIA

GESTIONE PROGETTI INGEGNERIA srl



cooprogetti

	38	0.01	93.97	0.50	93.47
	39	0.03	94.00	0.04	93.51
	40	0.00	94.00	0.00	93.51

PROGETTAZIONE ATI:

GPI INGEGNERIA

GESTIONE PROGETTI INGEGNERIA srl


cooprogetti


engeko
Studio di Architettura e Ingegneria Moderna

Pag. 89 di 240

14. APPARECCHI DI APPOGGIO E GIUNTI

Per la presente opera si adottano isolatori elastomerici, con schema appoggi che prevede l'isolamento delle sottostrutture.

Si riportano le azioni sugli appoggi per le condizioni di carico più significative, gli elementi 1-2-3-4 si riferiscono alla spalla, 9-10-11-12 alla pile di riva, 13-14-15-16 per la pila centrale:

No.	Load	Axial (kN)
1	G1-acciaio	-195
2	G1-acciaio	-220
3	G1-acciaio	-242
4	G1-acciaio	-271
9	G1-acciaio	-533
10	G1-acciaio	-1047
11	G1-acciaio	-1131
12	G1-acciaio	-602
13	G1-acciaio	-698
14	G1-acciaio	-1323
15	G1-acciaio	-1342
16	G1-acciaio	-571
1	G1-soletta	-318
2	G1-soletta	-379
3	G1-soletta	-414
4	G1-soletta	-435
9	G1-soletta	-964
10	G1-soletta	-1954
11	G1-soletta	-2065
12	G1-soletta	-1022
13	G1-soletta	-1357
14	G1-soletta	-2551
15	G1-soletta	-2518
16	G1-soletta	-950
1	G2-pavimentazione	-98
2	G2-pavimentazione	-119
3	G2-pavimentazione	-129
4	G2-pavimentazione	-134
9	G2-pavimentazione	-295
10	G2-pavimentazione	-614
11	G2-pavimentazione	-648
12	G2-pavimentazione	-314
13	G2-pavimentazione	-418
14	G2-pavimentazione	-805
15	G2-pavimentazione	-794

PROGETTAZIONE ATI:

GPI INGEGNERIA
GESTIONE PROGETTI INGEGNERIA srl


cooprogetti


engeko


AIM
Studio di Architettura e Ingegneria Moderna

16	G2-pavimentazione	-291
1	G2-cordoli	-79
2	G2-cordoli	-51
3	G2-cordoli	-57
4	G2-cordoli	-102
9	G2-cordoli	-255
10	G2-cordoli	-223
11	G2-cordoli	-243
12	G2-cordoli	-247
13	G2-cordoli	-311
14	G2-cordoli	-219
15	G2-cordoli	-223
16	G2-cordoli	-241
1	G2-barriera	-14
2	G2-barriera	-10
3	G2-barriera	-11
4	G2-barriera	-18
9	G2-barriera	-45
10	G2-barriera	-44
11	G2-barriera	-48
12	G2-barriera	-44
13	G2-barriera	-56
14	G2-barriera	-44
15	G2-barriera	-44
16	G2-barriera	-43
1	G2-accessori	-16
2	G2-accessori	-8
3	G2-accessori	-6
4	G2-accessori	-9
9	G2-accessori	-51
10	G2-accessori	-34
11	G2-accessori	-24
12	G2-accessori	-22
13	G2-accessori	-56
14	G2-accessori	-28
15	G2-accessori	-23
16	G2-accessori	-23
1	q1max(min)	-219
2	q1max(min)	-469
3	q1max(min)	-731
4	q1max(min)	-909
9	q1max(min)	-370
10	q1max(min)	-1250
11	q1max(min)	-2127
12	q1max(min)	-1586

PROGETTAZIONE ATI:

GPI INGEGNERIA
GESTIONE PROGETTI INGEGNERIA srl


cooprogetti


engeko


AIM
Studio di Architettura e Ingegneria Moderna

13	q1max(min)	-376
14	q1max(min)	-1775
15	q1max(min)	-2336
16	q1max(min)	-1362

Tali apparecchi sono stati scelti alla luce dei valori massimi delle reazioni vincolari verticali massime (COMB. SLU e SISMICHE) sugli appoggi emersi dal calcolo, e precisamente:

	comb.	N (kN)
spalla	SLU13(min)	-2559
pila di riva	SLU13(min)	-8821
pila centrale	SLU13(min)	-10027

Si adottano apparecchi tipo FIP SI H 700-160 ($K_e = 3.37 \text{ kN/mm}$, $K_v = 2104 \text{ kN/mm}$) sulle pile e SI H 650/153 ($K_e = 3.04 \text{ kN/mm}$, $K_v = 1930 \text{ kN/mm}$) sulle spalle.

Riguardo al dimensionamento dei giunti, si è considerata la combinazione dello spostamento relativo spalla-impalcato e della dilatazione termica lineare combinata al 50% dell'impalcato stesso.

E78 GROSSETO – FANO
TRATTO NODO DI AREZZO – SELCI – LAMA (E45)
ADEGUAMENTO A QUATTRO CORSIE DEL TRATTO SAN ZENO – AREZZO – PALAZZO DEL PERO, 1° LOTTO
(FI508)

OPERE D'ARTE MAGGIORI – ASSE COLLEGAMENTO PALAZZO DEL PERO - VI.10 - VIADOTTO SCOPETONE

Node	Load	DX (mm)	DY (mm)	DX+0.3DY	DX+0.3DY	Node	Load	DX (mm)	DY (mm)	DX+0.3DY	DX+0.3DY	Δtot(mm)	temperatura	Δmax(mm)
1	2048	sismax	0.0	0.0	0.0	2013	sismax	235.1	36.9	253.9	67.5	262.7	17.1	279.8
		sismay	0.0	0.0	0.0		sismay	62.6	102.1	253.9	67.5	262.7	17.1	279.8
2	2047	sismax	0.0	0.0	0.0	2012	sismax	234.5	36.9	254.5	67.6	263.4	17.9	281.2
		sismay	0.0	0.0	0.0		sismay	66.7	102.2	254.5	67.6	263.4	17.9	281.2
3	2042	sismax	0.0	0.0	0.0	2007	sismax	234.1	36.9	255.6	67.6	264.4	18.7	283.0
		sismay	0.0	0.0	0.0		sismay	71.5	102.2	255.6	67.6	264.4	18.7	283.0
4	2041	sismax	0.0	0.0	0.0	2006	sismax	233.6	36.9	256.3	67.5	265.0	19.4	284.4
		sismay	0.0	0.0	0.0		sismay	75.8	102.1	256.3	67.5	265.0	19.4	284.4
5	2046	sismax	0.0	0.0	0.0	2011	sismax	137.7	61.5	164.8	126.6	207.8	14.7	222.5
		sismay	0.0	0.0	0.0		sismay	90.4	216.9	164.8	126.6	207.8	14.7	222.5
6	2045	sismax	0.0	0.0	0.0	2010	sismax	136.6	59.3	164.1	125.0	206.3	15.1	221.4
		sismay	0.0	0.0	0.0		sismay	91.7	219.0	164.1	125.0	206.3	15.1	221.4
7	2043	sismax	0.0	0.0	0.0	2008	sismax	134.4	55.5	162.3	122.0	203.0	15.5	218.5
		sismay	0.0	0.0	0.0		sismay	92.9	221.6	162.3	122.0	203.0	15.5	218.5
8	2044	sismax	0.0	0.0	0.0	2009	sismax	133.1	53.5	161.4	120.5	201.4	16.0	217.4
		sismay	0.0	0.0	0.0		sismay	94.2	223.6	161.4	120.5	201.4	16.0	217.4
9	2053	sismax	8.0	1.7	8.6	2018	sismax	237.0	29.3	254.2	87.4	259.6	10.0	269.6
		sismay	1.9	6.4	8.6		sismay	57.4	193.7	254.2	87.4	259.6	10.0	269.6
10	2054	sismax	7.8	1.6	8.4	2019	sismax	236.4	29.4	254.9	88.0	260.6	10.6	271.2
		sismay	1.9	6.4	8.4		sismay	61.8	195.3	254.9	88.0	260.6	10.6	271.2
11	2055	sismax	7.8	1.6	8.4	2020	sismax	235.7	29.4	255.6	88.5	261.4	11.2	272.6
		sismay	1.9	6.4	8.4		sismay	66.3	196.8	255.6	88.5	261.4	11.2	272.6
12	2056	sismax	8.0	1.7	8.6	2021	sismax	235.1	29.4	256.3	88.8	262.0	11.8	273.8
		sismay	2.1	6.4	8.6		sismay	70.9	197.8	256.3	88.8	262.0	11.8	273.8
13	2051	sismax	12.5	3.5	13.5	2016	sismax	236.0	34.0	246.1	106.1	252.4	15.3	267.7
		sismay	3.5	14.7	13.5		sismay	33.7	240.4	246.1	106.1	252.4	15.3	267.7
14	2052	sismax	12.4	3.5	13.4	2017	sismax	236.5	34.4	246.7	107.2	253.6	15.9	269.4
		sismay	3.5	14.5	13.4		sismay	34.1	242.7	246.7	107.2	253.6	15.9	269.4
15	2057	sismax	12.4	3.5	13.4	2022	sismax	236.7	34.9	247.0	108.3	254.3	16.4	270.6
		sismay	3.5	14.6	13.4		sismay	34.5	244.7	247.0	108.3	254.3	16.4	270.6
16	2058	sismax	12.5	3.5	13.5	2023	sismax	236.7	35.4	247.3	109.5	254.8	16.9	271.7
		sismay	3.5	14.8	13.5		sismay	35.1	247.0	247.3	109.5	254.8	16.9	271.7
17	2049	sismax	19.4	5.7	21.4	2014	sismax	208.7	37.0	225.3	108.2	225.1	7.8	232.9
		sismay	6.7	23.3	21.4		sismay	55.3	237.5	225.3	108.2	225.1	7.8	232.9
18	2050	sismax	19.3	5.6	21.3	2015	sismax	207.6	36.1	224.5	108.1	224.5	8.4	232.9
		sismay	6.7	23.2	21.3		sismay	56.4	239.9	224.5	108.1	224.5	8.4	232.9
19	2059	sismax	19.3	5.6	21.3	2024	sismax	206.0	35.5	223.3	108.2	223.5	8.9	232.4
		sismay	6.7	23.2	21.3		sismay	57.4	242.4	223.3	108.2	223.5	8.9	232.4
20	2060	sismax	19.3	5.7	21.3	2025	sismax	204.6	35.3	222.2	108.7	222.6	9.5	232.1
		sismay	6.8	23.5	21.3		sismay	58.5	244.8	222.2	108.7	222.6	9.5	232.1

Si è pertanto ottenuto:

$$\delta_{SIS} = \pm 265 \text{ mm}$$

SISMA SLC

$$0.50 \times \delta_T = \pm 19.4 \text{ mm}$$

da cui:

$$\delta_{TOT} = \delta_{SIS} + 0.50\delta_T = 265 + 19.4 = \pm 284 \text{ mm}$$

Si adottano pertanto giunti con capacità di scorrimento superiore a $\pm 300\text{mm}$.

PROGETTAZIONE ATI:

GPI INGEGNERIA

GESTIONE PROGETTI INGEGNERIA srl

cooprogetti



anim
Studio di Architettura e Ingegneria Moderna

15. STATO DI DEFORMAZIONE IN ESERCIZIO

Analizzando i valori degli spostamenti verticali delle travi principali dell'impalcato, si ottiene:

Campata di riva (50m):

$\delta_{zz} = 111\text{mm} < L/400 = 125\text{mm}$ (soli carichi da traffico)

Campata centrale (62m):

$\delta_{z2} = 97\text{mm} < L/400 = 155\text{mm}$ (soli carichi da traffico)

spostamenti compatibili con la tipologia di struttura in esame.

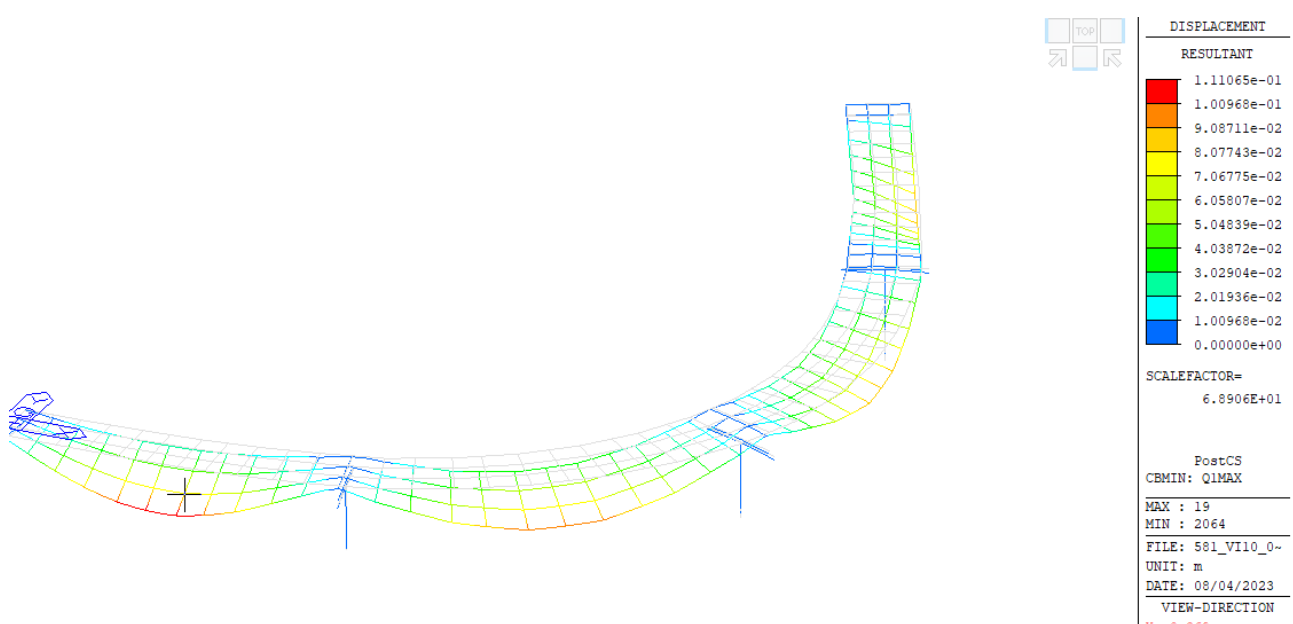


Figura 9 DZ2 Carichi traffico

16. VERIFICHE STRUTTURALI

Nei seguenti paragrafi si riportano i risultati delle verifiche agli SLU effettuate per gli elementi caratteristici dei conci strutturali che compongono la travata.

Per effettuare la verifica, viene prima fatta la classificazione della sezione in funzione della loro capacità rotazionale C_θ definita come:

$$C_\theta = \frac{\theta_r}{\theta_y} - 1$$

essendo θ_r e θ_y le curvature corrispondenti rispettivamente al raggiungimento della deformazione ultima ed allo snervamento. Si distinguono le seguenti classi di sezioni:

Classe1: quando la sezione è in grado di sviluppare una cerniera plastica avente la capacità rotazionale richiesta per l'analisi strutturale condotta con il metodo plastico di cui al §4.2.3.2 senza subire riduzioni della resistenza. Possono generalmente classificarsi come tali le sezioni con capacità rotazionale $C_\theta \geq 3$;

Classe2: la sezione può sviluppare il proprio momento resistente plastico, ma ha una capacità rotazionale limitata. Possono generalmente classificarsi come tali le sezioni con capacità rotazionale $C_\theta \geq 1,5$;

Classe3: sono quelle sezioni trasversali dove la fibra d'acciaio estrema compressa può raggiungere la tensione di snervamento, ma l'instabilità locale può impedire il raggiungimento del momento resistente plastico;

Classe4: quando, per determinarne la resistenza flettente, tagliente o normale, è necessario tener conto degli effetti dell'instabilità locale in fase elastica nelle parti compresse che compongono la sezione. In tal caso nel calcolo della resistenza la sezione geometrica effettiva può sostituirsi con una sezione efficace.

La definizione delle classi viene fornita dalla NTC2018 e nel caso di una sezione composta, la classificazione è funzione della classe più sfavorevole relativa alle varie parti che la compongono (piattabanda superiore, inferiore e pannello d'anima). Questa classificazione delle sezioni trasversali dipende dalla proporzione di ciascuno dei suoi elementi compresi e dallo stato tensionale; quindi dai rapporti geometrici tra la larghezza e lo spessore per tutti gli elementi costituenti i conci di acciaio dell'impalcato si ricava il coefficiente adimensionale che consentirà di stabilire la classe di appartenenza dei vari elementi.

La tipologia di verifica da eseguire dipende dalla classificazione della sezione:

- Per le classi 1 e 2 si esegue una verifica plastica;
- Per la classe 3 si esegue una verifica elastica con la geometria reale della sezione;
- Per la classe 4 si esegue una verifica elastica con la geometria efficace della sezione;

Nell'eventualità in cui la sezione sia passibile di fenomeni di instabilità locale (classe 4), tali effetti vengono implicitamente incorporati nella definizione della cosiddetta "geometria efficace" della sezione. Non è quindi più richiesto dalla norma il rispetto di criteri geometrico/tensionali (si veda

PROGETTAZIONE ATI:

GPI INGEGNERIA

GESTIONE PROGETTI INGEGNERIA srl



cooprogetti




Studio di Architettura e Ingegneria Moderna

procedura illustrata in UNI EN 1993-1-5:2007). Per le sezioni ricadenti in classe 3 o inferiore il fenomeno è scongiurato, poiché la sezione è in grado di raggiungere il almeno il momento resistente elastico della intera sezione senza decurtazioni.

16.1. VERIFICA DI RESISTENZA

Si riportano di seguito delle tabelle sintetiche di verifica, per i conci più significativi di mezzeria di campata e in appoggio viene riportata la verifica estesa.

La dicitura delle condizioni di azioni è la seguente

- g1 peso proprio delle strutture
- g2 carichi permanenti portati
- Cedimenti distorsioni di progetto
- Ritiro ritiro del calcestruzzo
- dt variazioni termiche differenziali: Acciaio-cls.
- ε effetti viscosi
- Cedimenti cedimenti differenziali dei vincoli
- q1 : carichi mobili
- freno: azioni longitudinali di frenamento
- vento azioni del vento

Si riportano di seguito le combinazioni di verifica adottate:

```

NAME=SLU1, STEEL, STRENGTH, 0, 0, , 0, 0, 0
      CBS, g1, 1.35, CBS, g2, 1.5, CBS, Ritiro, 1.2, CBS, cedimenti, 1.2
      CBS, vento, 0.9, CBS, dt1, 0.9, CBS, qlecc, 1.35
NAME=SLU2, STEEL, STRENGTH, 0, 0, , 0, 0, 0
      CBS, g1, 1.35, CBS, g2, 1.5, CBS, Ritiro, 1.2, CBS, cedimenti, 1.2
      CBS, vento, 0.9, CBS, dt2, 0.9, CBS, qlecc, 1.35
NAME=SLU3, STEEL, STRENGTH, 0, 0, , 0, 0, 0
      CBS, g1, 1.35, CBS, g2, 1.5, CBS, Ritiro, 1.2, CBS, cedimenti, 1.2
      CBS, vento, -0.9, CBS, dt1, 0.9, CBS, qlecc, 1.35
NAME=SLU4, STEEL, STRENGTH, 0, 0, , 0, 0, 0
      CBS, g1, 1.35, CBS, g2, 1.5, CBS, Ritiro, 1.2, CBS, cedimenti, 1.2
      CBS, vento, -0.9, CBS, dt2, 0.9, CBS, qlecc, 1.35
NAME=SLU5, STEEL, STRENGTH, 0, 0, , 0, 0, 0
      CBS, g1, 1, CBS, g2, 1, CBS, Ritiro, 1, CBS, cedimenti, 1
      CBS, vento, 0.9, CBS, dt1, 0.9, CBS, qlecc, 1.35
NAME=SLU6, STEEL, STRENGTH, 0, 0, , 0, 0, 0
      CBS, g1, 1, CBS, g2, 1, CBS, Ritiro, 1, CBS, cedimenti, 1
      CBS, vento, 0.9, CBS, dt2, 0.9, CBS, qlecc, 1.35
NAME=SLU7, STEEL, STRENGTH, 0, 0, , 0, 0, 0
      CBS, g1, 1, CBS, g2, 1, CBS, Ritiro, 1, CBS, cedimenti, 1
      CBS, vento, -0.9, CBS, dt1, 0.9, CBS, qlecc, 1.35
NAME=SLU8, STEEL, STRENGTH, 0, 0, , 0, 0, 0
      CBS, g1, 1, CBS, g2, 1, CBS, Ritiro, 1, CBS, cedimenti, 1
      CBS, vento, -0.9, CBS, dt2, 0.9, CBS, qlecc, 1.35
NAME=SLU9, STEEL, STRENGTH, 0, 0, , 0, 0, 0
      CBS, g1, 1.35, CBS, g2, 1.5, CBS, Ritiro, 1.2, CBS, cedimenti, 1.2
      CBS, dt1, 0.9, CBS, q1max, 1.35, CBS, freno, 1.35
NAME=SLU10, STEEL, STRENGTH, 0, 0, , 0, 0, 0
      CBS, g1, 1.35, CBS, g2, 1.5, CBS, Ritiro, 1.2, CBS, cedimenti, 1.2

```

PROGETTAZIONE ATI:

GPI INGEGNERIA

GESTIONE PROGETTI INGEGNERIA srl

 cooprogetti




Studio di Architettura e Ingegneria Moderna

OPERE D'ARTE MAGGIORI – ASSE COLLEGAMENTO PALAZZO DEL PERO - VI.10 - VIADOTTO SCOPETONE

```

CBS, dt2, 0.9, CBS, q1max, 1.35, CBS, freno, 1.35
NAME=SLU11, STEEL, STRENGTH, 0, 0, , 0, 0, 0
  CBS, g1, 1, CBS, g2, 1, CBS, Ritiro, 1, CBS, cedimenti, 1
  CBS, dt1, 0.9, CBS, q1max, 1.35, CBS, freno, 1.35
NAME=SLU12, STEEL, STRENGTH, 0, 0, , 0, 0, 0
  CBS, g1, 1, CBS, g2, 1, CBS, Ritiro, 1, CBS, cedimenti, 1
  CBS, dt2, 0.9, CBS, q1max, 1.35, CBS, freno, 1.35
NAME=SLU13, STEEL, STRENGTH, 0, 0, , 0, 0, 0
  CBS, g1, 1.35, CBS, g2, 1.5, CBS, Ritiro, 1.2, CBS, cedimenti, 1.2
  CBS, dt1, 1.5, CBS, q1max, 1.35
NAME=SLU14, STEEL, STRENGTH, 0, 0, , 0, 0, 0
  CBS, g1, 1.35, CBS, g2, 1.5, CBS, Ritiro, 1.2, CBS, cedimenti, 1.2
  CBS, dt2, 1.5, CBS, q1max, 1.35
NAME=SLU15, STEEL, STRENGTH, 0, 0, , 0, 0, 0
  CBS, g1, 1, CBS, g2, 1, CBS, Ritiro, 1, CBS, cedimenti, 1
  CBS, dt1, 1.5, CBS, q1max, 1.35
NAME=SLU16, STEEL, STRENGTH, 0, 0, , 0, 0, 0
  CBS, g1, 1, CBS, g2, 1, CBS, Ritiro, 1, CBS, cedimenti, 1
  CBS, dt2, 1.5, CBS, q1max, 1.35
NAME=SLU17, STEEL, STRENGTH, 0, 0, , 0, 0, 0
  CBS, g1, 1.35, CBS, g2, 1.5, CBS, Ritiro, 1.2, CBS, cedimenti, 1.2
  CBS, vento, 1.5
NAME=SLU18, STEEL, STRENGTH, 0, 0, , 0, 0, 0
  CBS, g1, 1, CBS, g2, 1, CBS, Ritiro, 1, CBS, cedimenti, 1
  CBS, vento, 1.5
NAME=SLE1_CAR, STEEL, SERVICE, 0, 0, , 3, 0, 0
  CBS, g1, 1, CBS, g2, 1, CBS, Ritiro, 1, CBS, cedimenti, 1
  CBS, vento, 0.6, CBS, dt1, 0.6, CBS, q1max, 1
NAME=SLE2_CAR, STEEL, SERVICE, 0, 0, , 3, 0, 0
  CBS, g1, 1, CBS, g2, 1, CBS, Ritiro, 1, CBS, cedimenti, 1
  CBS, vento, 0.6, CBS, dt2, 0.6, CBS, q1max, 1
NAME=SLE3_CAR, STEEL, SERVICE, 0, 0, , 3, 0, 0
  CBS, g1, 1, CBS, g2, 1, CBS, Ritiro, 1, CBS, cedimenti, 1
  CBS, vento, -0.6, CBS, dt1, 0.6, CBS, q1max, 1
NAME=SLE4_CAR, STEEL, SERVICE, 0, 0, , 3, 0, 0
  CBS, g1, 1, CBS, g2, 1, CBS, Ritiro, 1, CBS, cedimenti, 1
  CBS, vento, -0.6, CBS, dt2, 0.6, CBS, q1max, 1
NAME=SLE1_FR, STEEL, SERVICE, 0, 0, , 2, 0, 0
  CBS, g1, 1, CBS, Ritiro, 1, CBS, cedimenti, 1, CBS, dt1, 0.6
  MV, Massimo tandem, 0.75, MV, Massimo distribuito, 0.4, CBS, vento, 0.2
NAME=SLE2_FR, STEEL, SERVICE, 0, 0, , 2, 0, 0
  CBS, g1, 1, CBS, Ritiro, 1, CBS, cedimenti, 1, CBS, dt1, 0.6
  MV, Massimo ecc tandem, 0.75, MV, Massimo ecc distribuiti, 0.4
  CBS, vento, 0.2
NAME=SLE3_FR, STEEL, SERVICE, 0, 0, , 2, 0, 0
  CBS, g1, 1, CBS, Ritiro, 1, CBS, cedimenti, 1, CBS, dt2, 0.6
  MV, Massimo tandem, 0.75, MV, Massimo distribuito, 0.4, CBS, vento, 0.2
NAME=SLE4_FR, STEEL, SERVICE, 0, 0, , 2, 0, 0
  CBS, g1, 1, CBS, Ritiro, 1, CBS, cedimenti, 1, CBS, dt2, 0.6
  MV, Massimo ecc tandem, 0.75, MV, Massimo ecc distribuiti, 0.4
  CBS, vento, 0.2
NAME=SLE1_QP, STEEL, SERVICE, 0, 0, , 1, 0, 0
  CBS, g1, 1, CBS, Ritiro, 1, CBS, cedimenti, 1, CBS, dt1, 0.5
NAME=SLE2_QP, STEEL, SERVICE, 0, 0, , 1, 0, 0
  CBS, g1, 1, CBS, Ritiro, 1, CBS, cedimenti, 1, CBS, dt2, 0.5

```

PROGETTAZIONE ATI:

GPI INGEGNERIA

GESTIONE PROGETTI INGEGNERIA srl

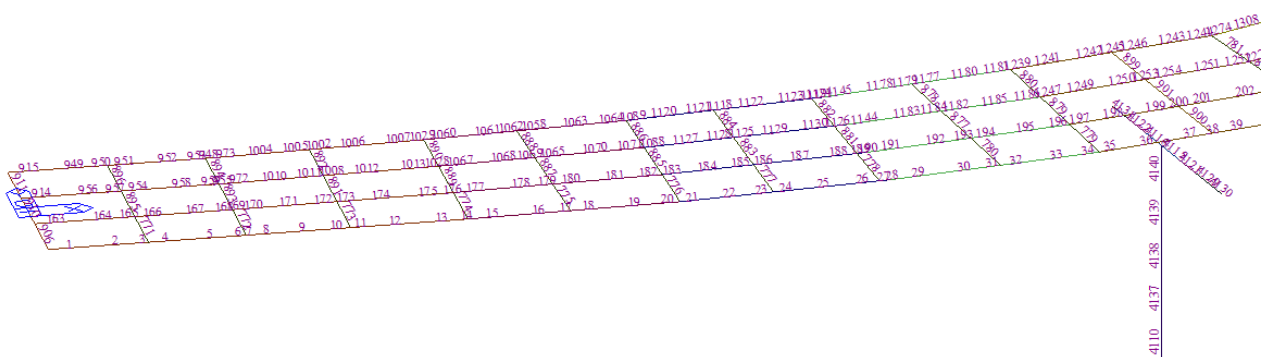


cooprogetti

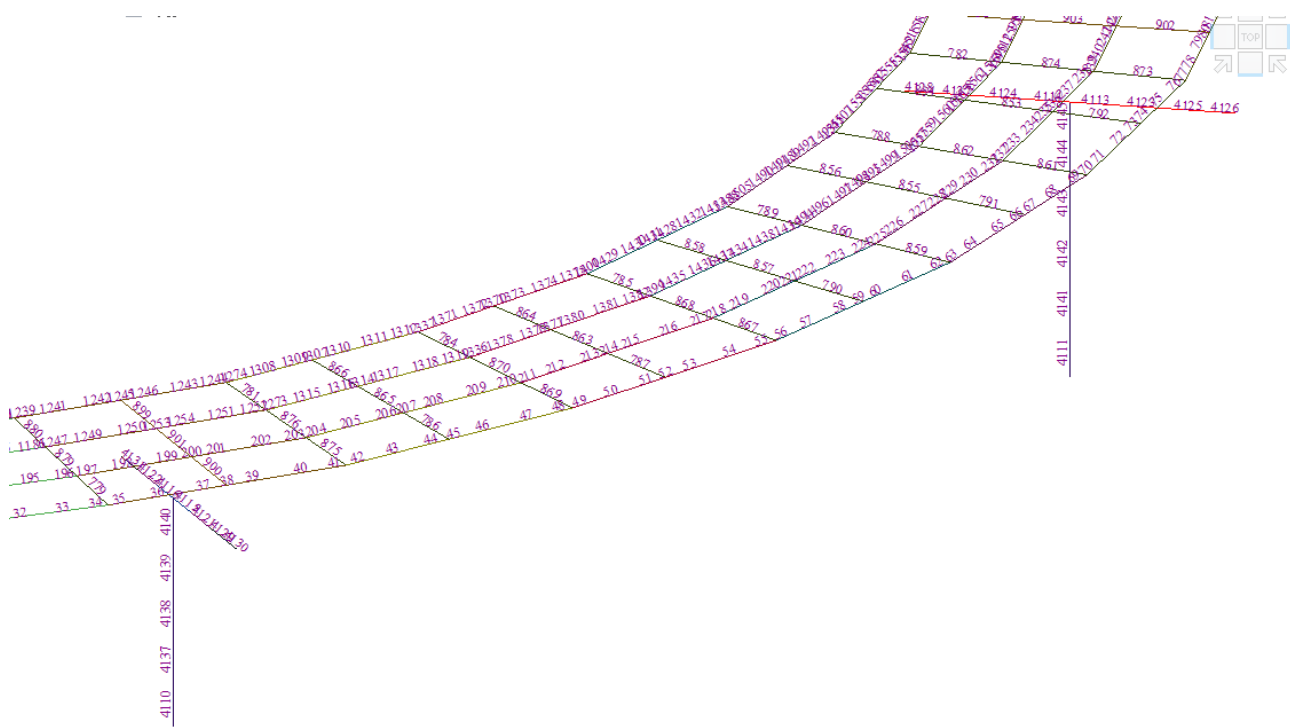


Studio di Architettura e Ingegneria Moderna

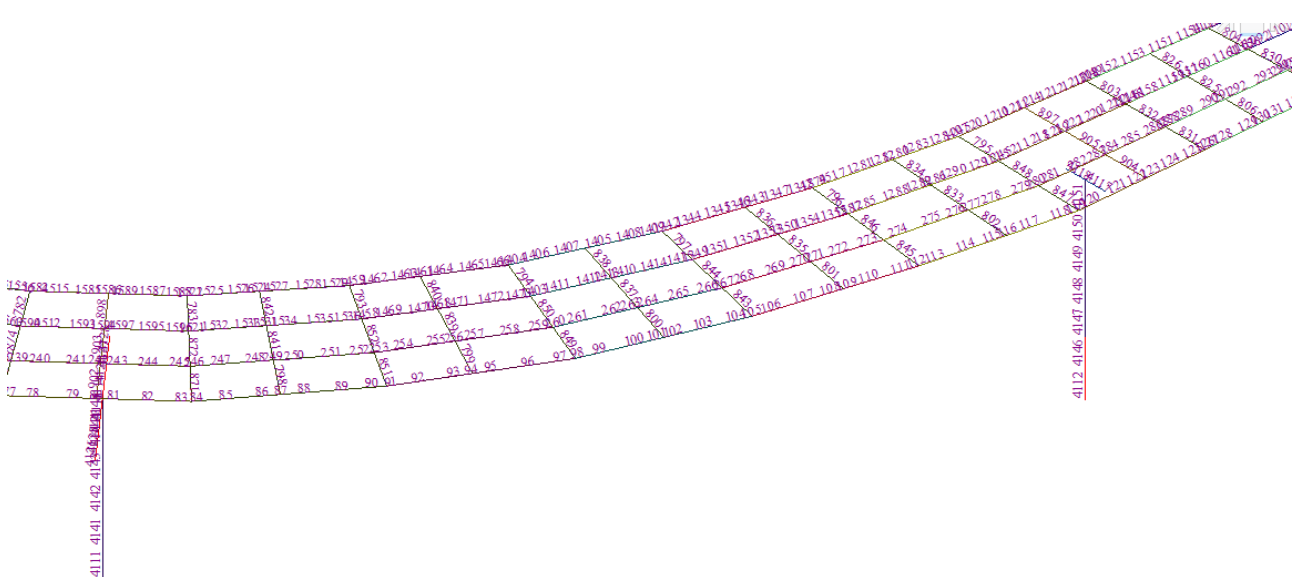
Si riportano di seguito le schermate con la posizione degli elementi di impalcato.



Prima campata

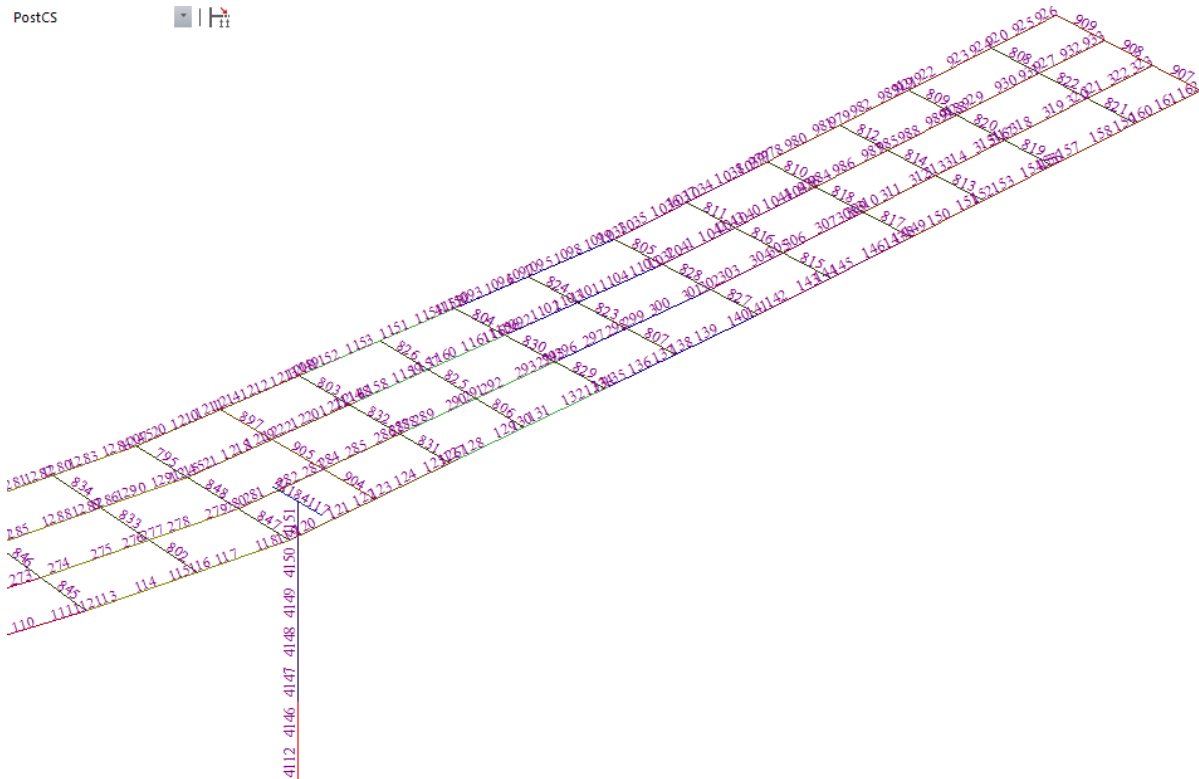


Seconda campata



Terza campata

PostCS



Quarta campata

16.1.1. VERIFICA A FLESSIONE

PROGETTAZIONE ATI:

GPI INGEGNERIA
GESTIONE PROGETTI INGEGNERIA srl

GESTIONE PROGETTI INGEGNERIA

cooprogetti



Si riporta una tabella sintetica della verifica di resistenza flessione per le sezioni significative dei conci strutturali che compongono la travata con valutazione del tasso di sfruttamento della sezione.

Elem	Part	Positive/Negative	Lcom	Type	Top Class	Bot Class	Web Class	Sect. Class	Ma,Ed (kN*m)	Mc,Ed (kN*m)	Mpl,Rd (kN*m)	Mei,Rd (kN*m)	M_Rd (kN*m)	Sezione	$\frac{(Ma_{ed} + Mc_{ed})}{M_Rd}$	$\frac{(Ma_{ed} + Mc_{ed})}{Mei_Rd}$
1	I[1]	Neg	-	-	-	-	-	-	-	-	-	-	-	-	-	-
1	I[1]	Pos	SLU1	MY-MAX	1	1	1	1	-307	2622	30886	25682	30886	C1	0.07	0.09
7	J[8]	Pos	SLU13	MY-MAX	1	1	1	1	5871	14051	30886	23348	30886	C1	0.65	0.85
8	I[8]	Neg	-	-	-	-	-	-	-	-	-	-	-	-	-	-
8	I[8]	Pos	SLU13	MY-MAX	1	1	1	1	5860	14031	38117	31352	38117	C2	0.52	0.63
13	J[14]	Neg	SLU16	MY-MIN	1	1	4	4	6318	-246	25404	19219	19219	C2	0.32	0.32
13	J[14]	Pos	SLU13	MY-MAX	1	1	1	1	8529	19816	38117	30488	38117	C2	0.74	0.93
14	I[14]	Neg	SLU16	MY-MIN	1	1	4	4	6315	-243	26498	20199	20199	C3	0.30	0.30
14	I[14]	Pos	SLU13	MY-MAX	1	1	1	1	8525	19809	39533	31568	39533	C3	0.72	0.90
20	J[21]	Neg	SLU16	MY-MIN	1	1	4	4	5077	-2963	26498	20199	20199	C3	0.10	0.10
20	J[21]	Pos	SLU13	MY-MAX	1	1	1	1	6854	19157	39533	32111	39533	C3	0.66	0.81
21	I[21]	Neg	SLU16	MY-MIN	1	1	4	4	5081	-2969	28145	22712	22712	C4	0.09	0.09
21	I[21]	Pos	SLU13	MY-MAX	1	1	1	1	6859	19178	38402	30523	38402	C4	0.68	0.85
27	J[28]	Neg	SLU16	MY-MIN	1	3	3	3	37	-6385	28145	22825	22825	C4	0.28	0.28
27	J[28]	Pos	SLU13	MY-MAX	1	1	1	1	50	11228	38402	32771	38402	C4	0.29	0.34
28	I[28]	Neg	SLU16	MY-MIN	1	3	4	4	47	-6395	34386	28948	28948	C5	0.22	0.22
28	I[28]	Pos	SLU13	MY-MAX	1	1	1	1	64	11244	41157	34607	41157	C5	0.27	0.33
34	J[35]	Neg	SLU14	MY-MIN	1	3	3	3	11043	14193	34386	28356	28356	C5	0.89	0.89
34	J[35]	Pos	SLU15	MY-MAX	1	3	3	3	-8180	1186	41157	39885	39885	C5	0.18	0.18
35	I[35]	Neg	SLU14	MY-MIN	1	3	3	3	10646	16330	54601	46222	46222	C6	0.58	0.58
37	J[38]	Neg	SLU14	MY-MIN	1	3	3	3	16253	22978	54601	42302	42302	C6	0.93	0.93
37	J[38]	Pos	-	-	-	-	-	-	-	-	-	-	-	-	-	-
38	I[38]	Neg	SLU14	MY-MIN	1	3	3	3	15241	20722	54601	43009	43009	C6	0.84	0.84
41	J[42]	Neg	SLU14	MY-MIN	1	3	3	3	-9220	16897	54601	47219	47219	C6	0.55	0.55
41	J[42]	Pos	SLU15	MY-MAX	1	3	3	3	-6830	957	61574	46496	46496	C6	0.13	0.13
42	I[42]	Neg	SLU14	MY-MIN	1	4	4	4	10219	13824	52626	38815	38815	C7	0.62	0.62
42	I[42]	Pos	SLU15	MY-MAX	1	4	3	4	-7570	2653	56783	60982	60982	C7	0.08	0.08
48	J[49]	Ne	SLU16	MY-MIN	1	4	4	4	2058	-7118	52626	39251	39251	C7	0.13	0.13

PROGETTAZIONE ATI:

GPI INGEGNERIA

GESTIONE PROGETTI INGEGNERIA srl

cooprogetti


engeko
Studio di Architettura e Ingegneria Moderna

Pag. 100 di
240

		g														
48	J[49]	Pos	SLU13	MY-MAX	1	1	1	1	2778	14946	56783	46968	56783	C7	0.31	0.38
49	I[49]	Ne g	SLU16	MY-MIN	1	3	4	4	973	-6752	49484	38706	38706	C8	0.15	0.15
49	I[49]	Pos	SLU13	MY-MAX	1	1	1	1	1313	12385	65319	51827	65319	C8	0.21	0.26
55	J[56]	Ne g	SLU14	MY-MIN	1	1	4	4	7787	-3258	49484	44188	44188	C8	0.10	0.10
55	J[56]	Pos	SLU13	MY-MAX	1	1	1	1	7787	19802	65319	49749	65319	C8	0.42	0.55
56	I[56]	Ne g	SLU16	MY-MIN	1	1	4	4	5416	-4769	48349	40821	40821	C9	0.02	0.02
56	I[56]	Pos	SLU13	MY-MAX	1	1	1	1	7312	19288	68403	53279	68403	C9	0.39	0.50
59	J[60]	Ne g	SLU16	MY-MIN	1	1	4	4	5828	-4543	48349	40821	40821	C9	0.03	0.03
59	J[60]	Pos	SLU13	MY-MAX	1	1	1	1	7868	19715	68403	53103	68403	C9	0.40	0.52
62	J[63]	Ne g	SLU16	MY-MIN	1	3	4	4	4921	-5292	48349	40821	40821	C9	0.01	0.01
62	J[63]	Pos	SLU13	MY-MAX	1	1	1	1	6643	18200	68403	53491	68403	C9	0.36	0.46
63	I[63]	Ne g	SLU16	MY-MIN	1	3	4	4	5421	-5585	47825	41885	41885	C10	0.00	0.00
63	I[63]	Pos	SLU13	MY-MAX	1	1	1	1	7319	19645	64541	49145	64541	C10	0.42	0.55
69	J[70]	Ne g	SLU14	MY-MIN	1	3	4	4	-759.2	-8266	47825	38377	38377	C10	0.24	0.24
69	J[70]	Pos	SLU15	MY-MAX	1	1	1	1	-562.4	9106	64541	51878	64541	C10	0.13	0.16
70	I[70]	Ne g	SLU16	MY-MIN	1	3	4	4	639	-8491	69237	47098	47098	C11	0.17	0.17
70	I[70]	Pos	SLU13	MY-MAX	1	1	1	1	862.7	12085	74670	59109	74670	C11	0.17	0.22
76	J[77]	Ne g	SLU14	MY-MIN	1	3	4	4	13118	16941	69237	46368	46368	C11	0.65	0.65
76	J[77]	Pos	SLU5	MY-MAX	1	3	4	4	-9717	189.8	74670	70835	70835	C11	0.13	0.13
77	I[77]	Ne g	SLU14	MY-MIN	1	2	3	2	11982	20286	71552	73776	71552	C12	0.45	0.44
80	J[81]	Ne g	SLU14	MY-MIN	1	2	3	2	-	-	71552	73055	71552	C12	0.59	0.58
80	J[81]	Pos	-	-	-	-	-	-	-	-	-	-	-	-	-	
81	I[81]	Ne g	SLU13	MY-MIN	1	2	3	2	17708	23575	71552	73064	71552	C12	0.58	0.57
83	J[84]	Ne g	SLU14	MY-MIN	1	2	3	2	11989	19849	71552	73775	71552	C12	0.44	0.43
83	J[84]	Pos	-	-	-	-	-	-	-	-	-	-	-	-	-	
84	I[84]	Ne g	SLU14	MY-MIN	1	3	4	4	13142	17040	69237	46367	46367	C11	0.65	0.65
84	I[84]	Pos	SLU5	FY-MAX	1	3	4	4	-9734	375	74670	70844	70844	C11	0.13	0.13
90	J[91]	Ne g	SLU16	MY-MIN	1	3	4	4	933.1	-8854	69237	47050	47050	C11	0.17	0.17
90	J[91]	Pos	SLU13	MY-MAX	1	1	1	1	1260	13093	74670	58998	74670	C11	0.19	0.24
91	I[91]	Ne g	SLU14	MY-MIN	1	3	4	4	-485.3	-8559	47825	38391	38391	C10	0.24	0.24
91	I[91]	Pos	SLU13	MY-MAX	1	1	1	1	-485.3	10323	64541	51851	64541	C10	0.15	0.19
97	J[98]	Ne g	SLU16	MY-MIN	1	3	4	4	5761	-5439	47825	41885	41885	C10	0.01	0.01
97	J[98]	Pos	SLU13	MY-MAX	1	1	1	1	7778	20264	64541	48986	64541	C10	0.43	0.57
98	I[98]	Ne g	SLU16	MY-MIN	1	3	4	4	5224	-5433	48349	40821	40821	C9	0.01	0.01

PROGETTAZIONE ATI:

GPI INGEGNERIA

GESTIONE PROGETTI INGEGNERIA srl

cooprogetti



ANIM
Studio di Architettura e Ingegneria Moderna

98	I[98]	Pos	SLU13	MY-MAX	1	1	1	1	7053	19070	68403	53362	68403	C9	0.38	0.49
101	J[102]	Ne g	SLU16	MY-MIN	1	1	4	4	6177	-4192	48349	40821	40821	C9	0.05	0.05
101	J[102]	Pos	SLU13	MY-MAX	1	1	1	1	8339	20353	68403	52954	68403	C9	0.42	0.54
104	J[105]	Ne g	SLU16	MY-MIN	1	1	4	4	5635	-4053	48349	40821	40821	C9	0.04	0.04
104	J[105]	Pos	SLU13	MY-MAX	1	1	1	1	7608	19471	68403	53186	68403	C9	0.40	0.51
105	I[105]	Ne g	SLU14	MY-MIN	1	1	4	4	8104	-2816	49484	44188	44188	C8	0.12	0.12
105	I[105]	Pos	SLU13	MY-MAX	1	1	1	1	8104	20187	65319	49647	65319	C8	0.43	0.57
111	J[112]	Ne g	SLU16	MY-MIN	1	3	4	4	1202	-6102	49484	38664	38664	C8	0.13	0.13
111	J[112]	Pos	SLU13	MY-MAX	1	1	1	1	1622	12998	65319	51728	65319	C8	0.22	0.28
112	I[112]	Ne g	SLU16	MY-MIN	1	4	4	4	2348	-6350	52626	39221	39221	C7	0.10	0.10
112	I[112]	Pos	SLU13	MY-MAX	1	1	1	1	3170	15354	56783	46865	56783	C7	0.33	0.40
118	J[119]	Ne g	SLU14	MY-MIN	1	4	4	4	-9516	12955	52626	38860	38860	C7	0.58	0.58
118	J[119]	Pos	SLU15	MY-MAX	1	4	3	4	-7049	3639	56783	60982	60982	C7	0.06	0.06
119	I[119]	Ne g	SLU14	MY-MIN	1	3	3	3	-8565	16174	54601	47678	47678	C6	0.52	0.52
119	I[119]	Pos	SLU15	MY-MAX	1	3	3	3	-6344	2068	61574	46496	46496	C6	0.09	0.09
122	J[123]	Ne g	SLU14	MY-MIN	1	3	3	3	14823	21231	54601	43301	43301	C6	0.83	0.83
122	J[123]	Pos	-	-	-	-	-	-	-	-	-	-	-	-	-	-
123	I[123]	Ne g	SLU14	MY-MIN	1	3	3	3	16156	23119	54601	42369	42369	C6	0.93	0.93
126	J[127]	Ne g	SLU14	MY-MIN	1	3	3	3	-9772	15231	54601	46833	46833	C6	0.53	0.53
126	J[127]	Pos	SLU15	MY-MAX	1	3	3	3	-7238	567.9	61574	46496	46496	C6	0.14	0.14
127	I[127]	Ne g	SLU14	MY-MIN	1	3	3	3	-9814	12749	34386	28425	28425	C5	0.79	0.79
127	I[127]	Pos	SLU15	MY-MAX	1	3	3	3	-7270	2706	41157	39885	39885	C5	0.11	0.11
134	J[135]	Ne g	SLU16	MY-MIN	1	3	4	4	8.813	-5593	34386	28952	28952	C5	0.19	0.19
134	J[135]	Pos	SLU13	MY-MAX	1	1	1	1	11.9	10979	41157	34621	41157	C5	0.27	0.32
135	I[135]	Ne g	SLU16	MY-MIN	1	3	3	3	-2.38	-5594	28145	22825	22825	C4	0.25	0.25
135	I[135]	Pos	SLU13	MY-MAX	1	1	1	1	-3.213	10980	38402	32789	38402	C4	0.29	0.33
140	J[141]	Ne g	SLU16	MY-MIN	1	1	4	4	4446	-2454	28145	22712	22712	C4	0.09	0.09
140	J[141]	Pos	SLU13	MY-MAX	1	1	1	1	6002	17838	38402	30806	38402	C4	0.62	0.77
141	I[141]	Ne g	SLU16	MY-MIN	1	1	4	4	4444	-2449	26498	20199	20199	C3	0.10	0.10
141	I[141]	Pos	SLU13	MY-MAX	1	1	1	1	5999	17820	39533	32389	39533	C3	0.60	0.74
147	J[148]	Ne g	SLU16	MY-MIN	1	1	4	4	5594	-36.06	26498	20199	20199	C3	0.28	0.28
147	J[148]	Pos	SLU13	MY-MAX	1	1	1	1	7552	18142	39533	31884	39533	C3	0.65	0.81
148	I[148]	Ne g	SLU16	MY-MIN	1	1	4	4	5597	-36.54	25404	19219	19219	C2	0.29	0.29
148	I[148]	Pos	SLU13	MY-MAX	1	1	1	1	7556	18143	38117	30803	38117	C2	0.67	0.83

PROGETTAZIONE ATI:

GPI INGEGNERIA

GESTIONE PROGETTI INGEGNERIA srl

cooprogetti



Studio di Architettura e Ingegneria Moderna

154	J[155]	Pos	SLU13	MY-MAX	1	1	1	1	5646	13502	38117	31421	38117	C2	0.50	0.61
155	I[155]	Ne g	-	MY-MAX	1	1	1	1	5658	13524	30886	23429	30886	C1	0.62	0.82
162	J[163]	Pos	SLU13	MY-MAX	1	1	1	1	-256.3	2625	30886	25663	30886	C1	0.08	0.09
244	J[246]	Ne g	SLU14	MY-MIN	1	2	3	2	13899	20054	71552	73538	71552	C12	0.47	0.46
244	J[246]	Pos	-	MY-MIN	1	2	3	2	-	-	-	-	-	-	-	-

16.1.2. VERIFICA A SFORZO DI TAGLIO

La verifica al taglio viene effettuata secondo la seguente formulazione>

$$V_{b,Rd} = V_{bw,Rd} + V_{bf,Rd} \leq \frac{\eta f_y w h_w t}{\sqrt{3} \gamma_{M1}} \quad (3.43)$$

EN1994-2:
6.2.2.3
EN1993-1-
(5.1)

La verifica viene estesa nelle sezioni in cui il tasso superi 0.5 controllando l'interazione con il momento controllando la verifica della seguente formula.

$$\bar{\eta}_1 + \left(1 - \frac{M_{f,Rd}}{M_{pl,Rd}}\right) \left(2\bar{\eta}_3 - 1\right)^2 \leq 1.0 \quad (3.52)$$

EN1993-1-
7.1(1)

Elem	Part	Lcom	Type	Top Class	Bot Class	Web Class	Sect. Class	N_Ed (kN)	M_Ed (kNm)	V_Ed (kN)	Vpl,Rd (kN)	Vb,Rd (kN)	Sezione	(V_ed)/Vb_rd
1	I[1]	SLU13	FZ-MIN	1	1	1	1	446	1971	-2423	8967	5788	C1	0.42
7	J[8]	SLU13	FZ-MIN	1	1	1	1	281	75525	-1546	8967	5354	C1	0.29
8	I[8]	SLU13	FZ-MIN	1	1	1	1	281	67451	-1546	8222	4599	C2	0.34
13	J[14]	SLU13	FZ-MIN	1	1	1	1	259	96431	-794	8222	4731	C2	0.17
14	I[14]	SLU13	FZ-MIN	1	1	1	1	252	97280	-589	8456	4787	C3	0.12
20	J[21]	SLU14	FZ-MAX	1	1	1	1	-128	73143	1318	8456	4787	C3	0.28
21	I[21]	SLU14	FZ-MAX	1	1	1	1	-127	77368	1599	8690	4842	C4	0.33
27	J[28]	SLU13	FZ-MAX	1	1	1	1	277	6026	2454	8690	4690	C4	0.52
28	I[28]	SLU13	FZ-MAX	1	1	1	1	276	5995	2454	9791	5533	C5	0.4

PROGETTAZIONE ATI:

GPI INGEGNERIA

GESTIONE PROGETTI INGEGNERIA srl



cooprogetti



Studio di Architettura e Ingegneria Moderna

															4
34	J[35]	SLU13	FZ-MAX	1	3	3	3	286	20854	3522	9791	5807	C5	0.6 1	ok
35	I[35]	SLU13	FZ-MAX	1	3	3	3	-41	23641	2758	10456	6851	C6	0.4 0	ok
37	J[38]	SLU13	FZ-MAX	1	3	3	3	-13	42163	3253	10456	6638	C6	0.4 9	ok
38	I[38]	SLU13	FZ-MIN	1	3	3	3	1785	40355	-3837	10456	6665	C6	0.5 8	ok
41	J[42]	SLU13	FZ-MIN	1	3	3	3	1749	18195	-3164	10456	6891	C6	0.4 6	ok
42	I[42]	SLU13	FZ-MIN	1	4	4	4	1052	23133	-4098	11243	5556	C7	0.7 4	ok
48	J[49]	SLU13	FZ-MIN	1	1	1	1	639	29954	-2860	11243	5490	C7	0.5 2	ok
49	I[49]	SLU13	FZ-MIN	1	1	1	1	83	16802	-2828	13726	5981	C8	0.4 7	ok
55	J[56]	SLU13	FZ-MIN	1	1	1	1	80.361	71567	-1610	13726	5848	C8	0.2 8	ok
56	I[56]	SLU14	FZ-MIN	1	1	1	1	-842.84	61449	-1334	13586	5822	C9	0.2 3	ok
59	J[60]	SLU13	FZ-MAX	1	1	1	1	-0.126	69786	1172	13586	5822	C9	0.2 0	ok
62	I[62]	-	-	-	-	-	-	-	-	-	-	-			
62	J[63]	SLU13	FZ-MAX	1	1	1	1	109.09	58928	1661	13586	5822	C9	0.2 9	ok
63	I[63]	SLU13	FZ-MAX	1	1	1	1	349.4	72616	1965	13586	5822	C10	0.3 4	ok
69	J[70]	SLU13	FZ-MAX	1	1	1	1	367.91	3083.5	3348	13586	5980	C10	0.5 6	ok
70	I[70]	SLU13	FZ-MAX	1	1	1	1	602.59	16759	3334	16303	8240	C11	0.4 0	ok
76	J[77]	SLU13	FZ-MAX	1	3	4	4	992.75	31046	3988	16303	8069	C11	0.4 9	ok
77	I[77]	SLU13	FZ-MAX	1	2	3	2	1065.1	27094	2831	19020	10562	C12	0.2 7	ok
80	J[81]	SLU13	FZ-MAX	1	2	3	2	1073.7	47678	3416	19020	10404	C12	0.3 3	ok
81	I[81]	SLU13	FZ-MIN	1	2	3	2	1486.5	46443	-3919	19020	10416	C12	0.3 8	ok
83	J[84]	SLU13	FZ-MIN	1	2	3	2	1449.7	25568	-3090	19020	10570	C12	0.2 9	ok
84	I[84]	SLU13	FZ-MIN	1	3	4	4	939.35	30163	-4307	16303	8082	C11	0.5 3	ok
90	J[91]	SLU13	FZ-MIN	1	1	1	1	769.89	14590	-3286	16303	8255	C11	0.4 0	ok
91	I[91]	SLU13	FZ-MIN	1	1	1	1	420.85	1904.4	-3338	13586	5981	C10	0.5 6	ok
97	J[98]	SLU13	FZ-MIN	1	1	1	1	378.81	76969	-2063	13586	5822	C10	0.3 5	ok
98	I[98]	SLU13	FZ-MIN	1	1	1	1	226.78	62775	-1791	13586	5822	C9	0.3 1	ok
101	J[102]	SLU13	FZ-MIN	1	1	1	1	320.19	74407	-920	13586	5822	C9	0.1 6	ok
104	I[104]	-	-	-	-	-	-	-	-	-	-	-			
104	J[105]	SLU14	FZ-MAX	1	1	1	1	-1255.8	64515	1380	13586	5822	C9	0.2 4	ok
105	I[105]	SLU13	FZ-MAX	1	1	1	1	456.45	74439	1560	13726	5848	C8	0.2 7	ok
111	J[112]	SLU13	FZ-MAX	1	1	1	1	496.29	19631	2774	13726	5967	C8	0.4 6	ok
112	I[112]	SLU13	FZ-MAX	1	1	1	1	973.45	33009	2686	11243	5446	C7	0.4 9	ok
118	J[119]	SLU13	FZ-MAX	1	4	3	4	1181.4	20772	3907	11243	5582	C7	0.7 0	ok
119	I[119]	SLU13	FZ-MAX	1	3	3	3	1351.5	18319	3195	10456	6890	C6	0.4 6	ok

PROGETTAZIONE ATI:

GPI INGEGNERIA

GESTIONE PROGETTI INGEGNERIA srl



cooprogetti



Studio di Architettura e Ingegneria Moderna

Pag. 104 di

240

122	J[123]	SLU13	FZ-MAX	1	3	3	3	1350.4	39466	3837	10456	6677	C6	0.5	7	ok
123	I[123]	SLU10	FZ-MIN	1	3	3	3	-46.591	46888	-3476	10456	6580	C6	0.5	3	ok
126	J[127]	SLU14	FZ-MIN	1	3	3	3	-165.05	28279	-3298	10456	6322	C6	0.5	2	ok
127	I[127]	SLU14	FZ-MIN	1	3	3	3	-165.05	21752	-3298	9791	5533	C5	0.6	0	ok
134	J[135]	SLU14	FZ-MIN	1	1	1	1	-177.4	2258.9	-2333	9791	5533	C5	0.4	2	ok
135	I[135]	SLU14	FZ-MIN	1	1	1	1	-177.4	2170.7	-2333	8690	4690	C4	0.5	0	ok
140	J[141]	SLU14	FZ-MIN	1	1	1	1	-179.72	67869	-1481	8690	4842	C4	0.3	1	ok
141	I[141]	SLU14	FZ-MIN	1	1	1	1	-170.86	64393	-1294	8456	4787	C3	0.2	7	ok
147	J[148]	SLU13	FZ-MAX	1	1	1	1	312.02	86867	601	8456	4645	C3	0.1	3	ok
148	I[148]	SLU13	FZ-MAX	1	1	1	1	312.02	85454	601	8222	4599	C2	0.1	3	ok
154	J[155]	SLU13	FZ-MAX	1	1	1	1	333.58	64729	1343	8222	4599	C2	0.2	9	ok
155	I[155]	SLU13	FZ-MAX	1	1	1	1	333.58	72523	1343	8967	5354	C1	0.2	5	ok
162	J[163]	SLU13	FZ-MAX	1	1	1	1	459.93	2126.6	2355	8967	5788	C1	0.4	1	ok

16.1.3. VERIFICA ALL'INSTABILITÀ FLESSO TORSIONALE

La verifica viene effettuata secondo la seguente formulazione per i conci di trave compresi tra diaframmi , con la valutazione di un coefficiente di riduzione χ_{LT} che dipende dalla snellezza della sezione λ_{LT}

$$M_{b,Rd} = \chi_{LT} M_{Rd} \quad (3.56)$$

 EN1994-2::
 6.4.2(1)

$$\chi_{LT} = \frac{1}{\Phi_{LT} + \sqrt{\Phi_{LT}^2 - \lambda_{LT}^2}} \leq 1.0 \quad (3.57)$$

 EN1993-1-
 6.3.2.2

Elem	Part	Lcom	Type	Sect. Class	N_Ed (kN)	M_Ed (kN*m)	Nb,Rd (kN)	Mb,Rd (kN*m)	Mcr (kN*m)	Interaction Ratio	Sezione	
1	I[1]	SLU1	FZ-MAX	1	640	2314	66698	28714	78	0.09	C1	ok
7	J[8]	SLU13	MY-MAX	1	399	19922	65017	27294	57	0.74	C1	ok
8	I[8]	SLU13	MY-MAX	1	399	19892	74324	35141	98	0.57	C2	ok
13	J[14]	SLU13	MY-MAX	1	380	28345	71848	34153	86	0.84	C2	ok
14	I[14]	SLU13	MY-MAX	1	370	28334	76273	36370	94	0.78	C3	ok
20	J[21]	SLU4	MZ-MAX	4	-218	6828	34103	7077	41	0.97	C3	ok

PROGETTAZIONE ATI:

GPI INGEGNERIA
 GESTIONE PROGETTI INGEGNERIA srl


cooprogetti



Studio di Architettura e Ingegneria Moderna

21	I[21]	SLU4	MX-MAX	4	-212	6837	34080	7972	45	0.86	C4	ok
27	J[28]	SLU13	MY-MAX	1	395	11277	72119	33752	69	0.34	C4	ok
28	I[28]	SLU13	MY-MAX	1	395	11308	87139	38687	0	0.30	C5	ok
34	J[35]	SLU14	MY-MIN	3	19	-25235	39891	27449	0	0.92	C5	ok
35	I[35]	SLU14	MY-MIN	3	-786	-26975	62232	46121	151	0.60	C6	ok
37	J[38]	SLU14	MY-MIN	3	-832	-39231	62232	42248	155	0.94	C6	ok
38	I[38]	SLU13	MY-MIN	3	2707	-34899	62232	42873	146	0.86	C6	ok
41	J[42]	SLU14	MY-MIN	3	602	-26117	62232	47080	148	0.56	C6	ok
42	I[42]	SLU14	MY-MIN	4	-291	-24044	48274	37438	68	0.65	C7	ok
48	J[49]	SLU13	MY-MAX	1	490	17724	87256	51694	97	0.35	C7	ok
49	I[49]	SLU13	MY-MAX	1	98	13699	86977	60647	68	0.23	C8	ok
55	J[56]	SLU13	MY-MAX	1	30.58	27590	81472	57387	53	0.48	C8	ok
56	I[56]	SLU13	MY-MAX	1	30.07	26600	86183	61529	69	0.43	C9	ok
59	J[60]	SLU13	MY-MAX	1	21.2	27582	86183	61507	68	0.45	C9	ok
62	J[63]	SLU13	MY-MAX	1	71.93	24843	86183	61599	70	0.40	C9	ok
63	I[63]	SLU13	MY-MAX	1	190.2	26964	76529	54167	51	0.50	C10	ok
69	J[70]	SLU14	MY-MIN	4	-438	-9025	36391	35445	36	0.27	C10	ok
70	I[70]	SLU16	MY-MIN	4	-588	-7852	50853	41633	0	0.20	C11	ok
76	J[77]	SLU14	MY-MIN	4	-285	-30059	53641	43196	0	0.70	C11	ok
77	I[77]	SLU14	MY-MIN	2	922	-32268	66025	67279	108	0.49	C12	ok
80	J[81]	SLU14	MY-MIN	2	921.5	-42029	66025	67289	109	0.64	C12	ok
81	I[81]	SLU13	MY-MIN	2	2256	-41283	66025	67545	115	0.65	C12	ok
83	J[84]	SLU14	MY-MIN	2	381.2	-31838	66025	67351	111	0.48	C12	ok
84	I[84]	SLU14	MY-MIN	4	-336	-30182	53641	43030	0	0.71	C11	ok
90	J[91]	SLU13	MY-MAX	1	544.5	14353	97765	68837	0	0.21	C11	ok
91	I[91]	SLU14	MY-MIN	4	-553	-9044	36391	35083	33	0.27	C10	ok
97	J[98]	SLU13	MY-MAX	1	191.1	28042	76529	54296	53	0.52	C10	ok
98	I[98]	SLU13	MY-MAX	1	137.2	26123	86183	61531	69	0.43	C9	ok
101	J[102]	SLU13	MY-MAX	1	136.9	28692	86183	61507	68	0.47	C9	ok
104	J[105]	SLU13	MY-MAX	1	221.8	27079	86183	61568	70	0.44	C9	ok
105	I[105]	SLU13	MY-MAX	1	337.1	28291	81472	57328	52	0.50	C8	ok
111	J[112]	SLU13	MY-MAX	1	448.1	14620	100719	65319	181	0.23	C8	ok
112	I[112]	SLU13	MY-MAX	1	720.4	18524	89805	52667	100	0.36	C7	ok
118	J[119]	SLU14	MY-MIN	4	-619	-22472	48274	37682	71	0.61	C7	ok
119	I[119]	SLU14	MY-MIN	3	895.3	-24738	62497	47678	151	0.53	C6	ok
122	J[123]	SLU14	MY-MIN	3	943.1	-36054	62497	43301	156	0.85	C6	ok
123	I[123]	SLU14	MY-MIN	3	6.683	-39275	62740	42369	176	0.93	C6	ok
126	J[127]	SLU14	MY-MIN	3	-4.87	-25003	62740	46833	172	0.53	C6	ok
127	I[127]	SLU14	MY-MIN	3	-4.91	-22563	39703	27330	0	0.83	C5	ok
134	J[135]	SLU13	MY-MAX	1	451	10991	92264	40630	0	0.28	C5	ok
135	I[135]	SLU13	MY-MAX	1	451	10977	78327	36158	93	0.31	C4	ok
140	J[141]	SLU13	MY-MAX	1	445.5	23840	74170	34502	75	0.70	C4	ok
141	I[141]	SLU13	MY-MAX	1	440.6	23819	76273	36374	95	0.66	C3	ok
147	J[148]	SLU13	MY-MAX	1	444.7	25694	73716	35385	85	0.73	C3	ok
148	I[148]	SLU13	MY-MAX	1	444.7	25698	71848	34121	85	0.76	C2	ok

PROGETTAZIONE ATI:

GPI INGEGNERIA

GESTIONE PROGETTI INGEGNERIA srl



cooprogetti



154	J[155]	SLU13	MY-MAX	1	458	19148	75324	35551	103	0.54	C2	ok
155	I[155]	SLU13	MY-MAX	1	458.1	19182	66137	27634	59	0.70	C1	ok
162	J[163]	SLU13	MX-MAX	1	628.5	2365	67826	28618	74	0.09	C1	ok

16.1.1. VERIFICA CONNESSIONE TRAVE-SOLETTA

La resistenza del connettore è valutata secondo la seguente formulazione

$$P_{Rd} = \min[P_{Rd1}, P_{Rd2}] \quad (2.58)$$

EN1994-2:2005
6.6.3.1(1)

$$P_{Rd1} = \frac{0.8 f_u \pi d^2 / 4}{\gamma_v} \quad (2.59)$$

$$P_{Rd2} = \frac{0.29 \alpha d^2 \sqrt{f_{ck} E_{cm}}}{\gamma_v} \quad (2.60)$$

Lo sforzo resistente è pari alla somma delle resistenze

$$V_{L,Rd} = \frac{P_{Rd} N}{s_c} \quad (2.61)$$

Con:

N : numero dei connettori.

sc : spazio tra i connettori.

L'azione sollecitante è valutatata:

- Se la sezione è di classe 1 o 2

$$V_{L,Ed} = \frac{V_{L,Ed}}{L_v} \quad (2.62)$$

Dove

$$V_{L,Ed} = \frac{(N_{c,f} - N_{c,el})(M_{ED} - M_{el,Rd})}{M_{pl,Rd} - M_{el,Rd}} \quad (2.63)$$

Considerando come Lv una lunghezza pari alla larghezza collaborante della soletta.

- Se la sezione è di classe 3 o 4

Lo scorrimento è valutato con jourawsky, essendo Qz il momento statico della sezione nel punto di collegamento trave-soletta.

PROGETTAZIONE ATI:

GPI INGEGNERIA
GESTIONE PROGETTI INGEGNERIA srl


cooprogetti


engeko


AIM
Studio di Architettura e Ingegneria Moderna

$$\nu_{L,Ed} = \frac{V_{Ed} Q_s}{I_y} \quad (2.64)$$

Con:

$V_{L,Ed}$: Sforzo di scorrimento agente nella zona plasticizzata
 $\nu_{L,Ed}$: Sforzo di scorrimento per unità di lunghezza tra trave-soletta
 P_{Rd} : Valore di resistenza del singolo connettore
 $\nu_{L,Rd}$: valore di resistenza per unità di lunghezza tra trave-soletta

Elem	Part	Lcom	Type	$V_{L,Ed}$ (kN)	$\nu_{L,Ed}$ (kN/m)	P_{Rd} (kN)	$\nu_{L,Rd}$ (kN/m)	$\nu_{L,Ed}/\nu_{L,Rd}$	
1	I[1]	SLU13	FZ-MIN	-1582	837	82	1633	0.51	ok
7	J[8]	SLU13	FZ-MIN	-1070	566	82	1633	0.35	ok
8	I[8]	SLU13	FZ-MIN	-1070	532	82	1225	0.43	ok
13	J[14]	SLU13	FZ-MIN	-663	330	82	1225	0.27	ok
14	I[14]	SLU13	FZ-MIN	-569	277	82	1225	0.23	ok
20	J[21]	SLU14	FZ-MAX	952	464	82	1225	0.38	ok
21	I[21]	SLU14	FZ-MAX	1064	513	82	1225	0.42	ok
27	J[28]	SLU13	FZ-MAX	1497	722	82	1225	0.59	ok
28	I[28]	SLU13	FZ-MAX	1497	681	82	1225	0.56	ok
34	J[35]	SLU13	FZ-MAX	2119	964	82	1225	0.79	ok
35	I[35]	SLU13	FZ-MAX	1793	764	82	1225	0.62	ok
37	J[38]	SLU13	FZ-MAX	2083	887	82	1225	0.72	ok
38	I[38]	SLU13	FZ-MIN	-2556	1088	82	1225	0.89	ok
41	J[42]	SLU13	FZ-MIN	-2142	912	82	1225	0.74	ok
42	I[42]	SLU13	FZ-MIN	-2499	919	82	1225	0.75	ok
48	J[49]	SLU13	FZ-MIN	-1789	658	82	1225	0.54	ok
49	I[49]	SLU13	FZ-MIN	-1817	586	82	1225	0.48	ok
55	J[56]	SLU13	FZ-MIN	-1180	381	82	1225	0.31	ok
56	I[56]	SLU14	FZ-MIN	-1093	352	82	1225	0.29	ok
59	J[60]	SLU13	FZ-MAX	1101	355	82	1225	0.29	ok
62	J[63]	SLU13	FZ-MAX	1289	416	82	1225	0.34	ok
63	I[63]	SLU13	FZ-MAX	1393	461	82	1225	0.38	ok
69	J[70]	SLU13	FZ-MAX	2154	712	82	1225	0.58	ok
70	I[70]	SLU13	FZ-MAX	2145	674	82	1225	0.55	ok
76	J[77]	SLU13	FZ-MAX	2367	745	82	1225	0.61	ok
77	I[77]	SLU13	FZ-MAX	1901	566	82	1225	0.46	ok

PROGETTAZIONE ATI:

GPI INGEGNERIA

GESTIONE PROGETTI INGEGNERIA srl


 cooprogetti


 engeko


 anim

Studio di Architettura e Ingegneria Moderna

80	J[81]	SLU13	FZ-MAX	2164	645	82	1225	0.53	ok
81	I[81]	SLU13	FZ-MIN	-2719	810	82	1225	0.66	ok
83	J[84]	SLU13	FZ-MIN	-2144	638	82	1225	0.52	ok
84	I[84]	SLU13	FZ-MIN	-2615	822	82	1225	0.67	ok
90	J[91]	SLU13	FZ-MIN	-2024	637	82	1225	0.52	ok
91	I[91]	SLU13	FZ-MIN	-2070	684	82	1225	0.56	ok
97	J[98]	SLU13	FZ-MIN	-1457	482	82	1225	0.39	ok
98	I[98]	SLU13	FZ-MIN	-1385	447	82	1225	0.36	ok
101	J[102]	SLU14	FZ-MAX	967	312	82	1225	0.25	ok
104	J[105]	SLU14	FZ-MAX	1129	364	82	1225	0.30	ok
105	I[105]	SLU13	FZ-MAX	1157	373	82	1225	0.30	ok
111	J[112]	SLU13	FZ-MAX	1775	573	82	1225	0.47	ok
112	I[112]	SLU13	FZ-MAX	1669	614	82	1225	0.50	ok
118	J[119]	SLU13	FZ-MAX	2359	868	82	1225	0.71	ok
119	I[119]	SLU13	FZ-MAX	2111	899	82	1225	0.73	ok
122	J[123]	SLU13	FZ-MAX	2508	1068	82	1225	0.87	ok
123	I[123]	SLU13	FZ-MIN	-2114	900	82	1225	0.73	ok
126	J[127]	SLU14	FZ-MIN	-1999	851	82	1225	0.70	ok
127	I[127]	SLU14	FZ-MIN	-1999	910	82	1225	0.74	ok
134	J[135]	SLU14	FZ-MIN	-1456	662	82	1225	0.54	ok
135	I[135]	SLU14	FZ-MIN	-1456	702	82	1225	0.57	ok
140	J[141]	SLU14	FZ-MIN	-984	475	82	1225	0.39	ok
141	I[141]	SLU14	FZ-MIN	-924	450	82	1225	0.37	ok
147	J[148]	SLU13	FZ-MAX	587	286	82	1225	0.23	ok
148	I[148]	SLU13	FZ-MAX	587	292	82	1225	0.24	ok
154	J[155]	SLU13	FZ-MAX	953	474	82	1225	0.39	ok
155	I[155]	SLU13	FZ-MAX	953	504	82	1633	0.31	ok
162	J[163]	SLU13	FZ-MAX	1538	813	82	1633	0.50	ok

La stessa verifica viene effettuata anche in combinazione allo Stato Limite di Esercizio utilizzando una resistenza limite ridotta del connettore valutata secondo la seguente formulazione tramite l'impiego di un coefficiente di riduzione k_s pari a 0.75

$$v_{L,Rd} = \frac{k_s P_{Rd} N_{conn}}{s_{conn}} \quad (2.76)$$

Elem	Part	Lcom	Type	v_c, Ed (kN)	v_L, Ed (kN/m)	$P_{Rd, ser}$ (kN)	v_L, Rd (kN/m)	$v_L, Ed/v_L, Rd$	
1	I[1]	sle1	Characteristic	-1154	610	61	1225	0.50	ok

PROGETTAZIONE ATI:

GPI INGEGNERIA
GESTIONE PROGETTI INGEGNERIA srl


cooprogetti




Studio di Architettura e Ingegneria Moderna

1	J[2]	-	-	-	-	-	-		
7	I[7]	-	-	-	-	-	-		
7	J[8]	sle1	Characteristic	-800	423	61	1225	0.35	ok
8	I[8]	sle1	Characteristic	-800	398	61	919	0.43	ok
8	J[9]	-	-	-	-	-	-		
13	I[13]	-	-	-	-	-	-		
13	J[14]	sle1	Characteristic	-505	251	61	919	0.27	ok
14	I[14]	sle1	Characteristic	-435	212	61	919	0.23	ok
14	J[15]	-	-	-	-	-	-		
20	I[20]	-	-	-	-	-	-		
20	J[21]	sle2	Characteristic	753	367	61	919	0.40	ok
21	I[21]	sle2	Characteristic	813	392	61	919	0.43	ok
21	J[22]	-	-	-	-	-	-		
27	I[27]	-	-	-	-	-	-		
27	J[28]	sle1	Characteristic	1092	527	61	919	0.57	ok
28	I[28]	sle1	Characteristic	1092	491	61	919	0.53	ok
28	J[29]	-	-	-	-	-	-		
34	I[34]	-	-	-	-	-	-		
34	J[35]	sle1	Characteristic	1539	691	61	919	0.75	ok
35	I[35]	sle1	Characteristic	1301	504	61	919	0.55	ok
35	J[36]	-	-	-	-	-	-		
37	I[37]	-	-	-	-	-	-		
37	J[38]	sle1	Characteristic	1508	584	61	919	0.64	ok
38	I[38]	sle1	Characteristic	-1849	716	61	919	0.78	ok
38	J[39]	-	-	-	-	-	-		
41	I[41]	-	-	-	-	-	-		
41	J[42]	sle1	Characteristic	-1529	592	61	919	0.64	ok
42	I[42]	sle1	Characteristic	-1758	664	61	919	0.72	ok
42	J[43]	-	-	-	-	-	-		
48	I[48]	-	-	-	-	-	-		
48	J[49]	sle1	Characteristic	-1257	474	61	919	0.52	ok
49	I[49]	sle1	Characteristic	-1261	407	61	919	0.44	ok
49	J[50]	-	-	-	-	-	-		
55	I[55]	-	-	-	-	-	-		
55	J[56]	sle1	Characteristic	-852	275	61	919	0.30	ok
56	I[56]	sle2	Characteristic	-800	258	61	919	0.28	ok
56	J[57]	-	-	-	-	-	-		
59	I[59]	-	-	-	-	-	-		
59	J[60]	sle1	Characteristic	773	249	61	919	0.27	ok
62	I[62]	-	-	-	-	-	-		
62	J[63]	sle1	Characteristic	874	282	61	919	0.31	ok
63	I[63]	sle1	Characteristic	991	328	61	919	0.36	ok
63	J[64]	-	-	-	-	-	-		
69	I[69]	-	-	-	-	-	-		
69	J[70]	sle1	Characteristic	1517	502	61	919	0.55	ok

PROGETTAZIONE ATI:

GPI INGEGNERIA

GESTIONE PROGETTI INGEGNERIA srl

cooprogetti



engeko
Studio di Architettura e Ingegneria Moderna

70	I[70]	sle1	Characteristic	1513	476	61	919	0.52	ok
70	J[71]	-	-	-	-	-	-		
76	I[76]	-	-	-	-	-	-		
76	J[77]	sle1	Characteristic	1642	516	61	919	0.56	ok
77	I[77]	sle1	Characteristic	1167	370	61	919	0.40	ok
77	J[78]	-	-	-	-	-	-		
80	I[80]	-	-	-	-	-	-		
80	J[81]	sle1	Characteristic	1364	432	61	919	0.47	ok
81	I[81]	sle1	Characteristic	-1927	611	61	919	0.66	ok
81	J[82]	-	-	-	-	-	-		
83	I[83]	-	-	-	-	-	-		
83	J[84]	sle1	Characteristic	-1483	470	61	919	0.51	ok
84	I[84]	sle1	Characteristic	-1853	583	61	919	0.63	ok
84	J[85]	-	-	-	-	-	-		
90	I[90]	-	-	-	-	-	-		
90	J[91]	sle1	Characteristic	-1413	445	61	919	0.48	ok
91	I[91]	sle1	Characteristic	-1426	472	61	919	0.51	ok
91	J[92]	-	-	-	-	-	-		
97	I[97]	-	-	-	-	-	-		
97	J[98]	sle1	Characteristic	-1020	337	61	919	0.37	ok
98	I[98]	sle1	Characteristic	-929	299	61	919	0.33	ok
98	J[99]	-	-	-	-	-	-		
101	I[101]	-	-	-	-	-	-		
101	J[102]	sle2	Characteristic	750	242	61	919	0.26	ok
104	I[104]	-	-	-	-	-	-		
104	J[105]	sle2	Characteristic	841	271	61	919	0.30	ok
105	I[105]	sle1	Characteristic	843	272	61	919	0.30	ok
105	J[106]	-	-	-	-	-	-		
111	I[111]	-	-	-	-	-	-		
111	J[112]	sle1	Characteristic	1256	405	61	919	0.44	ok
112	I[112]	sle1	Characteristic	1193	451	61	919	0.49	ok
112	J[113]	-	-	-	-	-	-		
118	I[118]	-	-	-	-	-	-		
118	J[119]	sle1	Characteristic	1683	636	61	919	0.69	ok
119	I[119]	sle1	Characteristic	1465	567	61	919	0.62	ok
119	J[120]	-	-	-	-	-	-		
122	I[122]	-	-	-	-	-	-		
122	J[123]	sle1	Characteristic	1781	690	61	919	0.75	ok
123	I[123]	sle2	Characteristic	-1589	616	61	919	0.67	ok
123	J[124]	-	-	-	-	-	-		
126	I[126]	-	-	-	-	-	-		
126	J[127]	sle2	Characteristic	-1488	576	61	919	0.63	ok
127	I[127]	sle2	Characteristic	-1488	668	61	919	0.73	ok
127	J[128]	-	-	-	-	-	-		
134	I[134]	-	-	-	-	-	-		

PROGETTAZIONE ATI:

GPI INGEGNERIA

GESTIONE PROGETTI INGEGNERIA srl

cooprogetti



engeko
Studio di Architettura e Ingegneria Moderna

134	J[135]	sle2	Characteristic	-1090	490	61	919	0.53	ok
135	I[135]	sle2	Characteristic	-1090	526	61	919	0.57	ok
135	J[136]	-	-	-	-	-	-		
140	I[140]	-	-	-	-	-	-		
140	J[141]	sle2	Characteristic	-758	366	61	919	0.40	ok
141	I[141]	sle2	Characteristic	-731	356	61	919	0.39	ok
141	J[142]	-	-	-	-	-	-		
147	I[147]	-	-	-	-	-	-		
147	J[148]	sle1	Characteristic	440	215	61	919	0.23	ok
148	I[148]	sle1	Characteristic	440	219	61	919	0.24	ok
148	J[149]	-	-	-	-	-	-		
154	I[154]	-	-	-	-	-	-		
154	J[155]	sle1	Characteristic	705	350	61	919	0.38	ok
155	I[155]	sle1	Characteristic	705	373	61	1225	0.30	ok
155	J[156]	-	-	-	-	-	-		
162	I[162]	-	-	-	-	-	-		
162	J[163]	sle1	Characteristic	1111	587	61	1225	0.48	ok

16.2. VERIFICHE ESTESE

Si riporta le varifica estesa per le sezioni più significative

16.2.1. SEZIONE DI MEZZERIA

Campata di riva

Element Number	14
Position Information	I

1 Design Condition

1.1 Design Parameters

■ Partial factors

γ_c for concrete	1.50	γ_v for headed stud	1.25
γ_s for reinforcing steel	1.15	γ_{Ff} for equivalent constant Amplitude stress range	1.00
γ_{M0} for structural steel	1.05	γ_{Mf} for fatigue strength	1.00
γ_{M1} for structural steel	1.10	$\gamma_{Mf,s}$ for fatigue strength of studs in shear	1.00

1.2 Material Information

■ Structural steel

$$f_{sk} = 355.000 \text{ MPa} \quad E_s = 210000.000 \text{ MPa}$$

PROGETTAZIONE ATI:

GPI INGEGNERIA
 GESTIONE PROGETTI INGEGNERIA srl


 cooprogetti




 Studio di Architettura e Ingegneria Moderna

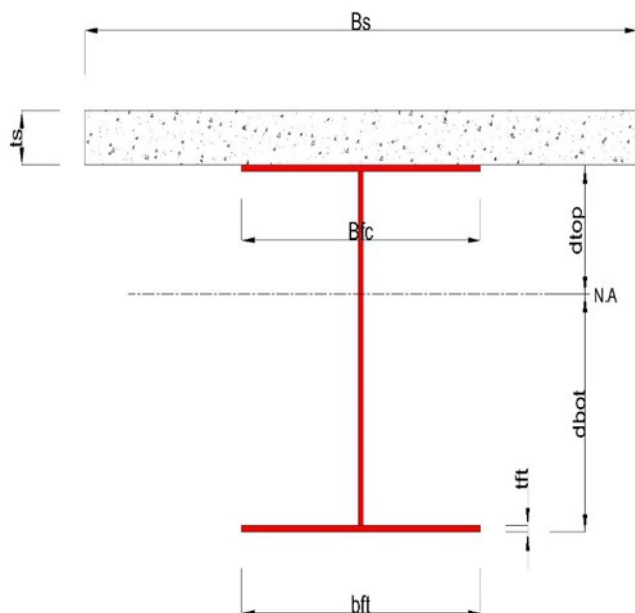
■ Concrete

$$f_{ck} = 35.000 \text{ MPa} \quad E_{cm} = 34000.000 \text{ MPa}$$

■ Reinforcement

$$f_{yk} = 450.000 \text{ MPa} \quad E_r = 210000.000 \text{ MPa}$$

1.3 Sectional Information



■ Section Dimensions

Slab

B _c	3094.000	mm	t _c	320.000	mm	H _h	0.000	mm
----------------	----------	----	----------------	---------	----	----------------	-------	----

Girder

H _w	1805.000	mm	B ₁	700.000	mm	B ₂	1000.000	mm
t _w	20.000	mm	t _{f1}	30.000	mm	t _{f2}	40.000	mm

■ Section Stiffness

Before

A _a	97100.000	mm ²
I _{y,a}	58324408960.050	mm ⁴
I _{z,a}	4192036666.667	mm ⁴
C _{y,a}	500.000	mm
C _{z,a}	760.909	mm

After

A _c	257761.808	mm ²
I _{y,c}	157941260047.024	mm ⁴
I _{z,c}	132357798492.070	mm ⁴
C _{y,c}	500.000	mm
C _{z,c}	1555.044	mm

PROGETTAZIONE ATI:

GPI INGEGNERIA
GESTIONE PROGETTI INGEGNERIA srl

cooprogetti


engeko


anim

Studio di Architettura e Ingegneria Moderna

Crack

$A_{c,c}$	103130.000	mm ²
$I_{y,c}$	67799943679.088	mm ⁴
$I_{z,c}$	8694533176.393	mm ⁴
$C_{y,c}$	500.000	mm
$C_{z,c}$	836.223	mm

2 Bending Resistance

2.1 Positive Moment

■ Design load

Load combination name : SLU13

$N_{a,Ed}$	104.107	kN
$N_{c,Ed}$	265.579	kN
$M_{a,Ed}$	8525.137	kN · m
$M_{c,Ed}$	19808.794	kN · m

- Stress

Top Flange

Left	y_1	-350.000	mm	z_1	319.956	mm	σ_1	-207.296	MPa
	y_2	-10.000	mm	z_2	319.956	mm	σ_2	-201.054	MPa
Right	y_1	350.000	mm	z_1	319.956	mm	σ_1	-194.444	MPa
	y_2	10.000	mm	z_2	319.956	mm	σ_2	-200.686	MPa

Bottom Flange

Left	y_1	-500.000	mm	z_1	-1555.044	mm	σ_1	299.174	MPa
	y_2	-10.000	mm	z_2	-1555.044	mm	σ_2	308.171	MPa
Right	y_1	500.000	mm	z_1	-1555.044	mm	σ_1	317.535	MPa
	y_2	10.000	mm	z_2	-1555.044	mm	σ_2	308.538	MPa

Web

Right	y_1	0.000	mm	z_1	289.956	mm	σ_1	-192.722	MPa
	y_2	0.000	mm	z_2	-1515.044	mm	σ_2	297.491	MPa

PROGETTAZIONE ATI:

GPI INGEGNERIA
GESTIONE PROGETTI INGEGNERIA srl


cooprogetti


engeko
Studio di Architettura e Ingegneria Moderna

■ Classification of sections

Part	Class
Top flange	1
Web	1
Bottom flange	1
Section	1

- Plastic resistance moment, $M_{pl,Rd}$

$$\text{Plastic NA} = 1847.129 \text{ mm}$$

$$N_{slab} = 19636.587 \text{ kN}$$

$$N_{g,top} = 6596.230 \text{ kN} \quad (\text{Upper side of PNA})$$

$$N_{g,bot} = 26232.817 \text{ kN} \quad (\text{Lower side of PNA})$$

$$M_{pl,Rd} = 39532.559 \text{ kN} \cdot \text{m}$$

$$x_{pl} = 347.871 \text{ mm}$$

$$M_{Rd} = \beta M_{pl,Rd} = 39532.559 \text{ kN} \cdot \text{m}$$

$$\text{here, } \beta = 1.000$$

$$M_{Rd} = 39532.559 \text{ kN} \cdot \text{m} > M_{Ed} = 28333.931 \frac{\text{kN}}{\text{m}} \dots \text{OK}$$

2 Bending Resistance

2.2 Negative Moment

■ Design load

Load combination name : SLU16

$N_{a,Ed}$	77.116	kN
$N_{c,Ed}$	-172.242	kN
$M_{a,Ed}$	6314.916	kN · m
$M_{c,Ed}$	-242.917	kN · m

- Stress

Top Flange

Left	y_1	-350.000	mm	z_1	1038.777	mm	σ_1	-115.827	MPa
	y_2	-10.000	mm	z_2	1038.777	mm	σ_2	-117.724	MPa
Right	y_1	350.000	mm	z_1	1038.777	mm	σ_1	-119.732	MPa
	y_2	10.000	mm	z_2	1038.777	mm	σ_2	-117.835	MPa

Bottom Flange

PROGETTAZIONE ATI:

GPI INGEGNERIA
 GESTIONE PROGETTI INGEGNERIA srl


 cooprogetti


 engeko
Studio di Architettura e Ingegneria Moderna

Left	y_1	-500.000	mm	z_1	-836.223	mm	σ_1	81.303	MPa
	y_2	-10.000	mm	z_2	-836.223	mm	σ_2	78.569	MPa
Right	y_1	500.000	mm	z_1	-836.223	mm	σ_1	75.724	MPa
	y_2	10.000	mm	z_2	-836.223	mm	σ_2	78.458	MPa

Web

Right	y_1	0.000	mm	z_1	1008.777	mm	σ_1	-114.639	MPa
	y_2	0.000	mm	z_2	-796.223	mm	σ_2	74.326	MPa

■ Classification of sections

Part	Class
Top flange	1
Web	4
Bottom flange	1
Section	4

- Effective section

- Effective stiffness for N_{Ed}

Before

$A_{a,eff}$	97100.000	mm ²
$I_{y,a,eff}$	58324408960.050	mm ⁴
$I_{z,a,eff}$	4192036666.667	mm ⁴
$C_{y,a,eff}$	500.000	mm
$C_{z,a,eff}$	760.909	mm

After

$A_{a,eff}$	77402.931	mm ²
$I_{y,c,eff}$	55917530574.452	mm ⁴
$I_{z,c,eff}$	132357798492.070	mm ⁴
$C_{y,c,eff}$	500.000	mm
$C_{z,c,eff}$	714.699	mm

- Effective stiffness for M_{Ed}

Before

$A_{a,eff}$	94863.851	mm ²
$I_{y,a,eff}$	57544272026.080	mm ⁴
$I_{z,a,eff}$	4192036666.667	mm ⁴
$C_{y,a,eff}$	500.000	mm
$C_{z,a,eff}$	657.174	mm

After

$A_{a,eff}$	103015.143	mm ²
$I_{y,c,eff}$	67629759968.464	mm ⁴
$I_{z,c,eff}$	8694533176.393	mm ⁴
$C_{y,c,eff}$	500.000	mm
$C_{z,c,eff}$	834.871	mm

- Added moment

$$\begin{aligned}
 \Delta M_{a,Ed} &= N_{a,Ed} \cdot (C_{z,a} - C_{z,a,eff}) = 0.000 \text{ kN} \cdot \text{m} \\
 \Delta M_{c,Ed} &= N_{c,Ed} \cdot (C_{z,c} - C_{z,c,eff}) = 20.932 \text{ kN} \cdot \text{m} \\
 \sigma_{a,top} &= [N_{a,Ed}/A_{a,eff} + (M_{a,Ed} + \Delta M_{a,Ed}) \cdot (z_{t,a}/I_{y,a,eff})] + [N_{c,Ed}/A_{c,eff} + (M_{c,Ed} + \Delta M_{c,Ed}) \cdot (z_{t,c}/I_{y,c,eff})] \\
 &= -130.230 \text{ MP}
 \end{aligned}$$

PROGETTAZIONE ATI:

GPI INGEGNERIA
GESTIONE PROGETTI INGEGNERIA srl


cooprogetti


engeko
Studio di Architettura e Ingegneria Moderna

$$\sigma_{a,bot} = \frac{a}{[N_{a,Ed}/A_{a,eff} + (M_{a,Ed} + \Delta M_{a,Ed}) \cdot (z_{b,a}/I_{y,a,eff})] + [N_{c,Ed}/A_{c,eff} + (M_{c,Ed} + \Delta M_{c,Ed}) \cdot (z_{b,c}/I_{y,c,eff})]} = 69.378 \frac{\text{MPa}}{a}$$

$k = 83.240$: the lowest factor such that a stress limit is reached.

(Calculate minimum value between Steel Girder and Slab Reinforcement.)

$$M_{el,Rd} = M_{a,Ed} + \Delta M_{a,Ed} + k \cdot (M_{c,Ed}) + \Delta M_{c,Ed} = 20199.403 \text{ kN} \cdot \text{m}$$

$$M_{Rd} = M_{el,Rd} = 20199.403 \text{ kN} \cdot \text{m}$$

$$M_{Rd} = 20199.403 \text{ kN} \cdot \text{m} > M_{Ed} = -242.917 \frac{\text{kN} \cdot \text{m}}{\text{OK}}$$

3 Resistance to Vertical Shear

■ Design load

Load combination name : SLU13

$$N_{Ed} = 252.464 \text{ kN}$$

$$M_{a,Ed} = 8525.137 \text{ kN} \cdot \text{m}$$

$$M_{c,Ed} = 16894.195 \text{ kN} \cdot \text{m}$$

$$V_{Ed,a} = -19.888 \text{ kN}$$

$$V_{Ed,c} = -569.476 \text{ kN}$$

$$V_{Ed} = -589.364 \text{ kN}$$

$$M_{Ed} = \max(M_{Ed,t}, M_{Ed,b}) = 97279.652 \text{ kN} \cdot \text{m}$$

$$M_{Ed,t} = 97279.652 \text{ kN} \cdot \text{m}$$

$$M_{Ed,b} = 28190.503 \text{ kN} \cdot \text{m}$$

- Stress

Top Flange

Left	y_1	-350.000	mm	z_1	319.956	mm	σ_1	-201.246	MPa
	y_2	-10.000	mm	z_2	319.956	mm	σ_2	-195.194	MPa
Right	y_1	350.000	mm	z_1	319.956	mm	σ_1	-188.787	MPa
	y_2	10.000	mm	z_2	319.956	mm	σ_2	-194.838	MPa

Bottom Flange

Left	y_1	-500.000	mm	z_1	-1555.044	mm	σ_1	270.708	MPa
	y_2	-10.000	mm	z_2	-1555.044	mm	σ_2	279.429	MPa
Right	y_1	500.000	mm	z_1	-1555.044	mm	σ_1	288.506	MPa

PROGETTAZIONE ATI:

GPI INGEGNERIA
GESTIONE PROGETTI INGEGNERIA srl


cooprogetti


engeko
Studio di Architettura e Ingegneria Moderna

	y_2	10.000	mm	z_2	-1555.044	mm	σ_2	279.785	MPa
--	-------	--------	----	-------	-----------	----	------------	---------	-----

Web

Right	y_1	0.000	mm	z_1	289.956	mm	σ_1	-187.422	MPa
	y_2	0.000	mm	z_2	-1515.044	mm	σ_2	269.482	MPa

■ Classification of sections

Part	Class
Top flange	1
Web	1
Bottom flange	1
Section	1

■ Plastic resistance moment, $M_{pl,Rd}$

$$\text{Plastic NA} = 1847.129 \text{ mm}$$

$$N_{slab} = 19636.587 \text{ kN}$$

$$N_{rebar,t} = 0.000 \text{ kN} \quad (\text{Upper side of PNA})$$

$$N_{rebar,b} = 0.000 \text{ kN} \quad (\text{Lower side of PNA})$$

$$N_{g,top} = 6596.230 \text{ kN} \quad (\text{Upper side of PNA})$$

$$N_{g,bot} = 26232.817 \text{ kN} \quad (\text{Lower side of PNA})$$

$$M_{pl,Rd} = 39532.559 \text{ kN} \cdot \text{m}$$

■ Calculation. $V_{bw,Rd}$

Web

■ Contribution from the web

$$\lambda_w = \frac{h_w / (37.4 \cdot t \cdot \varepsilon)}{\sqrt{k_t}} = 1.225$$

$$X_w = 1.37 / (0.7 + \lambda_w) = 0.712 \quad \lambda_w \geq 1.08$$

$$V_{bw,Rd} = \frac{X_w \cdot f_{yw} \cdot h_w \cdot t}{\sqrt{3} \cdot \gamma_{M1}} = 4786.931 \frac{\text{k}}{\text{N}}$$

$$V_{Rd} = 4786.931 \text{ kN}$$

$$V_{Edi} = V_{Ed} / \text{Num. of Web} = -589.364 \frac{\text{k}}{\text{N}}$$

$$\eta'_3 = V_{Edi} / V_{bw,Rd} = 0.123 \leq 1.0$$

PROGETTAZIONE ATI:

GPI INGEGNERIA
GESTIONE PROGETTI INGEGNERIA srl


cooprogetti


engeko


anim
Studio di Architettura e Ingegneria Moderna

■ Contribution from the flange

$$M_{f,Rd} = 28333.991 \text{ kN} \cdot \text{m}$$

$M_{f,Rd}$ is calculated as $M_{pl,Rd}$ but neglecting the web contribution.

$$V_{bf,Rd} = \frac{b_f \cdot t_f^2 \cdot f_y}{c \cdot \gamma_{M1}} \left(1 - \left(\frac{M_{Ed}}{M_{f,Rd}} \right)^2 \right) = 0.000 \text{ kN}$$

where $M_{f,Rd} = 28333.991 \text{ kN} \cdot \text{m}$
,

$$M_{Ed} = 97279.652 \text{ kN} \cdot \text{m} \quad (\text{Taken as the greatest value of } (\sum \sigma_i)W)$$

$$c = \frac{a \cdot 1.6 \cdot b_f \cdot t_f^2 \cdot f_y}{(0.25 + \frac{t \cdot h_w^2 \cdot f_{yw}}{t \cdot h_w^2 \cdot f_{yw}})} = 1327.347$$

■ Check Shear Resistance

$$V_{Edi} / (V_{bw,Rd} + V_{bf,Rd}) = 0.123 < 1.0 \quad \dots \text{OK}$$

■ Interaction M-V

For the section class 1 or 2, M-V interaction should be checked separately by the user.

4 Resistance to Lateral Torsional Buckling

- Design load

Load combination name : SLU13

$$N_{Ed} = 369.686 \text{ kN}$$

$$M_{Ed} = 28333.931 \text{ kN} \cdot \text{m}$$

$$V_1 = -420.290 \text{ kN}$$

$$V_2 = -432.060 \text{ kN}$$

$$M_1 = 28388.139 \text{ kN} \cdot \text{m}$$

$$M_2 = 28333.931 \text{ kN} \cdot \text{m}$$

$$M_{pl,Rd} = 39532.559 \text{ kN} \cdot \text{m}$$

$$M_{el,Rd} = 31568.165 \text{ kN} \cdot \text{m}$$

- $M_{b,Rd}$ Buckling resistance moment

$$L = 4.500 \text{ m}$$

$$c = C_d / I = 0.000 \text{ kN/m}^2$$

$$\gamma = c \cdot L^4 / (E \cdot I) = 0.000$$

$$\mu = V_2 / V_1 = 0.973$$

$$\Phi = 2 \cdot (1 - M_2 / M_1) / (1 + \mu) = 0.002$$

$$m_1 = 1 + 0.44 \cdot (1 + \mu) \cdot \Phi^{1.5} + (3 + 2 \cdot \Phi) \cdot \gamma / (350 - 50 \cdot \mu) = 1.000$$

$$m_2 = 1 + 0.44 \cdot (1 + \mu) \cdot \Phi^{1.5} + (0.195 + (0.05 + \mu / 100) \cdot \Phi) \cdot \gamma^{0.5} = 1.000$$

$$m = \min(m_1, m_2) = 1.000$$

PROGETTAZIONE ATI:

GPI INGEGNERIA
GESTIONE PROGETTI INGEGNERIA srl


cooprogetti


engeko
Studio di Architettura e Ingegneria Moderna

$$\begin{aligned}\alpha_{LT} &= 0.760 \\ \lambda_{LT} &= 1.103 \cdot L/b \cdot \sqrt{(f_y/E_m)} \cdot \sqrt{(1+A_w)/(3 \cdot A_f)} = 0.305 \\ \Phi_{LT} &= 0.5 \cdot (1+\alpha_{LT} \cdot (\lambda_{LT} - 0.2) + \lambda_{LT}^2) = 0.586 \\ X_L &= \frac{1}{\Phi_{LT} + \sqrt{\Phi_{LT}^2 - \lambda_{LT}^2}} = 0.919998608\end{aligned}$$

$$\begin{aligned}M_{Rd} &= 39532.559 \text{ kN} \cdot \text{m} \\ M_{b,Rd} &= X_{LT} \cdot M_{Rd} = 36369.899 \text{ kN} \cdot \text{m}\end{aligned}$$

- $N_{b,Rd}$ Axial buckling resistance

$$\begin{aligned}X_{LT,N} &= 0.875 \\ N_{b,Rd} &= X_{LT} \cdot \text{Area} \cdot f_{yd} = 76273.412 \frac{\text{k}}{\text{N}}\end{aligned}$$

$$\text{Combined Ratio} = \frac{N_{Ed}}{N_{b,R}} + \frac{M_{Ed}}{M_{b,R}} = 0.783895777$$

5 Resistance to Longitudinal Shear

- Design load

Load combination name : SLU13

$$\begin{aligned}N_{c,el} &= 11224.707 \text{ kN} \\ N_{c,f} &= 19636.587 \text{ kN} \\ M_{Ed} &= 25419.332 \text{ kN} \cdot \text{m} \\ V_{Ed} &= -569.476 \text{ kN} \\ M_{pl,Rd} &= 39532.559 \text{ kN} \cdot \text{m} \\ M_{el,Rd} &= 31568.165 \text{ kN} \cdot \text{m}\end{aligned}$$

- Shear resistance of a single connector

$$\begin{aligned}P_{Rd,1} &= 0.8 \cdot f_u \cdot \pi \cdot d^2 / 4 / \gamma_v = 81.656 \frac{\text{k}}{\text{N}} \\ P_{Rd,2} &= 0.29 \cdot \alpha \cdot d^2 \cdot \sqrt{(f_{ck} \cdot E_{cm})} / \gamma_v = 91.363 \frac{\text{k}}{\text{N}} \\ P_{Rd} &= \text{Min}(P_{Rd,1}, P_{Rd,2}) = 81.656 \frac{\text{k}}{\text{N}}\end{aligned}$$

where $f_u = 450.000 \text{ MPa}$, $\alpha = 1$

$$\frac{f_o}{r} \quad h_{sc}/d > 4$$

$$\text{Num.} = 3$$

$$d = 19.000 \text{ mm}$$

$$h_{sc} = 200.000 \text{ mm}$$

PROGETTAZIONE ATI:

GPI INGEGNERIA
GESTIONE PROGETTI INGEGNERIA srl


cooprogetti


engeko
Studio di Architettura e Ingegneria Moderna

Space = 200.000 mm

- Verification

$$\begin{aligned} V_{L,Ed} &= V_{Ed} \cdot (A \cdot z / l) &= 277.403 \text{ kN/m} \\ V_{L,Rd} &= P_{Rd} \cdot \text{Num./Space} &= 1224.844 \text{ kN/m} \\ V_{L,Ed} &< V_{L,Rd} &\dots \text{OK} \end{aligned}$$

6 Stress Limitation

- In the structural steel

Characteristic load combination name : sle1

$$\begin{aligned} \sigma_{Ed,ser} &= -255.120 \frac{\text{MP}}{\text{a}} \quad (\text{Bottom-right fiber in the flange}) \\ T_{Ed,ser} &= 12.551 \frac{\text{MP}}{\text{a}} \quad (\text{Neutral axis in the web}) \end{aligned}$$

$$\begin{aligned} \sigma_{Ed,ser} &< f_y / \gamma_{M,ser} \\ -255.120 \text{ MPa} &< 355.000 \text{ MPa} &\dots \text{OK} \end{aligned}$$

$$\begin{aligned} T_{Ed,ser} &< f_y / (\sqrt{3} \cdot \gamma_{M,ser}) \\ 12.551 \text{ MPa} &< 204.959 \text{ MPa} &\dots \text{OK} \end{aligned}$$

$$\begin{aligned} \sqrt{(\sigma_{Ed,ser}^2 + 3T_{Ed,ser}^2)} &< f_y / \gamma_{M,ser} \\ 256.045 \text{ MPa} &< 355.000 \text{ MPa} &\dots \text{OK} \end{aligned}$$

- In the concrete of the slab

Characteristic load combination name : sle1

$$\begin{aligned} \sigma_c &\leq k_1 f_{ck} \\ 11.833 \text{ MPa} &< 21.000 \text{ MPa} &\dots \text{OK} \end{aligned}$$

- In the reinforcement

Load combination name : sle1

$$\begin{aligned} \sigma_s &\leq k_3 f_{yk} \\ -55.519 \text{ MPa} & \end{aligned}$$

Rebar is under compression. No need to check.

7 Longitudinal Shear for SLS(Serviceability limit state)

- Shear resistance of a single connector

Load combination name : sle1

$$\begin{aligned} P_{Rd,1} &= 0.8 \cdot f_u \cdot \pi \cdot d^2 / 4 / \gamma_v = 81.656 \frac{\text{k}}{\text{N}} \\ P_{Rd,2} &= 0.29 \cdot \alpha \cdot d^2 \cdot \sqrt{(f_{ck} \cdot E_{cm})} / \gamma_v = 91.363 \frac{\text{k}}{\text{N}} \\ P_{Rd} &= \text{Min}(P_{Rd,1}, P_{Rd,2}) = 81.656 \text{ k} \end{aligned}$$

PROGETTAZIONE ATI:

GPI INGEGNERIA
GESTIONE PROGETTI INGEGNERIA srl


cooprogetti


engeko
Studio di Architettura e Ingegneria Moderna

$$P_{Rd,ser} = k_s \cdot P_{Rd} = 61.242 \frac{N}{k_N}$$

where $f_u = 450.000 \text{ MPa}$

$\alpha = 1$ $\frac{f_o}{r} h_{sc}/d > 4$

Num. = 3

d = 19.000 mm

$h_{sc} = 200.000 \text{ mm}$

Space = 200.000 mm

$k_s = 0.750$

- Verification

$$\begin{aligned} V_{L,Ed} &= V_{Ed} \cdot (A \cdot z / l) = 213.527 \text{ kN/m} \\ V_{L,Rd} &= P_{Rd,ser} \cdot \text{Num./Space} = 918.633 \text{ kN/m} \\ V_{L,Ed} &< V_{L,Rd} \dots \text{OK} \end{aligned}$$

Campata centrale

Element Number	59
Position Information	J

1 Design Condition

1.1 Design Parameters

■ Partial factors

γ_c for concrete	1.50	γ_v for headed suds	1.25
γ_s for reinforcing steel	1.15	γ_{ff} for equivalent constant Amplitude stress range	1.00
γ_{M0} for structural steel	1.05	γ_{Mf} for fatigue strength	1.00
γ_{M1} for structural steel	1.10	$\gamma_{Mf,s}$ for fatigue strength of studs in shear	1.00

1.2 Material Information

■ Structural steel

$$f_{sk} = 355.000 \text{ MPa} \quad E_s = 210000.000 \text{ MPa}$$

■ Concrete

$$f_{ck} = 35.000 \text{ MPa} \quad E_{cm} = 34000.000 \text{ MPa}$$

■ Reinforcement

$$f_{yk} = 450.000 \text{ MPa} \quad E_r = 210000.000 \text{ MPa}$$

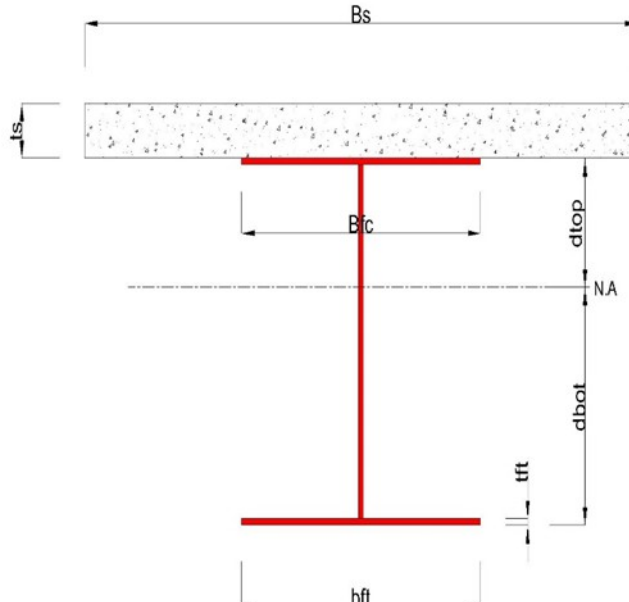
PROGETTAZIONE ATI:

GPI INGEGNERIA
GESTIONE PROGETTI INGEGNERIA srl


cooprogetti


engeko
Studio di Architettura e Ingegneria Moderna

1.3 Sectional Information



■ Section Dimensions

Slab

B _c	3594.000	mm	t _c	320.000	mm	H _h	0.000	mm
----------------	----------	----	----------------	---------	----	----------------	-------	----

Girder

H _w	2900.000	mm	B ₁	800.000	mm	B ₂	900.000	mm
t _w	20.000	mm	t _{f1}	30.000	mm	t _{f2}	40.000	mm

■ Section Stiffness

Before

A _a	118000.000	mm ²
I _{y,a}	167283702824.859	mm ⁴
I _{z,a}	3711933333.333	mm ⁴
C _{y,a}	450.000	mm
C _{z,a}	1339.492	mm

After

A _c	304625.255	mm ²
I _{y,c}	400636662729.062	mm ⁴
I _{z,c}	204595917657.902	mm ⁴
C _{y,c}	450.000	mm
C _{z,c}	2436.427	mm

Crack

A _c	124834.000	mm ²
I _{y,c}	188381766775.590	mm ⁴
I _{z,c}	10272682711.023	mm ⁴

PROGETTAZIONE ATI:

GPI INGEGNERIA
 GESTIONE PROGETTI INGEGNERIA srl


cooprogetti


engeko


AIM
Studio di Architettura e Ingegneria Moderna

C _{y,c}	450.000	mm
C _{z,c}	1438.279	mm

2 Bending Resistance

2.1 Positive Moment

■ Design load

Load combination name : SLU13

N _{a,Ed}	150.483	kN
N _{c,Ed}	-129.285	kN
M _{a,Ed}	7867.624	kN · m
M _{c,Ed}	19714.711	kN · m

- Stress

Top Flange

Left	y ₁	-400.000	mm	z ₁	533.573	mm	σ ₁	-100.759	MPa
	y ₂	-10.000	mm	z ₂	533.573	mm	σ ₂	-102.058	MPa
Right	y ₁	400.000	mm	z ₁	533.573	mm	σ ₁	-103.423	MPa
	y ₂	10.000	mm	z ₂	533.573	mm	σ ₂	-102.124	MPa

Bottom Flange

Left	y ₁	-450.000	mm	z ₁	-2436.427	mm	σ ₁	185.240	MPa
	y ₂	-10.000	mm	z ₂	-2436.427	mm	σ ₂	183.775	MPa
Right	y ₁	450.000	mm	z ₁	-2436.427	mm	σ ₁	182.244	MPa
	y ₂	10.000	mm	z ₂	-2436.427	mm	σ ₂	183.709	MPa

Web

Right	y ₁	0.000	mm	z ₁	503.573	mm	σ ₁	-99.204	MPa
	y ₂	0.000	mm	z ₂	-2396.427	mm	σ ₂	179.893	MPa

■ Classification of sections

Part	Class
Top flange	1
Web	1
Bottom flange	1

PROGETTAZIONE ATI:

GPI INGEGNERIA
GESTIONE PROGETTI INGEGNERIA srl


cooprogetti


engeko


anim

Studio di Architettura e Ingegneria Moderna

Section	1
---------	---

- Plastic resistance moment, $M_{pl,Rd}$

$$\text{Plastic NA} = 2876.649 \text{ mm}$$

$$N_{slab} = 22809.920 \text{ kN}$$

$$N_{g,top} = 8542.659 \text{ kN} \quad (\text{Upper side of PNA})$$

$$N_{g,bot} = 31352.579 \text{ kN} \quad (\text{Lower side of PNA})$$

$$M_{pl,Rd} = 68402.842 \text{ kN} \cdot \text{m}$$

$$x_{pl} = 413.351 \text{ mm}$$

$$M_{Rd} = \beta M_{pl,Rd} = 68402.842 \text{ kN} \cdot \text{m}$$

$$\text{here, } \beta = 1.000$$

$$M_{Rd} = 68402.842 \text{ kN} \cdot \text{m} > M_{Ed} = 27582.335 \frac{\text{kN}}{\text{m}} \cdot \dots \text{OK}$$

2 Bending Resistance

2.2 Negative Moment

■ Design load

Load combination name : SLU16

$N_{a,Ed}$	111.469	kN
$N_{c,Ed}$	-422.887	kN
$M_{a,Ed}$	5827.870	kN · m
$M_{c,Ed}$	-4542.852	kN · m

- Stress

Top Flange

Left	y_1	-400.000	mm	z_1	1531.721	mm	σ_1	-15.465	MPa
	y_2	-10.000	mm	z_2	1531.721	mm	σ_2	-22.138	MPa
Right	y_1	400.000	mm	z_1	1531.721	mm	σ_1	-29.154	MPa
	y_2	10.000	mm	z_2	1531.721	mm	σ_2	-22.480	MPa

Bottom Flange

Left	y_1	-450.000	mm	z_1	-1438.279	mm	σ_1	17.238	MPa
	y_2	-10.000	mm	z_2	-1438.279	mm	σ_2	9.709	MPa
Right	y_1	450.000	mm	z_1	-1438.279	mm	σ_1	1.838	MPa

PROGETTAZIONE ATI:

GPI INGEGNERIA
GESTIONE PROGETTI INGEGNERIA srl


cooprogetti


engeko


anim

Studio di Architettura e Ingegneria Moderna

	y_2	10.000	mm	z_2	-1438.279	mm	σ_2	9.367	MPa
--	-------	--------	----	-------	-----------	----	------------	-------	-----

Web

Right	y_1	0.000	mm	z_1	1501.721	mm	σ_1	-21.988	MPa
	y_2	0.000	mm	z_2	-1398.279	mm	σ_2	9.109	MPa

■ Classification of sections

Part	Class
Top flange	1
Web	4
Bottom flange	1
Section	4

- Effective section

- Effective stiffness for N_{Ed}

Before

$A_{a,eff}$	118000.000	mm ²
$I_{y,a,eff}$	167283702824.859	mm ⁴
$I_{z,a,eff}$	3711933333.333	mm ⁴
$C_{y,a,eff}$	450.000	mm
$C_{z,a,eff}$	1339.492	mm

After

$A_{c,eff}$	77189.230	mm ²
$I_{y,c,eff}$	151709795382.776	mm ⁴
$I_{z,c,eff}$	204595917657.902	mm ⁴
$C_{y,c,eff}$	450.000	mm
$C_{z,c,eff}$	1259.916	mm

- Effective stiffness for M_{Ed}

Before

$A_{a,eff}$	106542.481	mm ²
$I_{y,a,eff}$	162043632619.469	mm ⁴
$I_{z,a,eff}$	3711933333.333	mm ⁴
$C_{y,a,eff}$	450.000	mm
$C_{z,a,eff}$	1091.974	mm

After

$A_{c,eff}$	117405.273	mm ²
$I_{y,c,eff}$	182950373909.858	mm ⁴
$I_{z,c,eff}$	10272682711.023	mm ⁴
$C_{y,c,eff}$	450.000	mm
$C_{z,c,eff}$	1486.274	mm

- Added moment

$$\begin{aligned}
 \Delta M_{a,Ed} &= N_{a,Ed} \cdot (C_{z,a} - C_{z,a,eff}) = 0.000 \text{ kN} \cdot \text{m} \\
 \Delta M_{c,Ed} &= N_{c,Ed} \cdot (C_{z,c} - C_{z,c,eff}) = 75.427 \text{ kN} \cdot \text{m} \\
 \sigma_{a,top} &= [N_{a,Ed}/A_{a,eff} + (M_{a,Ed} + \Delta M_{a,Ed}) \cdot (z_{t,a}/I_{y,a,eff})] + [N_{c,Ed}/A_{c,eff} + (M_{c,Ed} + \Delta M_{c,Ed}) \cdot (z_{t,c}/I_{y,c,eff})] \\
 &= -31.312 \frac{\text{MP}}{\text{a}} \\
 \sigma_{a,bot} &= [N_{a,Ed}/A_{a,eff} + (M_{a,Ed} + \Delta M_{a,Ed}) \cdot (z_{b,a}/I_{y,a,eff})] + [N_{c,Ed}/A_{c,eff} + (M_{c,Ed} + \Delta M_{c,Ed}) \cdot (z_{b,c}/I_{y,c,eff})] \\
 &= 2.980 \frac{\text{MP}}{\text{a}}
 \end{aligned}$$

$k = 9.002$: the lowest factor such that a stress limit is reached.

PROGETTAZIONE ATI:

GPI INGEGNERIA

GESTIONE PROGETTI INGEGNERIA srl



cooprogetti

engeko
Studio di Architettura e Ingegneria Moderna

(Calculate minimum value between Steel Girder and Slab Reinforcement.)

$$M_{el,Rd} = M_{a,Ed} + \Delta M_{a,Ed} + k \cdot (M_{c,Ed}) + \Delta M_{c,Ed} = 40821.240 \text{ kN} \cdot \text{m}$$

$$M_{Rd} = M_{el,Rd} = 40821.240 \text{ kN} \cdot \text{m}$$

$$M_{Rd} = 40821.240 \text{ kN} \cdot \text{m} > M_{Ed} = -4542.852 \frac{\text{kN} \cdot \text{m}}{\text{m}} \dots \text{OK}$$

3 Resistance to Vertical Shear

■ Design load

Load combination name : SLU13

$$N_{Ed} = -0.126 \text{ kN}$$

$$M_{a,Ed} = 7867.624 \text{ kN} \cdot \text{m}$$

$$M_{c,Ed} = 12206.642 \text{ kN} \cdot \text{m}$$

$$V_{Ed,a} = 70.208 \text{ kN}$$

$$V_{Ed,c} = 1101.349 \text{ kN}$$

$$V_{Ed} = 1171.557 \text{ kN}$$

$$M_{Ed} = \max(M_{Ed,t}, M_{Ed,b}) = 69786.352 \text{ kN} \cdot \text{m}$$

$$M_{Ed,t} = 69786.352 \text{ kN} \cdot \text{m}$$

$$M_{Ed,b} = 22565.868 \text{ kN} \cdot \text{m}$$

- Stress

Top Flange

Left	y_1	-400.000	mm	z_1	533.573	mm	σ_1	-90.436	MPa
	y_2	-10.000	mm	z_2	533.573	mm	σ_2	-91.637	MPa
Right	y_1	400.000	mm	z_1	533.573	mm	σ_1	-92.899	MPa
	y_2	10.000	mm	z_2	533.573	mm	σ_2	-91.698	MPa

Bottom Flange

Left	y_1	-450.000	mm	z_1	-2436.427	mm	σ_1	139.892	MPa
	y_2	-10.000	mm	z_2	-2436.427	mm	σ_2	138.537	MPa
Right	y_1	450.000	mm	z_1	-2436.427	mm	σ_1	137.122	MPa
	y_2	10.000	mm	z_2	-2436.427	mm	σ_2	138.476	MPa

Web

Right	y	0.000	mm	z_1	503.573	mm	σ	-89.343	MPa
-------	-----	-------	----	-------	---------	----	----------	---------	-----

PROGETTAZIONE ATI:

GPI INGEGNERIA
GESTIONE PROGETTI INGEGNERIA srl


cooprogetti


engeko


anim

Studio di Architettura e Ingegneria Moderna

	1					1		
y ₂		0.000	mm	z ₂	-2396.427	mm	σ ₂	135.407 MPa

■ Classification of sections

Part	Class
Top flange	1
Web	1
Bottom flange	1
Section	1

■ Plastic resistance moment, M_{pl,Rd}

$$\text{Plastic NA} = 2876.649 \text{ mm}$$

$$N_{\text{slab}} = 22809.920 \text{ kN}$$

$$N_{\text{rebar,t}} = 0.000 \text{ kN} \quad (\text{Upper side of PNA})$$

$$N_{\text{rebar,b}} = 0.000 \text{ kN} \quad (\text{Lower side of PNA})$$

$$N_{g,\text{top}} = 8542.659 \text{ kN} \quad (\text{Upper side of PNA})$$

$$N_{g,\text{bot}} = 31352.579 \text{ kN} \quad (\text{Lower side of PNA})$$

$$M_{\text{pl,Rd}} = 68402.842 \text{ kN} \cdot \text{m}$$

■ Calculation. V_{bw,Rd}

Web

■ Contribution from the web

$$\lambda_w = \frac{h_w / (37.4 \cdot t \cdot \varepsilon)}{\sqrt{k_t}} = 1.843$$

$$X_w = 1.37 / (0.7 + \lambda_w) = 0.539 \quad \lambda_w \geq 1.08$$

$$V_{\text{bw,Rd}} = \frac{X_w \cdot f_{yw} \cdot h_w \cdot t}{\sqrt{3} \cdot \gamma_{M1}} = 5822.251 \text{ kN}$$

$$V_{\text{Rd}} = 5822.251 \text{ kN}$$

$$V_{\text{Edi}} = V_{\text{Rd}} / \text{Num. of Web} = 1171.557 \text{ kN}$$

$$\eta'_3 = V_{\text{Edi}} / V_{\text{bw,Rd}} = 0.201 \leq 1.0$$

■ Contribution from the flange

$$M_{f,\text{Rd}} = 39632.322 \text{ kN} \cdot \text{m}$$

M_{f,Rd} is calculated as M_{pl,Rd} but neglecting the web contribution.

PROGETTAZIONE ATI:

GPI INGEGNERIA
GESTIONE PROGETTI INGEGNERIA srl


cooprogetti


engeko
Studio di Architettura e Ingegneria Moderna

$$V_{bf,Rd} = \frac{b_f \cdot t_f^2 \cdot f_y}{c \cdot \gamma_{M1}} \left(1 - \left(\frac{M_{Ed}}{M_{f,Rd}} \right)^2 \right) = 0.000 \frac{kN}{N}$$

where $M_{f,Rd} = 39632.076 \text{ kN} \cdot \text{m}$
 $c = \frac{a \cdot 1.6 \cdot b_f \cdot t_f^2}{(0.25 + \frac{f_y}{t \cdot h_w^2 \cdot f_y})} = 1282.201$

$M_{Ed} = 69786.352 \text{ kN} \cdot \text{m}$ (Taken as the greatest value of $(\sum \sigma_i)W$)

$$c = \frac{a \cdot 1.6 \cdot b_f \cdot t_f^2}{(0.25 + \frac{f_y}{t \cdot h_w^2 \cdot f_y})} = 1282.201$$

■ Check Shear Resistance

$$V_{Edi} / (V_{bw,Rd} + V_{bf,Rd}) = 0.201 < 1.0 \dots \text{OK}$$

■ Interaction M-V

For the section class 1 or 2, M-V interaction should be checked separately by the user.

4 Resistance to Lateral Torsional Buckling

- Design load

Load combination name : SLU13

$$N_{Ed} = 21.198 \text{ kN}$$

$$M_{Ed} = 27582.335 \text{ kN} \cdot \text{m}$$

$$V_1 = 555.146 \text{ kN}$$

$$V_2 = 559.400 \text{ kN}$$

$$M_1 = 27709.915 \text{ kN} \cdot \text{m}$$

$$M_2 = 27582.335 \text{ kN} \cdot \text{m}$$

$$M_{pl,Rd} = 68402.842 \text{ kN} \cdot \text{m}$$

$$M_{el,Rd} = 53103.487 \text{ kN} \cdot \text{m}$$

- $M_{b,Rd}$ Buckling resistance moment

$$L = 5.500 \text{ m}$$

$$c = C_d / I = 0.000 \frac{\text{kN}}{\text{m}^2}$$

$$\gamma = c \cdot L^4 / (E \cdot I) = 0.000$$

$$\mu = V_2 / V_1 = 0.992$$

$$\Phi = 2 \cdot (1 - M_2 / M_1) / (1 + \mu) = 0.005$$

$$m_1 = 1 + 0.44 \cdot (1 + \mu) \cdot \Phi^{1.5} + (3 + 2 \cdot \Phi) \cdot \gamma / (350 - 50 \cdot \mu) = 1.000$$

$$m_2 = 1 + 0.44 \cdot (1 + \mu) \cdot \Phi^{1.5} + (0.195 + (0.05 + \mu / 100) \cdot \Phi) \cdot \gamma^{0.5} = 1.000$$

$$m = \text{Min}(m_1, m_2) = 1.000$$

$$\alpha_{LT} = 0.760$$

$$\lambda_{LT} = 1.103 \cdot L / b \cdot \sqrt{(f_y / E_m)} \cdot \sqrt{(1 + A_{wc} / (3 \cdot A_f))} = 0.333$$

$$\Phi_{LT} = 0.5 \cdot (1 + \alpha_{LT} \cdot (\lambda_{LT} - 0.2) + \lambda_{LT}^2) = 0.606$$

PROGETTAZIONE ATI:

GPI INGEGNERIA
GESTIONE PROGETTI INGEGNERIA srl


cooprogetti


engeko
Studio di Architettura e Ingegneria Moderna

$$\frac{X_L}{T} = \frac{1}{\Phi_{LT} + \sqrt{(\Phi_{LT})^2 - \lambda_{LT}^2}} = 0.899184398$$

$$M_{Rd} = 68402.842 \text{ kN} \cdot \text{m}$$

$$M_{b,Rd} = X_{LT} \cdot M_{Rd} = 61506.768 \text{ kN} \cdot \text{m}$$

- $N_{b,Rd}$ Axial buckling resistance

$$X_{LT,N} = 0.837$$

$$N_{b,Rd} = X_{LT} \cdot \text{Area} \cdot f_{yd} = 86182.800 \frac{\text{k}}{\text{N}}$$

$$\text{Combined Ratio} = \frac{N_{Ed}}{N_{b,Rd}} + \frac{M_{Ed}}{M_{b,Rd}} = 0.448689864$$

5 Resistance to Longitudinal Shear

- Design load

Load combination name : SLU13

$$N_{c,el} = 14581.840 \text{ kN}$$

$$N_{c,f} = 22809.920 \text{ kN}$$

$$M_{Ed} = 20074.266 \text{ kN} \cdot \text{m}$$

$$V_{Ed} = 1101.349 \text{ kN}$$

$$M_{pl,Rd} = 68402.842 \text{ kN} \cdot \text{m}$$

$$M_{el,Rd} = 53103.487 \text{ kN} \cdot \text{m}$$

- Shear resistance of a single connector

$$P_{Rd,1} = 0.8 \cdot f_u \cdot \pi \cdot d^2 / 4 / \gamma_v = 81.656 \frac{\text{k}}{\text{N}}$$

$$P_{Rd,2} = 0.29 \cdot \alpha \cdot d^2 \cdot \sqrt{(f_{ck} \cdot E_{cm})} / \gamma_v = 91.363 \frac{\text{k}}{\text{N}}$$

$$P_{Rd} = \text{Min}(P_{Rd,1}, P_{Rd,2}) = 81.656 \frac{\text{k}}{\text{N}}$$

where $f_u = 450.000 \text{ MPa}$
 $,$

$$\alpha = 1 \quad \begin{matrix} fo \\ r \end{matrix} \quad h_{sc}/d > 4$$

$$\text{Num.} = 3$$

$$d = 19.000 \text{ mm}$$

$$h_{sc} = 200.000 \text{ mm}$$

$$\text{Space} = 200.000 \text{ mm}$$

- Verification

$$V_{L,Ed} = V_{Ed} \cdot (A \cdot z / l) = 355.021 \text{ kN/m}$$

PROGETTAZIONE ATI:

GPI INGEGNERIA
GESTIONE PROGETTI INGEGNERIA srl


cooprogetti


engeko
Studio di Architettura e Ingegneria Moderna

$$V_{L,Rd} = P_{Rd} \cdot \text{Num./Space} = 1224.844 \text{ kN/m}$$

$$V_{L,Ed} < V_{L,Rd} \dots \text{OK}$$

6 Stress Limitation

- In the structural steel

Characteristic load combination name : sle1

$$\sigma_{Ed,ser} = -156.559 \frac{\text{MPa}}{\text{a}} \text{ (Bottom-left fiber in the flange)}$$

$$T_{Ed,ser} = 14.780 \frac{\text{MPa}}{\text{a}} \text{ (Neutral axis in the web)}$$

$$\sigma_{Ed,ser} < f_y / \gamma_{M,ser}$$

$$-156.559 \text{ MPa} < 355.000 \text{ MPa} \dots \text{OK}$$

$$T_{Ed,ser} < f_y / (\sqrt{3} \cdot \gamma_{M,ser})$$

$$14.780 \text{ MPa} < 204.959 \text{ MPa} \dots \text{OK}$$

$$\sqrt{(\sigma_{Ed,ser}^2 + 3T_{Ed,ser}^2)} < f_y / \gamma_{M,ser}$$

$$158.638 \text{ MPa} < 355.000 \text{ MPa} \dots \text{OK}$$

- In the concrete of the slab

Characteristic load combination name : sle1

$$\sigma_c \leq k_1 f_{ck}$$

$$6.574 \text{ MPa} < 21.000 \text{ MPa} \dots \text{OK}$$

- In the reinforcement

Load combination name : sle1

$$\sigma_s \leq k_3 f_{yk}$$

$$-27.579 \text{ MPa}$$

Rebar is under compression. No need to check.

7 Longitudinal Shear for SLS(Serviceability limit state)

- Shear resistance of a single connector

Load combination name : sle1

$$P_{Rd,1} = 0.8 \cdot f_u \cdot \pi \cdot d^2 / 4 / \gamma_v = 81.656 \frac{\text{kN}}{\text{N}}$$

$$P_{Rd,2} = 0.29 \cdot \alpha \cdot d^2 \cdot \sqrt{(f_{ck} \cdot E_{cm})} / \gamma_v = 91.363 \frac{\text{kN}}{\text{N}}$$

$$P_{Rd} = \text{Min}(P_{Rd,1}, P_{Rd,2}) = 81.656 \frac{\text{kN}}{\text{N}}$$

$$P_{Rd,ser} = k_s \cdot P_{Rd} = 61.242 \frac{\text{kN}}{\text{N}}$$

$$\text{where } f_u = 450.000 \text{ MPa}$$

PROGETTAZIONE ATI:

GPI INGEGNERIA
GESTIONE PROGETTI INGEGNERIA srl


cooprogetti


engeko
Studio di Architettura e Ingegneria Moderna

α	=	1	$\frac{f_o}{r}$	$h_{sc}/d > 4$
Num.	=	3		
d	=	19.000 mm		
h_{sc}	=	200.000 mm		
Space	=	200.000 mm		
k_s	=	0.750		

- Verification

$$\begin{aligned}
 V_{L,Ed} &= V_{Ed} \cdot (A \cdot z / l) = 259.567 \text{ kN/m} \\
 V_{L,Rd} &= P_{Rd,ser} \cdot \text{Num./Space} = 918.633 \text{ kN/m} \\
 V_{L,Ed} &< V_{L,Rd} \dots \text{OK}
 \end{aligned}$$

16.2.1. SEZIONE DI PILA

Sezione su pila di riva (p1-p3)

Element Number	37
Position Information	J

1 Design Condition

1.1 Design Parameters

■ Partial factors

γ_c for concrete	1.50	γ_v for headed stud	1.25
γ_s for reinforcing steel	1.15	γ_{Ff} for equivalent constant Amplitude stress range	1.00
γ_{M0} for structural steel	1.05	γ_{Mf} for fatigue strength	1.00
γ_{M1} for structural steel	1.10	$\gamma_{Mf,s}$ for fatigue strength of studs in shear	1.00

1.2 Material Information

■ Structural steel

$$f_{sk} = 355.000 \text{ MPa} \quad E_s = 210000.000 \text{ MPa}$$

■ Concrete

$$f_{ck} = 35.000 \text{ MPa} \quad E_{cm} = 34000.000 \text{ MPa}$$

PROGETTAZIONE ATI:

GPI INGEGNERIA
GESTIONE PROGETTI INGEGNERIA srl


cooprogetti

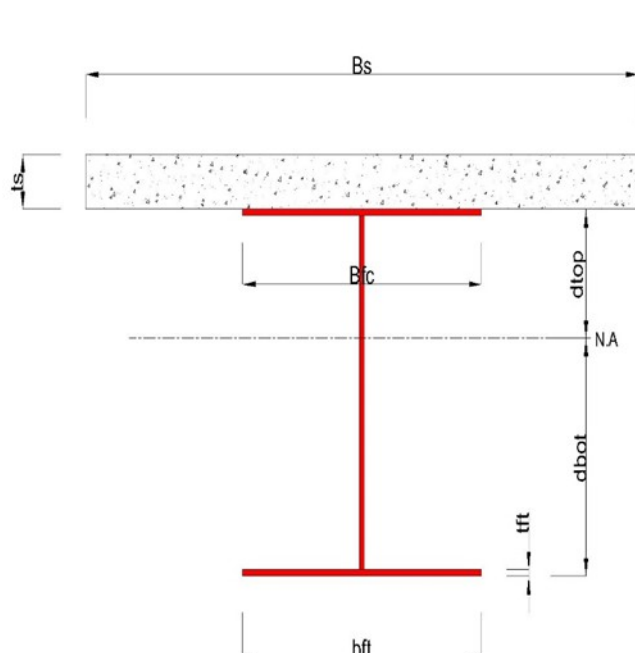

engeko


anim
Studio di Architettura e Ingegneria Moderna

■ Reinforcement

$$f_{yk} = 450.000 \text{ MPa} \quad E_r = 210000.000 \text{ MPa}$$

1.3 Sectional Information



■ Section Dimensions

Slab

B _c	3323.000	mm	t _c	320.000	mm	H _h	0.000	mm
----------------	----------	----	----------------	---------	----	----------------	-------	----

Girder

H _w	1860.000	mm	B ₁	1000.000	mm	B ₂	1200.000	mm
t _w	24.000	mm	t _{f1}	40.000	mm	t _{f2}	60.000	mm

■ Section Stiffness

Before

A _a	156640.000	mm ²
I _{y,a}	109169169133.129	mm ⁴
I _{z,a}	11975476053.333	mm ⁴
C _{y,a}	600.000	mm
C _{z,a}	791.328	mm

After

A _c	329193.067	mm ²
I _{y,c}	255588984635.582	mm ⁴
I _{z,c}	170757787230.651	mm ⁴
C _{y,c}	600.000	mm
C _{z,c}	1487.778	mm

Crack

A _c	185568.000	mm ²
----------------	------------	-----------------

PROGETTAZIONE ATI:

GPI INGEGNERIA
 GESTIONE PROGETTI INGEGNERIA srl


cooprogetti


engeko
Studio di Architettura e Ingegneria Moderna

I _{y,c}	152627819639.619	mm ⁴
I _{z,c}	36637638358.378	mm ⁴
C _{y,c}	600.000	mm
C _{z,c}	998.453	mm

2 Bending Resistance

2.1 Negative Moment

■ Design load

Load combination name : SLU14

N _{a,Ed}	-238.964	kN
N _{c,Ed}	-593.110	kN
M _{a,Ed}	-16253.060	kN · m
M _{c,Ed}	-22977.631	kN · m

- Stress

Top Flange

Left	y ₁	-500.000	mm	z ₁	961.547	mm	σ ₁	325.907	MPa
	y ₂	-12.000	mm	z ₂	961.547	mm	σ ₂	314.313	MPa
Right	y ₁	500.000	mm	z ₁	961.547	mm	σ ₁	302.148	MPa
	y ₂	12.000	mm	z ₂	961.547	mm	σ ₂	313.742	MPa

Bottom Flange

Left	y ₁	-600.000	mm	z ₁	-998.453	mm	σ ₁	-258.593	MPa
	y ₂	-12.000	mm	z ₂	-998.453	mm	σ ₂	-272.563	MPa
Right	y ₁	600.000	mm	z ₁	-998.453	mm	σ ₁	-287.103	MPa
	y ₂	12.000	mm	z ₂	-998.453	mm	σ ₂	-273.133	MPa

Web

Right	y ₁	0.000	mm	z ₁	921.547	mm	σ ₁	302.050	MPa
	y ₂	0.000	mm	z ₂	-938.453	mm	σ ₂	-254.883	MPa

■ Classification of sections

Part	Class
Top flange	1

PROGETTAZIONE ATI:

GPI INGEGNERIA
GESTIONE PROGETTI INGEGNERIA srl


cooprogetti


engeko


Studio di Architettura e Ingegneria Moderna

Web	3
Bottom flange	3
Section	3

- Elastic resistance moment, $M_{el,Rd}$

$k = 1.134$: the lowest factor such that a stress limit is reached.

(Calculate minimum value between Steel Girder and Slab Reinforcement.)

$$M_{el,Rd} = M_{a,Ed} + k \cdot M_{c,Ed} = 42301.515 \text{ kN} \cdot \text{m}$$

$$M_{Rd} = M_{el,Rd} = 42301.515 \text{ kN} \cdot \text{m}$$

$$M_{Rd} = 42301.515 \text{ kN} \cdot \text{m} > M_{Ed} = -39230.691 \frac{\text{kN}}{\text{m}} \dots \text{OK}$$

3 Resistance to Vertical Shear

■ Design load

Load combination name : SLU13

$$N_{Ed} = -12.510 \text{ kN}$$

$$M_{a,Ed} = -16253.060 \text{ kN} \cdot \text{m}$$

$$M_{c,Ed} = -14544.629 \text{ kN} \cdot \text{m}$$

$$V_{Ed,a} = 1169.751 \text{ kN}$$

$$V_{Ed,c} = 2083.444 \text{ kN}$$

$$V_{Ed} = 3253.196 \text{ kN}$$

$$M_{Ed} = \max(M_{Ed,t}, M_{Ed,b}) = 42162.557 \text{ kN} \cdot \text{m}$$

$$M_{Ed,t} = 42162.557 \text{ kN} \cdot \text{m}$$

$$M_{Ed,b} = 32553.961 \text{ kN} \cdot \text{m}$$

- Stress

Top Flange

Left	y_1	-500.000	mm	z_1	961.547	mm	σ_1	278.767	MPa
	y_2	-12.000	mm	z_2	961.547	mm	σ_2	264.383	MPa
Right	y_1	500.000	mm	z_1	961.547	mm	σ_1	249.290	MPa
	y_2	12.000	mm	z_2	961.547	mm	σ_2	263.675	MPa

Bottom Flange

Left	y_1	-600.000	mm	z_1	-998.453	mm	σ_1	-196.866	MPa
	y_2	-12.000	mm	z_2	-998.453	mm	σ_2	-214.199	MPa

PROGETTAZIONE ATI:

GPI INGEGNERIA
GESTIONE PROGETTI INGEGNERIA srl


cooprogetti


engeko


anim

Studio di Architettura e Ingegneria Moderna

Right	y_1	600.000	mm	z_1	-998.453	mm	σ_1	-232.239	MPa
	y_2	12.000	mm	z_2	-998.453	mm	σ_2	-214.907	MPa

Web

Right	y_1	0.000	mm	z_1	921.547	mm	σ_1	254.262	MPa
	y_2	0.000	mm	z_2	-938.453	mm	σ_2	-199.902	MPa

■ Classification of sections

Part	Class
Top flange	1
Web	3
Bottom flange	3
Section	3

■ Plastic resistance moment, $M_{pl,Rd}$

$$\text{Plastic NA} = 1105.354 \text{ mm}$$

$$N_{slab} = 0.000 \text{ kN}$$

$$N_{rebar,t} = 11319.652 \text{ kN} \quad (\text{Upper side of PNA})$$

$$N_{rebar,b} = 0.000 \text{ kN} \quad (\text{Lower side of PNA})$$

$$N_{g,top} = 20134.079 \text{ kN} \quad (\text{Upper side of PNA})$$

$$N_{g,bot} = 31453.731 \text{ kN} \quad (\text{Lower side of PNA})$$

$$M_{pl,Rd} = 54601.470 \text{ kN} \cdot \text{m}$$

■ Calculation. $V_{bw,Rd}$

Web

■ Contribution from the web

$$\lambda_w = \frac{h_w / (37.4 \cdot t \cdot \varepsilon)}{\sqrt{k_t}} = 1.049$$

$$X_w = 0.83 / \lambda_w = 0.791 \quad 0.83/\eta \leq \lambda_w < 1.08$$

$$V_{bw,Rd} = \frac{X_w \cdot f_{yw} \cdot h_w \cdot t}{\sqrt{3} \cdot \gamma_{M1}} = 6580.440 \frac{\text{k}}{\text{N}}$$

$$V_{Rd} = 6580.440 \text{ kN}$$

$$V_{Edi} = V_{Ed} / \text{Num. of Web} = 3253.196 \frac{\text{k}}{\text{N}}$$

PROGETTAZIONE ATI:

GPI INGEGNERIA
GESTIONE PROGETTI INGEGNERIA srl


cooprogetti


engeko


AIM
Studio di Architettura e Ingegneria Moderna

$$\eta'_3 = V_{Edi} / V_{bw,Rd} = 0.494 \leq 1.0$$

■ Contribution from the flange

$$M_{f,Rd0} = 45947.815 \text{ kN} \cdot \text{m}$$

$M_{f,Rd0}$ is calculated as $M_{pl,Rd}$ but neglecting the web contribution.

$$\text{Reduction factor for } N_{Ed} = 1 - \frac{N_{Ed}}{(A_{f1}+A_{f2}) \cdot f_y/\gamma_{M0}} = 1.000$$

$$M_{f,Rd} = \text{Reduction factor for } N_{Ed} \cdot M_{f,Rd0} = 45932.065 \text{ kN} \cdot \text{m}$$

$$V_{bf,Rd} = \frac{b_f \cdot t_f^2 \cdot f_y}{c \cdot \gamma_{M1}} \left(1 - \left(\frac{M_{Ed}}{M_{f,Rd}} \right)^2 \right) = 57.882 \frac{\text{kN}}{\text{N}}$$

where $M_{f,Rd} = 45932.065 \text{ kN} \cdot \text{m}$

$$M_{Ed} = 42162.557 \text{ kN} \cdot \text{m} \quad (\text{Taken as the greatest value of } (\sum \sigma_i)W)$$

$$c = \frac{a \cdot 1.6 \cdot b_f \cdot t_f^2 \cdot f_y}{(0.25 + \frac{t \cdot h_w^2 \cdot f_y}{h_w \cdot t})} = 1404.160$$

■ Check Shear Resistance

$$V_{Edi} / (V_{bw,Rd} + V_{bf,Rd}) = 0.490 < 1.0 \dots \text{OK}$$

■ Interaction M-V

$$\eta'_3 = 0.494 < 0.5$$

There is no need to verify the interaction criterion

4 Resistance to Lateral Torsional Buckling

- Design load

Load combination name : SLU14

$$N_{Ed} = -832.074 \text{ kN}$$

$$M_{Ed} = -39230.691 \text{ kN} \cdot \text{m}$$

$$V_1 = 2536.782 \text{ kN}$$

$$V_2 = 2673.196 \text{ kN}$$

$$M_1 = -39230.691 \text{ kN} \cdot \text{m}$$

$$M_2 = -34242.487 \text{ kN} \cdot \text{m}$$

$$M_{pl,Rd} = 54601.470 \text{ kN} \cdot \text{m}$$

$$M_{el,Rd} = 42301.515 \text{ kN} \cdot \text{m}$$

- $M_{b,Rd}$ Buckling resistance moment

$$L = 5.200 \text{ m}$$

$$c = C_d / I = 0.000 \text{ kN/m}$$

PROGETTAZIONE ATI:

GPI INGEGNERIA
GESTIONE PROGETTI INGEGNERIA srl


cooprogetti


engeko
Studio di Architettura e Ingegneria Moderna

$$\begin{aligned}
 \gamma &= \frac{c \cdot L^4 / (E \cdot I)}{m^2} = 0.000 \\
 \mu &= V_2 / V_1 = 0.949 \\
 \Phi &= 2 \cdot (1-M_2/M_1) / (1+\mu) = 0.130 \\
 m_1 &= 1+0.44 \cdot (1+\mu) \cdot \Phi^{1.5} + (3+2 \cdot \Phi) \cdot \gamma / (350-50 \cdot \mu) = 1.040 \\
 m_2 &= 1+0.44 \cdot (1+\mu) \cdot \Phi^{1.5} + (0.195+(0.05+\mu/100) \cdot \Phi) \cdot \gamma^{0.5} = 1.040 \\
 m &= \min(m_1, m_2) = 1.040 \\
 \alpha_{LT} &= 0.490 \\
 \lambda_{LT} &= 1.103 \cdot L/b \cdot \sqrt{(f_y/E_m)} \cdot \sqrt{(1+A_w/(3 \cdot A_f))} = 0.202 \\
 \Phi_{LT} &= 0.5 \cdot (1+\alpha_{LT} \cdot (\lambda_{LT}-0.2)+\lambda_{LT}^2) = 0.521 \\
 X_L &= \frac{1}{\Phi_{LT} + \sqrt{(\Phi_{LT}^2 - \lambda_{LT}^2)}} = 0.998745398
 \end{aligned}$$

$$\begin{aligned}
 M_{Rd} &= 42301.515 \text{ kN} \cdot \text{m} \\
 M_{b,Rd} &= X_{LT} \cdot M_{Rd} = 42248.443 \text{ kN} \cdot \text{m}
 \end{aligned}$$

- $N_{b,Rd}$ Axial buckling resistance

$$\begin{aligned}
 X_{LT,N} &= 0.992 \\
 N_{b,Rd} &= X_{LT} \cdot \text{Area} \cdot f_{yd} = 62232.212 \frac{\text{k}}{\text{N}}
 \end{aligned}$$

$$\text{Combined Ratio} = \frac{N_{Ed}}{N_{b,Rd}} + \frac{M_{Ed}}{M_{b,Rd}} = 0.941941753$$

5 Resistance to Longitudinal Shear

- Design load

Load combination name : SLU13

$$\begin{aligned}
 N_{c,el} &= 0.000 \text{ kN} \\
 N_{c,f} &= 0.000 \text{ kN} \\
 M_{Ed} &= -30797.689 \text{ kN} \cdot \text{m} \\
 V_{Ed} &= 2083.444 \text{ kN} \\
 M_{pl,Rd} &= 54601.470 \text{ kN} \cdot \text{m} \\
 M_{el,Rd} &= 42301.515 \text{ kN} \cdot \text{m}
 \end{aligned}$$

- Shear resistance of a single connector

$$\begin{aligned}
 P_{Rd,1} &= 0.8 \cdot f_u \cdot \pi \cdot d^2 / 4 / \gamma_v = 81.656 \frac{\text{k}}{\text{N}} \\
 P_{Rd,2} &= 0.29 \cdot \alpha \cdot d^2 \cdot \sqrt{(f_{ck} \cdot E_{cm})} / \gamma_v = 91.363 \frac{\text{k}}{\text{N}} \\
 P_{Rd} &= \min(P_{Rd,1}, P_{Rd,2}) = 81.656 \frac{\text{k}}{\text{N}}
 \end{aligned}$$

PROGETTAZIONE ATI:

GPI INGEGNERIA

GESTIONE PROGETTI INGEGNERIA srl

 **cooprogetti**


engeko
Studio di Architettura e Ingegneria Moderna

where $f_u = 450.000 \text{ MPa}$, $\alpha = 1$, $\text{Num.} = 3$, $d = 19.000 \text{ mm}$, $h_{sc} = 200.000 \text{ mm}$, $\text{Space} = 200.000 \text{ mm}$

$\frac{f_o}{r} h_{sc}/d > 4$

- Verification

$$\begin{aligned} V_{L,Ed} &= V_{Ed} \cdot (A \cdot z / l) &= 887.257 \text{ kN/m} \\ V_{L,Rd} &= P_{Rd} \cdot \text{Num./Space} &= 1224.844 \text{ kN/m} \\ V_{L,Ed} &< V_{L,Rd} &\dots \text{OK} \end{aligned}$$

6 Stress Limitation

- In the structural steel

Characteristic load combination name :	sle2		
$\sigma_{Ed,ser}$	= -267.965 MPa	a	(Top-left fiber in the flange)
$T_{Ed,ser}$	= 53.387 MPa	a	(Neutral axis in the web)
$\sigma_{Ed,ser}$	< $f_y / \gamma_{M,ser}$		
-267.965 MPa	< 355.000 MPa		... OK
$T_{Ed,ser}$	< $f_y / (\sqrt{3} \cdot \gamma_{M,ser})$		
53.387 MPa	< 204.959 MPa		... OK
$\sqrt{(\sigma_{Ed,ser}^2 + 3T_{Ed,ser}^2)}$	< $f_y / \gamma_{M,ser}$		
283.471 MPa	< 355.000 MPa		... OK

- In the concrete of the slab

Characteristic load combination name :	sle1		
$\sigma_c \leq k_1 f_{ck}$			
0.000 MPa	< 21.000 MPa		... OK

- In the reinforcement

Load combination name :	sle1		
$\sigma_s \leq k_3 f_{yk}$			
143.859 MPa	< 360.000 MPa		... OK

PROGETTAZIONE ATI:

7 Longitudinal Shear for SLS(Serviceability limit state)

- Shear resistance of a single connector

Load combination name : sle1

$$P_{Rd,1} = 0.8 \cdot f_u \cdot \pi \cdot d^2 / 4 / \gamma_v = 81.656 \frac{k}{N}$$

$$P_{Rd,2} = 0.29 \cdot \alpha \cdot d^2 \cdot \sqrt{(f_{ck} \cdot E_{cm})} / \gamma_v = 91.363 \frac{k}{N}$$

$$P_{Rd} = \text{Min}(P_{Rd,1}, P_{Rd,2}) = 81.656 \frac{k}{N}$$

$$P_{Rd,ser} = k_s \cdot P_{Rd} = 61.242 \frac{k}{N}$$

where $f_u = 450.000 \text{ MPa}$

, $\alpha = 1$ $\frac{f_o}{r} h_{sc}/d > 4$

Num. = 3

d = 19.000 mm

$h_{sc} = 200.000 \text{ mm}$

Space = 200.000 mm

$k_s = 0.750$

- Verification

$$V_{L,Ed} = V_{Ed} \cdot (A \cdot z / l) = 645.900 \text{ kN/m}$$

$$V_{L,Rd} = P_{Rd,ser} \cdot \text{Num./Space} = 918.633 \text{ kN/m}$$

$$V_{L,Ed} < V_{L,Rd} \dots \text{OK}$$

Sezione su pila di riva (p2)

Element Number	81
Position Information	I

1 Design Condition

1.1 Design Parameters

■ Partial factors

γ_c for concrete	1.50	γ_v for headed stud	1.25
γ_s for reinforcing steel	1.15	γ_{ff} for equivalent constant Amplitude stress range	1.00
γ_{M0} for structural steel	1.05	γ_{Mf} for fatigue strength	1.00
γ_{M1} for structural steel	1.10	$\gamma_{Mf,s}$ for fatigue strength of studs in shear	1.00

1.2 Material Information

■ Structural steel

PROGETTAZIONE ATI:

GPI INGEGNERIA
GESTIONE PROGETTI INGEGNERIA srl


cooprogetti


engeko
Studio di Architettura e Ingegneria Moderna

$$f_{sk} = 355.000 \text{ MPa} \quad E_s = 210000.000 \text{ MPa}$$

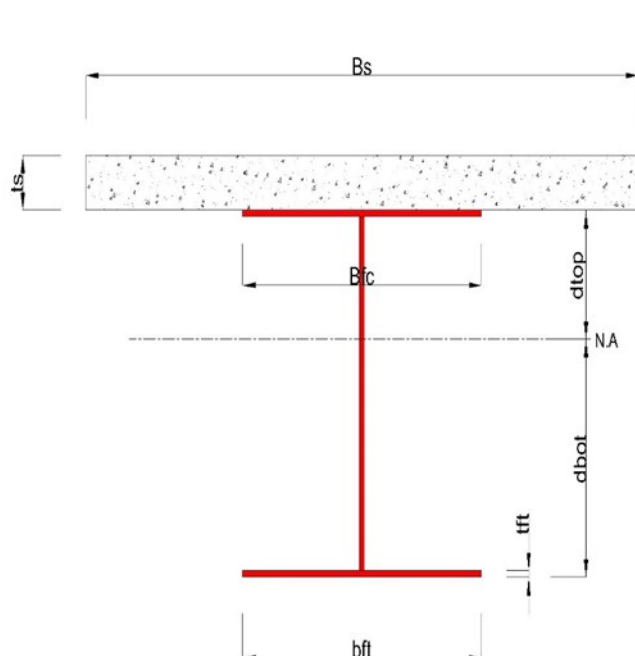
■ Concrete

$$f_{ck} = 35.000 \text{ MPa} \quad E_{cm} = 34000.000 \text{ MPa}$$

■ Reinforcement

$$f_{yk} = 450.000 \text{ MPa} \quad E_r = 210000.000 \text{ MPa}$$

1.3 Sectional Information



■ Section Dimensions

Slab

B _c	3849.000	mm	t _c	320.000	mm	H _h	0.000	mm
----------------	----------	----	----------------	---------	----	----------------	-------	----

Girder

H _w	2900.000	mm	B ₁	900.000	mm	B ₂	1000.000	mm
t _w	28.000	mm	t _{f1}	40.000	mm	t _{f2}	60.000	mm

■ Section Stiffness

Before

A _a	177200.000	mm ²
I _{y,a}	258881774115.877	mm ⁴
I _{z,a}	7435305066.667	mm ⁴

After

A _c	377066.613	mm ²
I _{y,c}	582912595071.981	mm ⁴
I _{z,c}	254183979655.430	mm ⁴

PROGETTAZIONE ATI:

GPI INGEGNERIA
GESTIONE PROGETTI INGEGNERIA srl


cooprogetti


engeko


AIM

Studio di Architettura e Ingegneria Moderna

C _{y,a}	500.000	mm
C _{z,a}	1307.517	mm

C _{y,c}	500.000	mm
C _{z,c}	2289.438	mm

Crack

A _c	211552.000	mm ²
I _{y,c}	358041849899.475	mm ⁴
I _{z,c}	48744822803.907	mm ⁴
C _{y,c}	500.000	mm
C _{z,c}	1608.325	mm

2 Bending Resistance

2.1 Negative Moment

■ Design load

Load combination name : SLU13

N _{a,Ed}	462.424	kN
N _{c,Ed}	1793.626	kN
M _{a,Ed}	-17707.743	kN · m
M _{c,Ed}	-23575.163	kN · m

- Stress

Top Flange

Left	y ₁	-450.000	mm	z ₁	1391.675	mm	σ ₁	225.790	MPa
	y ₂	-14.000	mm	z ₂	1391.675	mm	σ ₂	218.717	MPa
Right	y ₁	450.000	mm	z ₁	1391.675	mm	σ ₁	211.190	MPa
	y ₂	14.000	mm	z ₂	1391.675	mm	σ ₂	218.263	MPa

Bottom Flange

Left	y ₁	-500.000	mm	z ₁	-1608.325	mm	σ ₁	-176.136	MPa
	y ₂	-14.000	mm	z ₂	-1608.325	mm	σ ₂	-184.020	MPa
Right	y ₁	500.000	mm	z ₁	-1608.325	mm	σ ₁	-192.358	MPa
	y ₂	14.000	mm	z ₂	-1608.325	mm	σ ₂	-184.474	MPa

Web

Right	y ₁	0.000	mm	z ₁	1351.675	mm	σ ₁	213.120	MPa
	y	0.000	mm	z ₂	-1548.325	mm	σ	-176.192	MPa

PROGETTAZIONE ATI:

GPI INGEGNERIA
GESTIONE PROGETTI INGEGNERIA srl


cooprogetti


engeko


anim

Studio di Architettura e Ingegneria Moderna

	2				2		
--	---	--	--	--	---	--	--

■ Classification of sections

Part	Class
Top flange	1
Web	3
Bottom flange	2
Section	2

- Plastic resistance moment, $M_{pl,Rd}$

$$\text{Plastic NA} = 1851.760 \text{ mm}$$

$$\text{Effective Plastic NA} = 2956.458 \text{ mm}$$

$$N_{slab} = 0.000 \text{ kN}$$

$$N_{rebar,t} = 13442.087 \text{ kN} \quad (\text{Upper side of PNA})$$

$$N_{rebar,b} = 0.000 \text{ kN} \quad (\text{Lower side of PNA})$$

$$N_{g,top} = 12204.964 \text{ kN} \quad (\text{Upper side of PNA})$$

$$N_{g,bot} = 27769.362 \text{ kN} \quad (\text{Lower side of PNA})$$

$$M_{pl,Rd} = 71551.831 \text{ kN} \cdot \text{m}$$

$$M_{Rd} = M_{pl,Rd} = 71551.831 \text{ kN} \cdot \text{m}$$

$$M_{Rd} = 71551.831 \text{ kN} \cdot \text{m} > M_{Ed} = -41282.906 \frac{\text{kN}}{\text{m}} \dots \text{OK}$$

3 Resistance to Vertical Shear

■ Design load

Load combination name : SLU13

$$N_{Ed} = 1486.460 \text{ kN}$$

$$M_{a,Ed} = -17707.743 \text{ kN} \cdot \text{m}$$

$$M_{c,Ed} = -16658.711 \text{ kN} \cdot \text{m}$$

$$V_{Ed,a} = -1199.905 \text{ kN}$$

$$V_{Ed,c} = -2718.938 \text{ kN}$$

$$V_{Ed} = -3918.843 \text{ kN}$$

$$M_{Ed} = \max(M_{Ed,t}, M_{Ed,b}) = 46442.638 \text{ kN} \cdot \text{m}$$

$$M_{Ed,t} = 46442.638 \text{ kN} \cdot \text{m}$$

$$M_{Ed,b} = 36568.612 \text{ kN} \cdot \text{m}$$

- Stress

Top Flange

PROGETTAZIONE ATI:

GPI INGEGNERIA
 GESTIONE PROGETTI INGEGNERIA srl


cooprogetti


engeko
Studio di Architettura e Ingegneria Moderna

Left	y_1	-450.000	mm	z_1	1391.675	mm	σ_1	196.661	MPa
	y_2	-14.000	mm	z_2	1391.675	mm	σ_2	190.357	MPa
Right	y_1	450.000	mm	z_1	1391.675	mm	σ_1	183.648	MPa
	y_2	14.000	mm	z_2	1391.675	mm	σ_2	189.952	MPa

Bottom Flange

Left	y_1	-500.000	mm	z_1	-1608.325	mm	σ_1	-147.401	MPa
	y_2	-14.000	mm	z_2	-1608.325	mm	σ_2	-154.428	MPa
Right	y_1	500.000	mm	z_1	-1608.325	mm	σ_1	-161.859	MPa
	y_2	14.000	mm	z_2	-1608.325	mm	σ_2	-154.833	MPa

Web

Right	y_1	0.000	mm	z_1	1351.675	mm	σ_1	185.557	MPa
	y_2	0.000	mm	z_2	-1548.325	mm	σ_2	-147.735	MPa

■ Classification of sections

Part	Class
Top flange	1
Web	3
Bottom flange	2
Section	2

■ Plastic resistance moment, $M_{pl,Rd}$

$$\text{Plastic NA} = 1851.760 \text{ mm}$$

$$\begin{aligned}
 N_{\text{slab}} &= 0.000 \text{ kN} \\
 N_{\text{rebar,t}} &= 13442.087 \text{ kN} && (\text{Upper side of PNA}) \\
 N_{\text{rebar,b}} &= 0.000 \text{ kN} && (\text{Lower side of PNA}) \\
 N_{g,\text{top}} &= 12204.964 \text{ kN} && (\text{Upper side of PNA}) \\
 N_{g,\text{bot}} &= 27769.362 \text{ kN} && (\text{Lower side of PNA})
 \end{aligned}$$

$$M_{pl,Rd} = 87200.832 \text{ kN} \cdot \text{m}$$

■ Calculation. $V_{bw,Rd}$

Web

PROGETTAZIONE ATI:

GPI INGEGNERIA
GESTIONE PROGETTI INGEGNERIA srl


cooprogetti

 **engeko**
Studio di Architettura e Ingegneria Moderna

■ Contribution from the web

$$\lambda_w = \frac{h_w / (37.4 \cdot t \cdot \varepsilon)}{\sqrt{k_r}} = 1.316$$

$$X_w = 1.37 / (0.7 + \lambda_w) = 0.679 \quad \lambda_w \geq 1.08$$

$$V_{bw,Rd} = \frac{X_w \cdot f_{yw} \cdot h_w \cdot t}{\sqrt{3} \cdot \gamma_{M1}} = 10279.716 \text{ kN}$$

$$V_{Rd} = 10279.716 \text{ kN}$$

$$V_{Edi} = V_{Ed} / \text{Num. of Web} = -3918.843 \text{ kN}$$

$$\eta'_3 = V_{Edi} / V_{bw,Rd} = 0.381 \leq 1.0$$

■ Contribution from the flange

$$M_{f,Rd} = 58986.018 \text{ kN} \cdot \text{m}$$

$M_{f,Rd}$ is calculated as $M_{pl,Rd}$ but neglecting the web contribution.

$$V_{bf,Rd} = \frac{b_f \cdot t_f^2 \cdot f_{yf}}{c \cdot \gamma_{M1}} \left(1 - \left(\frac{M_{Ed}}{M_{f,Rd}} \right)^2 \right) = 135.985 \text{ kN}$$

where $M_{f,Rd} = 58986.018 \text{ kN} \cdot \text{m}$

$$M_{Ed} = 46442.638 \text{ kN} \cdot \text{m} \quad (\text{Taken as the greatest value of } (\sum \sigma_i)W)$$

$$c = \frac{a \cdot 1.6 \cdot b_f \cdot t_f^2 \cdot f_{yf}}{(0.25 + \frac{t \cdot h_w^2 \cdot f_{yw}}{t \cdot h_w^2 \cdot f_{yw}})} = 1298.921$$

■ Check Shear Resistance

$$V_{Edi} / (V_{bw,Rd} + V_{bf,Rd}) = 0.376 < 1.0 \quad \dots \text{OK}$$

■ Interaction M-V

For the section class 1 or 2, M-V interaction should be checked separately by the user.

4 Resistance to Lateral Torsional Buckling

- Design load

Load combination name : SLU13

$$N_{Ed} = 2256.050 \text{ kN}$$

$$M_{Ed} = -41282.906 \text{ kN} \cdot \text{m}$$

$$V_1 = -3302.734 \text{ kN}$$

$$V_2 = -2473.677 \text{ kN}$$

$$M_1 = -41282.906 \text{ kN} \cdot \text{m}$$

PROGETTAZIONE ATI:

GPI INGEGNERIA
GESTIONE PROGETTI INGEGNERIA srl


cooprogetti


engeko
Studio di Architettura e Ingegneria Moderna

$$\begin{aligned} M_2 &= -36342.498 \text{ kN} \cdot \text{m} \\ M_{pl,Rd} &= 71551.831 \text{ kN} \cdot \text{m} \\ M_{el,Rd} &= 73063.887 \text{ kN} \cdot \text{m} \end{aligned}$$

- $M_{b,Rd}$ Buckling resistance moment

$$\begin{aligned} L &= 5.500 \text{ m} \\ c &= C_d / I = 0.000 \frac{\text{kN}}{\text{m}^2} \\ \gamma &= c \cdot L^4 / (E \cdot I) = 0.000 \\ \mu &= V_2 / V_1 = 0.749 \\ \Phi &= 2 \cdot (1-M_2/M_1) / (1+\mu) = 0.137 \\ m_1 &= 1+0.44 \cdot (1+\mu) \cdot \Phi^{1.5} + (3+2 \cdot \Phi) \cdot \gamma / (350-50 \cdot \mu) = 1.039 \\ m_2 &= 1+0.44 \cdot (1+\mu) \cdot \Phi^{1.5} + (0.195 + (0.05+\mu/100) \cdot \Phi) \cdot \gamma^{0.5} = 1.039 \\ m &= \text{Min}(m_1, m_2) = 1.039 \\ \alpha_{LT} &= 0.760 \\ \lambda_{LT} &= 1.103 \cdot L/b \cdot \sqrt{(f_y/E_m)} \cdot \sqrt{(1+A_{wc}/(3 \cdot A_f))} = 0.273 \\ \Phi_{LT} &= 0.5 \cdot (1+\alpha_{LT} \cdot (\lambda_{LT}-0.2)+\lambda_{LT}^2) = 0.565 \\ X_L &= \frac{1}{\Phi_{LT} + \sqrt{(\Phi_{LT}^2 - \lambda_{LT}^2)}} = 0.943995911 \end{aligned}$$

$$\begin{aligned} M_{Rd} &= 71551.831 \text{ kN} \cdot \text{m} \\ M_{b,Rd} &= X_{LT} \cdot M_{Rd} = 67544.636 \text{ kN} \cdot \text{m} \end{aligned}$$

- $N_{b,Rd}$ Axial buckling resistance

$$\begin{aligned} X_{LT,N} &= 0.923 \\ N_{b,Rd} &= X_{LT} \cdot \text{Area} \cdot f_{yd} = 66025.188 \frac{\text{k}}{\text{N}} \end{aligned}$$

$$\text{Combined Ratio} = \frac{N_{Ed}}{N_{b,Rd}} + \frac{M_{Ed}}{M_{b,Rd}} = 0.645363974$$

5 Resistance to Longitudinal Shear

- Design load

Load combination name : SLU13

$$\begin{aligned} N_{c,el} &= 0.000 \text{ kN} \\ N_{c,f} &= 0.000 \text{ kN} \\ M_{Ed} &= -34366.454 \text{ kN} \cdot \text{m} \\ V_{Ed} &= -2718.938 \text{ kN} \\ M_{pl,Rd} &= 71551.831 \text{ kN} \cdot \text{m} \\ M_{el,Rd} &= 73063.887 \text{ kN} \cdot \text{m} \end{aligned}$$

PROGETTAZIONE ATI:

GPI INGEGNERIA
GESTIONE PROGETTI INGEGNERIA srl


cooprogetti


engeko
Studio di Architettura e Ingegneria Moderna

- Shear resistance of a single connector

$$P_{Rd,1} = 0.8 \cdot f_u \cdot \pi \cdot d^2 / 4 / \gamma_v = 81.656 \frac{k}{N}$$

$$P_{Rd,2} = 0.29 \cdot \alpha \cdot d^2 \cdot \sqrt{(f_{ck} \cdot E_{cm})} / \gamma_v = 91.363 \frac{k}{N}$$

$$P_{Rd} = \text{Min}(P_{Rd,1}, P_{Rd,2}) = 81.656 \frac{k}{N}$$

where $f_u = 450.000 \text{ MPa}$, $\alpha = 1$

$\text{Num.} = 3$ $\text{d} = 19.000 \text{ mm}$ $\text{h}_{sc} = 200.000 \text{ mm}$ $\text{Space} = 200.000 \text{ mm}$

$\frac{f_o}{r} \text{ h}_{sc}/d > 4$

- Verification

$$V_{L,Ed} = V_{Ed} \cdot (A \cdot z / l) = 809.754 \text{ kN/m}$$

$$V_{L,Rd} = P_{Rd} \cdot \text{Num.}/\text{Space} = 1224.844 \text{ kN/m}$$

$$V_{L,Ed} < V_{L,Rd} \dots \text{OK}$$

6 Stress Limitation

- In the structural steel

Characteristic load combination name : sle2

$$\sigma_{Ed,ser} = -177.571 \frac{\text{MP}}{\text{a}} \text{ (Top-left fiber in the flange)}$$

$$T_{Ed,ser} = 35.540 \frac{\text{MP}}{\text{a}} \text{ (Neutral axis in the web)}$$

$$\sigma_{Ed,ser} < f_y / \gamma_{M,ser}$$

$$-177.571 \text{ MPa} < 355.000 \text{ MPa} \dots \text{OK}$$

$$T_{Ed,ser} < f_y / (\sqrt{3} \cdot \gamma_{M,ser})$$

$$35.540 \text{ MPa} < 204.959 \text{ MPa} \dots \text{OK}$$

$$\sqrt{(\sigma_{Ed,ser}^2 + 3T_{Ed,ser}^2)} < f_y / \gamma_{M,ser}$$

$$187.938 \text{ MPa} < 355.000 \text{ MPa} \dots \text{OK}$$

- In the concrete of the slab

Characteristic load combination name : sle1

$$\sigma_c \leq k_1 f_{ck}$$

$$0.000 \text{ MPa} < 21.000 \text{ MPa} \dots \text{OK}$$

PROGETTAZIONE ATI:

GPI INGEGNERIA
GESTIONE PROGETTI INGEGNERIA srl


cooprogetti


engeko


anim
Studio di Architettura e Ingegneria Moderna

- In the reinforcement

Load combination name : sle1

$$\sigma_s \leq k_3 f_{yk}$$

$$89.543 \text{ MPa} < 360.000 \text{ MPa} \dots \text{OK}$$

7 Longitudinal Shear for SLS(Serviceability limit state)

- Shear resistance of a single connector

Load combination name : sle1

$$P_{Rd,1} = 0.8 \cdot f_u \cdot \pi \cdot d^2 / 4 / \gamma_v = 81.656 \frac{\text{k}}{\text{N}}$$

$$P_{Rd,2} = 0.29 \cdot \alpha \cdot d^2 \cdot \sqrt{(f_{ck} \cdot E_{cm}) / \gamma_v} = 91.363 \frac{\text{k}}{\text{N}}$$

$$P_{Rd} = \text{Min}(P_{Rd,1}, P_{Rd,2}) = 81.656 \frac{\text{k}}{\text{N}}$$

$$P_{Rd,ser} = k_s \cdot P_{Rd} = 61.242 \frac{\text{k}}{\text{N}}$$

where $f_u = 450.000 \text{ MPa}$, $\gamma_v = 1$

$$\alpha = 1 \quad \text{fo } h_{sc}/d > 4$$

$$\text{Num.} = 3$$

$$d = 19.000 \text{ mm}$$

$$h_{sc} = 200.000 \text{ mm}$$

$$\text{Space} = 200.000 \text{ mm}$$

$$k_s = 0.750$$

- Verification

$$V_{L,Ed} = V_{Ed} \cdot (A \cdot z / l) = 594.761 \text{ kN/m}$$

$$V_{L,Rd} = P_{Rd,ser} \cdot \text{Num./Space} = 918.633 \text{ kN/m}$$

$$V_{L,Ed} < V_{L,Rd} \dots \text{OK}$$

PROGETTAZIONE ATI:

GPI INGEGNERIA
GESTIONE PROGETTI INGEGNERIA srl


cooprogetti


engeko
Studio di Architettura e Ingegneria Moderna

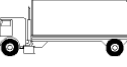
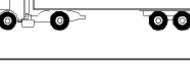
17. VERIFICHE A FATICA

17.1. INTRODUZIONE

Con riferimento al §5.4.3 delle NTC2018, per strutture, elementi strutturali e dettagli sensibili a fenomeni di fatica vanno eseguite opportune verifiche. Vengono svolte le verifiche a fatica per vita illimitata adottando gli spettri di carico associati. In assenza di studi specifici, volti alla determinazione dell'effettivo spettro di carico che interessa il ponte, si fa far riferimento ai modelli descritti nel seguito.

17.2. MODELLO DI CARICO A FATICA

Secondo quanto previsto dalle NTC18 al § 5.1.4.3, per la verifica a vita illimitata si prevede il modello di carico di fatica 2, sulla corsia identificata come lenta. Si riportano le cinque configurazioni di sagoma del veicolo.

SAGOMA del VEICOLO		Distanza tra gli assi (m)	Carico frequente per asse (kN)	Tipo di ruota (Tab. 5.1.IX)
		4,5	90 190	A B
		4,20 1,30	80 140 140	A B B
		3,20 5,20 1,30 1,30	90 180 120 120 120	A B C C C
		3,40 6,00 1,80	90 190 140 140	A B B B
		4,80 3,60 4,40 1,30	90 180 120 110 110	A B C C C

I delta di tensione si determinano in base agli effetti più severi dei diversi autocarri, considerati separatamente, che viaggiano da soli sulla corsia.

In particolare per le verifiche delle componenti strutturali si è assunto il più gravoso dei casi analizzati riportando direttamente le sollecitazioni di inviluppo.

Si riportano i grafici delle sollecitazioni.

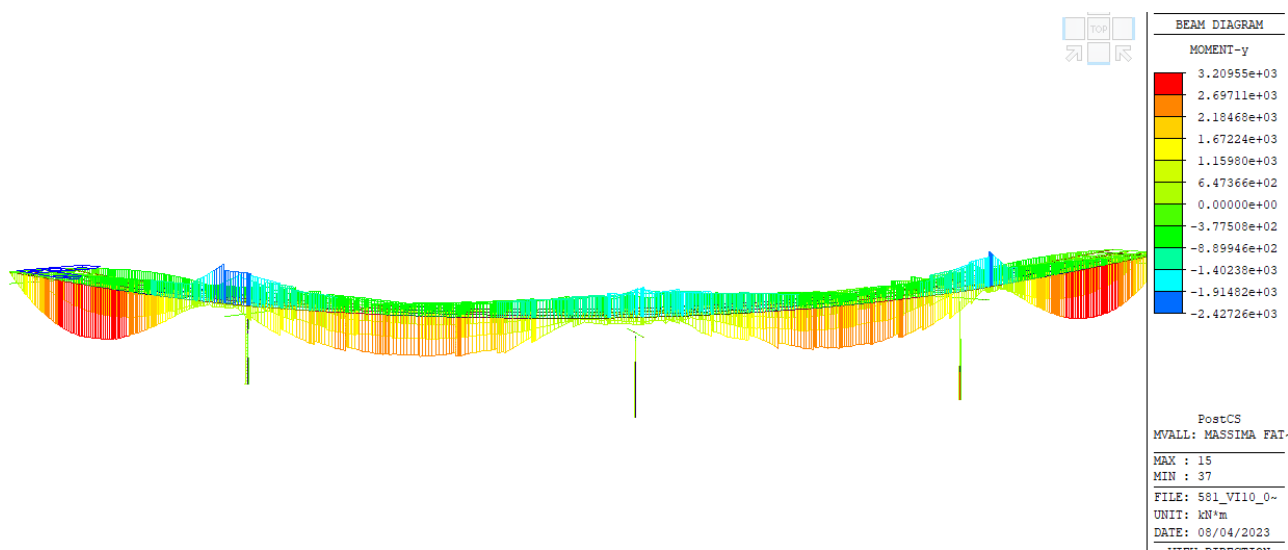


Fig. 1: q1 fatica - inviluppo del momento flettente [kNm]

17.3. COEFFICIENTI PARZIALI PER LA RESISTENZA A FATICA

I valori dei coefficienti γ_{Mf} adottati nelle verifiche a fatica sono riportati nella seguente tabella, estratta dalla circolare delle NTC18.

Coefficienti parziali di sicurezza

$\gamma_f = 1$ coefficiente parziale di sicurezza relativo alle azioni di fatica

$\gamma_M = 1.35$ coefficiente parziale di sicurezza relativo alla resistenza a fatica

$\gamma_{Mf} = \gamma_f \cdot \gamma_M = 1.35$ coefficiente parziale di sicurezza per le verifiche a fatica

Metodo di valutazione	Conseguenze del collasso	
	Basse conseguenze	Alte conseguenze
metodo del "danneggiamento accettabile"	1,00	1,15
metodo della "vita sicura"	1,15	1,35

17.4. METODI DI VERIFICA

Per la verifica a fatica secondo il criterio della vita illimitata, l'ampiezza di tensione di riferimento è quella ad ampiezza costante, definita come

$$\Delta\sigma_D = 0.737 \cdot \Delta\sigma_C$$

dove $\Delta\sigma_C$ è il valore della classe del dettaglio.

Verifica a vita illimitata

PROGETTAZIONE ATI:

GPI INGEGNERIA
GESTIONE PROGETTI INGEGNERIA srl


cooprogetti


engeko
Studio di Architettura e Ingegneria Moderna

La verifica a vita illimitata si esegue controllando che sia

$$\Delta\sigma_{\max} \leq \Delta\sigma_D / \gamma_M$$

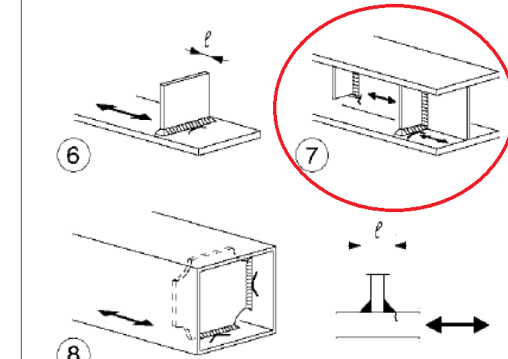
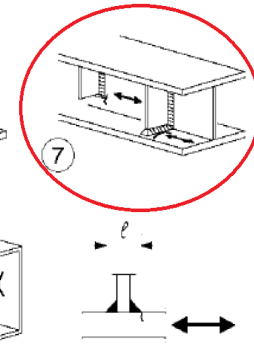
dove $\Delta\sigma_D$ sono i valori di progetto delle massime escursioni di tensioni normali indotte nel dettaglio considerato dallo spettro di carico per vita illimitata.

17.5. VERIFICA DEI DETTAGLI DI FATICA

Nelle verifiche a fatica le tensioni considerate sono coerenti con quelle alle quali è riferita la curva S-N del dettaglio. Per le successive verifiche si farà riferimento a tre dettagli tipologici di classe 56, 80 e 90 ritenuti rappresentativi dei dettagli previsti per l'impalcato metallico. A tali dettagli si associa una curva S-N riferita alle tensioni nominali e pertanto ad esse si fa riferimento.

Le resistenze a fatica dei dettagli tipici sono:

Dettaglio 80: per le giunzioni previste per realizzare il collegamento degli irrigidimenti verticali.

80 (a) 71 (b)			<p>Attaghi trasversali</p> <p>6) Saldati a una piastra</p> <p>7) Nervature verticali saldate a un profilo o a una trave composta</p> <p>8) Diagrammi di travi a cassone composte, saldati all'anima o alla piattabanda</p> <p>(a) $\ell \leq 50$ mm (b) $50 < \ell \leq 80$ mm</p> <p>Le classi sono valide anche per nervature anulari</p>	<p>6) e 7) Le parti terminali delle saldature devono essere molate accuratamente per eliminare tutte le rientranze presenti</p> <p>7) Se la nervatura termina nell'anima, $\Delta\sigma$ deve essere calcolato usando le tensioni principali</p>
------------------	--	--	---	---

Caratteristiche resistenziali del dettaglio a fatica

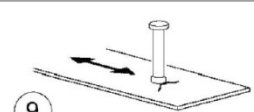
$$\Delta\sigma_C = 80 \text{ MPa}$$

classe del particolare: limite di fatica per 2×10^6 cicli

$$\Delta\sigma_D = 0.737 \Delta\sigma_C = 58.96 \text{ MPa}$$

limite di fatica ad ampiezza costante per 5×10^6 cicli

Dettaglio 80: effetto saldatura del piolo

80		<p>9) Effetto della saldatura del piolo sul materiale base della piastra</p>	
----	---	--	--

Caratteristiche resistenziali del dettaglio a fatica

$$\Delta\sigma_C = 80 \text{ MPa}$$

classe del particolare: limite di fatica per 2×10^6 cicli

$$\Delta\sigma_D = 0.737 \Delta\sigma_C = 58.96 \text{ MPa}$$

limite di fatica ad ampiezza costante per 5×10^6 cicli

PROGETTAZIONE ATI:

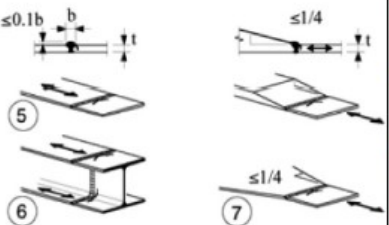
GPI INGEGNERIA
 GESTIONE PROGETTI INGEGNERIA srl


cooprogetti


engeko


AIM
 Studio di Architettura e Ingegneria Moderna

Dettaglio 90: per le giunzioni previste per realizzare il collegamento fra le anime e piattabande di due conci successivi.

90	 <p>$\leq 0.1b$ b t</p> <p>$\leq 1/4$</p> <p>$\leq 1/4$</p> <p>5) Giunti trasversali in piatti e lamiere 6) Giunti trasversali completi di profili laminati, in assenza di lunette di scarico 7) Giunti trasversali di lamiere e piatti con rastremazioni in larghezza e spessore con pendenza non maggiore di 1:4.</p> <p>Nelle zone di transizione gli intagli nelle saldature devono essere eliminati</p> <p>Per spessori $t > 25$ mm, si deve adottare una classe ridotta del coefficiente</p> <p>$k_s = (25/t)^{0.2}$</p>	<p>Saldature senza piatto di sostegno</p> <p>5) Giunti trasversali in piatti e lamiere 6) Giunti trasversali completi di profili laminati, in assenza di lunette di scarico 7) Giunti trasversali di lamiere e piatti con rastremazioni in larghezza e spessore con pendenza non maggiore di 1:4.</p> <p>Nelle zone di transizione gli intagli nelle saldature devono essere eliminati</p> <p>Per spessori $t > 25$ mm, si deve adottare una classe ridotta del coefficiente</p> <p>$k_s = (25/t)^{0.2}$</p>	<p>Saldature effettuate da entrambi i lati e sottoposte a controlli non distruttivi</p> <p>Sovraspessore di saldatura non maggiore del 10% della larghezza del cordone, con zone di transizione regolari</p> <p>Le saldature devono essere iniziate e terminate su tacchi d'estremità, da rimuovere una volta completata la saldatura</p> <p>I bordi esterni delle saldature devono essere molati in direzione degli sforzi</p> <p>Le saldature dei dettagli 5) e 7) devono essere eseguite in piano</p>
----	---	---	--

Caratteristiche resistenziali del dettaglio a fatica

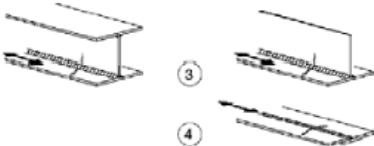
$$\Delta\sigma_c = 90 \text{ MPa}$$

classe del particolare: limite di fatica per 2×10^6 cicli

$$\Delta\sigma_d = 0.737 \Delta\sigma_c = 66.33 \text{ MPa}$$

limite di fatica ad ampiezza costante per 5×10^6 cicli

Dettaglio 112 : per le giunzioni previste per realizzare il collegamento fra le anime e la piattabanda.

112	 <p>3) Saldatura automatica a cordoni d'angolo o a piena penetrazione effettuata da entrambi i lati, ma contenente punti di interruzione/ripresa.</p> <p>4) Saldatura automatica a piena penetrazione su piatto di sostegno, non contenente punti di interruzione/ripresa</p>	<p>4) Se il dettaglio contiene punti di interruzione/ripresa, si deve far riferimento alla classe 100</p>
-----	--	---

Caratteristiche resistenziali del dettaglio a fatica

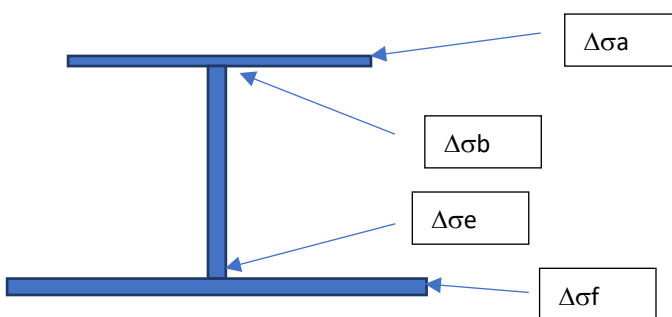
$$\Delta\sigma_c = 112 \text{ MPa}$$

classe del particolare: limite di fatica per 2×10^6 cicli

$$\Delta\sigma_d = 0.737 \Delta\sigma_c = 82.54 \text{ MPa}$$

limite di fatica ad ampiezza costante per 5×10^6 cicli

Si riportano di seguito le tensioni ed i tassi di sfruttamento a fatica per i dettagli considerati:



PROGETTAZIONE ATI:

GPI INGEGNERIA

GESTIONE PROGETTI INGEGNERIA srl



cooprogetti



ANIM
Studio di Architettura e Ingegneria Moderna

E78 GROSSETO – FANO
TRATTO NODO DI AREZZO – SELCI – LAMA (E45)
ADEGUAMENTO A QUATTRO CORSIE DEL TRATTO SAN ZENO – AREZZO – PALAZZO DEL PERO, 1° LOTTO
(FI508)

OPERE D'ARTE MAGGIORI – ASSE COLLEGAMENTO PALAZZO DEL PERO - VI.10 - VIADOTTO SCOPETONE

	sez.	1	2	3	4	
$\Delta\sigma$ - piattabande	$\Delta\sigma(A)$	$\Delta\sigma(F)$	11.73	31.79	11.70	36.76
$\Delta\sigma$ - anima	$\Delta\sigma(B)$	$\Delta\sigma(E)$	11.30	31.14	10.98	35.79
FATICA_calcolata Giunto piattabande	$\Delta\sigma C$	90	49.13	47.37	47.37	44.73
	k ampli,sup	k ampli,inf	1.00	0.96	0.96	0.91
	η		0.24	0.67	0.25	0.82
FATICA_calcolata giunto d'anima	$\Delta\sigma C$	90	49.13	49.13	49.13	49.13
	k ampli,sup	k ampli,inf	1.00	1.00	1.00	1.00
	η		0.23	0.63	0.22	0.73
FATICA_calcolata collegamento anima piattabanda	$\Delta\sigma C$	112	61.14	58.95	58.95	55.66
	k ampli,sup	k ampli,inf	1.00	0.96	0.96	0.91
	η		0.19	0.54	0.20	0.66
FATICA_calcolata irrigidimenti trasversali	$\Delta\sigma C$	80	43.67	43.67	43.67	43.67
		η	0.27	0.73	0.27	0.84
					0.26	0.90

	sez.	5	6	7	8	
$\Delta\sigma$ - piattabande	$\Delta\sigma(A)$	$\Delta\sigma(F)$	6.00	27.88	-0.59	12.71
$\Delta\sigma$ - anima	$\Delta\sigma(B)$	$\Delta\sigma(E)$	5.56	27.16	-0.86	12.44
FATICA_calcolata Giunto piattabande	$\Delta\sigma C$	90	44.73	40.59	44.73	44.73
	k ampli,sup	k ampli,inf	0.91	0.83	0.91	0.91
	η		0.13	0.69	0.01	0.28
FATICA_calcolata giunto d'anima	$\Delta\sigma C$	90	48.75	48.75	49.13	49.13
	k ampli,sup	k ampli,inf	0.99	0.99	1.00	1.00
	η		0.11	0.56	0.02	0.25
FATICA_calcolata collegamento anima piattabanda	$\Delta\sigma C$	112	55.66	50.51	55.66	55.66
	k ampli,sup	k ampli,inf	0.91	0.83	0.91	0.91
	η		0.11	0.55	-0.01	0.23
FATICA_calcolata irrigidimenti trasversali	$\Delta\sigma C$	80	43.67	43.67	43.67	43.67
		η	0.14	0.64	-0.01	0.29
					0.17	0.66

	sez.	9	10	11	12	
$\Delta\sigma$ - piattabande	$\Delta\sigma(A)$	$\Delta\sigma(F)$	6.82	24.93	7.58	26.78
$\Delta\sigma$ - anima	$\Delta\sigma(B)$	$\Delta\sigma(E)$	6.58	24.69	7.32	26.52
FATICA_calcolata Giunto piattabande	$\Delta\sigma C$	90	44.73	44.73	44.73	44.73
	k ampli,sup	k ampli,inf	0.91	0.91	0.91	0.91
	η		0.15	0.56	0.17	0.60
FATICA_calcolata giunto d'anima	$\Delta\sigma C$	90	49.13	49.13	49.13	49.13
	k ampli,sup	k ampli,inf	1.00	1.00	1.00	1.00
	η		0.13	0.50	0.15	0.54
FATICA_calcolata collegamento anima piattabanda	$\Delta\sigma C$	112	55.66	55.66	55.66	55.66
	k ampli,sup	k ampli,inf	0.91	0.91	0.91	0.91
	η		0.12	0.45	0.14	0.48
FATICA_calcolata irrigidimenti trasversali	$\Delta\sigma C$	80	43.67	43.67	43.67	43.67
		η	0.16	0.57	0.17	0.61
					0.08	0.43

18. SOLETTA D'IMPALCATO

La soletta d'impalcato ha una larghezza variabile, per la verifica si considera la sua maggiore estensione sulla pila P2 in cui ha la seguente geometria:

- Larghezza totale di 15.37m

- cordoli laterali da 75cm

- larghezza singola carreggiata da 13.87m

La dimensione degli sbalzi laterali della soletta sono pari a 1.98 m e l'interasse delle travi è 3.8m.

PROGETTAZIONE ATI:

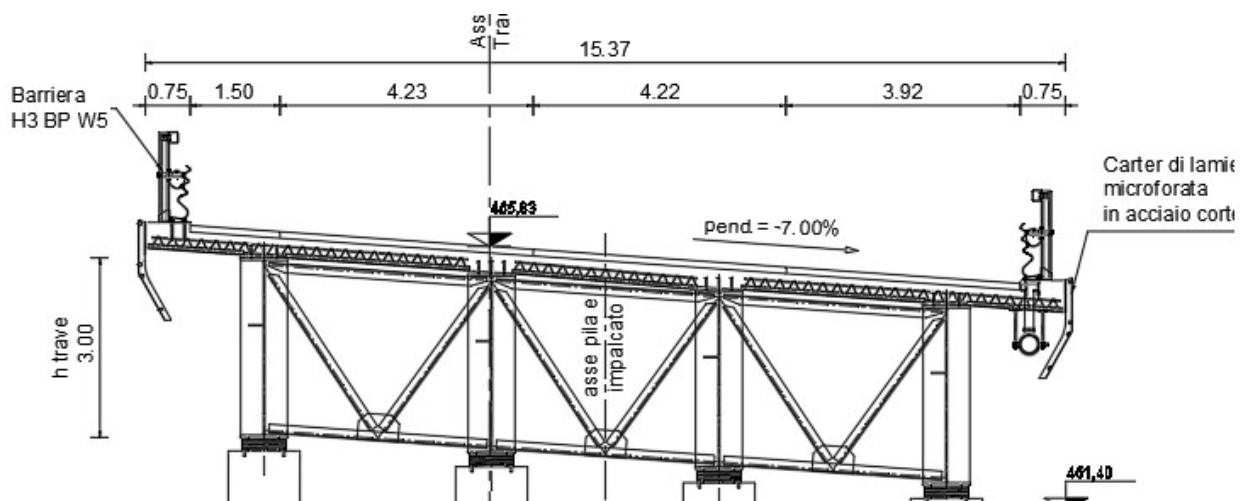
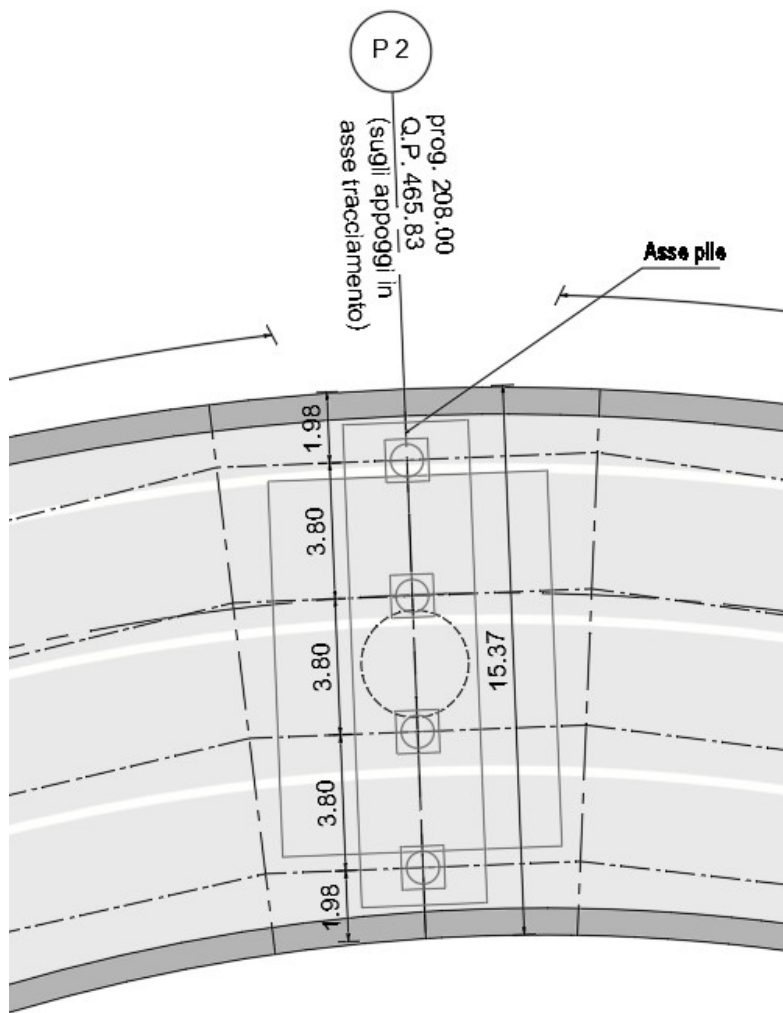
GPI INGEGNERIA
GESTIONE PROGETTI INGEGNERIA srl


cooprogetti


engeko


AIM
Studio di Architettura e Ingegneria Moderna

Pag. 153 di
240



La soletta d'impalcato, avente spessore complessivo pari a 32 cm, viene realizzata mediante getto in opera su predalles collaboranti, aventi spessore 70 mm. Le predalles sono armate con idonei tralicci per sostenere la fase di getto.

PROGETTAZIONE ATI:

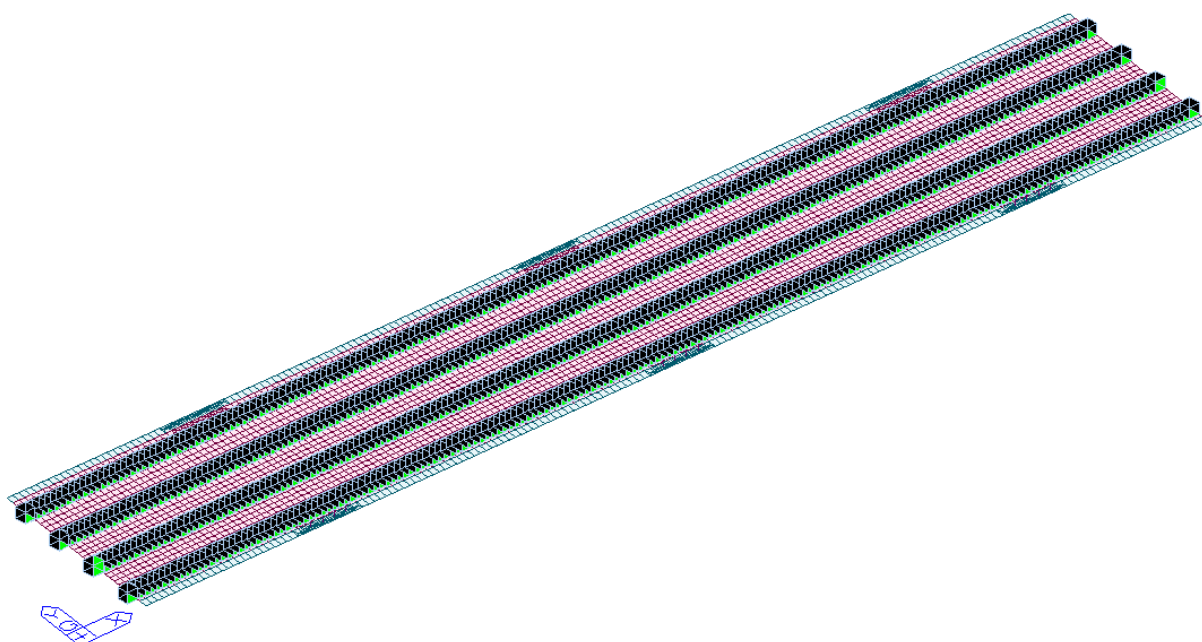
GPI INGEGNERIA
GESTIONE PROGETTI INGEGNERIA srl

cooprogetti

18.1. DETERMINAZIONE DELLE SOLLECITAZIONI

Per la determinazioni degli stati di sollecitazione è stato realizzato il modello della soletta con elementi bidimensionali “plate” con luna lunghezza tale da non essere influenzato dagli effetti di bordo.

Le travi sono considerate come punti fissi.



I riferimenti normativi per le verifiche condotte sono da individuarsi come segue:

- Le verifiche di resistenza a flessione sono condotte ai sensi del par. 4.1.2.1.2.4 del DM 17.1.2018;

Verifica della fase di getto

Si riporta la verifica della predalle nella configurazione più sfavorevo di interasse pari a 3.8m e sbalzo massimo di 2m

Larghezza modulo verifica direzione principale (con tralicci)	B_1	2400 mm
Larghezza modulo verifica direzione secondaria (senza tralicci)	B_2	1000 mm
Spessore totale (incluso predalle)	H	320 mm
Lastra predalle	Presente? VERO	Materiale cls
		H_p 70 mm
Traliccio tipo 1	12/16/10, H205	Corr.inf. φ12
		Corr.sup. φ16
		Parete φ10
		Htot 205 mm

PROGETTAZIONE ATI:

GPI INGEGNERIA

GESTIONE PROGETTI INGEGNERIA srl


cooprogetti




 Studio di Architettura e Ingegneria Moderna

Dati geometrici						
Tipo di schema statico	B		sbalzo + campata			
Larghezza totale	5.80	m				
Larghezza marciapiede/cordolo sx	0.00	m				
Spessore aggiuntivo sx	0	cm				
	0.00	m				
	0	cm				
Sbalzo complessivo soletta sx	2.00	m				
Sbalzo getto sx MAX	2.00	1.25 m				
Interasse travi		3.80 m				
	MAX	0.00 m				
		0.00 m				
		0.00 m				
Spessore totale fondello	7.0	cm				
Materiale fondello	cls					
Spessore totale soletta	32	cm				
Spessore getto	25.0	cm				
Interasse predalles	2.40	m				
Numero tralicci / predalle (campata)	6	-	Tipo	1	205	12 16 10
Numero tralicci / predalle (appoggio)	6	-	Tipo	1	205	12 16 10
Larghezza piattabanda superiore	60	cm				
Appoggio predalle sulle pb	5	cm	Schema statico transitorio appoggio netto			
			H [mm]	Φinf	Φsup	Φpar
						H utile [mm]



Armatura							
Considerare ferro aggiuntivo nel fondello della predalle		no	Predalle collaborante?	no			
Armatura singolo traliccio (campata)							
Corrente superiore	1	Φ16	Af,cs = 201 mm ²				
Correnti inferiori	2	Φ12	Af,ci = 226 mm ²				
Di default mettere 0	0	Φ20	Af,i1 = 0 mm ²	numero di barre aggiuntive/traliccio			
Di default mettere 0	0	Φ0	Af,i2 = 0 mm ²	numero di barre aggiuntive/traliccio			
Predalle metallica		4	0 mm ²				
Di default mettere 0			Parziale 0 mm ²				
Armatura intradosso			Af,inf = 226 mm ²				
Armatura singolo traliccio (appoggio)							
Traliccio, superiore	1	Φ16	Af = 201 mm ²				
Traliccio, inferiore	2	Φ12	Af = 226 mm ²				
Di default mettere 0	0	Φ16	Af,i1 = 0 mm ²	numero di barre aggiuntive/traliccio			
Di default mettere 0	0	Φ0	Af,i2 = 0 mm ²	numero di barre aggiuntive/traliccio			
Predalle metallica		0	0 mm ²				
Di default mettere 0		totale	0 mm ²				
Armatura inferiore		totale	226 mm ²				
			79				
Tralicciatura di parete	2	Φ10.0	passo 200 mm	base	108 mm		

Carichi			
Peso proprio fondello	Valori caratt/m ²	Valori caratt/predalle	Valori SLU/predalle
	1.75 kN/m ²	4.20 kN/m	5.67 kN/m
Peso getto integrativo	6.25 kN/m ²	15.00 kN/m	20.25 kN/m
Eventuale carico accidentale	1.00 kN/m ²	2.40 kN/m	3.60 kN/m
Carico totale	9.00 kN/m ²	21.60 kN/m	29.52 kN/m
Carico totale z.esterna al getto	2.75 kN/m ²	6.60 kN/m	9.27 kN/m
Caratteristiche della sollecitazione (per singola predalle)			
Momento in campata transitorio, SLU	39.0 kNm	<i>calcolato in semplice appoggio sulla luce maggiore</i>	
Momento in campata a getto finito, SLU	25.4 kNm		
Momento sull'appoggio, SLU	-30.0 kNm	Momento sullo sbalzo, SLU	-59.04 kNm
Taglio sull'appoggio, SLU	57.2 kN		

Verifiche di resistenza e stabilità 1a fase					
Campata					
Fmax corr.superiore (singolo traliccio)	-32 kN	σ_s, sup	-158 MPa	σ_s	-103 MPa SLE ($\gamma=1$)
Fmax corr.inferiore (singolo traliccio)	32 kN	σ_s, inf	140 MPa	σ_s	91 MPa SLE ($\gamma=1$)
Barre superiori N,Ed sup =					
Barre inferiori	armatura traliccio	1.000	Coefficiente di ripartizione sulle barre inferiori		
	armatura aggiuntiva 1	0.000			
	armatura aggiuntiva 2	0.000			
	predalle metallica	0.000			
	N,Ed traliccio =	15.8 kN	OK!	<	55.2 kN par. 4.2.4.1.3 DM14/1/2008
	N,Ed aggiuntiva 1 =	0.0 kN			
	N,Ed aggiuntiva 2 =	0.0 kN			
	N,Ed predalle =	0.0 kN			
Appoggio					
Fmax corr.superiore (singolo traliccio)	24 kN	σ_s	121 MPa	σ_s	79 MPa SLE ($\gamma=1$)
Fmax corr.inferiore (singolo traliccio)	-24 kN	σ_s	-108 MPa	σ_s	-70 MPa SLE ($\gamma=1$)
Barra superiore	N,Ed sup =	24.4 kN	OK!	<	79 kN par. 4.2.4.1.2 DM14/1/2008
Barre inferiori	armatura traliccio	1.000	Coefficiente di ripartizione sulle barre inferiori		
	armatura aggiuntiva 1	0.000			
	armatura aggiuntiva 2	0.000			
	predalle metallica	0.000			
	N,Ed traliccio =	-12.2 kN	OK!	<	12.3 kN par. 4.2.4.1.3 DM14/1/2008
	N,Ed aggiuntiva 1 =	0.0 kN			
	N,Ed aggiuntiva 2 =	0.0 kN			
	N,Ed predalle =	0.0 kN			
Barra di parete	N,Ed parete =	-5 kN	OK!	<	17 kN par. 4.2.4.1.3 DM14/1/2008

18.1.1. CARICHI PERMANENTI

PROGETTAZIONE ATI:

GPI INGEGNERIA
GESTIONE PROGETTI INGEGNERIA srl


cooprogetti


engeko


AIM

Studio di Architettura e Ingegneria Moderna

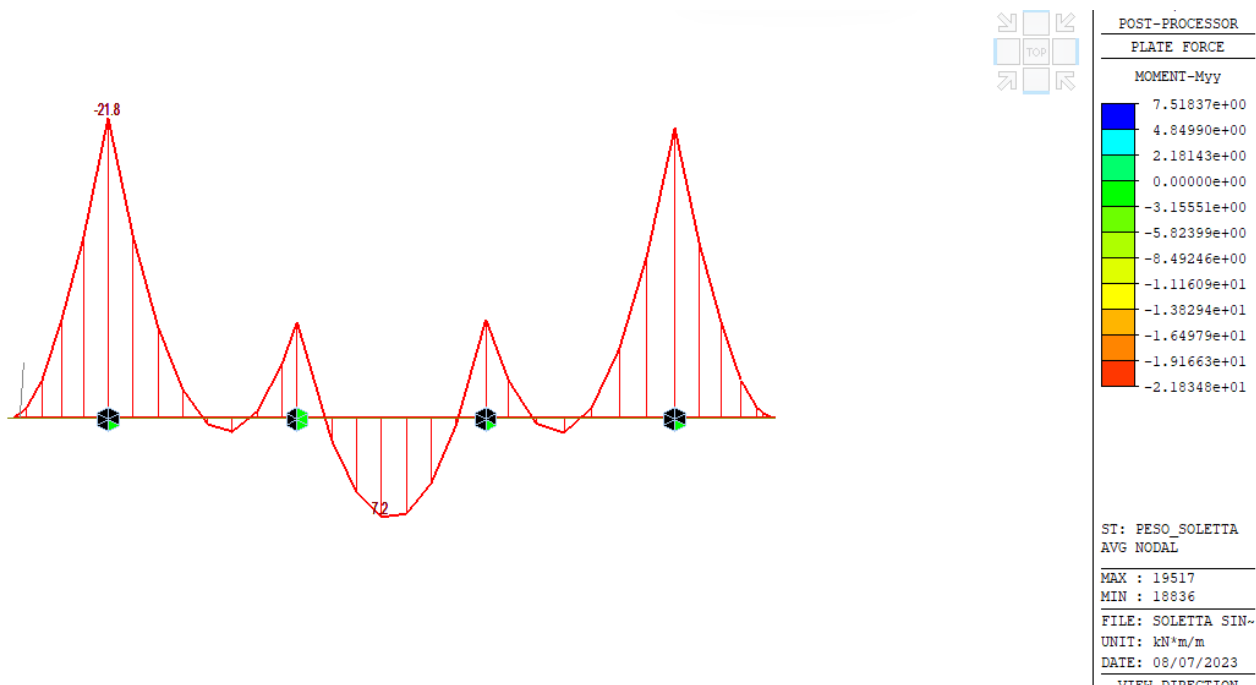


Diagramma dei momenti flettenti per carichi permanenti

-Momento negativo sulla trave esterna: -21.8 kNm/m

-Momento positivo tra le travi: 7.2 kNm/m

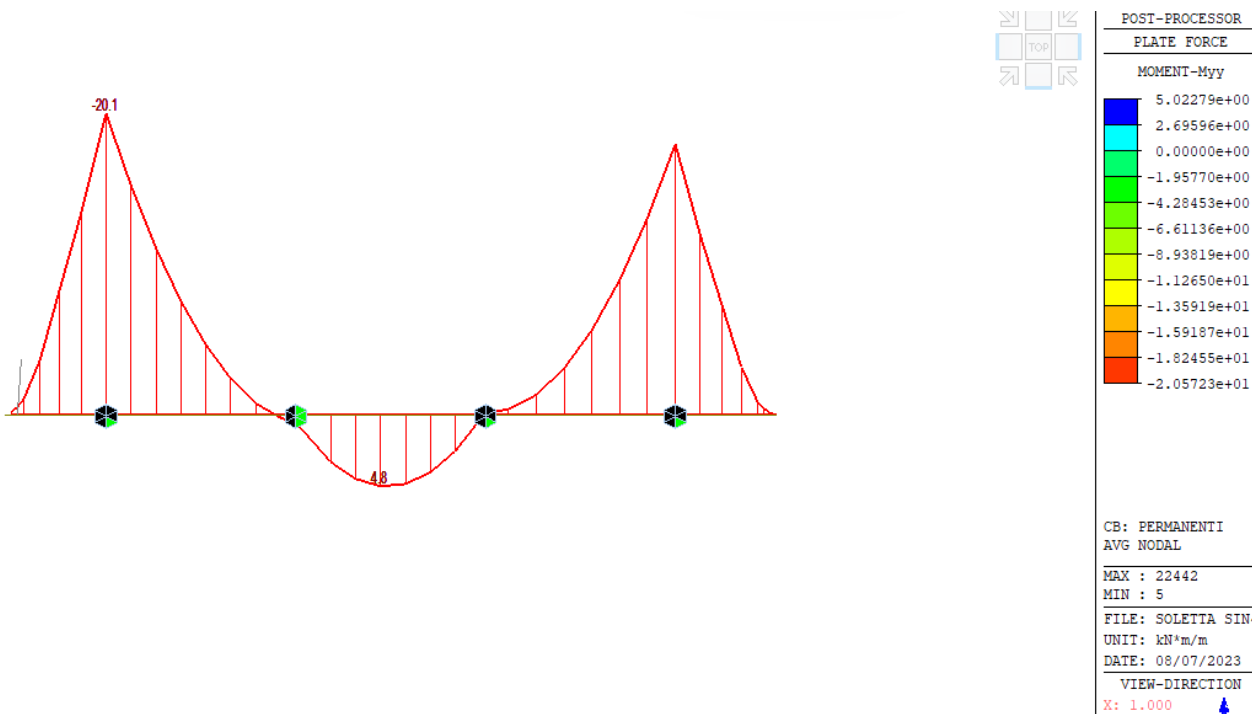


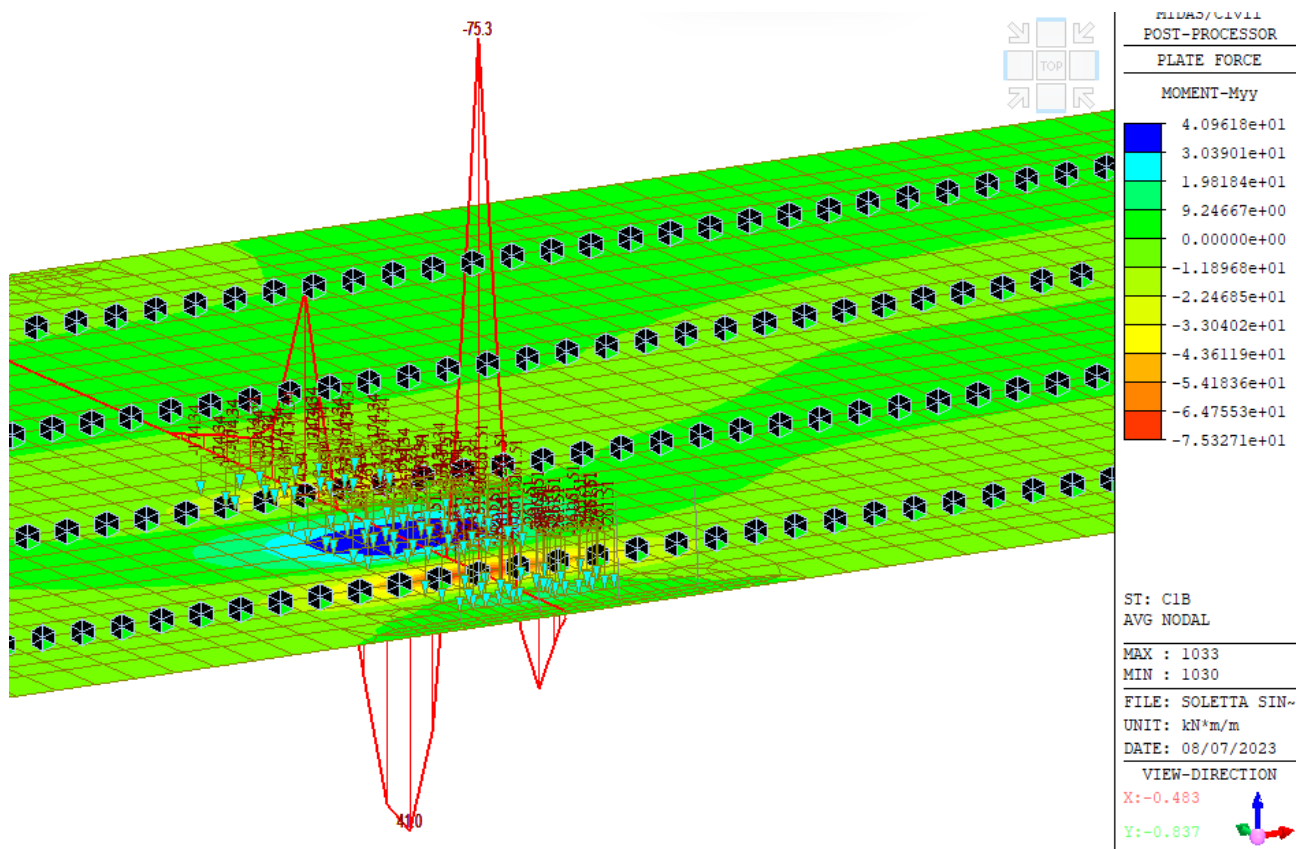
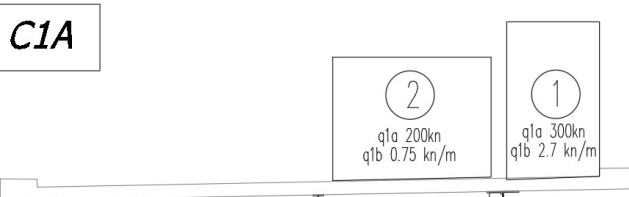
Diagramma dei momenti flettenti per carichi permanenti

-Momento negativo sulla trave esterna: -20.1 kNm/m

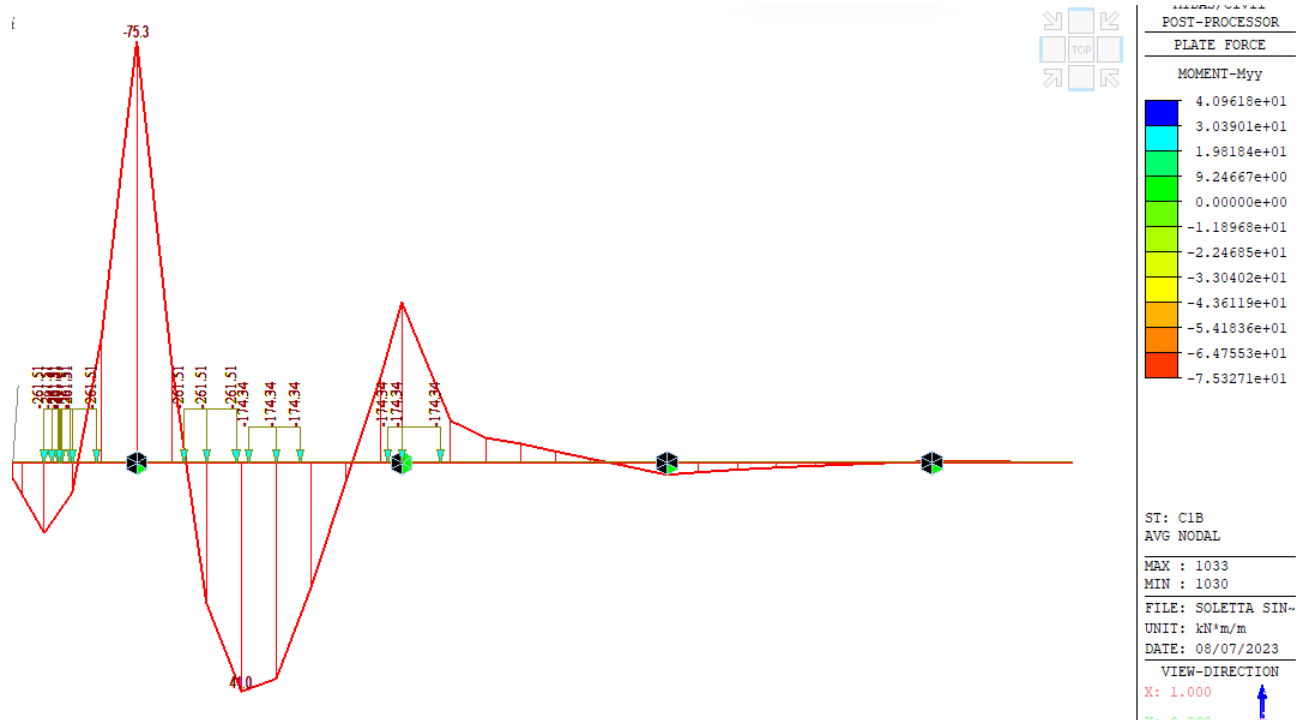
-Momento positivo tra le travi: 4.8 kNm/m

18.1.2. CONDIZIONE DI CARICO A MOMENTO NEGATIVO SULLA TRAVE ESTERNA

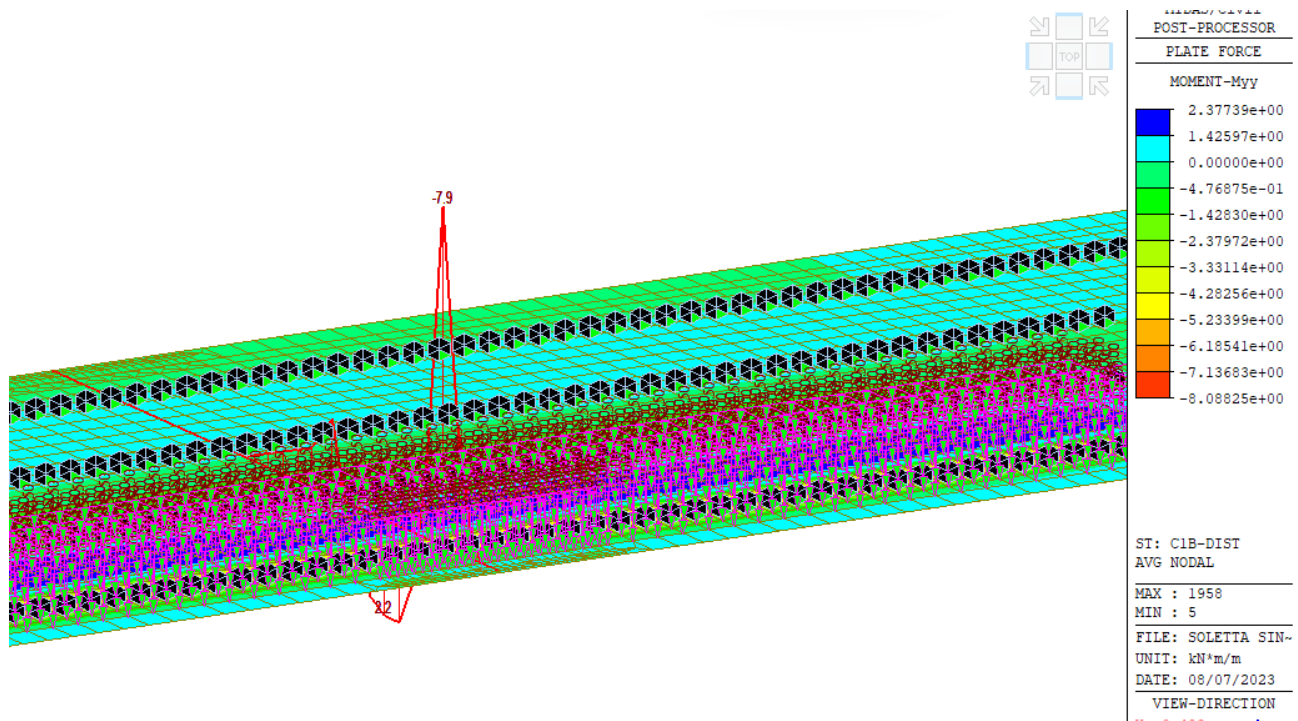
1.1.1.1 Condizione C1a



Momento negativo sulla trave esterna per effetto del carico tandem



Momento negativo sulla trave esterna per effetto del carico tandem



Momento negativo sulla trave esterna per effetto del carico distribuito

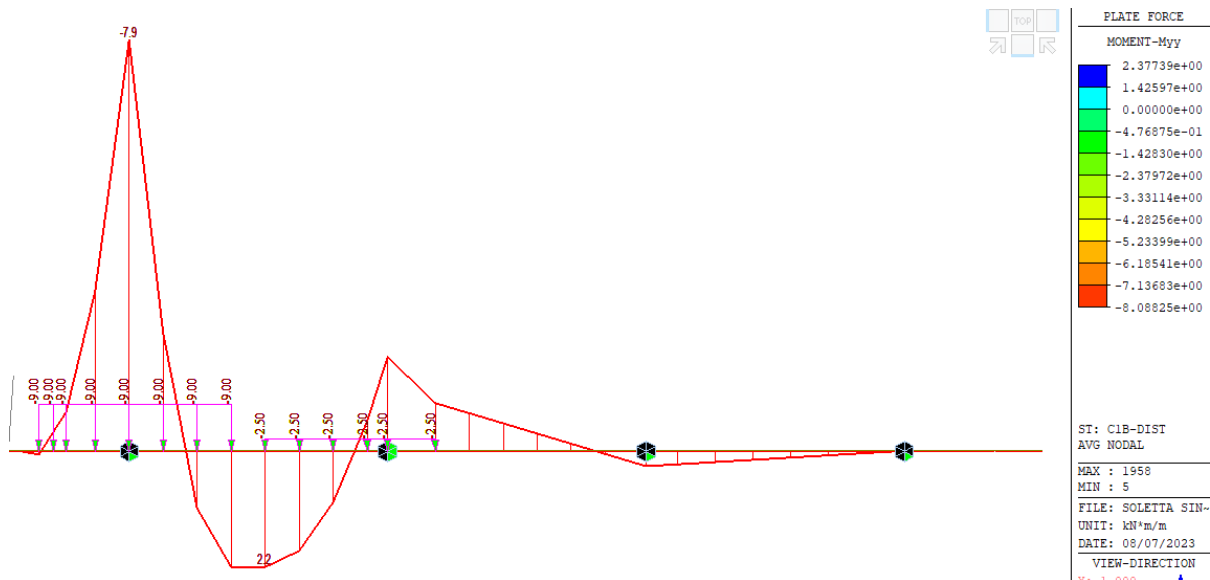
PROGETTAZIONE ATI:

GPI INGEGNERIA

GESTIONE PROGETTI INGEGNERIA srl

 **cooprogetti**

 **engeko**
Studio di Architettura e Ingegneria Moderna



Momento negativo sulla trave esterna per effetto del carico distribuito

1.1.1.1 verifica a momento negativo

Il momento negativo slu massimo è pari a:

$$M_{neg}: -21.8 \times 1.35 - 20.1 \times 1.5 - (7.9 + 75.3) \times 1.35 = -171.9 \text{ kNm/m}$$

Considerando una armatura minima all'estradosso di 5Ø24/m

Titolo : []		N° strati barre [2] Zoom	
N°	b [cm]	h [cm]	
1	100	32	
		N° strati barre [2] Zoom	
N°	As [cm²]	d [cm]	
1	22.62	5	
2	15.71	28	
Sollecitazioni		P.t. applicazione N	
S.L.U. → Metodo n		Centro Baricentro cls	xN [] yN []
N Ed	0	0	kN
M xEd	-172	0	kNm
M yEd	0	0	
		Coord.[cm]	xN [] yN []
Tipo rottura Lato calcestruzzo - Acciaio snervato			
Materiali		M Rd [-219] kN m	
B450C	C35/45	σc [-19.83] N/mm²	σs [391.3] N/mm²
εsu 67.5 %	εc2 2 %	εc 3.5 %	εs 17.01 %
fyd 391.3 N/mm²	εcu 3.5		
E_s 200,000 N/mm²	f_cd 19.83		
E_s/E_c 15	f_cc / f_cd 0.9		
εsyd 1.957 %	σc,adm [13.5]		
σs,adm 255 N/mm²	τco 0.8		
	τc1 2.257		
Metodo di calcolo			
S.L.U.+ S.L.U.-		Metodo n	
Tipo flessione			
Retta Deviata			
		N° rett. [100]	
		Calcola MRd	Dominio M-N
		L_0 [0] cm	Col. modello
			M-curvatura
<input type="checkbox"/> Precompresso			

PROGETTAZIONE ATI:

GPI INGEGNERIA

GESTIONE PROGETTI INGEGNERIA srl

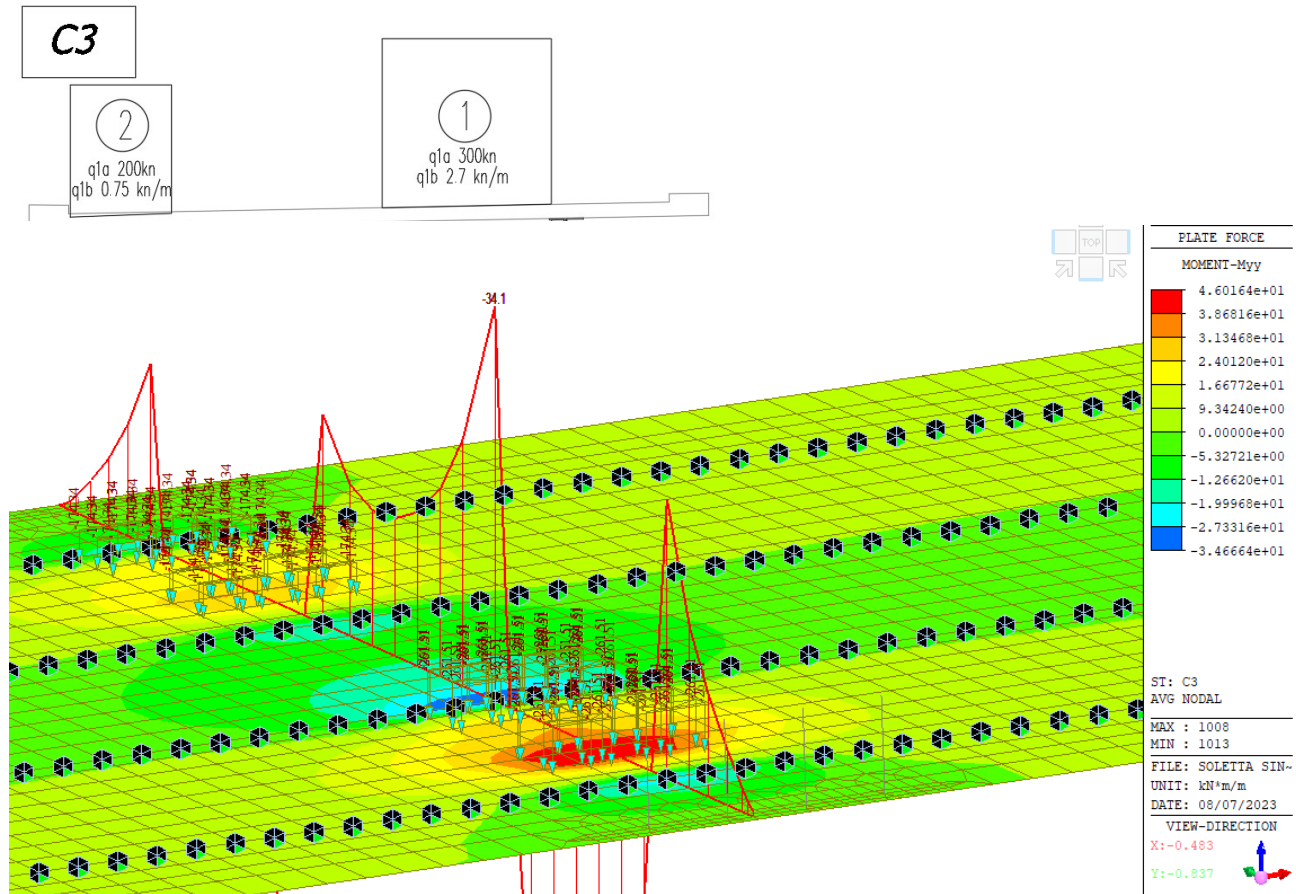

cooprogetti



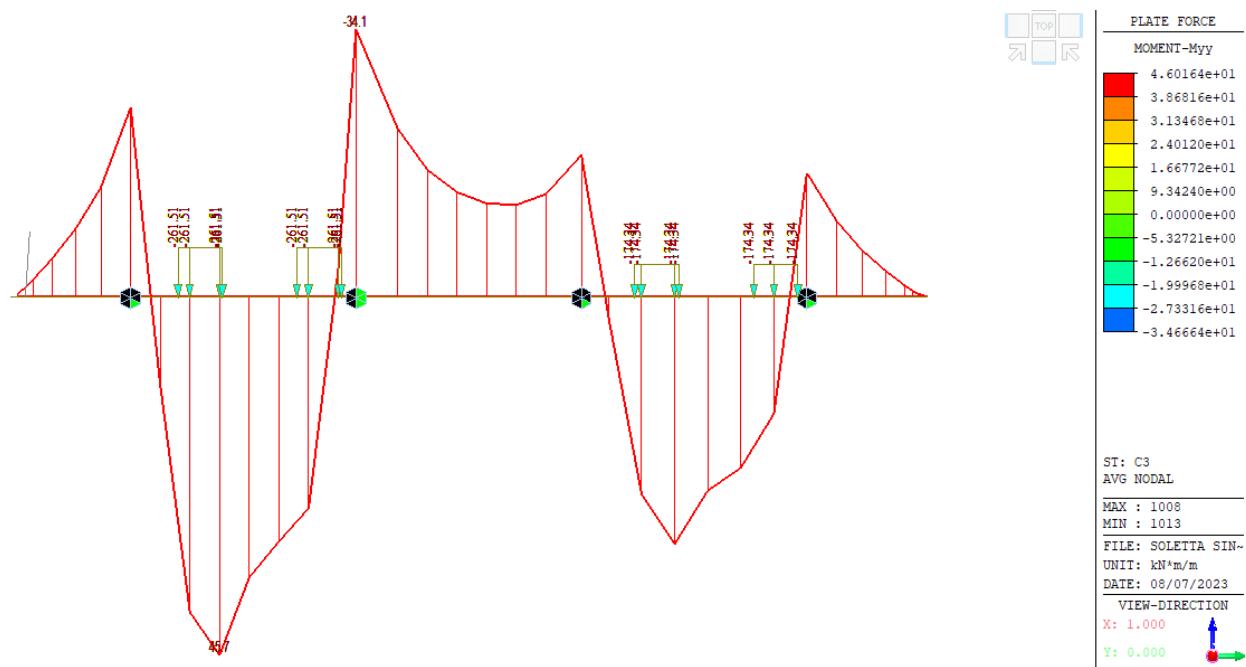

 Studio di Architettura e Ingegneria Moderna

18.1.3. CONDIZIONE DI CARICO A MOMENTO POSITIVO

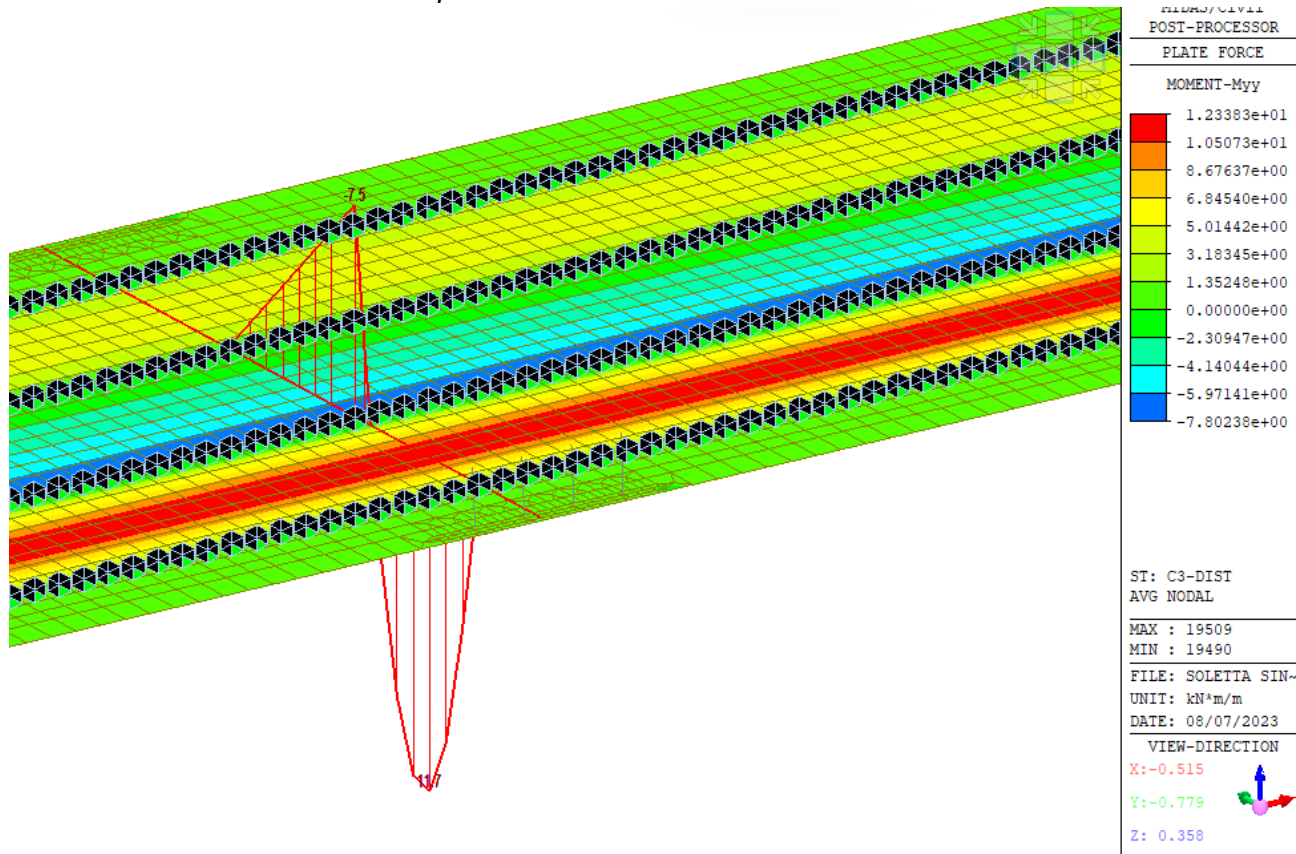
1.1.1.2 Condizione C3



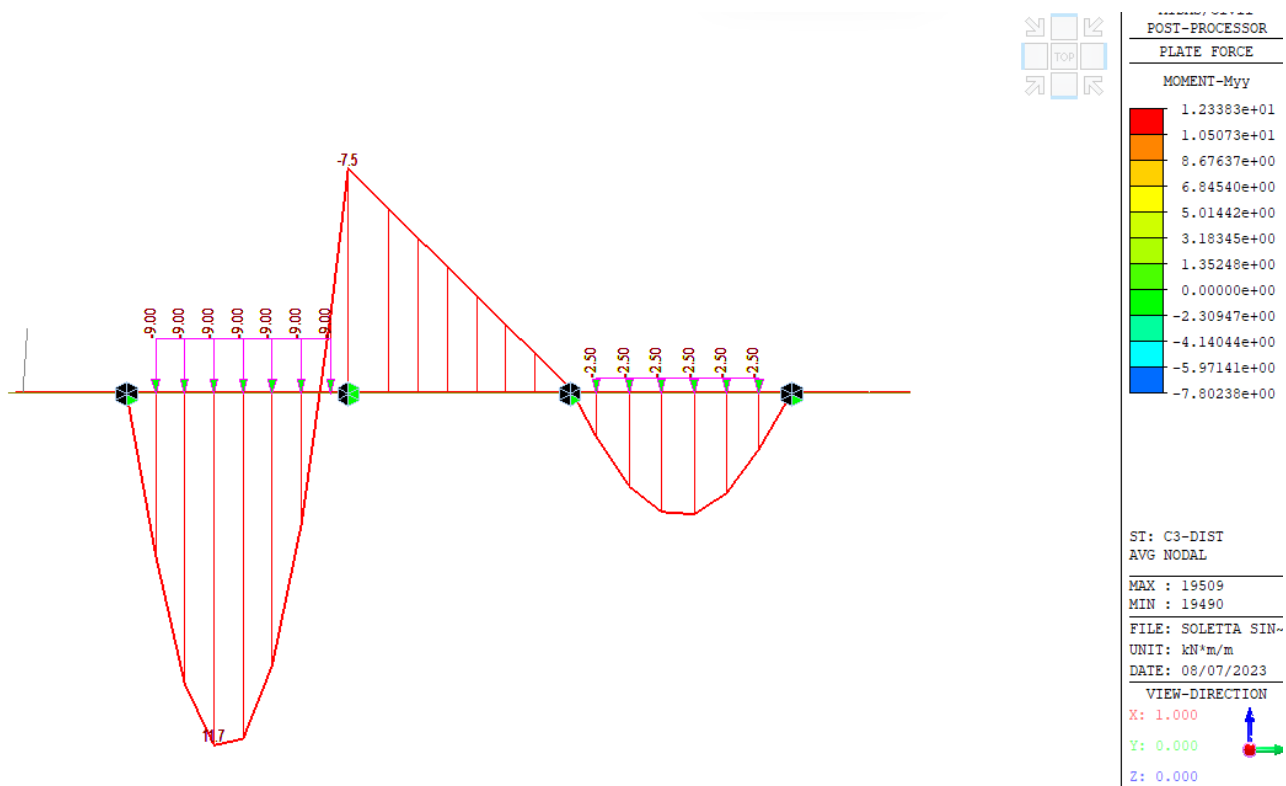
Andamento dei momenti flettenti per effetto del carico mobile - tandem



Andamento dei momenti flettenti per effetto del carico mobile – tandem



Andamento dei momenti flettenti per effetto del carico mobile – distribuiti



Andamento dei momenti flettenti per effetto del carico mobile – distribuiti

1.1.1.3 verifica a momento positivo

Il momento positivo sul massimo è pari a:

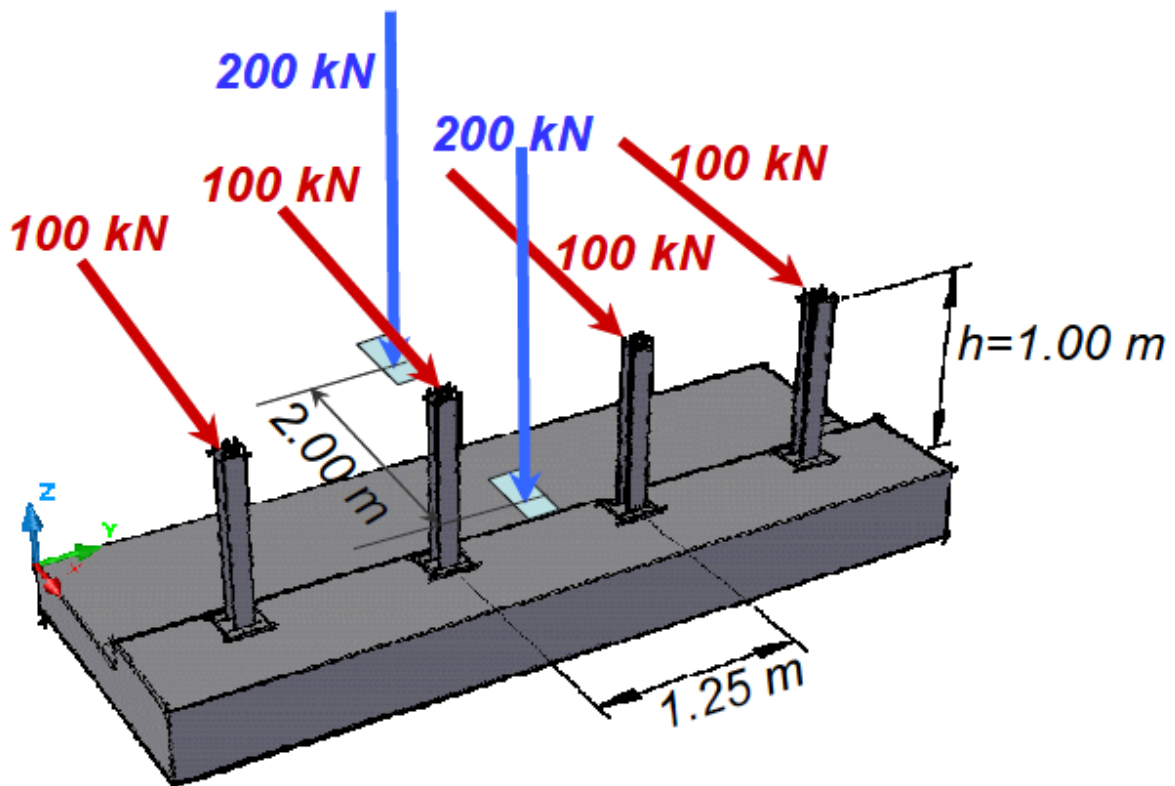
$$M_{\text{pos}}: 7.2 \times 1.35 + 4.8 \times 1.5 + (12 + 46) \times 1.35 = 95.2 \text{ kNm/m}$$

Si considera una armatura minima all'intradosso di 5Ø20/m.

<p>Titolo : []</p>	N° strati barre [2] Zoom	<div style="border: 1px solid black; padding: 5px; margin-bottom: 10px;"> Tipo Sezione <input checked="" type="radio"/> Rettang.re <input type="radio"/> Trapezi <input type="radio"/> a T <input type="radio"/> Circolare <input type="radio"/> Rettangoli <input type="radio"/> Coord. <input type="radio"/> DXF </div> <div style="border: 1px solid black; padding: 5px; margin-bottom: 10px;"> P.ti applicazione N <input checked="" type="radio"/> Centro <input type="radio"/> Baricentro cls <input type="radio"/> Coord.[cm] xN [0] yN [0] </div> <div style="border: 1px solid black; padding: 5px; margin-bottom: 10px;"> Sollecitazioni S.L.U. Metodo n <table border="1" style="width: 100%; border-collapse: collapse;"> <tr> <td style="width: 50%;">N_{Ed} [0]</td> <td style="width: 50%;">0 kN</td> </tr> <tr> <td>M_{xEd} [96]</td> <td>0 kNm</td> </tr> <tr> <td>M_{yEd} [0]</td> <td>0</td> </tr> </table> </div> <div style="border: 1px solid black; padding: 5px; margin-bottom: 10px;"> Punto di applicazione N <input checked="" type="radio"/> Centro <input type="radio"/> Baricentro cls <input type="radio"/> Coord.[cm] xN [0] yN [0] </div> <div style="border: 1px solid black; padding: 5px; margin-bottom: 10px;"> Lato calcestruzzo - Acciaio snervato </div> <div style="border: 1px solid black; padding: 5px; margin-bottom: 10px;"> Materiali <table border="1" style="width: 100%; border-collapse: collapse;"> <tr> <td style="width: 50%;">B450C</td> <td style="width: 50%;">C35/45</td> </tr> <tr> <td>ε_{su} [67.5] %</td> <td>ε_{c2} [2] %</td> </tr> <tr> <td>f_{yd} [391.3] N/mm²</td> <td>ε_{cu} [3.5]</td> </tr> <tr> <td>E_s [200,000] N/mm²</td> <td>f_{cd} [19.83]</td> </tr> <tr> <td>E_s / E_c [15]</td> <td>f_{cc} / f_{cd} [0.8]</td> </tr> <tr> <td>ε_{syd} [1.957] %</td> <td>σ_{c,adm} [13.5]</td> </tr> <tr> <td>σ_{s,adm} [255] N/mm²</td> <td>τ_{co} [0.8]</td> </tr> <tr> <td></td> <td>τ_{c1} [2.257]</td> </tr> </table> </div> <div style="border: 1px solid black; padding: 5px; margin-bottom: 10px;"> M_{xRd} [163.8] kNm </div> <div style="border: 1px solid black; padding: 5px; margin-bottom: 10px;"> σ_c [-19.83] N/mm² σ_s [391.3] N/mm² ε_c [3.5] % ε_s [18.72] % </div> <div style="border: 1px solid black; padding: 5px; margin-bottom: 10px;"> d [28] cm x [4.411] x/d [0.1575] δ [0.7] </div> <div style="border: 1px solid black; padding: 5px; margin-bottom: 10px;"> Metodo di calcolo <input checked="" type="radio"/> S.L.U.+ <input type="radio"/> S.L.U.- <input type="radio"/> Metodo n </div> <div style="border: 1px solid black; padding: 5px; margin-bottom: 10px;"> Tipo flessione <input checked="" type="radio"/> Retta <input type="radio"/> Deviata </div> <div style="border: 1px solid black; padding: 5px; margin-bottom: 10px;"> N° rett. [100] </div> <div style="border: 1px solid black; padding: 5px; margin-bottom: 10px;"> Calcola MRd <input type="checkbox"/> Dominio M-N <input type="checkbox"/> </div> <div style="border: 1px solid black; padding: 5px; margin-bottom: 10px;"> L₀ [0] cm Col. modello <input type="checkbox"/> M-curvatura <input type="checkbox"/> Precompresso <input type="checkbox"/> </div>	N_{Ed} [0]	0 kN	M_{xEd} [96]	0 kNm	M_{yEd} [0]	0	B450C	C35/45	ε_{su} [67.5] %	ε_{c2} [2] %	f_{yd} [391.3] N/mm ²	ε_{cu} [3.5]	E_s [200,000] N/mm ²	f_{cd} [19.83]	E_s / E_c [15]	f_{cc} / f_{cd} [0.8]	ε_{syd} [1.957] %	σ_{c,adm} [13.5]	σ_{s,adm} [255] N/mm ²	τ_{co} [0.8]		τ_{c1} [2.257]
N_{Ed} [0]	0 kN																							
M_{xEd} [96]	0 kNm																							
M_{yEd} [0]	0																							
B450C	C35/45																							
ε_{su} [67.5] %	ε_{c2} [2] %																							
f_{yd} [391.3] N/mm ²	ε_{cu} [3.5]																							
E_s [200,000] N/mm ²	f_{cd} [19.83]																							
E_s / E_c [15]	f_{cc} / f_{cd} [0.8]																							
ε_{syd} [1.957] %	σ_{c,adm} [13.5]																							
σ_{s,adm} [255] N/mm ²	τ_{co} [0.8]																							
	τ_{c1} [2.257]																							

18.1.4. CONDIZIONE DI VEICOLO IN SVIO

Per la verifica del veicolo in svio si adotta il seguente schema di 4 forze da 100kN associate allo schema di carico 2:



Schema di carico per condizioni di progetto più severe.

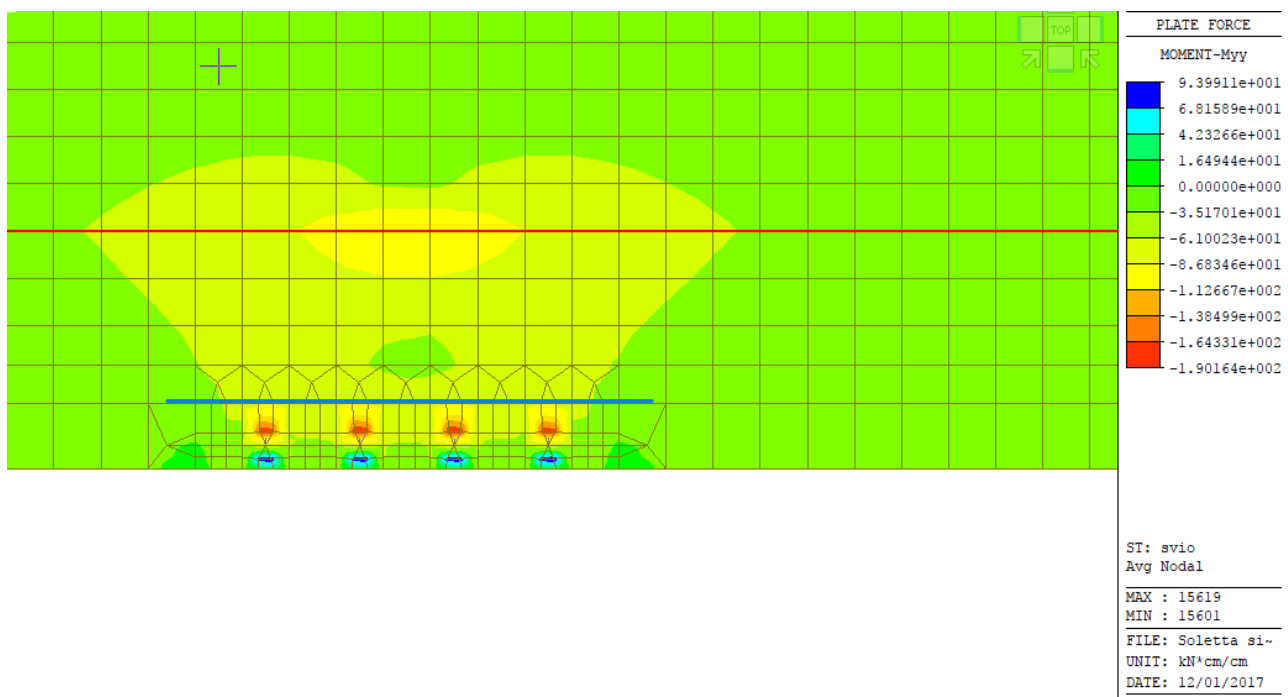


Diagramma del momento flettente (in rosso l'asse trave – in blu la sezione di spiccato del cordolo)

PROGETTAZIONE ATI:

GPI INGEGNERIA

GESTIONE PROGETTI INGEGNERIA srl

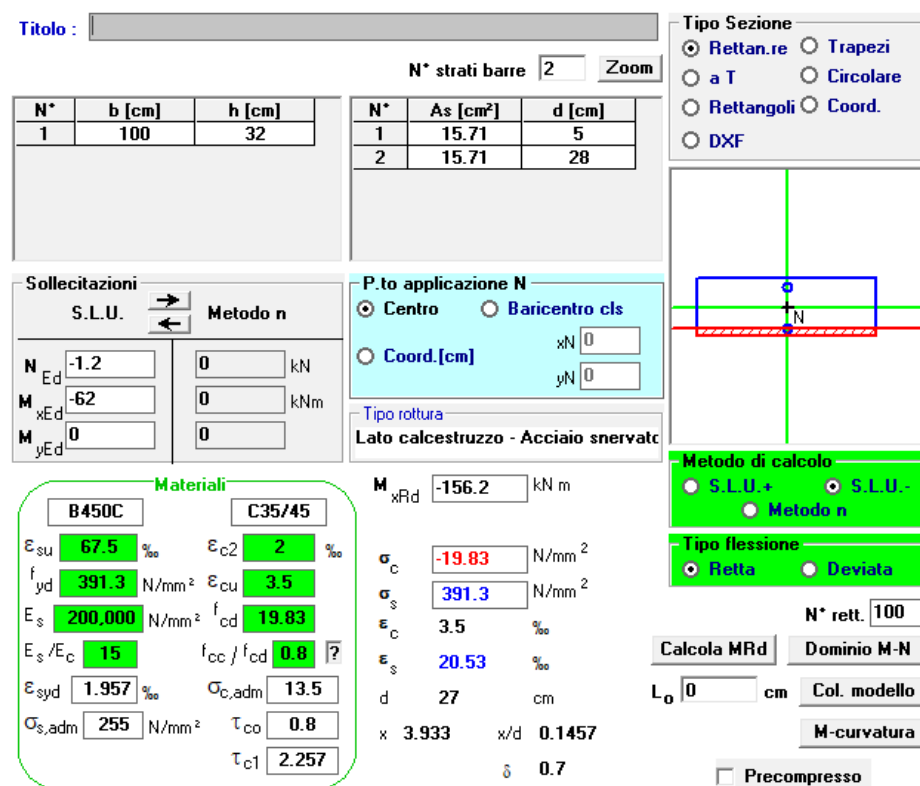
cooprogetti

engeko
Studio di Architettura e Ingegneria Moderna

Il valore del momento flettente in corrispondenza della trave è pari a 89 kNm/metro minore del valore utilizzato per verificare lo sbalzo della soletta.

In corrispondenza della sezione di spiccato la sollecitazione flettente è pari a 50 kNm/metro ed una trazione di 1.2 kN/m.

Considerando un momento flettente aggiuntivo di 12 kNm/metro dovuto ai pesi permanenti ed alla barriera si ha la seguente verifica a tenso-flessione.



19. TRAVERSI

19.1. TRAVERSO CORRENTE

Per il dimensionamento del traverso corrente si considera lo stato di sollecitazione derivante dal comportamento globale in combinazione SLU.

Diagonali

PROGETTAZIONE ATI:

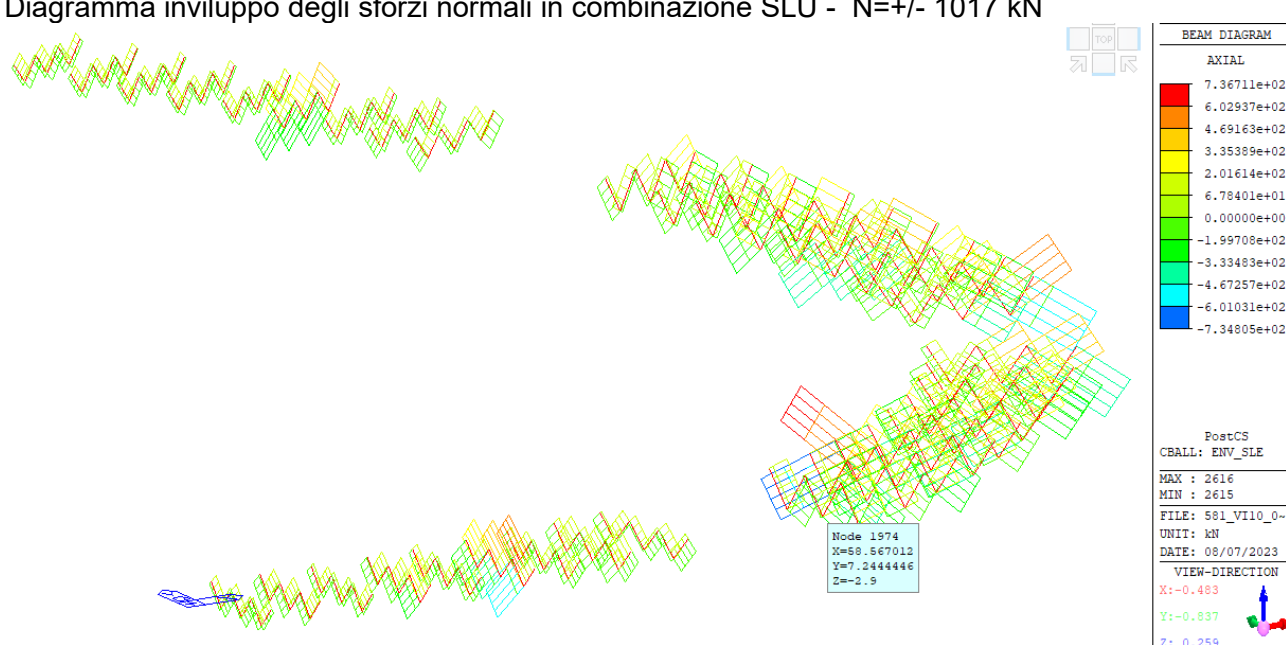
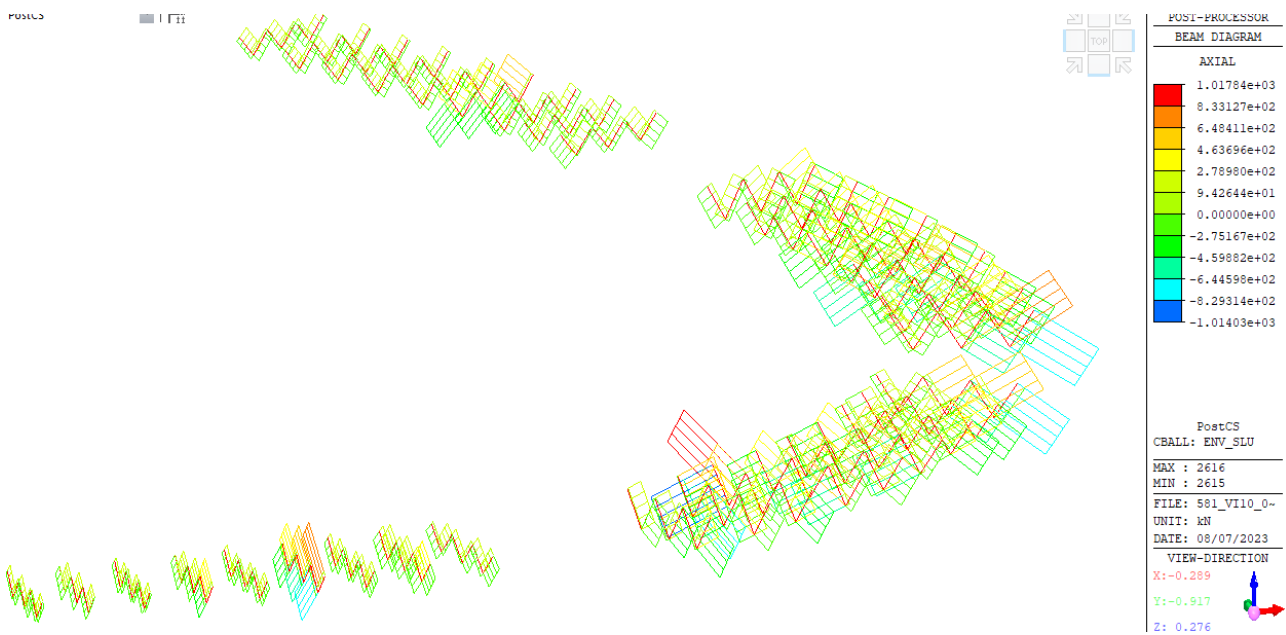
GPI INGEGNERIA

GESTIONE PROGETTI INGEGNERIA srl


cooprogetti


engeko


AIM
Studio di Architettura e Ingegneria Moderna



Correnti

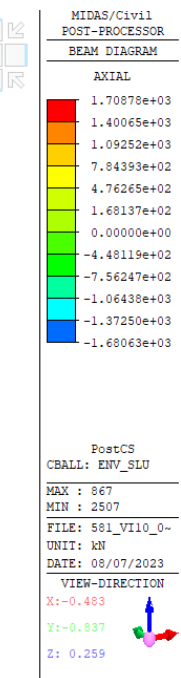
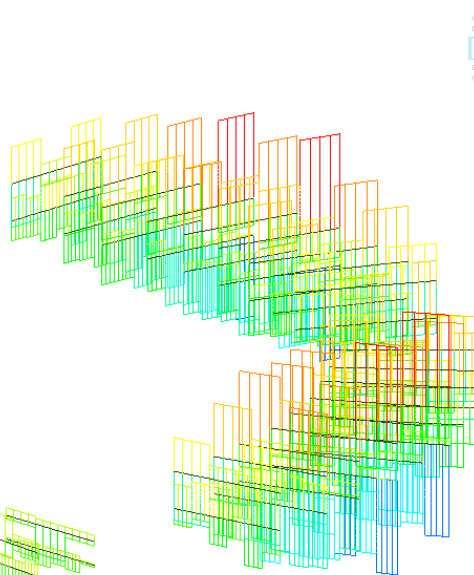
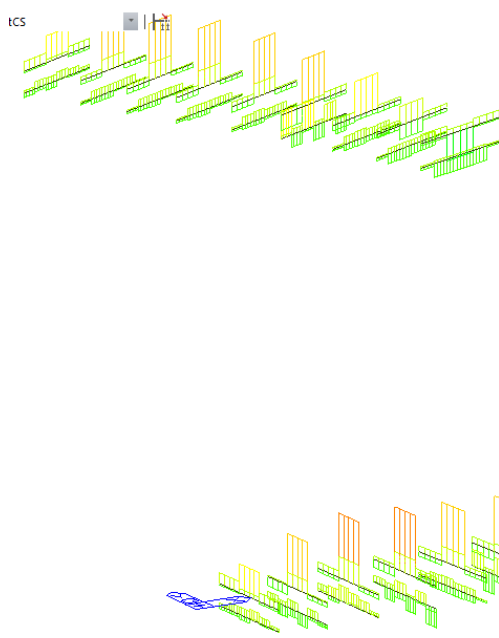


Diagramma inviluppo degli sforzi normali in combinazione SLU - N=+/- 1700 kN

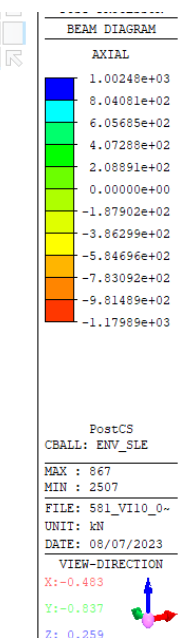
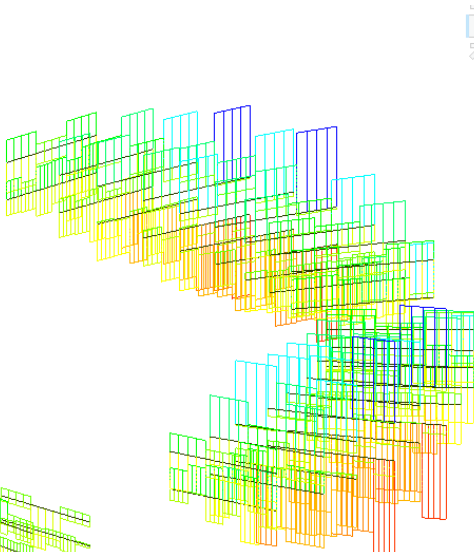
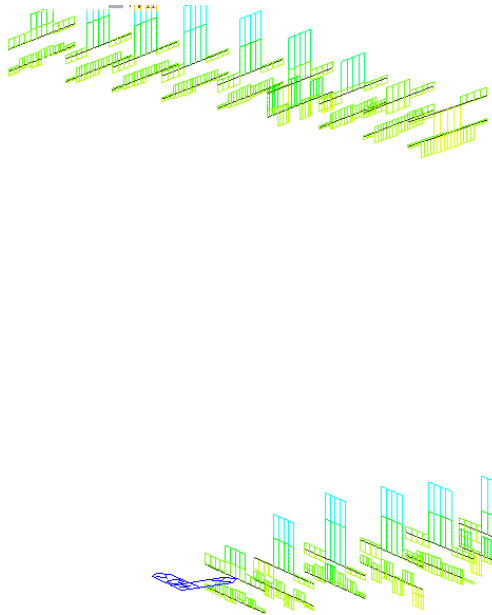
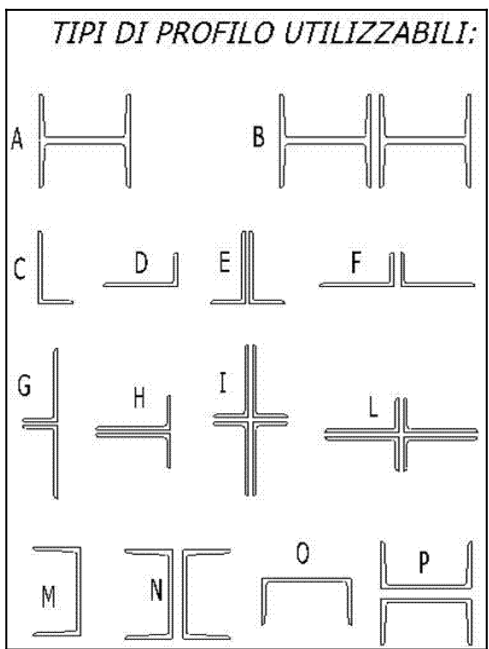


Diagramma inviluppo degli sforzi normali in combinazione SLE - N=+/- 1179 kN

Si riporta di seguito la verifica dei profili:



Legenda di composizione dei profili

DIAGONALE tipo			CORRENTE tipo		
101,700	-101,700	SLU	170,000	-170,000	SLU
73,600	-73,600	SLE variabile	73,600	-73,600	SLE variabile
RISULTATI			RISULTATI		
COMPRESIONE	OK	0.655	COMPRESIONE	OK	0.563
TRAZIONE	OK	0.436	TRAZIONE	OK	0.497
lunghezza dell'asta	300	cm	lunghezza dell'asta	380	cm
Tipo di vincolo asta	<i>entrambi i vincoli a cerniera</i>			<i>entrambi i vincoli a cerniera</i>	
profilo	L 150 x 12			profilo	L 150 x 10
Tipo composizione	E			Tipo composizione	I
<i>Due angolari accoppiati orizzontalmente</i>			<i>Quattro angolari a croce</i>		
A (singolo profilo) =	34.83	cm ²	A (singolo profilo) =	29.27	cm ²
e _x (singolo profilo) =	4.12	cm	e _x (singolo profilo) =	4.03	cm
e _y (singolo profilo) =	4.12	cm	e _y (singolo profilo) =	4.03	cm
u (singolo profilo) =	cm		u (singolo profilo) =	cm	
v (singolo profilo) =	cm		v (singolo profilo) =	cm	
J _x (singolo profilo) =	736.90	cm ⁴	J _x (singolo profilo) =	624.00	cm ⁴
J _y (singolo profilo) =	736.90	cm ⁴	J _y (singolo profilo) =	624.00	cm ⁴
J _{max} (singolo profilo) =	cm ⁴		J _{max} (singolo profilo) =	cm ⁴	
J _{min} (singolo profilo) =	cm ⁴		J _{min} (singolo profilo) =	cm ⁴	
A (composizione) =	70	cm ²	A (composizione) =	117	cm ²
J _x (composizione) =	1,474	cm ⁴	J _x (composizione) =	5,171	cm ⁴
J _y (composizione) =	3,126	cm ⁴	J _y (composizione) =	5,171	cm ⁴
J _{max} (composizione) =	3,126	cm ⁴	J _{max} (composizione) =	5,171	cm ⁴
J _{min} (composizione) =	1,474	cm ⁴	J _{min} (composizione) =	5,171	cm ⁴
Sp. piatto collegamento =	1.5	cm	Sp. piatto collegamento =	1.5	cm
Sp. profilo =	1.2	cm	Sp. profilo =	1	cm
Verifiche di stabilità di aste compresse			Verifiche di stabilità di aste compresse		
	<i>piano XX</i>	<i>piano YY</i>		<i>piano XX</i>	<i>piano YY</i>
L ₀ =	300	300	L ₀ =	341	341
i_min [cm] =	4.6	6.7	i_min [cm] =	6.6	6.6
passo imbottiture =	69.0	cm	passo imbottiture =	99.7	cm
β =	1	1	β =	1	1
λ geometrica =	65.2	44.8	λ geometrica =	51.3	51.3
f _y [DaN/cm ²] =	3550	3550	f _y [DaN/cm ²] =	3550	3550
N _{cr} [DaN] =	339,403	719870.3	N _{cr} [DaN] =	923,059	923059.0
λ [^] =	0.854	0.6	λ [^] =	0.671	0.7
Curva instabilità	b	b	Curva instabilità	b	b
α =	0.34	0.3	α =	0.34	0.34
Φ =	0.975	0.7	Φ =	0.805	0.8
X =	0.691	0.8	X =	0.800	0.8
N _{b,Rd} [daN] =	155,315	189,734	N _{b,Rd} [daN] =	302,210	302,210
N _{b,Ed} [daN] =	101,700	101,700	N _{b,Ed} [daN] =	170,000	170,000
N _{Ed/NRd} [daN] =	0.655	0.536	N _{Ed/NRd} [daN] =	0.563	0.563

E78 GROSSETO – FANO
TRATTO NODO DI AREZZO – SELCI – LAMA (E45)
ADEGUAMENTO A QUATTRO CORSIE DEL TRATTO SAN ZENO – AREZZO – PALAZZO DEL PERO, 1° LOTTO
(FI508)

OPERE D'ARTE MAGGIORI – ASSE COLLEGAMENTO PALAZZO DEL PERO - VI.10 - VIADOTTO SCOPETONE

Verifica di resistenza dei giunti agli SLU a taglio			Verifica di resistenza dei giunti agli SLU a taglio		
bulloni M	24	10.9	bulloni M	27	10.9
Disposizione bulloni	quinconce	e	Disposizione bulloni	quinconce	
	<i>piastra</i>	<i>profilo</i>		<i>piastra</i>	<i>profilo</i>
e1 [mm]	51	51	e1 [mm]	65	65
	OK	OK		OK	OK
e2 [mm]	36	36	e2 [mm]	40	40
	OK	OK		OK	OK
p1 [mm]	90	90	p1 [mm]	90	90
	OK	OK		OK	OK
p2 [mm]	93	93	p2 [mm]	73	73
	OK	OK		OK	OK
L [mm]	103	103	L [mm]	86	86
fub	10000	kg/cm2	fub	10000	kg/cm2
Fv,s Rd	18,096	daN	Fv,s Rd	22,902	daN
Fv,s Rd_tot	36,191	daN	Fv,s Rd_tot	45,804	daN
n° min taglio =	3	bulloni	n° min taglio =	4	bulloni
Verifica a rifollamento pista e profilo			Verifica a rifollamento pista e profilo		
pista	1.5	cm	pista	1.5	cm
profilo	1.2	cm	profilo	1	cm
sp coprigiunto	0	cm	sp coprigiunto	0	cm
	<i>piastra</i>	<i>profilo</i>		<i>piastra</i>	<i>profilo</i>
αest =	0.67	0.67	αest =	0.72	0.72
aint =	0.93	0.93	aint =	0.75	0.75
kest =	2.25	2.25	kest =	2.03	2.03
kint =	2.50	2.50	kint =	2.50	2.50
Fb, Rd (bordo) [DaN] =	22,061	35,297	Fb, Rd (bordo) [DaN] =	24,266	32,354
Fb, Rd (interni) [DaN] =	34,020	54,432	Fb, Rd (interni) [DaN] =	30,983	41,310
F Rd, rifollamento =	22,061	DaN	F Rd, rifollamento =	24,266	DaN
n° min rifollamento =	5	minimo su piastra	n° min rifollamento =	8	minimo su piastra

PROGETTAZIONE ATI:

GPI INGEGNERIA

GESTIONE PROGETTI INGEGNERIA srl


cooprogetti

 **engeko**
Studio di Architettura e Ingegneria Moderna

Pag. 172 di
240

19.2. TRAVERSI IN APPoggIO

Per il dimensionamento del traverso corrente si considera lo stato di sollecitazione derivante dal comportamento globale in combinazione SLU e dall'azione sismica.

Diagonali

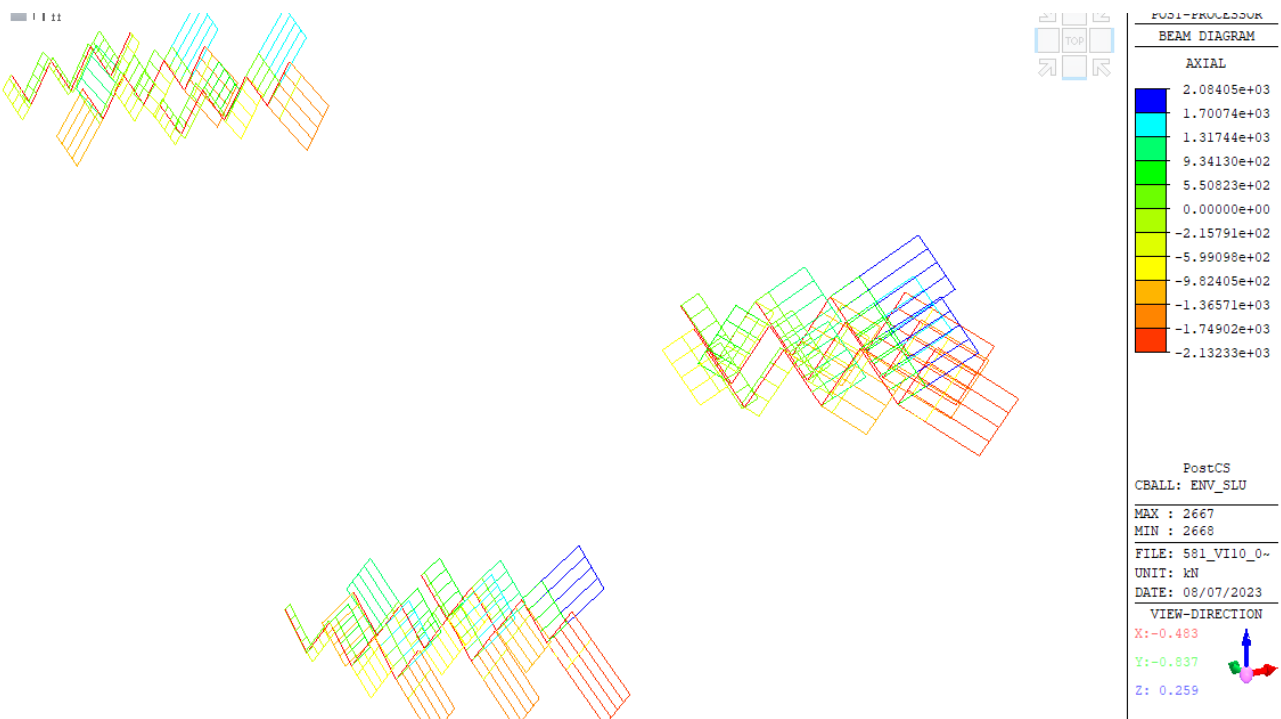
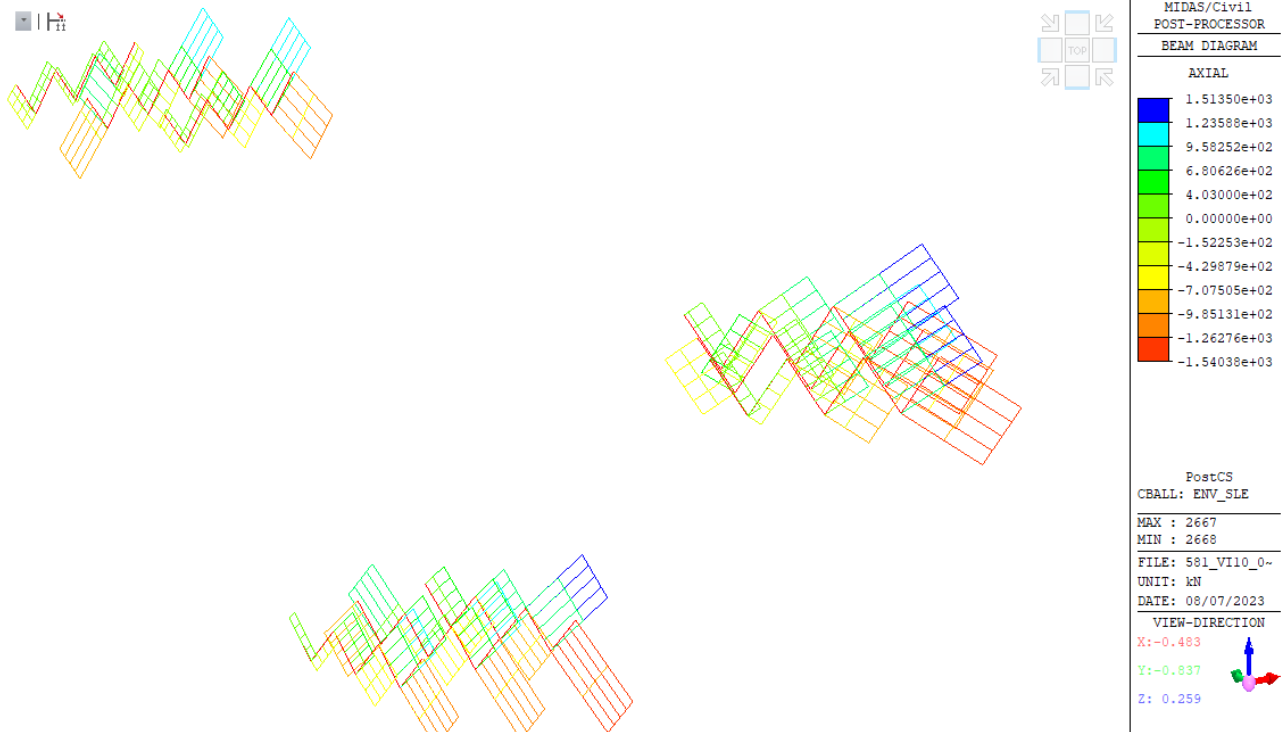
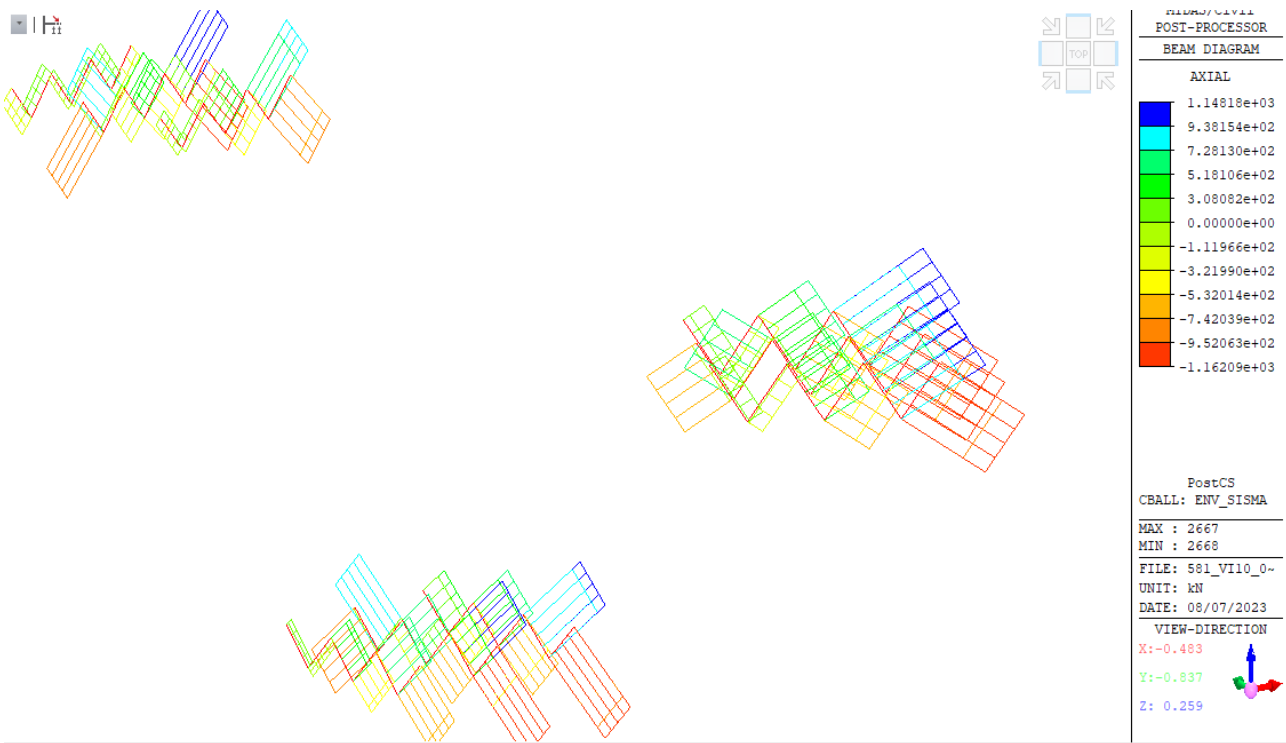
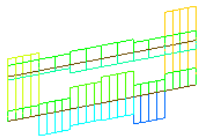


Diagramma inviluppo degli sforzi normali in combinazione SLU - N= 2130 kN / + 2084 kN



Correnti



MIDAS/Civil POST-PROCESSOR	
BEAM DIAGRAM	
AXIAL	
2.63828e+03	
2.31927e+03	
2.00026e+03	
1.68125e+03	
1.36224e+03	
1.04323e+03	
7.24221e+02	
4.05210e+02	
0.00000e+00	
-2.32811e+02	
-5.51822e+02	
-8.70833e+02	

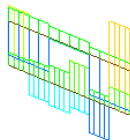
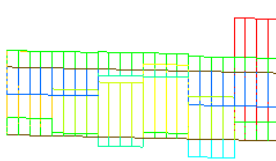
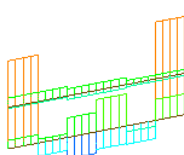


Diagramma inviluppo degli sforzi normali in combinazione SLU - N=- 870 kN / + 2638 kN



MIDAS/Civil POST-PROCESSOR	
BEAM DIAGRAM	
AXIAL	
1.33718e+03	
1.17892e+03	
1.02065e+03	
8.62390e+02	
7.04126e+02	
5.45862e+02	
3.87599e+02	
2.29335e+02	
0.00000e+00	
-8.71920e+01	
-2.45456e+02	
-4.03719e+02	

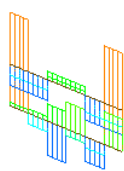
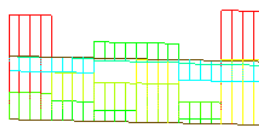
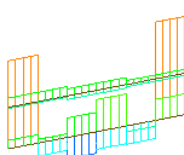
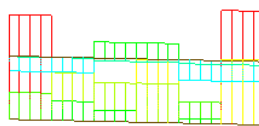


Diagramma inviluppo degli sforzi normali in combinazione SISMICA - N=- 403 kN / + 1337 kN



MIDAS/Civil POST-PROCESSOR	
BEAM DIAGRAM	
AXIAL	
1.33718e+03	
1.17892e+03	
1.02065e+03	
8.62390e+02	
7.04126e+02	
5.45862e+02	
3.87599e+02	
2.29335e+02	
0.00000e+00	
-8.71920e+01	
-2.45456e+02	
-4.03719e+02	



PostCS	
CBALL: ENV_SISMA	
MAX : 2815	
MIN : 2799	
FILE: 581_VI10_0~	
UNIT: kN	
DATE: 08/07/2023	
VIEW-DIRECTION	
X:-0.268	
Y:-0.935	
Z: 0.234	

PROGETTAZIONE ATI:

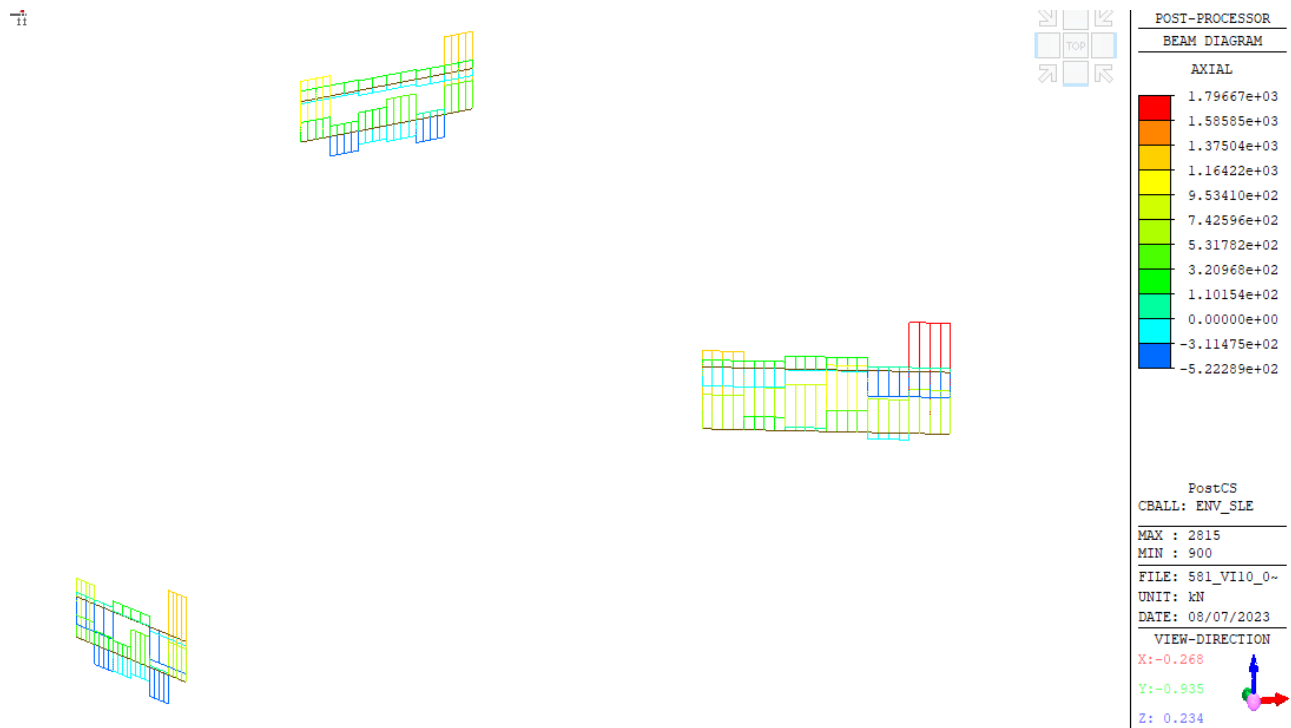
GPI INGEGNERIA

GESTIONE PROGETTI INGEGNERIA srl

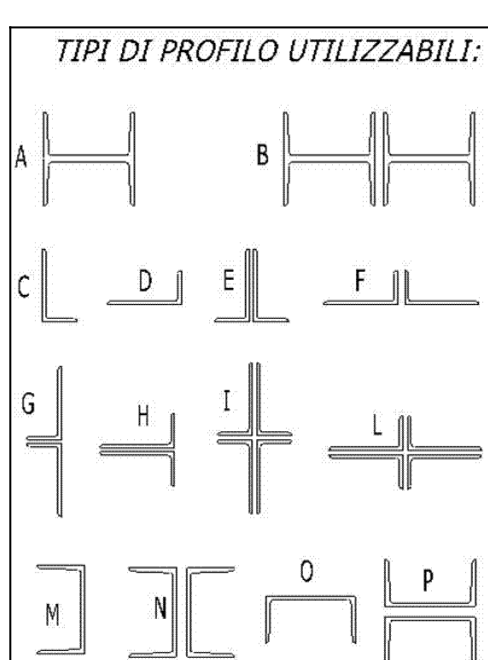
cooprogetti


Studio di Architettura e Ingegneria Moderna

Pag. 175 di
240



Si riporta di seguito la verifica dei profili:



Legenda di composizione dei profili

CORRENTE zone pila			DIAGONALE zona pila		
263,800	-87,000	SLU	208,400	-213,000	SLU
179,600	-52,200	SLE	154,000	-154,000	SLE variabile
RISULTATI			RISULTATI		
COMPRESIONE	OK	0.197	COMPRESIONE	OK	0.746
TRAZIONE	OK	0.508	TRAZIONE	OK	0.596
lunghezza dell'asta	380	cm	lunghezza dell'asta	300	cm
Tipo di vincolo asta	<i>entrambi i vincoli a cerniera</i>			<i>entrambi i vincoli a cerniera</i>	
profilo	L 150 x 15			L 180 x 15	
Tipo composizione	I			E	
<i>Quattro angolari a croce</i>					
A (singolo profilo) =	43.02	cm ²	A (singolo profilo) =	52.10	cm ²
e _x (singolo profilo) =	4.25	cm	e _x (singolo profilo) =	4.98	cm
e _y (singolo profilo) =	4.25	cm	e _y (singolo profilo) =	4.98	cm
u (singolo profilo) =		cm	u (singolo profilo) =		cm
v (singolo profilo) =		cm	v (singolo profilo) =		cm
J _x (singolo profilo) =	898.10	cm ⁴	J _x (singolo profilo) =	1590.00	cm ⁴
J _y (singolo profilo) =	898.10	cm ⁴	J _y (singolo profilo) =	1590.00	cm ⁴
J _{max} (singolo profilo) =		cm ⁴	J _{max} (singolo profilo) =		cm ⁴
J _{min} (singolo profilo) =		cm ⁴	J _{min} (singolo profilo) =		cm ⁴
A (composizione) =	172.08	cm ²	A (composizione) =	104.20	cm ²
J _x (composizione) =	9,282	cm ⁴	J _x (composizione) =	3,180	cm ⁴
J _y (composizione) =	9,282	cm ⁴	J _y (composizione) =	7,555	cm ⁴
J _{max} (composizione) =	9,282	cm ⁴	J _{max} (composizione) =	7,555	cm ⁴
J _{min} (composizione) =	9,282	cm ⁴	J _{min} (composizione) =	3,180	cm ⁴
Sp. piatto collegamento =	3	cm	Sp. piatto collegamento =	3	cm
Sp. profilo =	1.5	cm	Sp. profilo =	1.5	cm
Verifiche di stabilità di aste compresse			Verifiche di stabilità di aste compresse		
		piano XX			piano YY
L ₀ =	380	380	L ₀ =	243	243
i_min [cm] =	7.3	7.3	i_min [cm] =	5.5	8.5
passo imbottiture =	110.2	cm	passo imbottiture =	82.9	cm
β =	1	1	β =	1	1
λ geometrica =	51.7	51.7	λ geometrica =	44.0	28.5
f _y [DaN/cm ²] =	3550	3550	f _y [DaN/cm ²] =	3550	3550
Ncr [DaN] =	1,332,244	1332244.1	Ncr [DaN] =	1,116,178	2651941.5
λ [^] =	0.677	0.7	λ [^] =	0.576	0.4
Curva instabilità	b	b	Curva instabilità	b	b
α =	0.34	0.34	α =	0.34	0.34
Φ =	0.810	0.8	Φ =	0.730	0.6
X =	0.796	0.8	X =	0.849	0.9
Nb,Rd [daN] =	442,310	442,310	Nb,Rd [daN] =	285,530	314,916
Nb,Ed [daN] =	87,000	87,000	Nb,Ed [daN] =	213,000	213,000
NEd/NRd [daN] =	0.197	0.197	NEd/NRd [daN] =	0.746	0.676

E78 GROSSETO – FANO
TRATTO NODO DI AREZZO – SELCI – LAMA (E45)
ADEGUAMENTO A QUATTRO CORSIE DEL TRATTO SAN ZENO – AREZZO – PALAZZO DEL PERO, 1° LOTTO
(FI508)

OPERE D'ARTE MAGGIORI – ASSE COLLEGAMENTO PALAZZO DEL PERO - VI.10 - VIADOTTO SCOPETONE

Verifica di resistenza dei giunti agli SLU a taglio			Verifica di resistenza dei giunti agli SLU a taglio		
bulloni M	24	10.9	bulloni M	27	10.9
Disposizione bulloni	quinconce	e	Disposizione bulloni	quinconce	
	<i>piastra</i>	<i>profilo</i>		<i>piastra</i>	<i>profilo</i>
e1 [mm]	51	51	e1 [mm]	75	75
	OK	OK		OK	OK
e2 [mm]	36	36	e2 [mm]	45	45
	OK	OK		OK	OK
p1 [mm]	90	90	p1 [mm]	110	110
	OK	OK		OK	OK
p2 [mm]	93	93	p2 [mm]	50	50
	OK	OK		OK	OK
L [mm]	103	103	L [mm]	74	74
fub	10000	kg/cm2	fub	10000	kg/cm2
Fv,s Rd	18,096	daN	Fv,s Rd	22,902	daN
Fv,s Rd_tot	36,191	daN	Fv,s Rd_tot	45,804	daN
n° min taglio =	8	bulloni	n° min taglio =	5	bulloni
Verifica a rifollamento piastra e profilo			Verifica a rifollamento piastra e profilo		
piastra	3	cm	piastra	3	cm
profilo	1.5	cm	profilo	1.5	cm
sp coprigiunto	0	cm	sp coprigiunto	0	cm
	<i>piastra</i>	<i>profilo</i>		<i>piastra</i>	<i>profilo</i>
αest =	0.67	0.67	αest =	0.83	0.83
αint =	0.93	0.93	αint =	0.97	0.97
kest =	2.25	2.25	kest =	2.50	2.50
kint =	2.50	2.50	kint =	2.50	2.50
Fb, Rd (bordo) [DaN] =	44,122	44,122	Fb, Rd (bordo) [DaN] =	68,850	68,850
Fb, Rd (interni) [DaN] =	68,040	68,040	Fb, Rd (interni) [DaN] =	80,325	80,325
F Rd,rifollamento =	44,122	DaN	F Rd,rifollamento =	68,850	DaN
n° min rifollamento =	6	minimo su piastra	n° min rifollamento =	4	minimo su piastra

PROGETTAZIONE ATI:

GPI INGEGNERIA

GESTIONE PROGETTI INGEGNERIA srl


cooprogetti

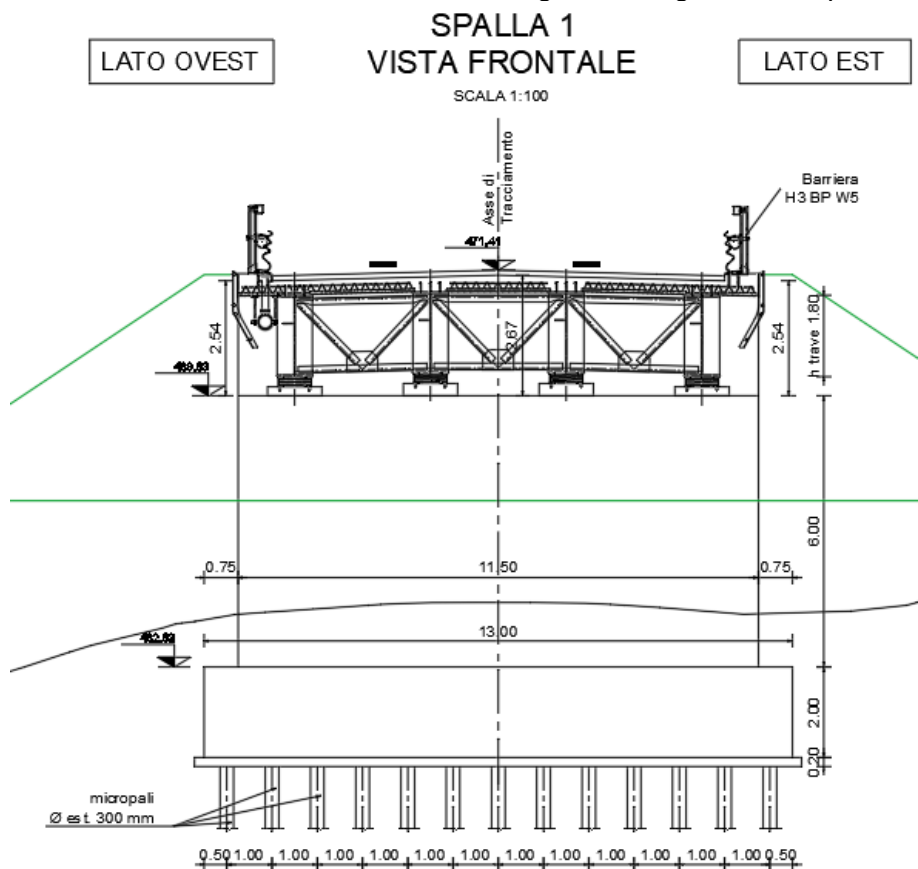

engeko


AIM
Studio di Architettura e Ingegneria Moderna

20. SPALLA

La spalla è costituita da un muro frontale con altezza di 6m per la S1 ed 8m per la S2 e spessore di 2.5m supportato su di un plinto di 2m di spessore fondato su micropali.

Per il dimensionamento si adotta la configurazione geometrica più sfavorevole della spalla 2.



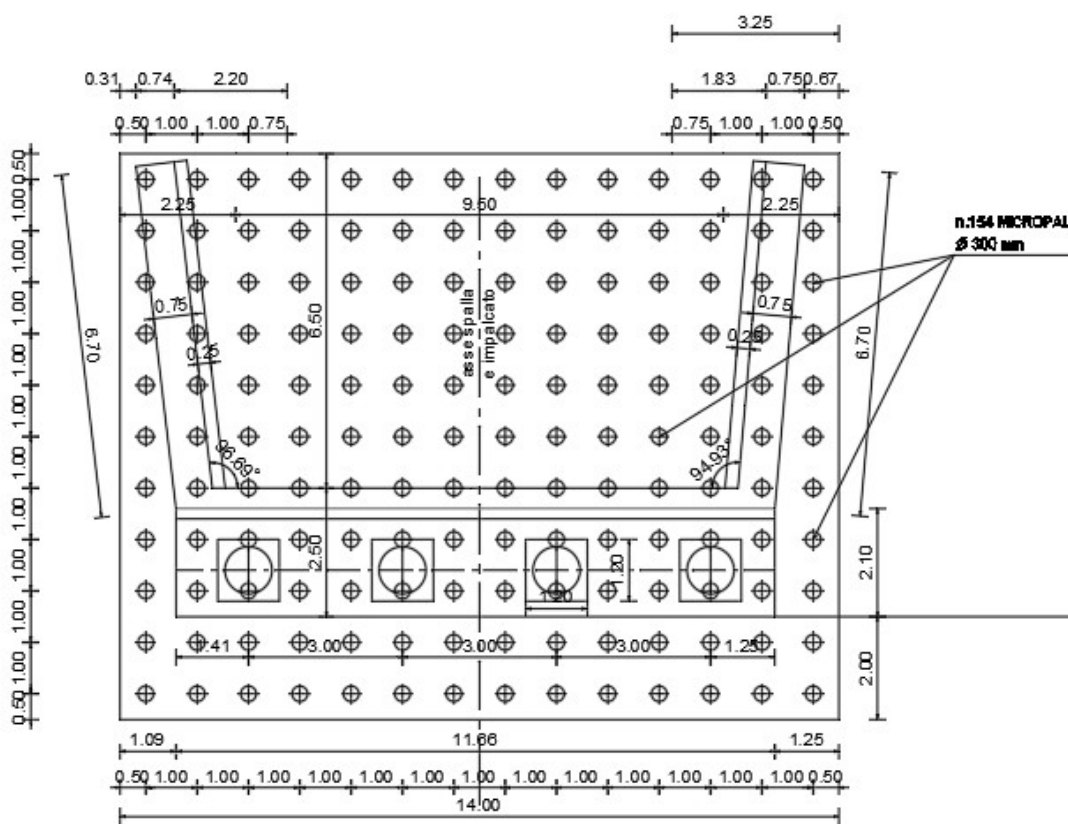
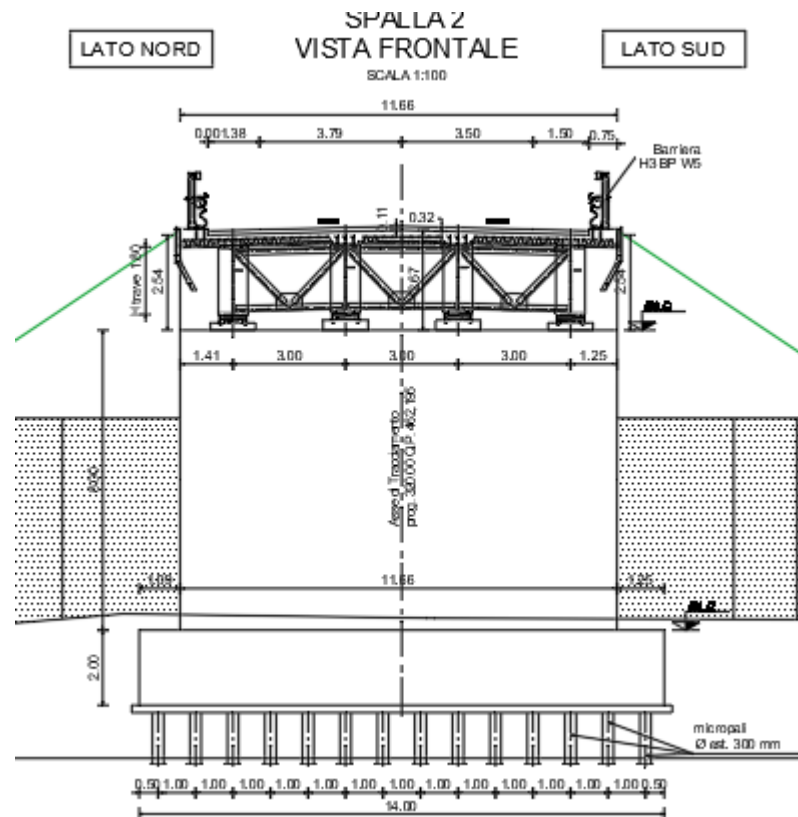
PROGETTAZIONE ATI:

GPI INGEGNERIA

GESTIONE PROGETTI INGEGNERIA srl

 **cooprogetti**

 **engeko**
Studio di Architettura e Ingegneria Moderna



PROGETTAZIONE ATI:

GPI INGEGNERIA
GESTIONE PROGETTI INGEGNERIA srl

GESTIONE PROGETTI INGEGNERIA SRL



Geometria della spalla

Tipo Platea	rettangolare
Dimensione long. X	11.000 m
Dimensione trasv.Y	14.000 m
Spessore	2.000 m
Paraghiaia	
Altezza media	2.700 m
Spessore	0.400 m
Muro frontale	
Altezza	8.000 m
Spessore	2.500 m
Larghezza	11.66 m
Dist. bordo ant.	2.000 m
Baggioli	
N.	4
Altezza	0.400 m
Lunghezza	1.200 m
Larghezza	1.200 m
Pos. X appoggi	0.900 m
interasse	3.000 m
Muro andatore	
Altezza	10.700 m
Spessore testa -altezza	0.750
Spessore base -altezza	1.00
Spessore medio	0.750 m
Lunghezza	6.500 m
Terreno di riempimento	
γ	19.000 kN/mc
ϕ	35.000 °
Ang. attrito terra muro	23.33 °
Inclinazione terrapieno	0.000 °
Terreno di ricoprimento	
γ	0.010 kN/mc
Altezza min.	0.000 m
Carico sul rilevato	
p	20.000 kN/mq

PROGETTAZIONE ATI:

GPI INGEGNERIA

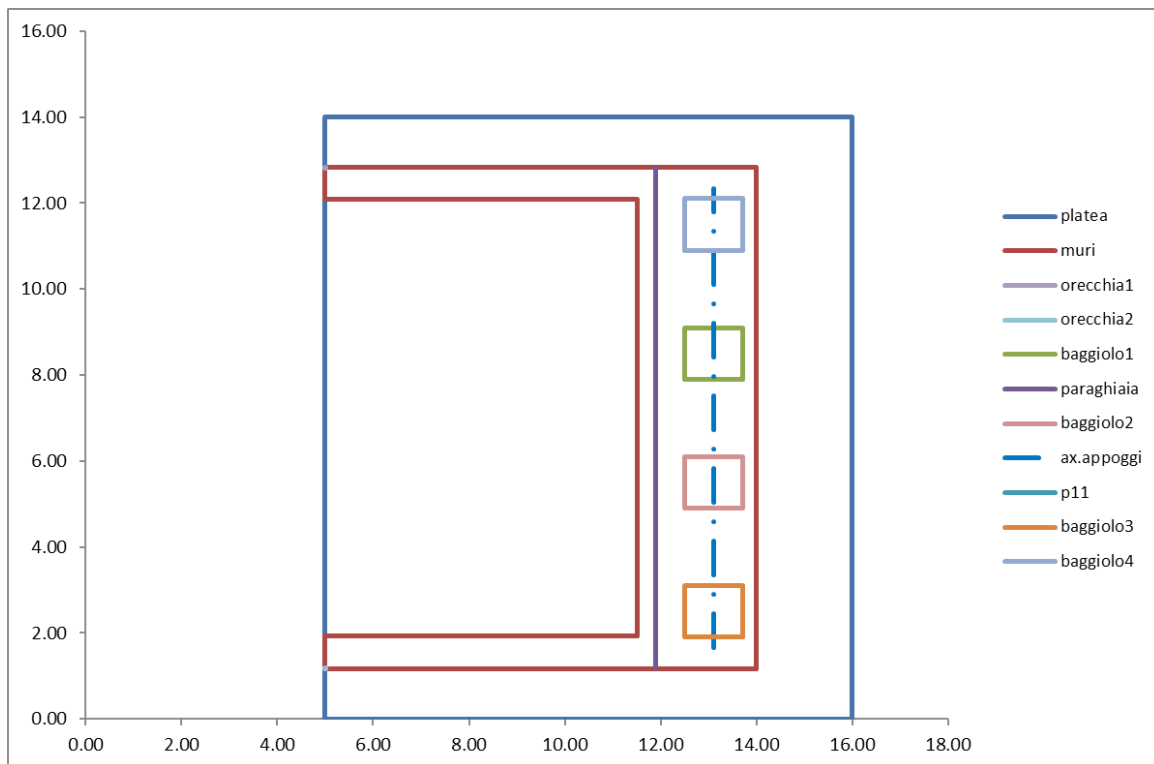
GESTIONE PROGETTI INGEGNERIA srl



cooprogetti



Studio di Architettura e Ingegneria Moderna



20.1. SPINTE DEL TERRENO

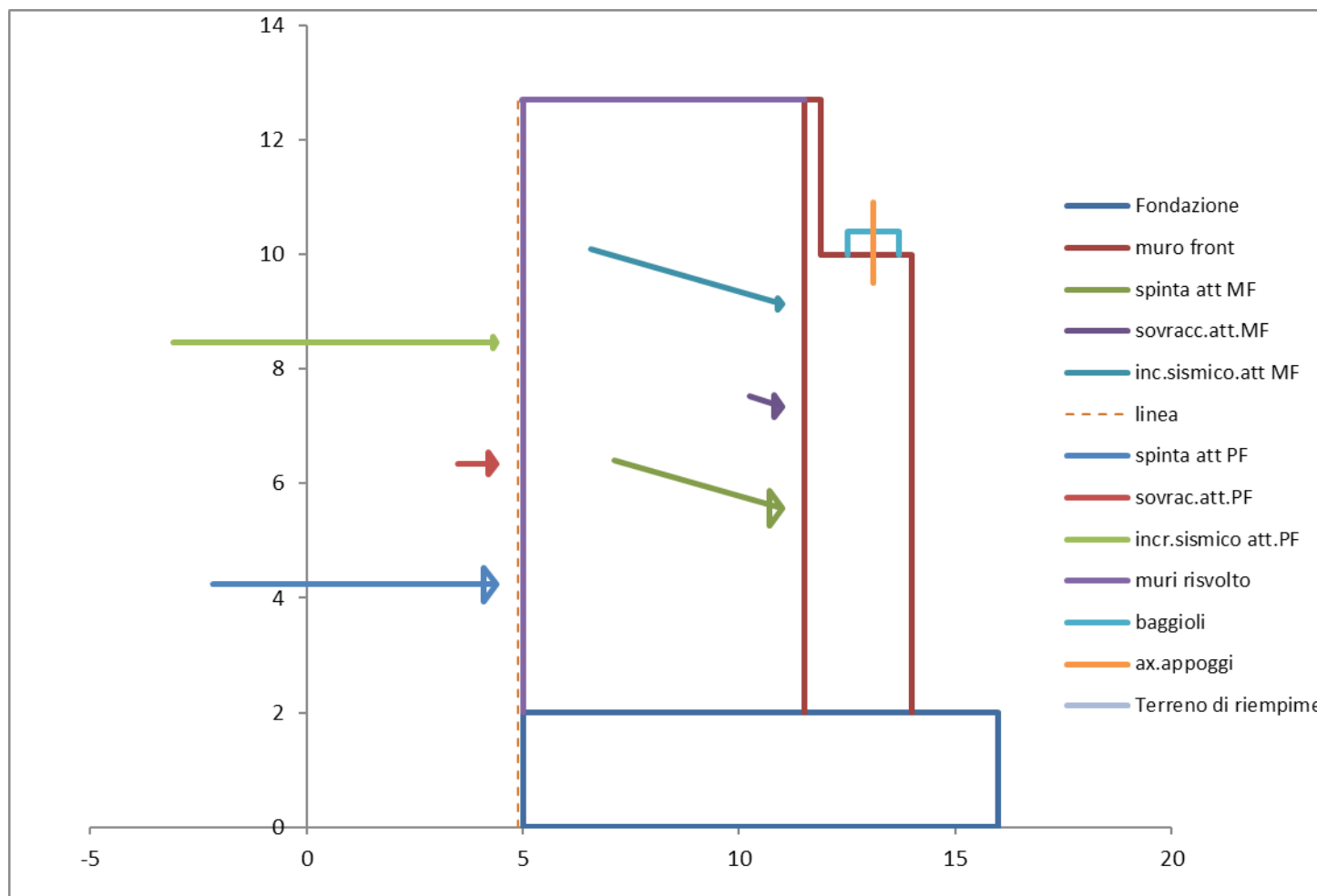
PROGETTAZIONE ATI:

GPI INGEGNERIA

GESTIONE PROGETTI INGEGNERIA srl

 **cooprogetti**

 **engeko**
Studio di Architettura e Ingegneria Moderna



Si considera pertanto un angolo di attrito di 35° per valutare la spinta del terreno.
 Per dimensionare la struttura si adotta la spinta statica a riposo secondo la teoria di wood.

Il coefficiente di spinta attiva risulta pari a:

$$k=1-\sin\theta$$

	(Angoli in radianti)	(Angoli in gradi)	Coeff. Par.geotecnici		Caratteristiche terr.	
			M1	M2	M1	M2
g	19.000		1.00	1.00	19.000	19.000
φ	0.610865238	35.000	1.00	1.25	0.611	0.511
C'k	0		1.00	1.25	0.000	0.000
Cu	0		1.00	1.40	0.000	0.000
δ	0.407243492	23.333	1.00	1.25	0.407	0.332
θ+	0.333	19.068				
θ-	0.251	14.406				
ψ	1.571	90.000				
β	0.000	0.000				
Analisi		STATICA			M1	M2
		Coefficiente di spinta attiva	Ka		0.244	0.306
		Coefficiente di spinta a riposo	K0		0.426	0.511
		Coefficiente di spinta	Kh		1.437	1.649
		misto cementato				
Analisi simica		SISMICA	MONONOBE OKABE			
		Coefficiente di spinta attiva	Kas (qt)		0.543	0.655
		Coefficiente di spinta attiva	Kas (qt)		0.438	0.529
					0.543	0.655

Il carico è applicato come pressione sugli elementi a circa 1/3 dalla fondazione.

Azione sismica

In condizione sismica viene considerata anche la spinta valutata con la formulazione di Mononobe Okabe.

PROGETTAZIONE ATI:

GPI INGEGNERIA

GESTIONE PROGETTI INGEGNERIA srl


cooprogetti

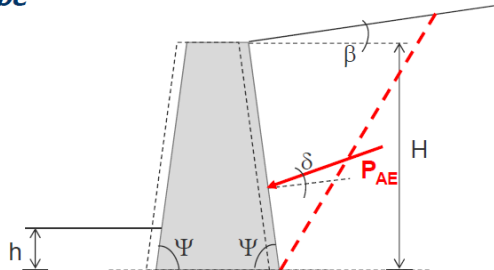

engeko


AIM
Studio di Architettura e Ingegneria Moderna

Soluzione di Mononobe-Okabe

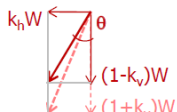
$$P_{AE} = \frac{1}{2} (l \pm k_v) \gamma H^2 K_{AE}$$

segno - per forze dirette verso l'alto



$$K_{AE} = \frac{\sin^2(\psi + \phi - \theta)}{\cos \theta \sin^2 \psi \sin(\psi - \theta - \delta) \left[1 + \sqrt{\frac{\sin(\phi + \delta) \sin(\phi - \beta - \theta)}{\sin(\psi - \theta - \delta) \sin(\psi + \beta)}} \right]^2}$$

$$\tan \theta = \frac{k_h}{1 \pm k_v}$$



L'azione sismica sulla struttura della spalla viene applicata con metodo pseudo statico

I coefficienti sismici **orizzontale e verticale**, k_h e k_v , sono valutati mediante le seguenti espressioni:

$$k_h = \beta_m \cdot a_{max}/g \quad k_v = \pm 0.5 k_h$$

$$a_{max} = S \cdot a_g = S_S \cdot S_T \cdot a_g$$

accelerazione orizzontale massima al sito

$$a_g$$

accelerazione orizzontale massima al sito su terreno rigido

$$S_S$$

coefficienti di amplificazione stratigrafica e topografica

$$g$$

accelerazione di gravità

β_m si ricava dalla

Tabella 7.11.II



Categoria di sottosuolo	
A	B, C, D, E
β_m	β_m
0,2 < $a_g(g) \leq 0,4$	0,31
0,1 < $a_g(g) \leq 0,2$	0,29
$a_g(g) \leq 0,1$	0,20

NB: per muri che non siano in grado di subire spostamenti relativi $\beta_m=1$

Punto di applicazione dell'incremento di spinta dovuto al sisma:

- muro libero di ruotare o traslare → stesso punto di applicazione della spinta statica
- altri casi, in assenza di studi specifici → a metà altezza del muro

Considerando cautelativamente il coefficiente $\beta=1$.

Tabella riassuntiva dei parametri di spinta:

PROGETTAZIONE ATI:

GPI INGEGNERIA

GESTIONE PROGETTI INGEGNERIA srl


cooprogetti




 Studio di Architettura e Ingegneria Moderna

Parametri sismici					
Coefficiente S=S _s *S _t	S	1.459			
Accelerazione orizzontale massima attesa su sito di riferimento rigido	<i>a</i> g	0.202	g	Parametri desunti da "Spettro-NTOver.1.0.3." per lo SLV	
Accelerazione orizzontale massima attesa sul sito	<i>a</i> _{max}	0.295	g		
Coefficiente di riduzione della accelerazione orizzontale massima	<i>β</i>	1		Vale 1 se la struttura non si può spostare altrimenti vedere tabella 7.11.II	
Coefficiente sismico orizzontale	<i>k</i> _h	0.295			
Coefficiente sismico verticale	<i>k</i> _{v+}	0.147			
	<i>k</i> _{v-}	-0.147			
angolo	<i>θ</i> ₊	19.07	°		
	<i>θ</i> ₋	14.41	°		

Il carico è applicato come pressione sugli elementi a circa 1/2 dalla fondazione.

Tabella riassuntiva delle spinte:

Azione orizzontali	Con spinta attiva				
	Fh - M1 (kN)	Fh - M2 (kN)	braccio Z (m)	MI (kNm) - A1	MI (kNm) - A2
Spinta sovr P.F.	723.9	907.3	6.35	4596.5	5761.1
Spinta sovr M.F.	609.9	764.4	5.35	3262.8	4089.4
Spinta sovr base MA	340.0	kN	5.35	1818.9	
Spinta sovr sommità MA	276.4	kN	4.35	1202.5	
	Fh - M1 (kN)	Fh - M2 (kN)	braccio Z (m)	MI (kNm) - A1	MI (kNm) - A2
Spinta att. P.F.	5242.97	6571.35	4.23	22195.2	27818.7
Incremento sismico PF	6398.28	7490.09	8.47	54172.1	63416.1
	Fh - M1 (kN)	Fh - M2 (kN)	braccio Z (m)	MI (kNm) - A1	MI (kNm) - A2
Spinta att. M.F.	3099.6	3885.0	3.57	11055.3	13856.3
Incremento sismico MF	3782.6	4428.1	7.13	26982.8	31587.1
	Fh - M1 (kN)	Fh - M2 (kN)	braccio Z (m)	MI (kNm) - A1	MI (kNm) - A2
Spinta att. Base.Paragh.	197.4	247.4	0.90	177.6	222.6
Incremento sismico BP	240.9	282.0	1.80	433.5	507.5

PROGETTAZIONE ATI:

GPI INGEGNERIA

GESTIONE PROGETTI INGEGNERIA srl


cooprogetti


engeko


AIM
Studio di Architettura e Ingegneria Moderna

Con spinta a riposo					
	Fh -M1 (kN)	Fh - M2 (kN)	braccio Z (m)	MI (kNm) - A1	MI (kNm) - A2
Spinta sovr P.F.	1262.9	1514.2	6.35	8019.5	9615.5
Spinta sovr M.F.	1064.0	1275.8	5.35	6825.4	6825.4
Spinta sovr base MA	593.2 kN		5.35	3173.4	
Spinta sovr sommità MA	482.3 kN		4.35	2097.9	
 ATTIVA					
	Fh -M1 (kN)	Fh - M2 (kN)	braccio Z (m)	MI (kNm) - A1	MI (kNm) - A2
Spinta riposo P.F.	9147.5	10967.9	4.23	38724.2	46430.8
Incremento sismico PF	6398.3	7490.1	8.47	54172.1	63416.1
	Fh -M1 (kN)	Fh - M2 (kN)	braccio Z (m)	MI (kNm) - A1	MI (kNm) - A2
Spinta riposo. M.F.	5407.928068	6484.2	3.57	19288.3	23126.8
Incremento sismico MF					
	Fh -M1 (kN)	Fh - M2 (kN)	braccio Z (m)	MI (kNm) - A1	MI (kNm) - A2
Spinta riposo. Base.Paragl	344.3426991	412.9	0.90	309.9	371.6
Incremento sismico B.P.					

Geometria palificata

Pali

numero pali	114
Diametro (mm)	300
n.file trasv.// asse	
X	14
n.file long.// Asse Y	16

file long..// Asse Y	n.pali	dist.bordo (m)	interasse (m)	Ascissa della fila (m)
Y1j	14	0.500	1.000	Xi1
Y2j	14	0.500	1.000	Xi2
Y3j	14	0.500	1.000	Xi3
Y4j	14	0.500	1.000	Xi4
Y5j	14	0.500	1.000	Xi5
Y6j	14	0.500	1.000	Xi6
Y7j	14	0.500	1.000	Xi7
Y8j	14	0.500	1.000	Xi8
Y9j	14	0.500	1.000	Xi8
Y10j	14	0.500	1.000	Xi8
Y11j	14	0.500	1.000	Xi8

Caratteristiche inerziali della palificata

Baricentro G

Yg 7 m
Xg 5.5 m

Momento d'inerzia baricentrico

IYg 2502.5 m⁴

|Xg 1540 m⁴

PROGETTAZIONE ATI:

GPI INGEGNERIA
GESTIONE PROGETTI INGEGNERIA srl

GESTIONE PROGETTI INGEGNERIA Srl



Tabella riassuntiva delle masse strutturali della spalla:

Elementi	Volumi (mc)	Pesi (kN)	X (m) - filo ant	Y (m)	Z (m)	MI (kNm)
Platea	308.000	7700.00	5.50	7.00	1.00	-42350.000
Muro frontale	233.200	5830.00	3.25	7.00	6.00	-18947.500
Baglioli	2.304	57.60	2.90	7.00	10.20	-167.040
Paragliaia	12.593	314.82	4.30	7.00	11.35	-1353.726
Muri andatori	121.713	3042.81	7.75	7.00	7.35	-23581.797
Orecchie	0.000	0.00	11.01	7.00	12.70	-0.001
Terreno di riempimento	689.241	13095.57	7.56	7.00	7.35	-98993.354
Terreno di ricoprimento	14.990	0.15	6.48	7.00	2.50	-0.972
Struttura in c.a.		16945.23	5.10	7.00		6798.716
Peso totale		30040.95	6.17	7.00		-20169.154
Peso sovraccarico		1515.80	7.56	7.00		-3121.489
peso terreno		13095.72	7.56	7.00		-26967.869
Azione sismica spalla	Pesi (kN)	Azione (kN)	X (m)		Z (m)	MI (kNm)
sisma orr	30040.952	8853.609			5.51	48763.513
		4426.805	6.17			27319.532

CARICHI TRASMESSI DALL'IMPALCATO						
	Carichi	N (kN)	Ht (kN)	Hl (kN)	Ml (kNm)	Mt (kNm)
Peso proprio delle strutture	G1	2363.30				813.24
Carichi permanenti non strutturali	G2		860.41			259.75
Spinte delle terre	G3_M1					
Ritiro e viscosità	ϵ_2	189.91		29.10		
Variazioni termiche	ϵ_3	100.90		243.91		0.00
Cedimenti	ϵ_4	23.48				
Mobili_MaxN	Q_MCmax	1968.19				1328.58
Mobili_Max Mtr	q_MCmax	1635.72				1700.44
Mobili_rilevato	Q_MCmin					
frenatura	q_3			160.00		
forza centrifuga	q_4		0.00			0.00
azione del vento	q_5 (ponte scarico)		147.82	181.78		8.71
azione del vento	q_5 (ponte carico)		189.36	231.91		71.34
Azione sismica	q_6 (verticale)	238.40				
Azione sismica	q_6 (longitudinale)		528.97	2542.39		
Azione sismica	q_6 (trasversale)		1073.52	660.74		
Resistenze parassite vincolo	q_7_p			0.00		
Resistenze parassite vincolo	q_7_Q			0.00		
Urto di veicoli in svio	q_8					
Altre azioni variabili	q_9					
tipo di spinta	riposo					

AZIONI ALLA BASE DELLA FONDAZIONE (CARICHI NOMINALI)

SPALLA	P	V3=Ttras v	V2=Tlong	T=Mtorc	M3=Mlong	M2=Mtrasv
--------	---	---------------	----------	---------	----------	-----------

PROGETTAZIONE ATI:

GPI INGEGNERIA
GESTIONE PROGETTI INGEGNERIA srl


cooprogetti


engeko


AIM
Studio di Architettura e Ingegneria Moderna

Descrizione	Axial (kN)	Shear-y (kN)	Shear-z (kN)	Torsion (kN*m)	Moment-y (kN*m)	Moment-z (kN*m)
G1-PP_TOT	19308.53				7413.17	813.24
G2-PERMANENTI	860.41				223.71	259.75
Spinta delle terre M1	13095.72		9147.45		19462.89	0.00
Spinta delle terre M2			10967.90		11756.36	
E1-DISTORSIONI						
E2-RITIRO	189.91		29.10		359.28	
E3-TERMICA-U	100.90		243.91		2623.85	
E4-CEDIMENTI	23.48		243.91		2603.72	
Mobili_MaxN	1968.19				511.73	1328.58
Mobili_Max Mtr	1635.72				425.29	1700.44
Mobili_rilevato	1515.80		1262.91		4898.01	
Q3-FRENATURA	0.00		160.00		1704.00	
Q4-CENTRIFUGA	0.00	0.00				0.00
Q5-VENTO-C	0.00	189.36				2088.05
Q5-VENTO-LONG						
Q5-VENTO-S	0.00	147.82				1583.01
Q7-ATTRITO-P			0.00		0.00	
Q7-ATTRITO-Q			0.00		0.00	
SLVX_T+	0.00	528.97	11396.00		81331.55	5501.25
SLVX_T-	0.00	-528.97	11396.00		-81331.55	-5501.25
SLVY_T+	0.00	9927.13	660.74		8464.04	59928.09
SLVY_T-	0.00	-9927.13	-660.74		-8464.04	-59928.09
SLVV_T+		4665.20				101.03
SLVV_T-		-4665.20				-101.03

20.2. COMBINAZIONI PER GLI SLU PER LA VERIFICA DELLE SOTTOSTRUTTURE

Con riferimento al §6.2.4.1.1 del NTC 2018, ed alle tabelle riportate nel seguito, si sono impiegate nei calcoli di verifica le seguenti combinazioni allo SLU.

Combinazione tipo A1:

$$1.3 \gamma_1 + 1.5 g_2 + 1.5 q$$

Tab. 6.2.I – Coefficienti parziali per le azioni o per l'effetto delle azioni

	Effetto	Coefficiente Parziale γ_F (o γ_E)	EQU	(A1)	(A2)
Carichi permanenti G ₁	Favorevole	γ_{G1}	0,9	1,0	1,0
	Sfavorevole		1,1	1,3	1,0
Carichi permanenti G ₂ ⁽¹⁾	Favorevole	γ_{G2}	0,8	0,8	0,8
	Sfavorevole		1,5	1,5	1,3
Azioni variabili Q	Favorevole	γ_Q	0,0	0,0	0,0
	Sfavorevole		1,5	1,5	1,3

⁽¹⁾ Per i carichi permanenti G₂ si applica quanto indicato alla Tabella 2.6.I. Per la spinta delle terre si fa riferimento ai coefficienti γ_{G1}

Si riporta di seguito la tabella dei coefficienti di combinazione:

COND	SLE_COMBINAZIONE CARATTERISTICA (RARA)															
	SLE_R_P	SLE_T	SLE_VL	SLE_R_VS	SLE_R_VC1	SLE_R_VC2	SLE_R_VC3	SLE_R_1_1	SLE_R_1_2	SLE_R_1_3	SLE_R_2a_1	SLE_R_2a_2	SLE_R_2a_3	SLE_R_2b_1	SLE_R_2b_2	SLE_R_2b_3
	1.00	1.00	1.00	1.00	1.00	1.00	1.00	1.00	1.00	1.00	1.00	1.00	1.00	1.00	1.00	1.00
G1-TOTALE	1.00	1.00	1.00	1.00	1.00	1.00	1.00	1.00	1.00	1.00	1.00	1.00	1.00	1.00	1.00	1.00
G2-PERMANENTI	1.00	1.00	1.00	1.00	1.00	1.00	1.00	1.00	1.00	1.00	1.00	1.00	1.00	1.00	1.00	1.00
Spinta delle terre M1	1.00	1.00	1.00	1.00	1.00	1.00	1.00	1.00	1.00	1.00	1.00	1.00	1.00	1.00	1.00	1.00
Spinta delle terre M2	0.00	0.00	0.00	0.00	0.00	0.00	0.00	0.00	0.00	0.00	0.00	0.00	0.00	0.00	0.00	0.00
E1-DISTORSIONI	1.00	1.00	1.00	1.00	1.00	1.00	1.00	1.00	1.00	1.00	1.00	1.00	1.00	1.00	1.00	1.00
E2-RITIRO	1.00	1.00	1.00	1.00	1.00	1.00	1.00	1.00	1.00	1.00	1.00	1.00	1.00	1.00	1.00	1.00
E3-TERMICA-U		1.00	0.60													
E4-CEDIMENTI	1.00	1.00	1.00	1.00	1.00	1.00	1.00	1.00	1.00	1.00	1.00	1.00	1.00	1.00	1.00	1.00
MaxP					1.00				1.00				1.00			1.00
Max Mtr						1.00				1.00			1.00			1.00
Mobili rilevato						1.00	1.00	1.00	1.00	1.00	1.00	1.00	1.00	1.00	1.00	1.00
Q3-FRENATURA	0.00				0.00	0.00	0.00	0.00	0.00	0.00	0.00	1.00	1.00	1.00	0.00	0.00
Q4-CENTRIFUGA	0.00				0.00	0.00	0.00	0.00	0.00	0.00	0.00	0.00	0.00	0.00	1.00	1.00
Q5-VENTO-C	0.00				0.00	1.00	1.00	1.00	0.60	0.60	0.60	0.60	0.60	0.60	0.60	0.60
Q5-VENTO-LONG		0.60	1.00													
Q5-VENTO-S	0.00				1.00	0.00	0.00	0.00	0.00	0.00	0.00	0.00	0.00	0.00	0.00	0.00
SLVX_T+	0.00				0.00	0.00	0.00	0.00	0.00	0.00	0.00	0.00	0.00	0.00	0.00	0.00
SLVX_T-	0.00				0.00	0.00	0.00	0.00	0.00	0.00	0.00	0.00	0.00	0.00	0.00	0.00
SLVY_T+	0.00				0.00	0.00	0.00	0.00	0.00	0.00	0.00	0.00	0.00	0.00	0.00	0.00
SLVY_T-	0.00				0.00	0.00	0.00	0.00	0.00	0.00	0.00	0.00	0.00	0.00	0.00	0.00
SLVV_T+	0.00				0.00	0.00	0.00	0.00	0.00	0.00	0.00	0.00	0.00	0.00	0.00	0.00
SLVV_T-	0.00				0.00	0.00	0.00	0.00	0.00	0.00	0.00	0.00	0.00	0.00	0.00	0.00

comb.num.	17	18	19	20	21	22	23	24
	SLE_FREQUENTE E QUASI PERMANENTE							
COND	SLE_F_P	SLE_F_VS	SLE_F_VC1	SLE_F_VC2	SLE_F_VC3	SLE_F_1_1	SLE_F_1_2	SLE_F_1_3
	1.00	1.00	1.00	1.00	1.00	1.00	1.00	1.00
G1-TOTALE	1.00	1.00	1.00	1.00	1.00	1.00	1.00	1.00
G2-PERMANENTI	1.00	1.00	1.00	1.00	1.00	1.00	1.00	1.00
Spinta delle terre M1	1.00	1.00	1.00	1.00	1.00	1.00	1.00	1.00
Spinta delle terre M2	0.00	0.00	0.00	0.00	0.00	0.00	0.00	0.00
E1-DISTORSIONI	1.00	1.00	1.00	1.00	1.00	1.00	1.00	1.00
E2-RITIRO	1.00	1.00	1.00	1.00	1.00	1.00	1.00	1.00
E3-TERMICA-U		0.50	0.60	0.00	0.50	0.50	0.60	0.50
E4-CEDIMENTI	1.00	1.00	1.00	1.00	1.00	1.00	1.00	1.00
MaxP			1.00			1.00		
Max Mtr				1.00			1.00	
Mobili rilevato				1.00	1.00	1.00	1.00	1.00
Q3-FRENATURA	0.00	0.00	0.00	0.00	0.00	0.00	0.00	0.00
Q4-CENTRIFUGA	0.00	0.00	0.00	0.00	0.00	0.00	0.00	0.00
Q5-VENTO-C	0.00	0.00	0.20	0.20	0.20	0.20	0.20	0.20
Q5-VENTO-LONG								
Q5-VENTO-S	0.00	0.20	0.00	0.00	0.00	0.00	0.00	0.00
SLVX_T+	0.00	0.00	0.00	0.00	0.00	0.00	0.00	0.00
SLVX_T-	0.00	0.00	0.00	0.00	0.00	0.00	0.00	0.00
SLVY_T+	0.00	0.00	0.00	0.00	0.00	0.00	0.00	0.00
SLVY_T-	0.00	0.00	0.00	0.00	0.00	0.00	0.00	0.00
SLVV_T+	0.00	0.00	0.00	0.00	0.00	0.00	0.00	0.00
SLVV_T-	0.00	0.00	0.00	0.00	0.00	0.00	0.00	0.00

PROGETTAZIONE ATI:

GPI INGEGNERIA

GESTIONE PROGETTI INGEGNERIA srl

cooprogetti

 **engeko**
 Studio di Architettura e Ingegneria Moderna

Pag. 190 di
 240

E78 GROSSETO – FANO
TRATTO NODO DI AREZZO – SELCI – LAMA (E45)
ADEGUAMENTO A QUATTRO CORSIE DEL TRATTO SAN ZENO – AREZZO – PALAZZO DEL PERO, 1° LOTTO
(FI508)

OPERE D'ARTE MAGGIORI – ASSE COLLEGAMENTO PALAZZO DEL PERO - VI.10 - VIADOTTO SCOPETONE

comb.num.	25	26	27	28	29	30	31	32	33	34	35	36	37	38	39	40	41
COND	SLU_P1	SLU_P2	SLU_T	SLU_VL	SLU_VS	SLU_VC1	SLU_VC2	SLU_VC3	SLU_1_1	SLU_1_2	SLU_1_3	SLU_2a1	SLU_2a2	SLU_2a3	SLU_2b1	SLU_2b2	SLU_2b3
	0.00	1.30	0.00	0.00	0.00	0.00	0.00	0.00	0.00	0.00	0.00	0.00	0.00	0.00	0.00	0.00	0.00
G1-TOTALE	1.30	1.30	1.30	1.30	1.30	1.30	1.30	1.30	1.30	1.30	1.30	1.30	1.30	1.30	1.30	1.30	1.30
G2-PERMANENTI	1.50	1.50	1.50	1.50	1.50	1.50	1.50	1.50	1.50	1.50	1.50	1.50	1.50	1.50	1.50	1.50	1.50
Spinta delle terre M1	1.30	1.30	1.30	1.30	1.30	1.30	1.30	1.30	1.30	1.30	1.30	1.30	1.30	1.30	1.30	1.30	1.30
Spinta delle terre M2	0.00	0.00	0.00	0.00	0.00	0.00	0.00	0.00	0.00	0.00	0.00	0.00	0.00	0.00	0.00	0.00	0.00
E1-DISTORSIONI	1.20	1.20	1.20	1.20	1.20	1.20	1.20	1.20	1.20	1.20	1.20	1.20	1.20	1.20	1.20	1.20	1.20
E2-RITIRO	1.20	1.20	1.20	1.20	1.20	1.20	1.20	1.20	1.20	1.20	1.20	1.20	1.20	1.20	1.20	1.20	1.20
E3-TERMICA-U	0.00	0.00	1.20	0.72	0.72	0.72	0.72	0.72	0.72	0.72	0.72	0.72	0.72	0.72	0.72	0.72	0.72
E4-CEDIMENTI	1.20	1.20	1.20	1.20	1.20	1.20	1.20	1.20	1.20	1.20	1.20	1.20	1.20	1.20	1.20	1.20	1.20
MaxP						1.01				1.50			0.90			0.90	
Max Mtr							1.01				1.50			0.90			0.90
Mobili rilevato						1.01	1.01	1.01	1.50	1.50	1.50	0.90	0.90	0.90	0.90	0.90	0.90
Q3-FRENATURA	0.00	0.00	0.00	0.00	0.00	0.00	0.00	0.00	0.00	0.00	0.00	1.50	1.50	1.50	0.00	0.00	0.00
Q4-CENTRIFUGA	0.00	0.00	0.00	0.00	0.00	0.00	0.00	0.00	0.00	0.00	0.00	0.00	0.00	0.00	1.50	1.50	1.50
Q5-VENTO-C	0.00	0.00	0.00	0.00	0.00	1.50	1.50	1.50	0.90								
Q5-VENTO-LONG					0.90	1.50											
Q5-VENTO-S	0.00	0.00	0.00	0.00	1.50	0.00	0.00	0.00	0.00	0.00	0.00	0.00	0.00	0.00	0.00	0.00	0.00
SLVX_T+	0.00	0.00	0.00	0.00	0.00	0.00	0.00	0.00	0.00	0.00	0.00	0.00	0.00	0.00	0.00	0.00	0.00
SLVX_T-	0.00	0.00	0.00	0.00	0.00	0.00	0.00	0.00	0.00	0.00	0.00	0.00	0.00	0.00	0.00	0.00	0.00
SLVY_T+	0.00	0.00	0.00	0.00	0.00	0.00	0.00	0.00	0.00	0.00	0.00	0.00	0.00	0.00	0.00	0.00	0.00
SLVY_T-	0.00	0.00	0.00	0.00	0.00	0.00	0.00	0.00	0.00	0.00	0.00	0.00	0.00	0.00	0.00	0.00	0.00
SLVV_T+	0.00	0.00	0.00	0.00	0.00	0.00	0.00	0.00	0.00	0.00	0.00	0.00	0.00	0.00	0.00	0.00	0.00
SLVV_T-	0.00	0.00	0.00	0.00	0.00	0.00	0.00	0.00	0.00	0.00	0.00	0.00	0.00	0.00	0.00	0.00	0.00

comb.num.	42	43	44	45	46	47
COND	SLU_SL1	SLU_SL2	SLU_ST1	SLU_ST2	SLU_V1	SLU_V2
	1.00	1.00	1.00	1.00	1.00	1.00
G1-TOTALE	1.00	1.00	1.00	1.00	1.00	1.00
G2-PERMANENTI	1.00	1.00	1.00	1.00	1.00	1.00
Spinta delle terre M1	1.00	1.00	1.00	1.00	1.00	1.00
Spinta delle terre M2	0.00	0.00	0.00	0.00	0.00	0.00
E1-DISTORSIONI	1.00	1.00	1.00	1.00	1.00	1.00
E2-RITIRO	1.00	1.00	1.00	1.00	1.00	1.00
E3-TERMICA-U	0.50	0.50	0.50	0.50	0.50	0.50
E4-CEDIMENTI	1.00	1.00	1.00	1.00	1.00	1.00
MaxP						
Max Mtr						
Mobili rilevato	0.00	0.00	0.00	0.00	0.00	0.00
Q3-FRENATURA	0.00	0.00	0.00	0.00	0.00	0.00
Q4-CENTRIFUGA	0.00	0.00	0.00	0.00	0.00	0.00
Q5-VENTO-C	0.00	0.00	0.00	0.00	0.00	0.00
Q5-VENTO-LONG						
Q5-VENTO-S	0.00	0.00	0.00	0.00	0.00	0.00
SLVX_T+	1.00	0.00	0.30	0.00	0.30	0.00
SLVX_T-	0.00	1.00	0.00	0.30	0.00	0.30
SLVY_T+	0.30	0.00	1.00	0.00	0.30	0.00
SLVY_T-	0.00	0.30	1.00	0.30	0.00	1.00
SLVV_T+	0.30	0.00	1.00	0.30	1.00	0.30
SLVV_T-	0.00	0.30	0.00	0.30	0.00	1.00

PROGETTAZIONE ATI:

GPI INGEGNERIA

GESTIONE PROGETTI INGEGNERIA srl

cooprogetti


engeko
 Studio di Architettura e Ingegneria Moderna

Pag. 191 di
 240

comb.num.	48	49	50	51	52	53	54	55	56	57	58	59	60	61	62	63	64
	SLU_GEO (A2)																
COND	SLU_G_P1	SLU_G_P2	SLU_G_T	SLU_G_VL	SLU_G_VS	SLU_G_VC1	SLU_G_VC2	SLU_G_VC3	SLU_G_1_1	SLU_G_1_2	SLU_G_1_3	SLU_G_2a1	SLU_G_2a2	SLU_G_2a3	SLU_G_2b1	SLU_G_2b2	SLU_G_2b3
	1.00	1.00	1.00	1.00	1.00	1.00	1.00	1.00	1.00	1.00	1.00	1.00	1.00	1.00	1.00	1.00	1.00
G1-TOTALE	1.00	1.00	1.00	1.00	1.00	1.00	1.00	1.00	1.00	1.00	1.00	1.00	1.00	1.00	1.00	1.00	1.00
G2-PERMANENTI	1.00	1.00	1.00	1.00	1.00	1.00	1.00	1.00	1.00	1.00	1.00	1.00	1.00	1.00	1.00	1.00	1.00
Spinta delle terre M1	0.00	0.00	0.00	0.00	0.00	0.00	0.00	0.00	0.00	0.00	0.00	0.00	0.00	0.00	0.00	0.00	0.00
Spinta delle terre M2	1.00	1.00	1.00	1.00	1.00	1.00	1.00	1.00	1.00	1.00	1.00	1.00	1.00	1.00	1.00	1.00	1.00
E1-DISTORSIONI	1.00	1.00	1.00	1.00	1.00	1.00	1.00	1.00	1.00	1.00	1.00	1.00	1.00	1.00	1.00	1.00	1.00
E2-RITIRO	1.00	1.00	1.00	1.00	1.00	1.00	1.00	1.00	1.00	1.00	1.00	1.00	1.00	1.00	1.00	1.00	1.00
E3-TERMICA-U			1.00	0.60	0.60	0.60	0.60	0.60	0.60	0.60	0.60	0.60	0.60	0.60	0.60	0.60	0.60
E4-CEDIMENTI	1.00	1.00	1.00	1.00	1.00	1.00	1.00	1.00	1.00	1.00	1.00	1.00	1.00	1.00	1.00	1.00	1.00
MaxP						1.15			1.15			1.15			1.15		
Max Mtr							1.15			1.15			1.15			1.15	
Mobili rilevato						1.15	1.15	1.15	1.15	1.15	1.15	1.15	1.15	1.15	1.15	1.15	1.15
Q3-FRENATURA	0.00	0.00	0.00	0.00	0.00	0.00	0.00	0.00	0.00	0.00	0.00	1.15	1.15	1.15	0.00	0.00	0.00
Q4-CENTRIFUGA	0.00	0.00	0.00	0.00	0.00	0.00	0.00	0.00	0.00	0.00	0.00	0.00	0.00	0.00	1.15	1.15	1.15
Q5-VENTO-C	0.00	0.00	0.00	0.00	0.00	1.30	1.30	1.30	0.78	0.78	0.78	0.78	0.78	0.78	0.78	0.78	0.78
Q5-VENTO-LONG					0.78	1.30											
Q5-VENTO-S	0.00	0.00	0.00	0.00	1.30	0.00	0.00	0.00	0.00	0.00	0.00	0.00	0.00	0.00	0.00	0.00	0.00
SLVX_T+	0.00	0.00	0.00	0.00	0.00	0.00	0.00	0.00	0.00	0.00	0.00	0.00	0.00	0.00	0.00	0.00	0.00
SLVX_T-	0.00	0.00	0.00	0.00	0.00	0.00	0.00	0.00	0.00	0.00	0.00	0.00	0.00	0.00	0.00	0.00	0.00
SLVY_T+	0.00	0.00	0.00	0.00	0.00	0.00	0.00	0.00	0.00	0.00	0.00	0.00	0.00	0.00	0.00	0.00	0.00
SLVY_T-	0.00	0.00	0.00	0.00	0.00	0.00	0.00	0.00	0.00	0.00	0.00	0.00	0.00	0.00	0.00	0.00	0.00
SLVV_T-	0.00	0.00	0.00	0.00	0.00	0.00	0.00	0.00	0.00	0.00	0.00	0.00	0.00	0.00	0.00	0.00	0.00
SLVV_T+	0.00	0.00	0.00	0.00	0.00	0.00	0.00	0.00	0.00	0.00	0.00	0.00	0.00	0.00	0.00	0.00	0.00
SLVV_T-	0.00	0.00	0.00	0.00	0.00	0.00	0.00	0.00	0.00	0.00	0.00	0.00	0.00	0.00	0.00	0.00	0.00

Si riporta di seguito le azioni combinate sul piano di fondazione nel baricentro della palificata:

SPALLA	AZIONI INTRADOSSO				
	FONDAZIONE				
	P	V3=Ttrasv	V2=Tlong	M3=Mlong	M2=Mtraspv
1	SLS_R_P	33478	0	9420	0
		33579	0	9664	0
		33539	0	9567	0
		33539	148	9567	0
		37023	189	10830	0
		36690	189	10830	0
		35054	189	10830	0
		37023	114	10830	0
		36690	114	10830	0
		35054	114	10830	0
		37023	114	10830	0
		35054	114	10830	0
		37023	114	10990	0
		36690	114	10990	0
		35054	114	10990	0
17	SLS_F_P	33478	0	9420	0
		33529	30	9542	0
		37023	38	10830	0
		36630	38	10683	0
					35386

PROGETTAZIONE ATI:

GPI INGEGNERIA

GESTIONE PROGETTI INGEGNERIA srl



cooprogetti



Studio di Architettura e Ingegneria Moderna

Pag. 192 di

240

21	SLS_F_VC3	ULS_STR (A1)	35044	38	10805	0	36273
22	SLS_F_1_1		37012	38	10805	0	36784
23	SLS_F_1_2		36690	38	10830	0	36960
24	SLS_F_1_3		35044	38	10805	0	36273
25	ULS_P1		43672	0	12219	0	38830
26	ULS_P2		43672	0	12219	0	38830
27	ULS_T		43793	0	12512	0	41979
28	ULS_VL		43745	0	12395	0	40719
29	ULS_VS		43745	222	12395	0	40719
30	ULS_VC1		47272	284	13674	0	46197
31	ULS_VC2		46936	284	13674	0	46109
32	ULS_VC3		45280	284	13674	0	45678
33	ULS_1_1		48971	170	14289	0	48834
34	ULS_1_2		48472	170	14289	0	48704
35	ULS_1_3		46019	170	14289	0	48066
36	ULS_2a1	ULS SEISMIC	46880	170	13772	0	48144
37	ULS_2a2		46581	170	13772	0	48066
38	ULS_2a3		45109	170	13772	0	47683
39	ULS_2b1		46880	170	13532	0	45588
40	ULS_2b2		46581	170	13532	0	45510
41	ULS_2b3		45109	170	13532	0	45127
42	ULS_SL1		34928	3507	21137	0	115276
43	ULS_SL2	ULS GEO (A2)	32129	-3507	-2052	0	-52526
44	ULS_ST1		34928	10086	13622	0	64269
45	ULS_ST2		32129	-10086	5463	0	-1519
46	ULS_V1		38194	3137	13159	0	58414
47	ULS_V2		28863	-3137	5925	0	4335
48	ULS_G_P1		20382	0	11241	0	22356
49	ULS_G_P2	ULS_GEO (A2)	20382	0	11241	0	22356
50	ULS_G_T		20483	0	11485	0	24980
51	ULS_G_VL		20443	0	11387	0	23931
52	ULS_G_VS		20443	192	11387	0	23931
53	ULS_G_VC1		24449	246	12840	0	30152
54	ULS_G_VC2		24067	246	12840	0	30052
55	ULS_G_VC3		22186	246	12840	0	29563
56	ULS_G_1_1		24449	148	12840	0	30152
57	ULS_G_1_2		24067	148	12840	0	30052
58	ULS_G_1_3		22186	148	12840	0	29563
59	ULS_G_2a1		24449	148	13024	0	32111
60	ULS_G_2a2		24067	148	13024	0	32012
61	ULS_G_2a3		22186	148	13024	0	31523
62	ULS_G_2b1		24449	148	12840	0	30152
63	ULS_G_2b2		24067	148	12840	0	30052
64	ULS_G_2b3		22186	148	12840	0	29563

Le azioni in testa ai pali sono valutate per ogni combinazione secondo la seguente formulazione:

$$N_{palo} = N / (\text{num pali}) + (M_{t,trasv}/W_{trasv}) + (M_{l,long}/W)$$

Lo sforzo di taglio viene ripartito tra tutti i pali.

PROGETTAZIONE ATI:

GPI INGEGNERIA

GESTIONE PROGETTI INGEGNERIA srl


cooprogetti


engeko


anim
Studio di Architettura e Ingegneria Moderna

Azioni sui singoli pali

1

Comb.	N max (kN)	N min (kN)	T max (kN)	
1	309.192	123.739	61.172	SLS_characteristic combination
2	318.367	115.875	62.756	
3	314.697	119.021	62.122	
4	318.809	114.909	62.130	
5	362.820	116.144	70.334	
6	361.346	113.300	70.334	
7	344.927	108.476	70.334	
8	360.651	118.314	70.327	
9	359.177	115.470	70.327	
10	342.758	110.646	70.327	
11	366.183	112.781	71.366	
12	364.709	109.937	71.366	
13	348.290	105.113	71.366	
14	360.651	118.314	70.327	
15	359.177	115.470	70.327	
16	342.758	110.646	70.327	
17	309.192	123.739	61.172	SLS_frequent and quasi-permanent combination
18	314.602	118.985	61.964	
19	358.481	120.483	70.323	
20	351.503	122.357	69.373	
21	339.671	113.601	70.165	
22	357.564	121.270	70.165	
23	357.008	117.639	70.323	
24	339.671	113.601	70.165	
25	402.247	162.522	79.346	ULS_STR (A1)
26	402.247	162.522	79.346	
27	413.256	153.085	81.247	
28	408.852	156.860	80.486	
29	415.020	150.692	80.499	
30	460.221	151.303	88.809	
31	458.729	148.424	88.809	
32	442.105	143.539	88.809	
33	477.783	155.799	92.794	
34	475.573	151.533	92.794	
35	450.944	144.297	92.794	
36	460.462	145.972	89.432	
37	459.136	143.412	89.432	
38	444.359	139.071	89.432	
39	452.163	154.271	87.874	
40	450.837	151.711	87.874	
41	436.060	147.369	87.874	
42	654.711	-203.030	138.845	ULS SEISMIC
43	442.645	-27.152	26.177	
44	588.216	-136.535	109.833	
45	376.149	39.343	74.282	

PROGETTAZIONE ATI:

GPI INGEGNERIA

GESTIONE PROGETTI INGEGNERIA srl

cooprogetti



AM
Studio di Architettura e Ingegneria Moderna

46	481.655	12.246	87.747	ULS_V1	
47	241.767	131.505	43.570	ULS_V2	
48	196.989	61.578	72.993	ULS_G_P1	
49	196.989	61.578	72.993	ULS_G_P2	
50	206.163	53.714	74.577	ULS_G_T	
51	202.493	56.860	73.943	ULS_G_VL	
52	207.838	51.515	73.954	ULS_G_VS	
53	258.649	52.738	83.389	ULS_G_VC1	
54	256.954	49.467	83.389	ULS_G_VC2	
55	238.072	43.920	83.389	ULS_G_VC3	
56	255.828	55.558	83.380	ULS_G_1_1	
57	254.134	52.288	83.380	ULS_G_1_2	
58	235.252	46.740	83.380	ULS_G_1_3	
59	262.191	49.196	84.574	ULS_G_2a1	
60	260.496	45.925	84.574	ULS_G_2a2	
61	241.614	40.378	84.574	ULS_G_2a3	
62	255.828	55.558	83.380	ULS_G_2b1	
63	254.134	52.288	83.380	ULS_G_2b2	
64	235.252	46.740	83.380	ULS_G_2b3	

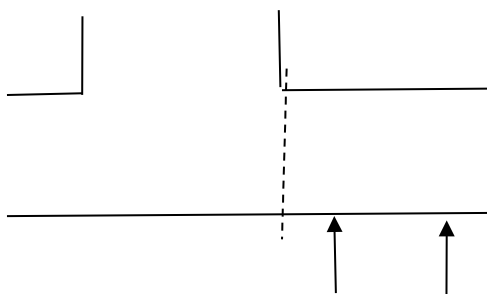
ULS_GEO (A2)

comb.	33	NmaxSLU	477.8	TmaxSLU	92.8
comb.	42	NmaxSLV	654.7	TmaxSLV	138.8

Per la verifica del palo si rimanda alla relazione delle fondazioni.

20.3. VERIFICA DEL PLINTO DI FONDAZIONE

Per la verifica del plinto di fondazione di adotta il momento indotto sulla mensola anteriore generato dalla sommatoria degli sforzi normali nelle prime due file di micropali.



Lo sforzo massimo sui pali anteriore è generato nella combinazione 42, pari a 654.8 kN.

Si riporta la distribuzione degli sforzi nella combinazione 42.

PROGETTAZIONE ATI:

GPI INGEGNERIA

GESTIONE PROGETTI INGEGNERIA srl


cooprogetti


engeko


AIM
Studio di Architettura e Ingegneria Moderna

La sommatoria delle azioni del primo allineamento è pari a 8415 kN, mentre quelle del secondo sono 7367 kN.

A queste sollecitazioni corrisponde un momento sul plinto di fondazione pari a $8415 \times 1.5 + 7367 \times 0.5 = 16306$ kNm cui corrisponde una sollecitazione per unità di lunghezza pari a $16306 / 14 = 1164$ kNm

Si riporta di seguito il calcolo del momento resistente in una sezione armata con 1Ø20/20 superiore ed 1Ø24/20 inferiore pari a 1701 kNm > Med=1164 kNm.

Titolo : [Input Field]

N° strati barre **Zoom**

N°	b [cm]	h [cm]
1	100	200

Sollecitazioni

S.L.U. **Metodo n**

N _{Ed} <input type="text" value="0"/>	0 kN
M _{xEd} <input type="text" value="0"/>	0 kNm
M _{yEd} <input type="text" value="0"/>	0

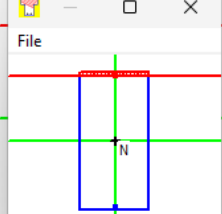
Punto applicazione N

Centro Baricentro cls
 Coord. [cm] xN 0
 yN 0

Tipo rottura
Lato acciaio - Acciaio snervato

Tipo Sezione

Rettang.re Trapezi
 a T Circolare
 Rettangoli Coord.
 DXF



File

Metodo di calcolo

S.L.U.+ S.L.U.-
 Metodo n

Tipo flessione

Retta Deviata

N° rett.

Calcola MRd **Dominio M-N**

L₀ cm **Col. modello**

M-curvatura

Precompresso

Materiali

B450C	C30/37
ε _{su} 67.5 %	ε _{c2} 2 %
f _{yd} 391.3 N/mm ²	ε _{cu} 3.5
E _s 200.000 N/mm ²	f _{cd} 17
E _s /E _c 15	f _{cc} / f _{cd} 0.8
ε _{syd} 1.957 %	σ _{c,adm} 11.5
σ _{s,adm} 255 N/mm ²	τ _{co} 0.6933
	τ _{c1} 2.029

20.4. VERIFICA DEL MURO FRONTALE

AZIONI ALLA BASE DEL MURO

FRONTALE

(CARICHI NOMINALI)

SPALLA	P	V3=Ttrasv	V2=Tlong	T=Mtorc	M3=Mlong	M2=Mtrasv
SLE_R_1	Axial (kN)	Shear-y (kN)	Shear-z (kN)	Torsion (kN*m)	Moment-y (kN*m)	Moment-z (kN*m)
G1-PP_TOT	8565.72				516.75	813.24
G2-PERMANENTI	860.41				301.14	259.75
Spinta delle terre M1	0.00		3099.62		11055.29	0.00
Spinta delle terre M2						
E1-DISTORSIONI						
E2-RITIRO	189.91				66.47	
E3-TERMICA-U	100.90				35.32	
E4-CEDIMENTI	23.48				8.22	
Mobili_MaxN	1968.19				688.87	1328.58
Mobili_Max Mtr	1635.72				572.50	1700.44
Mobili_rilevato	0.00				0.00	
Q3-FRENATURA	0.00		160.00		1280.00	0.00
Q4-CENTRIFUGA	0.00	0.00				0.00
Q5-VENTO-C	0.00	189.36				1586.24
Q5-VENTO-LONG						
Q5-VENTO-S	0.00	147.82				1191.28
Q7-ATTRITO-P				0.00		0.00

PROGETTAZIONE ATI:

GPI INGEGNERIA

GESTIONE PROGETTI INGEGNERIA srl


cooprogetti


engeko


AIM

Studio di Architettura e Ingegneria Moderna

Q7-ATTRITO-Q			0.00		0.00	
SLVX_T+	0.00	528.97	4370.36		39018.73	5718.13
SLVX_T-	0.00	-528.97	-4370.36		-39018.73	-5718.13
SLVY_T+	0.00	2901.48	660.74		7142.57	23140.19
SLVY_T-	0.00	-2901.48	-660.74		-7142.57	-23140.19
SLVV_T+	1152.38				37.70	
SLVV_T-	-1152.38				-37.70	

Si riportano le azioni combinate alla base del muro frontale

SPALLA

AZIONI ALLA BASE DEL MURO FRONTALE

		P	V3=Ttrasv	V2=Tlong	T=Mtorc	M3=Mlong	M2=Mtrasv
		Axial (kN)	Shear-y (kN)	Shear-z (kN)	Torsion (kN*m)	Moment-y (kN*m)	Moment-z (kN*m)
SLS_R_P	SLS_characteristic combination	9640	0	3100	0	11948	1073
SLS_T		9740	0	3100	0	11983	1073
SLS_VL		9700	0	3100	0	11969	1073
SLS_R_VS		9700	148	3100	0	11969	2264
SLS_R_VC1		11668	189	3100	0	12658	3988
SLS_R_VC2		11336	189	3100	0	12542	4360
SLS_R_VC2		9700	189	3100	0	11969	2659
SLS_R_1_1		11668	114	3100	0	12658	3353
SLS_R_1_2		11336	114	3100	0	12542	3725
SLS_R_1_3		9700	114	3100	0	11969	2025
SLS_R_2a_1		11668	114	3260	0	13938	3353
SLS_R_2a_2		11336	114	3260	0	13822	3725
SLS_R_2a_3		9700	114	3260	0	13249	2025
SLS_R_2b_1		11668	114	3100	0	12658	3353
SLS_R_2b_2		11336	114	3100	0	12542	3725
SLS_R_2b_3		9700	114	3100	0	11969	2025
SLS_F_P	SLS_frequent and quasi-permanent combination	9640	0	3100	0	11948	1073
SLS_F_VS		9690	30	3100	0	11966	1311
SLS_F_VC1		11668	38	3100	0	12658	2719
SLS_F_VC2		11275	38	3100	0	12520	3091
SLS_F_VC3		9690	38	3100	0	11966	1390
SLS_F_1_1		11658	38	3100	0	12654	2719
SLS_F_1_2		11336	38	3100	0	12542	3091
SLS_F_1_3		9690	38	3100	0	11966	1390
ULS_P1	ULS_STR (A1)	12682	0	4029	0	15585	1447
ULS_P2		12682	0	4029	0	15585	1447
ULS_T		12803	0	4029	0	15627	1447
ULS_VL		12755	0	4029	0	15610	1447
ULS_VS		12755	222	4029	0	15610	3234
ULS_VC1		14748	284	4029	0	16308	5171
ULS_VC2		14411	284	4029	0	16190	5548
ULS_VC3		12755	284	4029	0	15610	3826
ULS_1_1		15707	170	4029	0	16644	4867
ULS_1_2		15208	170	4029	0	16469	5425
ULS_1_3		12755	170	4029	0	15610	2874

PROGETTAZIONE ATI:

GPI INGEGNERIA
GESTIONE PROGETTI INGEGNERIA srl


cooprogetti


engeko


anim

Studio di Architettura e Ingegneria Moderna

ULS_2a1		14526	170	4269	0	18150	4070
ULS_2a2		14227	170	4269	0	18046	4405
ULS_2a3		12755	170	4269	0	17530	2874
ULS_2b1		14526	170	4029	0	16230	4070
ULS_2b2		14227	170	4029	0	16126	4405
ULS_2b3		12755	170	4029	0	15610	2874
ULS_SL1	ULS SEISMIC	10036	1399	7668	0	53138	13733
ULS_SL2		9344	-1399	-1469	0	-29207	-11587
ULS_ST1		10036	3060	5071	0	30825	25929
ULS_ST2		9344	-3060	1128	0	-6894	-23783
ULS_V1		10842	1029	4609	0	25852	9730
ULS_V2		8538	-1029	1590	0	-1921	-7585
ULS_G_P1	ULS GEO (A2)	9640	0	0	0	893	1073
ULS_G_P2		9640	0	0	0	893	1073
ULS_G_T		9740	0	0	0	928	1073
ULS_G_VL		9700	0	0	0	914	1073
ULS_G_VS		9700	192	0	0	914	2622
ULS_G_VC1		11963	246	0	0	1706	4663
ULS_G_VC2		11581	246	0	0	1572	5091
ULS_G_VC3		9700	246	0	0	914	3135
ULS_G_1_1		11963	148	0	0	1706	3838
ULS_G_1_2		11581	148	0	0	1572	4266
ULS_G_1_3		9700	148	0	0	914	2310
ULS_G_2a1		11963	148	184	0	3178	3838
ULS_G_2a2		11581	148	184	0	3044	4266
ULS_G_2a3		9700	148	184	0	2386	2310
ULS_G_2b1		11963	148	0	0	1706	3838
ULS_G_2b2		11581	148	0	0	1572	4266
ULS_G_2b3		9700	148	0	0	914	2310

Il momento ultimo massimo è pari a 53138 kNm su tutta la larghezza del muro cui corrisponde un momento specifico di $53138/11.66=4557$ kNm.

Si riporta di seguito il calcolo del momento resistente in una sezione armata con 1Ø20/20 anteriore e 1Ø20/20+1Ø24/10 disposti posteriormente che risulta pari a 5656 kNm > Med=4557 kNm.

Titolo : <input type="text"/>																			
N° strati barre <input type="text" value="3"/> Zoom																			
<table border="1" style="width: 100%; border-collapse: collapse;"> <tr> <th>N°</th> <th>b [cm]</th> <th>h [cm]</th> </tr> <tr> <td>1</td> <td>100</td> <td>250</td> </tr> </table>	N°	b [cm]	h [cm]	1	100	250	<table border="1" style="width: 100%; border-collapse: collapse;"> <tr> <th>N°</th> <th>As [cm²]</th> <th>d [cm]</th> </tr> <tr> <td>1</td> <td>15.71</td> <td>5</td> </tr> <tr> <td>2</td> <td>45.24</td> <td>245</td> </tr> <tr> <td>3</td> <td>15.71</td> <td>235</td> </tr> </table>	N°	As [cm ²]	d [cm]	1	15.71	5	2	45.24	245	3	15.71	235
N°	b [cm]	h [cm]																	
1	100	250																	
N°	As [cm ²]	d [cm]																	
1	15.71	5																	
2	45.24	245																	
3	15.71	235																	
Sollecitazioni <input type="button" value="S.L.U."/> <input type="button" value="Metodo n"/>																			
N_{Ed} <input type="text" value="0"/> kN M_{xEd} <input type="text" value="0"/> kNm M_{yEd} <input type="text" value="0"/>	Punto applicazione N <input checked="" type="radio"/> Centro <input type="radio"/> Baricentro cls <input type="radio"/> Coord. [cm] <input type="checkbox"/> xN [] <input type="checkbox"/> yN []																		
Tipo rottura Lato calcestruzzo - Acciaio snervato																			
Materiali																			
<table border="1" style="width: 100%; border-collapse: collapse;"> <tr> <td>B450C</td> <td>C30/37</td> </tr> <tr> <td>ε_{su} 67.5 %</td> <td>ε_{c2} 2 %</td> </tr> <tr> <td>f_{yd} 391.3 N/mm²</td> <td>ε_{cu} 3.5</td> </tr> <tr> <td>E_s 200,000 N/mm²</td> <td>f_{cd} 17</td> </tr> <tr> <td>E_s/E_c 15</td> <td>f_{cc}/f_{cd} 0.8</td> </tr> <tr> <td>ε_{syd} 1.957 %</td> <td>$\sigma_{c,adm}$ 11.5</td> </tr> <tr> <td>$\sigma_{s,adm}$ 255 N/mm²</td> <td>τ_{co} 0.6933</td> </tr> <tr> <td></td> <td>τ_{c1} 2.029</td> </tr> </table>		B450C	C30/37	ε_{su} 67.5 %	ε_{c2} 2 %	f_{yd} 391.3 N/mm ²	ε_{cu} 3.5	E_s 200,000 N/mm ²	f_{cd} 17	E_s/E_c 15	f_{cc}/f_{cd} 0.8	ε_{syd} 1.957 %	$\sigma_{c,adm}$ 11.5	$\sigma_{s,adm}$ 255 N/mm ²	τ_{co} 0.6933		τ_{c1} 2.029		
B450C	C30/37																		
ε_{su} 67.5 %	ε_{c2} 2 %																		
f_{yd} 391.3 N/mm ²	ε_{cu} 3.5																		
E_s 200,000 N/mm ²	f_{cd} 17																		
E_s/E_c 15	f_{cc}/f_{cd} 0.8																		
ε_{syd} 1.957 %	$\sigma_{c,adm}$ 11.5																		
$\sigma_{s,adm}$ 255 N/mm ²	τ_{co} 0.6933																		
	τ_{c1} 2.029																		
M_{xRd} 5.656 kNm σ_c -17 N/mm ² σ_s 391.3 N/mm ² ε_c 3.5 % ε_s 63.63 % d 245 cm x 12.77 x/d 0.05214 δ 0.7																			
Tipo di calcolo <input checked="" type="radio"/> S.L.U.+ <input type="radio"/> S.L.U.- <input type="radio"/> Metodo n Tipo flessione <input checked="" type="radio"/> Retta <input type="radio"/> Deviata N° rett. 100 <input type="checkbox"/> Precompresso Calcola MRd <input type="checkbox"/> Dominio M-N L₀ 0 cm <input type="checkbox"/> Col. modello <input type="checkbox"/> M-curvatura																			

20.5. VERIFICA DEL PARAGHIAIA

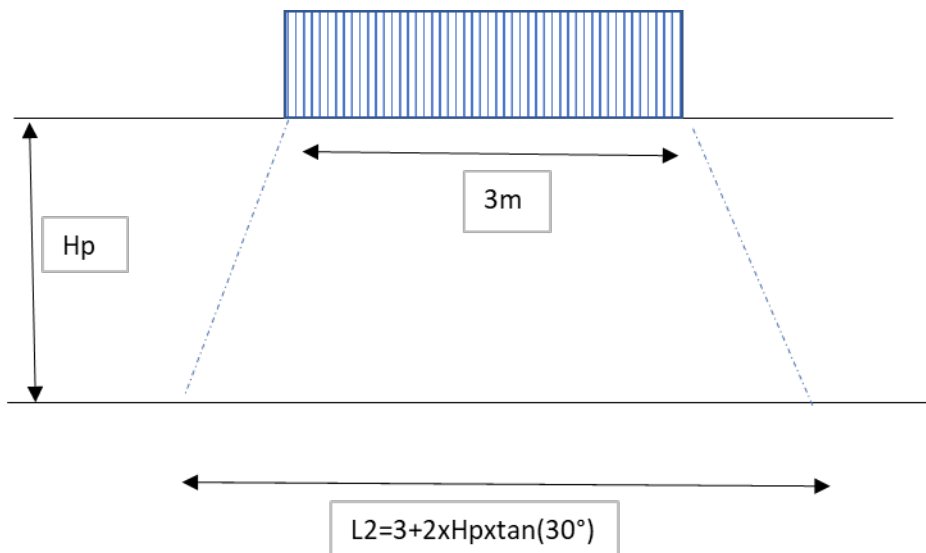
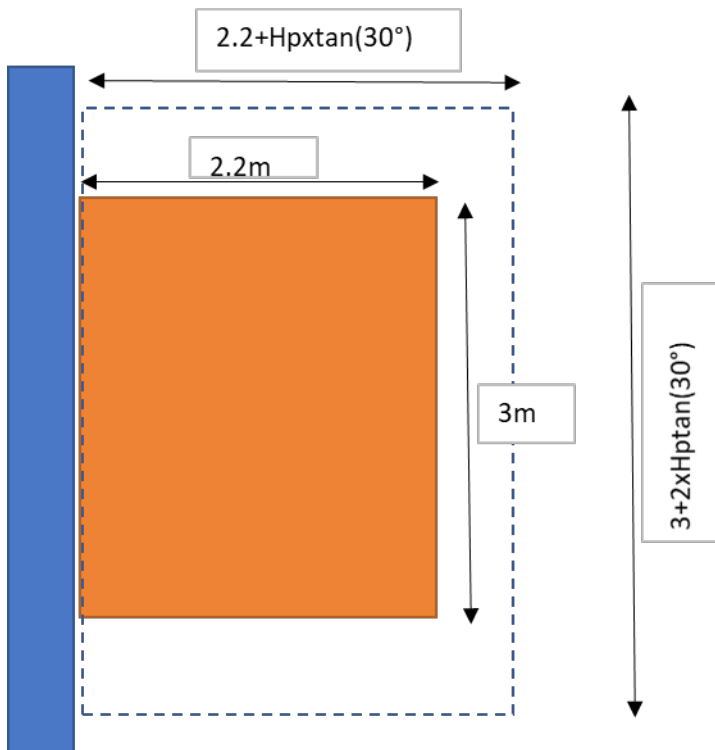
L'altezza massima del paraghiaia Hp è pari circa a 2.7m, con uno spessore di 40cm.

Le azioni applicate al paraghiaia sono le seguenti:

-peso proprio

-spinta terreno a riposo applicata ad 1/3 dell'altezza del paraghiaia

-spinta sovraccarico 20 kN/m² a tergo paraghiaia valore che corrisponde circa alla pressione che si ottiene ripartendo l'asse che resta sul rilevato pari a 300 kN sui di una superficie di lato pari a $3+2\times H_p \tan(30^\circ)=5.3$ m e $2.2+H_p \tan(30^\circ)=3.35$ ipotizzando una diffusione a 30° all'interno del corpo del rilevato (rif.C5.1.3.3.5.1 circolare NTC).



Applicata a metà altezza del paragliaia.

-azione di frenamento di 180 kN in orizzontale e un asse da 150 kN in verticale (rif.C5.1.3.3.5.2 circolare NTC)

La sezione resistente del paragliaia alla base viene considerata larga 5.3m ipotizzando una larghezza ripartita a 45° ($2.3+2xH_p \tan(45^\circ)$)

PROGETTAZIONE ATI:

GPI INGEGNERIA

GESTIONE PROGETTI INGEGNERIA srl

 **cooprogetti**

 **engeko**
Studio di Architettura e Ingegneria Moderna

Vengono considerate due combinazione di carico:

- Con il sovraccarico a tergo del paragliaia
- Con l'azione di frenamento ed il carico di un asse agente sul paragliaia

distanza assi	2.3 m
altezza paragliaia Hp	2.7 m
Impronte diffusione carico (L2 L1) (m)	6.12 3.76
pressione equivalente carico	26.09 kN/m ²

larghezza paragliaia alla base	6.12 m
angolo attrito terreno riempimento	35 °
Coeff.spinta	0.426

combinazione 1			N	M (kNm)		Mslu	Nslu
spinta terreno	180.7	kN		146.3	1.3	190.2	
Sovraccarico	183.8	KN		248.1	1.5	372.2	
Peso del paragliaia e della mensola			165.2		1.00		165.2
totali						562.4	165.2

Combinazione 2				M (kNm)		Mslu	Nslu
Azione di frenamento	180	kN		486	1.5	729	
Asse sul paragliaia			225		1.5		337.5
Peso del paragliaia e della mensola			165.2		1		165.2
totali						729.0	502.7

$$\text{Comb1 } M=562.4/6.12=91.86 \text{ kNm/m}$$

$$N=165.2/6.12=27 \text{ kN/m}$$

$$\text{Comb2 } M=729/6.12=119.1 \text{ kNm/m}$$

$$N=502.7/6.12=82.14 \text{ kN/m}$$

Il setto del paragliaia è armato in modo simmetrico con 5Ø20/m all'interno e 5Ø16/m all'esterno.

PROGETTAZIONE ATI:

GPI INGEGNERIA

GESTIONE PROGETTI INGEGNERIA srl


cooprogetti


engeko


anim
Studio di Architettura e Ingegneria Moderna

Combinazione slu1

<input type="text" value="Titolo :"/>	N° strati barre [2] <input type="button" value="Zoom"/>																	
<table border="1" style="width: 100%; border-collapse: collapse;"> <tr> <td style="width: 15%;">N°</td> <td style="width: 25%;">b [cm]</td> <td style="width: 25%;">h [cm]</td> <td style="width: 35%; text-align: right; padding-right: 10px;"> <input type="text" value="As [cm²]"/> <input type="button" value="Zoom"/> </td> </tr> <tr> <td>1</td> <td>100</td> <td>40</td> <td style="text-align: right; padding-right: 10px;"> <input type="text" value="d [cm]"/> <input type="button" value="Zoom"/> </td> </tr> <tr> <td colspan="3"></td> <td style="text-align: right; padding-right: 10px;"> <input type="text" value="xN"/> <input type="button" value="Zoom"/> </td> </tr> <tr> <td colspan="3"></td> <td style="text-align: right; padding-right: 10px;"> <input type="text" value="yN"/> <input type="button" value="Zoom"/> </td> </tr> </table>			N°	b [cm]	h [cm]	<input type="text" value="As [cm²]"/> <input type="button" value="Zoom"/>	1	100	40	<input type="text" value="d [cm]"/> <input type="button" value="Zoom"/>				<input type="text" value="xN"/> <input type="button" value="Zoom"/>				<input type="text" value="yN"/> <input type="button" value="Zoom"/>
N°	b [cm]	h [cm]	<input type="text" value="As [cm²]"/> <input type="button" value="Zoom"/>															
1	100	40	<input type="text" value="d [cm]"/> <input type="button" value="Zoom"/>															
			<input type="text" value="xN"/> <input type="button" value="Zoom"/>															
			<input type="text" value="yN"/> <input type="button" value="Zoom"/>															
Sollecitazioni S.L.U. <input type="button" value="→"/> <input type="button" value="←"/> Metodo n																		
N _{Ed} [27] <input type="text" value="0"/> kN M _{xEd} [91.86] <input type="text" value="0"/> kNm M _{yEd} [0] <input type="text" value="0"/>																		
Punto applicazione N <input checked="" type="radio"/> Centro <input type="radio"/> Baricentro cls <input type="radio"/> Coord.[cm] <input type="text" value="xN"/> <input type="text" value="yN"/>																		
Lato calcestruzzo - Acciaio snervato Materiali: B450C / C30/37																		
M _{xRd} [208.3] kNm																		
Metodo di calcolo <input checked="" type="radio"/> S.L.U.+ <input type="radio"/> S.L.U.- <input type="radio"/> Metodo n																		
Tipo flessione <input checked="" type="radio"/> Retta <input type="radio"/> Deviata																		
N° rett. [100] <input type="button" value="Calcola MRd"/> Dominio M-N L ₀ [0] cm <input type="button" value="Col. modello"/> M-curvatura																		
<input type="checkbox"/> Precompresso																		

Combinazione slu2

<input type="text" value="Titolo :"/>	N° strati barre [2] <input type="button" value="Zoom"/>																	
<table border="1" style="width: 100%; border-collapse: collapse;"> <tr> <td style="width: 15%;">N°</td> <td style="width: 25%;">b [cm]</td> <td style="width: 25%;">h [cm]</td> <td style="width: 35%; text-align: right; padding-right: 10px;"> <input type="text" value="As [cm²]"/> <input type="button" value="Zoom"/> </td> </tr> <tr> <td>1</td> <td>100</td> <td>40</td> <td style="text-align: right; padding-right: 10px;"> <input type="text" value="d [cm]"/> <input type="button" value="Zoom"/> </td> </tr> <tr> <td colspan="3"></td> <td style="text-align: right; padding-right: 10px;"> <input type="text" value="xN"/> <input type="button" value="Zoom"/> </td> </tr> <tr> <td colspan="3"></td> <td style="text-align: right; padding-right: 10px;"> <input type="text" value="yN"/> <input type="button" value="Zoom"/> </td> </tr> </table>			N°	b [cm]	h [cm]	<input type="text" value="As [cm²]"/> <input type="button" value="Zoom"/>	1	100	40	<input type="text" value="d [cm]"/> <input type="button" value="Zoom"/>				<input type="text" value="xN"/> <input type="button" value="Zoom"/>				<input type="text" value="yN"/> <input type="button" value="Zoom"/>
N°	b [cm]	h [cm]	<input type="text" value="As [cm²]"/> <input type="button" value="Zoom"/>															
1	100	40	<input type="text" value="d [cm]"/> <input type="button" value="Zoom"/>															
			<input type="text" value="xN"/> <input type="button" value="Zoom"/>															
			<input type="text" value="yN"/> <input type="button" value="Zoom"/>															
Sollecitazioni S.L.U. <input type="button" value="→"/> <input type="button" value="←"/> Metodo n																		
N _{Ed} [82.14] <input type="text" value="0"/> kN M _{xEd} [119.1] <input type="text" value="0"/> kNm M _{yEd} [0] <input type="text" value="0"/>																		
Punto applicazione N <input checked="" type="radio"/> Centro <input type="radio"/> Baricentro cls <input type="radio"/> Coord.[cm] <input type="text" value="xN"/> <input type="text" value="yN"/>																		
Lato calcestruzzo - Acciaio snervato Materiali: B450C / C30/37																		
M _{xRd} [216.9] kNm																		
Metodo di calcolo <input checked="" type="radio"/> S.L.U.+ <input type="radio"/> S.L.U.- <input type="radio"/> Metodo n																		
Tipo flessione <input checked="" type="radio"/> Retta <input type="radio"/> Deviata																		
N° rett. [100] <input type="button" value="Calcola MRd"/> Dominio M-N L ₀ [0] cm <input type="button" value="Col. modello"/> M-curvatura																		
<input type="checkbox"/> Precompresso																		

PROGETTAZIONE ATI:

GPI INGEGNERIA

GESTIONE PROGETTI INGEGNERIA srl


cooprogetti


engeko


AIM
 Studio di Architettura e Ingegneria Moderna

20.6. VERIFICA DEL MURO DI RISVOLTO

Per la verifica del muro di risvolto si adottano gli schemi a lastra incastrata su due lati soggetta a carico uniforme (sovraffaccarico) ed a carico con distribuzione triangolare (terreno) (rif. "Calcolo di lastre e piastre" R.Bares ed.clup).

In base alla geometria del muro si possono ottenere dei coefficienti moltiplicativi da applicare alle grandezze Carico x lunghezza².

Il carico viene valutato attraverso la ripartizione del carico tandem utilizzata per il dimensionamento del paragliaia considerato affiancato al muro.

distanza assi	2.3 m
altezza muro b	10.7 m
Impronte diffusione carico (L2 L1) (m)	15.36 8.38
pressione equivalente carico	4.66 kN/m ²
pressione alla base terreno	203.3 kN/m ²
larghezza muro a	6.50 m
angolo attrito terreno riempimento	35 °
Coeff.spinta	0.426
pressione spinta sovraccarico	1.988896 kN/m ²
pressione spinta terreno	86.69191 kN/m ²
Rapporto dimensionale a/b	0.607477

Lato verticale	Sovraccarico	terreno
fattore moltiplicativo	84.0 kNm ²	3662.7 kNm ²
Coefficiente di incastro	-0.3959	-0.0859
Momento massimo di incastro superiore	-33.3 kNm/m	-314.7 kNm/m

Lato di base orizzontale	227.7 kNm ²	9925.4 kNm ²
fattore moltiplicativo	-0.1635	-0.0696
Coefficiente di incastro	-37.2 kNm/m	-691.3 kNm/m

Interpolando i valori:

Rapporto dimensionale a/b	sovraff.		spinta	
	Mx1	My30	Mx1	My30
0.5	0.4296	0.2076	0.0884	0.0546
0.75	0.3513	0.1051	0.0826	0.0896
0.607	0.395938	0.163535	0.085907	0.069647

PROGETTAZIONE ATI:

GPI INGEGNERIA
GESTIONE PROGETTI INGEGNERIA srl


cooprogetti


engeko


AIM
Studio di Architettura e Ingegneria Moderna

E78 GROSSETO – FANO
TRATTO NODO DI AREZZO – SELCI – LAMA (E45)
ADEGUAMENTO A QUATTRO CORSIE DEL TRATTO SAN ZENO – AREZZO – PALAZZO DEL PERO, 1° LOTTO
(FI508)

OPERE D'ARTE MAGGIORI – ASSE COLLEGAMENTO PALAZZO DEL PERO - VI.10 - VIADOTTO SCOPETONE

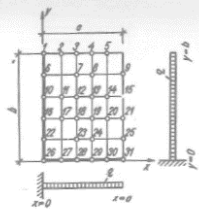
Tab. 1.41¹

$$\mu = 0,20$$

$$\gamma = \frac{a}{b}$$

$$M_{xa} = -\mu M_{ya}$$

$$M_{yb} = -\mu M_{xb}$$



γ	0,125	0,25	0,375	0,5	0,75	I	f.m.
M_{x1}	-0,4925	-0,4752	-0,4565	-0,4296	-0,3513	-0,2949	
M_{x2}	-0,3135	-0,3078	-0,2895	-0,2552	-0,1692	-0,1046	
M_{x3}	-0,1792	-0,1728	-0,1550	-0,1216	-0,0529	-0,0146	
M_{x4}	-0,0768	-0,0753	-0,0605	-0,0340	-0,0105	+0,0268	
M_{x5}	-0,0192	-0,0176	-0,0085	+0,0068	+0,0288	+0,0324	
M_{x10}	-0,4992	-0,4815	-0,4286	-0,3596	-0,2342	-0,1724	
M_{x11}	-0,3200	-0,3008	-0,2532	-0,1980	-0,1103	-0,0643	
M_{x12}	-0,1792	-0,1616	-0,1252	-0,0876	-0,0345	-0,0097	qa^2
M_{x13}	-0,0768	-0,0673	-0,0427	-0,0212	+0,0041	+0,0132	
M_{x14}	-0,0192	-0,0128	-0,0014	+0,0072	+0,0140	+0,0141	
M_{x16}	-0,4925	-0,4320	-0,3400	-0,2580	-0,1468	-0,1033	
M_{x17}	-0,3135	-0,2560	-0,1884	-0,1336	-0,0670	-0,0384	
M_{x18}	-0,1728	-0,1296	-0,0855	-0,0548	-0,0213	-0,0069	
M_{x19}	-0,0768	-0,0465	-0,0228	-0,0108	-0,0002	+0,0032	
M_{x20}	-0,0192	-0,0032	+0,0050	+0,0064	+0,0046	+0,0023	
R_{x1}	+0,9728	+0,9060	+0,8722	+0,9194	+1,1050	+1,1828	
R_{x6}	+1,0101	+1,0552	+1,1020	+1,1140	+1,0433	+0,9335	
R_{x10}	+1,0020	+1,0156	+1,0120	+0,9548	+0,7567	+0,9548	
R_{x16}	+1,0032	+1,0028	+0,9170	+0,7796	+0,5217	+0,3699	qa
R_{x22}	+0,9649	+0,7328	+0,4700	+0,2844	+0,0988	+0,0548	
R_{x26}	+0,0321	+0,0100	-0,0414	-0,0802	-0,0930	-0,0887	

γ	0,125	0,25	0,375	0,5	0,75	I	f.m.
M_{y7}	-0,0006	-0,0020	-0,0031	-0,0028	+0,0001	+0,0023	
M_{y12}	-0,0006	-0,0018	-0,0020	-0,0004	+0,0034	+0,0032	
M_{y18}	-0,0005	-0,0010	0	+0,0014	+0,0005	-0,0069	
M_{y23}	-0,0003	+0,0002	-0,0003	-0,0176	-0,0384		
M_{y28}	-0,0023	-0,0086	-0,0168	-0,0296	-0,0623	-0,1033	
R_{y8}	-0,0003	-0,0007	+0,0002	+0,0032	+0,0106	+0,0141	
M_{y13}	-0,0002	-0,0004	+0,0018	+0,0063	+0,0139	+0,0132	
M_{y19}	-0,0002	+0,0006	+0,0036	+0,0065	+0,0042	-0,0097	qb^2
M_{y24}	+0,0001	+0,0015	+0,0007	-0,0051	-0,0296	-0,0643	
M_{y29}	-0,0043	-0,0158	-0,0307	-0,0541	-0,1104	-0,1724	
M_{y9}	0	+0,0005	+0,0037	+0,0105	+0,0257	+0,0324	
M_{y15}	0	+0,0010	+0,0060	+0,0145	+0,0279	+0,0268	
M_{y21}	+0,0001	+0,0024	+0,0078	+0,0122	+0,0077	-0,0146	
M_{y25}	+0,0004	+0,0030	+0,0012	-0,0088	-0,0501	-0,1046	
M_{y31}	-0,0083	-0,0304	-0,0589	-0,1051	-0,2076	-0,2949	
R_{y26}	+0,0041	+0,0025	-0,0155	-0,0401	-0,0698	-0,0887	
R_{y27}	-0,0062	-0,0058	-0,0080	+0,0011	+0,0333	+0,0548	
R_{y28}	+0,0503	+0,0998	+0,1135	+0,1576	+0,2595	+0,3699	
R_{y29}	+0,1060	+0,2009	+0,2213	+0,3024	+0,4574	+0,5948	
R_{y30}	+0,2029	+0,3764	+0,4296	+0,5696	+0,7928	+0,9335	
R_{y31}	+0,3120	+0,5716	+0,6709	+0,8739	+1,1288	+1,1828	

PROGETTAZIONE ATI:

GPI INGEGNERIA

GESTIONE PROGETTI INGEGNERIA srl



cooprogetti



Studio di Architettura e Ingegneria Moderna

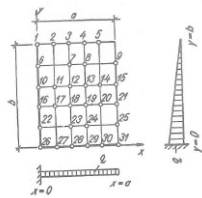
Tab. 1.97¹

$$\mu = 0,20$$

$$\gamma = \frac{a}{b}$$

$$M_{yb} = -\mu M_{xb}$$

$$M_{xa} = -\mu M_{ya}$$



γ	0,125	0,25	0,375	0,5	0,75	1	f. m.
M_{x1}	-0,0448	-0,0688	-0,0818	-0,0884	-0,0826	-0,0662	
M_{x2}	-0,0384	-0,0660	-0,0676	-0,0668	-0,0478	-0,0291	
M_{x3}	-0,0256	-0,0416	-0,0469	-0,0400	-0,0190	-0,0056	
M_{x4}	-0,0128	-0,0256	-0,0263	-0,0184	-0,0014	+0,0059	
M_{x5}	-0,0064	-0,0112	-0,0107	-0,0052	+0,0050	+0,0077	
M_{x10}	-0,1985	-0,1905	-0,1657	-0,1336	-0,0816	+0,0518	
M_{x11}	-0,1280	-0,1184	-0,0946	-0,0696	-0,0346	-0,0173	
M_{x12}	-0,0704	-0,0624	-0,0441	-0,0276	-0,0082	-0,0004	
M_{x13}	-0,0320	-0,0240	-0,0128	-0,0036	+0,0041	+0,0059	
M_{x14}	-0,0064	-0,0048	-0,0014	+0,0052	+0,0064	+0,0054	
M_{x16}	-0,2943	-0,2400	-0,1750	-0,1236	-0,0640	-0,0368	
M_{x17}	-0,1855	-0,1360	-0,0868	-0,0540	-0,0215	-0,0092	
M_{x18}	-0,1024	-0,0640	-0,0320	-0,0148	-0,0018	+0,0015	
M_{x19}	-0,0448	-0,0176	-0,0014	+0,0044	+0,0053	+0,0041	
M_{x20}	-0,0064	+0,0032	+0,0085	+0,0084	+0,0051	+0,0028	
R_{x1}	+0,0600	+0,0304	+0,0107	+0,0332	+0,1298	+0,1917	
R_{x6}	+0,2017	+0,2228	+0,2508	+0,2804	+0,2755	+0,2481	
R_{x10}	+0,4008	+0,4105	+0,4138	+0,3906	+0,3070	+0,2364	
R_{x16}	+0,6040	+0,6050	+0,5462	+0,4622	+0,3176	+0,2289	
R_{x22}	+0,7710	+0,6900	+0,4042	+0,2826	+0,1590	+0,1047	
R_{x26}	+0,0448	-0,0336	+0,0117	-0,0158	-0,0259	-0,0224	

γ	0,125	0,25	0,375	0,5	0,75	1	f. m.
M_{y7}	-0,0001	-0,0007	+0,0012	-0,0010	+0,0004	+0,0019	
M_{y12}	-0,0002	-0,0007	+0,0003	+0,0010	+0,0044	+0,0064	
M_{y18}	-0,0003	-0,0002	-0,0012	+0,0032	+0,0060	+0,0062	
M_{y23}	-0,0002	+0,0006	-0,0014	+0,0012	-0,0019	-0,0073	
M_{y28}	-0,0021	-0,0069	+0,0119	-0,0193	-0,0352	-0,0515	
M_{y8}	-0,0001	-0,0005	-0,0004	+0,0007	+0,0039	+0,0059	
M_{y13}	-0,0001	-0,0001	+0,0013	+0,0041	+0,0093	+0,0112	
M_{y19}	-0,0001	+0,0009	+0,0037	+0,0067	+0,0096	+0,0078	qb ²
M_{y24}	+0,0001	+0,0017	+0,0028	+0,0018	-0,0050	-0,0148	
M_{y29}	-0,0038	-0,0121	-0,0202	-0,0318	-0,0548	-0,0759	
M_{y9}	-0,0001	-0,0004	+0,0002	+0,0026	+0,0087	+0,0118	
M_{y15}	0	+0,0006	+0,0034	+0,0079	+0,0155	+0,0172	
M_{y21}	+0,0001	+0,0022	+0,0067	+0,0109	+0,0132	+0,0084	
M_{y25}	+0,0004	+0,0032	+0,0043	+0,0017	-0,0108	-0,0268	
M_{y31}	-0,0072	-0,0221	-0,0354	-0,0546	-0,0896	-0,1157	
R_{y26}	+0,0056	+0,0084	+0,0044	-0,0079	-0,0194	-0,0224	
R_{y27}	-0,0008	+0,0133	+0,0309	+0,0573	+0,1105	+0,1598	
R_{y28}	+0,0510	+0,1020	+0,1232	+0,1665	+0,2399	+0,2991	
R_{y29}	+0,0996	+0,1780	+0,1911	+0,2446	+0,3236	+0,3794	
R_{y30}	+0,1819	+0,3009	+0,3079	+0,3698	+0,4489	+0,4909	
R_{y31}	+0,2706	+0,4232	+0,4185	+0,4827	+0,5505	+0,5586	

Lo spessore del muro è pari a 1 m alla base e 75cm in sommità.

Alla base viene considerato uno sforzo normale di $25 \times 10.70 \times 0.875 = 234 \text{ kN/m}$

Verifica del muro all'incastro di base

$$M_{slu} = 1.3 \times 691.3 + 1.5 \times 37.2 = 954.5 \text{ kNm}$$

La sezione è armata con $5\varnothing 20/\text{m} + 5\varnothing 24/\text{m}$ all'interno e $5\varnothing 20/\text{m}$ all'esterno.

PROGETTAZIONE ATI:

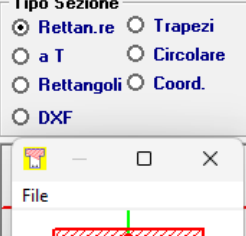
GPI INGEGNERIA

GESTIONE PROGETTI INGEGNERIA srl



cooprogetti



Titolo :																				
N° strati barre [3] <input type="button" value="Zoom"/>																				
<table border="1" style="width: 100%; border-collapse: collapse;"> <tr> <th>N°</th> <th>b [cm]</th> <th>h [cm]</th> </tr> <tr> <td>1</td> <td>100</td> <td>100</td> </tr> </table>	N°	b [cm]	h [cm]	1	100	100	<table border="1" style="width: 100%; border-collapse: collapse;"> <tr> <th>N°</th> <th>As [cm²]</th> <th>d [cm]</th> </tr> <tr> <td>1</td> <td>15.71</td> <td>5</td> </tr> <tr> <td>2</td> <td>22.62</td> <td>95</td> </tr> <tr> <td>3</td> <td>15.71</td> <td>90</td> </tr> </table>	N°	As [cm ²]	d [cm]	1	15.71	5	2	22.62	95	3	15.71	90	<p>Tipo Sezione</p> <input checked="" type="radio"/> Rettan.re <input type="radio"/> Trapezi <input type="radio"/> a T <input type="radio"/> Circolare <input type="radio"/> Rettangoli <input type="radio"/> Coord. <input type="radio"/> DXF
N°	b [cm]	h [cm]																		
1	100	100																		
N°	As [cm ²]	d [cm]																		
1	15.71	5																		
2	22.62	95																		
3	15.71	90																		
																				
Sollecitazioni S.L.U. <input type="button" value="→"/> <input type="button" value="←"/> Metodo n			P.to applicazione N <input checked="" type="radio"/> Centro <input type="radio"/> Baricentro cls <input type="radio"/> Coord.[cm] <input type="radio"/>																	
N _{Ed} [234] <input type="button" value="0"/> kN M _{xEd} [954.5] <input type="button" value="0"/> kNm M _{yEd} [0] <input type="button" value="0"/>			xN [0] <input type="button" value="yN"/> yN [0]																	
Materiali B450C C30/37 ε _{su} [67.5] % ε _{c2} [2] % f _{yd} [391.3] N/mm ² ε _{cu} [3.5] E _s [200,000] N/mm ² f _{cd} [17] E _s /E _c [15] f _{cc} / f _{cd} [0.8] ? ε _{syd} [1.957] % σ _{c,adm} [11.5] σ _{s,adm} [255] N/mm ² τ _{co} [0.6933] τ _{c1} [2.029]			M _{xRd} [1.440] kNm σ _c [-17] N/mm ² σ _s [391.3] N/mm ² ε _c 3.5 % ε _s 33.37 % d 95 cm x 9.019 x/d 0.09493 δ 0.7																	
			Metodo di calcolo <input checked="" type="radio"/> S.L.U.+ <input type="radio"/> S.L.U.- <input type="radio"/> Metodo n																	
			Tipo flessione <input checked="" type="radio"/> Reta <input type="radio"/> Deviata																	
			N° rett. [100] <input type="button" value="Calcola MRd"/> <input type="button" value="Dominio M-N"/> L ₀ [0] cm <input type="button" value="Col. modello"/> <input type="button" value="M-curvatura"/> <input type="checkbox"/> Precompresso																	

Verifica del muro all'incastro con il muro frontale

$$M_{slu} = 1.3 \times 314.7 + 1.5 \times 33.3 = 459 \text{ kNm}$$

La sezione è armata con 5Ø20/m all'interno e 5Ø16/m all'esterno.

Titolo : <input style="width: 100%;" type="text"/>																	
N° strati barre <input type="text" value="2"/> Zoom																	
<table border="1" style="width: 100%; border-collapse: collapse;"> <tr> <th>N°</th> <th>b [cm]</th> <th>h [cm]</th> </tr> <tr> <td>1</td> <td>100</td> <td>75</td> </tr> </table>	N°	b [cm]	h [cm]	1	100	75	<table border="1" style="width: 100%; border-collapse: collapse;"> <tr> <th>N°</th> <th>As [cm²]</th> <th>d [cm]</th> </tr> <tr> <td>1</td> <td>10.05</td> <td>5</td> </tr> <tr> <td>2</td> <td>15.71</td> <td>95</td> </tr> </table>	N°	As [cm ²]	d [cm]	1	10.05	5	2	15.71	95	
N°	b [cm]	h [cm]															
1	100	75															
N°	As [cm ²]	d [cm]															
1	10.05	5															
2	15.71	95															
Sollecitazioni																	
S.L.U. <input type="button" value="→"/> Metodo n <input type="button" value="←"/> <table border="1" style="width: 100%; border-collapse: collapse;"> <tr> <td>N_{Ed} <input type="text" value="0"/></td> <td>0 kN</td> </tr> <tr> <td>M_{xEd} <input type="text" value="459"/></td> <td>0 kNm</td> </tr> <tr> <td>M_{yEd} <input type="text" value="0"/></td> <td>0</td> </tr> </table>	N_{Ed} <input type="text" value="0"/>	0 kN	M_{xEd} <input type="text" value="459"/>	0 kNm	M_{yEd} <input type="text" value="0"/>	0	P.to applicazione N <input checked="" type="radio"/> Centro <input type="radio"/> Baricentro cls <input type="radio"/> Coord.[cm] xN <input type="text" value="0"/> yN <input type="text" value="0"/> Tipo rottura Lato calcestruzzo - Acciaio snervato										
N_{Ed} <input type="text" value="0"/>	0 kN																
M_{xEd} <input type="text" value="459"/>	0 kNm																
M_{yEd} <input type="text" value="0"/>	0																
Materiali																	
<table border="1" style="width: 100%; border-collapse: collapse;"> <tr> <td>B450C</td> <td>C30/37</td> </tr> <tr> <td>ε_{su} 67.5 %</td> <td>ε_{c2} 2 %</td> </tr> <tr> <td>f_yd 391.3 N/mm²</td> <td>ε_{cu} 3.5</td> </tr> <tr> <td>E_s 200.000 N/mm²</td> <td>f_{cd} 17</td> </tr> <tr> <td>E_s/E_c 15</td> <td>f_{cc}/f_{cd} 0.8 <input style="width: 20px; height: 20px; border: 1px solid black;" type="button" value="?"/></td> </tr> <tr> <td>ε_{syd} 1.957 %</td> <td>$\sigma_{c,adm}$ 11.5</td> </tr> <tr> <td>$\sigma_{s,adm}$ 255 N/mm²</td> <td>τ_{co} 0.6933</td> </tr> <tr> <td></td> <td>τ_{c1} 2.029</td> </tr> </table>		B450C	C30/37	ε_{su} 67.5 %	ε_{c2} 2 %	f_yd 391.3 N/mm ²	ε_{cu} 3.5	E_s 200.000 N/mm ²	f_{cd} 17	E_s/E_c 15	f_{cc}/f_{cd} 0.8 <input style="width: 20px; height: 20px; border: 1px solid black;" type="button" value="?"/>	ε_{syd} 1.957 %	$\sigma_{c,adm}$ 11.5	$\sigma_{s,adm}$ 255 N/mm ²	τ_{co} 0.6933		τ_{c1} 2.029
B450C	C30/37																
ε_{su} 67.5 %	ε_{c2} 2 %																
f_yd 391.3 N/mm ²	ε_{cu} 3.5																
E_s 200.000 N/mm ²	f_{cd} 17																
E_s/E_c 15	f_{cc}/f_{cd} 0.8 <input style="width: 20px; height: 20px; border: 1px solid black;" type="button" value="?"/>																
ε_{syd} 1.957 %	$\sigma_{c,adm}$ 11.5																
$\sigma_{s,adm}$ 255 N/mm ²	τ_{co} 0.6933																
	τ_{c1} 2.029																
M_{xRd} <input type="text" value="573"/> kN m																	
σ_c <input type="text" value="-17"/> N/mm ²																	
σ_s <input type="text" value="391.3"/> N/mm ²																	
ε_c 3.5 %																	
ε_s 66.73 %																	
d 95 cm																	
x 4.735 x/d 0.04984																	
δ 0.7																	
N° rett. <input type="text" value="100"/>																	
Calcola MRd Dominio M-N																	
L₀ <input type="text" value="0"/> cm Col. modello																	
M-curvatura																	
<input type="checkbox"/> Precompresso																	

21. PILA

La pila è costituita da un fusto circolare di 3m di diametro, con altezza di 15.65m per p1 e 16.35m per p2, che sorregge un pulvino di sezione rettangolare di altezza variabile, pari a 3.5x1.8m in prossimità della pila e variabile fino a 3.5x1.3m.

Il plinto ha una geometria rettangolare 7.8m x 10.5m di 2m di spessore fondata su 108 micropali Ø300.

Inerzia platea:

spessore= 2 m

Ntrasv = 12.00

nlong = 9.00

Dpal = 0.30 m

int = 0.90 m

bordo = 0.30 m

Btrasv = 10.50 m

PROGETTAZIONE ATI:

GPI INGEGNERIA
 GESTIONE PROGETTI INGEGNERIA srl


cooprogetti


engeko


AIM
Studio di Architettura e Ingegneria Moderna

Blong = 7.80 m

ntot pali = 108.00

Ppplinto = **4,095.00** kN

Pterra= 3,112.20 kN

Caratteristiche inerziali della palificata

Trasv	Di_trasv_ ^2	Long	Di_long^2
	1,042.47 mq		583.20 mq
1	-4.95 m	24.50	12.96
2	-4.05 m	16.40	7.29
3	-3.15 m	9.92	3.24
4	-2.25 m	5.06	0.81
5	-1.35 m	1.82	0.00
6	-0.45 m	0.20	0.81
7	0.45 m	0.20	3.24
8	1.35 m	1.82	7.29
9	2.25 m	5.06	12.96
10	3.15 m	9.92	10
11	4.05 m	16.40	11
12	4.95 m	24.50	12

Si riportano le sollecitazioni alla base del fusto pila, ordinate secondo condizioni che massimizzano e minimizzano rispettivamente lo sforzo normale ed i momenti flessionali nelle direzioni trasversali e longitudinali essendo Mt= momento longitudinale

Mz= momento trasversale

Shear-y = taglio trasversale

Shear- z = taglio longitudinale

La dicitura delle condizioni di azioni è la seguente

- g1 peso proprio delle strutture
- g2 carichi permanenti portati
- Cedimenti distorsioni di progetto
- Ritiro ritiro del calcestruzzo
- dt variazioni termiche differenziali: Acciaio-cls.
- Cedimenti cedimenti differenziali dei vincoli
- q1 : carichi mobili
- freno: azioni longitudinali di frenamento
- SISMA azione sismica
- vento azioni del vento

Si riportano di seguito le combinazioni di verifica adottate:

```

NAME=SLU1, CONC, STRENGTH, 0, 0, , 0, 0, 0
      CBC, g1, 1.35, CBC, g2, 1.5, CBC, Ritiro, 1.2, CBC, cedimenti, 1.2
      CBC, vento, 0.9, CBC, dt1, 0.9, CBC, qlecc, 1.35
  
```

PROGETTAZIONE ATI:

GPI INGEGNERIA
GESTIONE PROGETTI INGEGNERIA srl

 **cooprogetti**




Studio di Architettura e Ingegneria Moderna

```

NAME=SLU2, CONC, STRENGTH, 0, 0, , 0, 0, 0
    CBC, g1, 1.35, CBC, g2, 1.5, CBC, Ritiro, 1.2, CBC, cedimenti, 1.2
    CBC, vento, 0.9, CBC, dt2, 0.9, CBC, qlecc, 1.35
NAME=SLU3, CONC, STRENGTH, 0, 0, , 0, 0, 0
    CBC, g1, 1.35, CBC, g2, 1.5, CBC, Ritiro, 1.2, CBC, cedimenti, 1.2
    CBC, vento, -0.9, CBC, dt1, 0.9, CBC, qlecc, 1.35
NAME=SLU4, CONC, STRENGTH, 0, 0, , 0, 0, 0
    CBC, g1, 1.35, CBC, g2, 1.5, CBC, Ritiro, 1.2, CBC, cedimenti, 1.2
    CBC, vento, -0.9, CBC, dt2, 0.9, CBC, qlecc, 1.35
NAME=SLU5, CONC, STRENGTH, 0, 0, , 0, 0, 0
    CBC, g1, 1, CBC, g2, 1, CBC, Ritiro, 1, CBC, cedimenti, 1
    CBC, vento, 0.9, CBC, dt1, 0.9, CBC, qlecc, 1.35
NAME=SLU7, CONC, STRENGTH, 0, 0, , 0, 0, 0
    CBC, g1, 1, CBC, g2, 1, CBC, Ritiro, 1, CBC, cedimenti, 1
    CBC, vento, -0.9, CBC, dt1, 0.9, CBC, qlecc, 1.35
NAME=SLU8, CONC, STRENGTH, 0, 0, , 0, 0, 0
    CBC, g1, 1, CBC, g2, 1, CBC, Ritiro, 1, CBC, cedimenti, 1
    CBC, vento, -0.9, CBC, dt2, 0.9, CBC, qlecc, 1.35
NAME=SLU9, CONC, STRENGTH, 0, 0, , 0, 0, 0
    CBC, g1, 1.35, CBC, g2, 1.5, CBC, Ritiro, 1.2, CBC, cedimenti, 1.2
    CBC, dt1, 0.9, CBC, q1max, 1.35, CBC, freno, 1.35
NAME=SLU10, CONC, STRENGTH, 0, 0, , 0, 0, 0
    CBC, g1, 1.35, CBC, g2, 1.5, CBC, Ritiro, 1.2, CBC, cedimenti, 1.2
    CBC, dt2, 0.9, CBC, q1max, 1.35, CBC, freno, 1.35
NAME=SLU11, CONC, STRENGTH, 0, 0, , 0, 0, 0
    CBC, g1, 1, CBC, g2, 1, CBC, Ritiro, 1, CBC, cedimenti, 1
    CBC, dt1, 0.9, CBC, q1max, 1.35, CBC, freno, 1.35
NAME=SLU12, CONC, STRENGTH, 0, 0, , 0, 0, 0
    CBC, g1, 1, CBC, g2, 1, CBC, Ritiro, 1, CBC, cedimenti, 1
    CBC, dt2, 0.9, CBC, q1max, 1.35, CBC, freno, 1.35
NAME=SLU13, CONC, STRENGTH, 0, 0, , 0, 0, 0
    CBC, g1, 1.35, CBC, g2, 1.5, CBC, Ritiro, 1.2, CBC, cedimenti, 1.2
    CBC, dt1, 1.5, CBC, q1max, 1.35
NAME=SLU14, CONC, STRENGTH, 0, 0, , 0, 0, 0
    CBC, g1, 1.35, CBC, g2, 1.5, CBC, Ritiro, 1.2, CBC, cedimenti, 1.2
    CBC, dt2, 1.5, CBC, q1max, 1.35
NAME=SLU15, CONC, STRENGTH, 0, 0, , 0, 0, 0
    CBC, g1, 1, CBC, g2, 1, CBC, Ritiro, 1, CBC, cedimenti, 1
    CBC, dt1, 1.5, CBC, q1max, 1.35
NAME=SLU16, CONC, STRENGTH, 0, 0, , 0, 0, 0
    CBC, g1, 1, CBC, g2, 1, CBC, Ritiro, 1, CBC, cedimenti, 1
    CBC, dt2, 1.5, CBC, q1max, 1.35
NAME=SLU17, CONC, STRENGTH, 0, 0, , 0, 0, 0
    CBC, g1, 1.35, CBC, g2, 1.5, CBC, Ritiro, 1.2, CBC, cedimenti, 1.2
    CBC, vento, 1.5
NAME=SLU18, CONC, STRENGTH, 0, 0, , 0, 0, 0
    CBC, g1, 1, CBC, g2, 1, CBC, Ritiro, 1, CBC, cedimenti, 1
    CBC, vento, 1.5
NAME=SISMA1, CONC, STRENGTH, 0, 0, , 0, 0, 0
    CBC, g1, 1, CBC, g2, 1, CBC, Ritiro, 1, CBC, cedimenti, 1
    CBC, sismax, 1, CBC, sismay, 0.3, CBC, sismaz, 0.3
NAME=SISMA2, CONC, STRENGTH, 0, 0, , 0, 0, 0
    CBC, g1, 1, CBC, g2, 1, CBC, Ritiro, 1, CBC, cedimenti, 1
    CBC, sismax, 0.3, CBC, sismay, 1, CBC, sismaz, 0.3
NAME=SISMA3, CONC, STRENGTH, 0, 0, , 0, 0, 0
    CBC, g1, 1, CBC, g2, 1, CBC, Ritiro, 1, CBC, cedimenti, 1
    CBC, sismax, 0.3, CBC, sismay, 0.3, CBC, sismaz, 1

```

```

NAME=SISMA4, CONC, STRENGTH, 0, 0, , 0, 0, 0
    CBC, g1, 1, CBC, g2, 1, CBC, Ritiro, 1, CBC, cedimenti, 1
    CBC, sismax, -1, CBC, sismay, 0.3, CBC, sismaz, 0.3
NAME=SISMA5, CONC, STRENGTH, 0, 0, , 0, 0, 0
    CBC, g1, 1, CBC, g2, 1, CBC, Ritiro, 1, CBC, cedimenti, 1
    CBC, sismax, 0.3, CBC, sismay, -1, CBC, sismaz, 0.3
NAME=SISMA6, CONC, STRENGTH, 0, 0, , 0, 0, 0
    CBC, g1, 1, CBC, g2, 1, CBC, Ritiro, 1, CBC, cedimenti, 1
    CBC, sismax, 0.3, CBC, sismay, 0.3, CBC, sismaz, -1
NAME=SISMA7, CONC, STRENGTH, 0, 0, , 0, 0, 0
    CBC, g1, 1, CBC, g2, 1, CBC, Ritiro, 1, CBC, cedimenti, 1
    CBC, sismax, 1, CBC, sismay, -0.3, CBC, sismaz, 0.3
NAME=SISMA8, CONC, STRENGTH, 0, 0, , 0, 0, 0
    CBC, g1, 1, CBC, g2, 1, CBC, Ritiro, 1, CBC, cedimenti, 1
    CBC, sismax, -0.3, CBC, sismay, 1, CBC, sismaz, 0.3
NAME=SISMA9, CONC, STRENGTH, 0, 0, , 0, 0, 0
    CBC, g1, 1, CBC, g2, 1, CBC, Ritiro, 1, CBC, cedimenti, 1
    CBC, sismax, -0.3, CBC, sismay, 0.3, CBC, sismaz, 1
NAME=SISMA10, CONC, STRENGTH, 0, 0, , 0, 0, 0
    CBC, g1, 1, CBC, g2, 1, CBC, Ritiro, 1, CBC, cedimenti, 1
    CBC, sismax, 1, CBC, sismay, 0.3, CBC, sismaz, -0.3
NAME=SISMA11, CONC, STRENGTH, 0, 0, , 0, 0, 0
    CBC, g1, 1, CBC, g2, 1, CBC, Ritiro, 1, CBC, cedimenti, 1
    CBC, sismax, 0.3, CBC, sismay, 1, CBC, sismaz, -0.3
NAME=SISMA12, CONC, STRENGTH, 0, 0, , 0, 0, 0
    CBC, g1, 1, CBC, g2, 1, CBC, Ritiro, 1, CBC, cedimenti, 1
    CBC, sismax, 0.3, CBC, sismay, 0.3, CBC, sismaz, -1
NAME=SISMA13, CONC, STRENGTH, 0, 0, , 0, 0, 0
    CBC, g1, 1, CBC, g2, 1, CBC, Ritiro, 1, CBC, cedimenti, 1
    CBC, sismax, -1, CBC, sismay, -0.3, CBC, sismaz, -0.3
NAME=SISMA14, CONC, STRENGTH, 0, 0, , 0, 0, 0
    CBC, g1, 1, CBC, g2, 1, CBC, Ritiro, 1, CBC, cedimenti, 1
    CBC, sismax, -0.3, CBC, sismay, -1, CBC, sismaz, -0.3
NAME=SISMA15, CONC, STRENGTH, 0, 0, , 0, 0, 0
    CBC, g1, 1, CBC, g2, 1, CBC, Ritiro, 1, CBC, cedimenti, 1
    CBC, sismax, -0.3, CBC, sismay, -0.3, CBC, sismaz, -1
NAME=SISMA16, CONC, STRENGTH, 0, 0, , 0, 0, 0
    CBC, g1, 1, CBC, g2, 1, CBC, Ritiro, 1, CBC, cedimenti, 1
    CBC, sismax, 1, CBC, sismay, -0.3, CBC, sismaz, -0.3
NAME=SISMA17, CONC, STRENGTH, 0, 0, , 0, 0, 0
    CBC, g1, 1, CBC, g2, 1, CBC, Ritiro, 1, CBC, cedimenti, 1
    CBC, sismax, 0.3, CBC, sismay, -1, CBC, sismaz, -0.3
NAME=SISMA18, CONC, STRENGTH, 0, 0, , 0, 0, 0
    CBC, g1, 1, CBC, g2, 1, CBC, Ritiro, 1, CBC, cedimenti, 1
    CBC, sismax, 0.3, CBC, sismay, -0.3, CBC, sismaz, -1
NAME=SLE1_CAR, CONC, SERVICE, 0, 0, , 3, 0, 0
    CBC, g1, 1, CBC, g2, 1, CBC, Ritiro, 1, CBC, cedimenti, 1
    CBC, vento, 0.6, CBC, dt1, 0.6, CBC, qlmax, 1
NAME=SLE2_CAR, CONC, SERVICE, 0, 0, , 3, 0, 0
    CBC, g1, 1, CBC, g2, 1, CBC, Ritiro, 1, CBC, cedimenti, 1
    CBC, vento, 0.6, CBC, dt2, 0.6, CBC, qlmax, 1
NAME=SLE3_CAR, CONC, SERVICE, 0, 0, , 3, 0, 0
    CBC, g1, 1, CBC, g2, 1, CBC, Ritiro, 1, CBC, cedimenti, 1
    CBC, vento, -0.6, CBC, dt1, 0.6, CBC, qlmax, 1
NAME=SLE4_CAR, CONC, SERVICE, 0, 0, , 3, 0, 0
    CBC, g1, 1, CBC, g2, 1, CBC, Ritiro, 1, CBC, cedimenti, 1
    CBC, vento, -0.6, CBC, dt2, 0.6, CBC, qlmax, 1

```

OPERE D'ARTE MAGGIORI – ASSE COLLEGAMENTO PALAZZO DEL PERO - VI.10 - VIADOTTO SCOPETONE

```

NAME=SLE1_FR, CONC, SERVICE, 0, 0, , 2, 0, 0
    CBC, g1, 1, CBC, Ritiro, 1, CBC, cedimenti, 1, CBC, dt1, 0.6
    MV, Massimo tandem, 0.75, MV, Massimo distribuito, 0.4, CBC, vento, 0.2
NAME=SLE2_FR, CONC, SERVICE, 0, 0, , 2, 0, 0
    CBC, g1, 1, CBC, Ritiro, 1, CBC, cedimenti, 1, CBC, dt1, 0.6
    MV, Massimo ecc tandem, 0.75, MV, Massimo ecc distribuiti, 0.4
    CBC, vento, 0.2
NAME=SLE3_FR, CONC, SERVICE, 0, 0, , 2, 0, 0
    CBC, g1, 1, CBC, Ritiro, 1, CBC, cedimenti, 1, CBC, dt2, 0.6
    MV, Massimo tandem, 0.75, MV, Massimo distribuito, 0.4, CBC, vento, 0.2
NAME=SLE4_FR, CONC, SERVICE, 0, 0, , 2, 0, 0
    CBC, g1, 1, CBC, Ritiro, 1, CBC, cedimenti, 1, CBC, dt2, 0.6
    MV, Massimo ecc tandem, 0.75, MV, Massimo ecc distribuiti, 0.4
    CBC, vento, 0.2
NAME=SLE1_QP, CONC, SERVICE, 0, 0, , 1, 0, 0
    CBC, g1, 1, CBC, Ritiro, 1, CBC, cedimenti, 1, CBC, dt1, 0.5
NAME=SLE2_QP, CONC, SERVICE, 0, 0, , 1, 0, 0
    CBC, g1, 1, CBC, Ritiro, 1, CBC, cedimenti, 1, CBC, dt2, 0.5

```

Elem	Load	Part	Component	Axial (kN)	Shear-y (kN)	Shear-z (kN)	Moment-y (kN*m)	Moment-z (kN*m)
411 2	SLU1(max)	I[2066]]	Axial	-16,711	154	-520	-7,440	2,854
411 2	SLU1(max)	I[2066]]	Moment-y	-20,110	116	-436	-6,229	14,839
411 2	SLU1(max)	I[2066]]	Moment-z	-21,575	86	-470	-6,723	19,858
411 2	SLU2(max)	I[2066]]	Axial	-16,910	657	-323	-4,619	7,249
411 2	SLU2(max)	I[2066]]	Moment-y	-20,309	619	-238	-3,408	19,234
411 2	SLU2(max)	I[2066]]	Moment-z	-21,774	590	-273	-3,902	24,253
411 2	SLU3(max)	I[2066]]	Axial	-16,718	-733	141	2,014	-9,687
411 2	SLU3(max)	I[2066]]	Moment-y	-20,116	-771	225	3,225	2,298
411 2	SLU3(max)	I[2066]]	Moment-z	-21,582	-801	191	2,731	7,317
411 2	SLU4(max)	I[2066]]	Axial	-16,917	-230	338	4,835	-5,292
411 2	SLU4(max)	I[2066]]	Moment-y	-20,315	-267	423	6,045	6,693
411 2	SLU4(max)	I[2066]]	Moment-z	-21,781	-297	388	5,552	11,712
411 2	SLU5(max)	I[2066]]	Axial	-11,839	162	-510	-7,298	2,581
411	SLU5(max)	I[2066]	Moment-	-15,200	123	-426	-6,087	14,666

PROGETTAZIONE ATI:

GPI INGEGNERIA

GESTIONE PROGETTI INGEGNERIA srl



cooprogetti



Studio di Architettura e Ingegneria Moderna

2] y						
411	2	SLU5(max)	I[2066]	Moment-z	-16,704	94	-460	-6,581
411	2	SLU6(max)	I[2066]	Axial	-12,038	665	-313	-4,477
411	2	SLU6(max)	I[2066]	Moment-y	-15,399	627	-228	-3,266
411	2	SLU6(max)	I[2066]	Moment-z	-16,902	597	-263	-3,760
411	2	SLU7(max)	I[2066]	Axial	-11,846	-725	151	2,156
411	2	SLU7(max)	I[2066]	Moment-y	-15,206	-764	235	3,366
411	2	SLU7(max)	I[2066]	Moment-z	-16,710	-793	201	2,873
411	2	SLU8(max)	I[2066]	Axial	-12,045	-222	348	4,977
411	2	SLU8(max)	I[2066]	Moment-y	-15,405	-260	433	6,187
411	2	SLU8(max)	I[2066]	Moment-z	-16,909	-290	398	5,694
411	2	SLU9(max)	I[2066]	Axial	-16,562	-292	-194	-2,780
411	2	SLU9(max)	I[2066]	Moment-y	-20,968	-325	-86	-1,227
411	2	SLU9(max)	I[2066]	Moment-z	-22,128	-357	-124	-1,769
411	2	SLU10(max)	I[2066]	Axial	-16,761	211	3	40
411	2	SLU10(max)	I[2066]	Moment-y	-21,167	178	111	1,594
411	2	SLU10(max)	I[2066]	Moment-z	-22,327	147	74	1,052
411	2	SLU11(max)	I[2066]	Axial	-11,690	-284	-185	-2,638
411	2	SLU11(max)	I[2066]	Moment-y	-16,058	-318	-76	-1,085
411	2	SLU11(max)	I[2066]	Moment-z	-17,256	-349	-114	-1,627
411	2	SLU12(max)	I[2066]	Axial	-11,889	219	13	183
411	2	SLU12(max)	I[2066]	Moment-y	-16,257	185	121	1,735
411	2	SLU12(max)	I[2066]	Moment-z	-17,455	154	83	1,194
411	2	SLU13(max)	I[2066]	Axial	-16,496	-459	-260	-3,713
								-5,407

PROGETTAZIONE ATI:

GPI INGEGNERIA

GESTIONE PROGETTI INGEGNERIA srl

cooprogetti




Studio di Architettura e Ingegneria Moderna

411 2	SLU13(max)	I[2066]	Moment- y	-20,902	-492	-151	-2,160	7,513
411 2	SLU13(max)	I[2066]	Moment- z	-22,062	-524	-189	-2,702	12,851
411 2	SLU14(max)	I[2066]	Axial	-16,828	380	69	988	1,918
411 2	SLU14(max)	I[2066]	Moment- y	-21,234	347	178	2,541	14,838
411 2	SLU14(max)	I[2066]	Moment- z	-22,394	316	140	2,000	20,176
411 2	SLU15(max)	I[2066]	Axial	-11,625	-451	-250	-3,571	-5,681
411 2	SLU15(max)	I[2066]	Moment- y	-15,992	-485	-141	-2,019	7,340
411 2	SLU15(max)	I[2066]	Moment- z	-17,190	-516	-179	-2,560	12,577
411 2	SLU16(max)	I[2066]	Axial	-11,956	388	79	1,130	1,644
411 2	SLU16(max)	I[2066]	Moment- y	-16,324	354	188	2,683	14,665
411 2	SLU16(max)	I[2066]	Moment- z	-17,522	323	150	2,142	19,902
411 2	SLU17(max)	I[2066]	Axial	-17,483	712	-588	-8,404	11,307
411 2	SLU17(max)	I[2066]	Moment- y	-17,712	716	-588	-8,403	10,698
411 2	SLU17(max)	I[2066]	Moment- z	-17,483	712	-588	-8,404	11,307
411 2	SLU18(max)	I[2066]	Axial	-12,611	719	-578	-8,262	11,033
411 2	SLU18(max)	I[2066]	Moment- y	-12,802	723	-578	-8,261	10,526
411 2	SLU18(max)	I[2066]	Moment- z	-12,611	719	-578	-8,262	11,033
411 2	SISMA1(max)	I[2066]	Axial	-11,897	2,770	2,432	34,051	44,726
411 2	SISMA1(max)	I[2066]	Moment- y	-12,088	2,774	2,432	34,052	44,218
411 2	SISMA1(max)	I[2066]	Moment- z	-11,897	2,770	2,432	34,051	44,726
411 2	SISMA2(max)	I[2066]	Axial	-11,912	1,942	3,681	51,534	31,552
411 2	SISMA2(max)	I[2066]	Moment- y	-12,102	1,945	3,681	51,535	31,045
411 2	SISMA2(max)	I[2066]	Moment- z	-11,912	1,942	3,681	51,534	31,552
411	SISMA3(max)	I[2066	Axial	-11,588	1,153	1,404	19,650	19,442

PROGETTAZIONE ATI:

GPI INGEGNERIA
 GESTIONE PROGETTI INGEGNERIA srl


 cooprogetti


 engeko


 Studia di Architettura e Ingegneria Moderna

2]						
411		I[2066	Moment-y	-11,779	1,157	1,404	19,651	18,935
2	SISMA3(max)]						
411		I[2066	Moment-z	-11,588	1,153	1,404	19,650	19,442
2	SISMA3(max)]						
411		I[2066	Axial	-12,638	-2,027	-523	-7,342	-31,055
2	SISMA4(max)]						
411		I[2066	Moment-y	-12,829	-2,024	-523	-7,341	-31,563
2	SISMA4(max)]						
411		I[2066	Moment-z	-12,638	-2,027	-523	-7,342	-31,055
2	SISMA5(max)]						
411		I[2066	Axial	-12,612	-488	-2,843	-39,810	-6,590
2	SISMA5(max)]						
411		I[2066	Moment-y	-12,802	-485	-2,843	-39,809	-7,098
2	SISMA5(max)]						
411		I[2066	Moment-z	-12,612	-488	-2,843	-39,810	-6,590
2	SISMA6(max)]						
411		I[2066	Axial	-13,213	976	1,386	19,404	15,900
2	SISMA6(max)]						
411		I[2066	Moment-y	-13,403	980	1,386	19,405	15,392
2	SISMA6(max)]						
411		I[2066	Moment-z	-13,213	976	1,386	19,404	15,900
2	SISMA7(max)]						
411		I[2066	Axial	-12,107	2,041	474	6,648	33,283
2	SISMA7(max)]						
411		I[2066	Moment-y	-12,298	2,045	474	6,649	32,775
2	SISMA7(max)]						
411		I[2066	Moment-z	-12,107	2,041	474	6,648	33,283
2	SISMA8(max)]						
411		I[2066	Axial	-12,134	502	2,795	39,116	8,818
2	SISMA8(max)]						
411		I[2066	Moment-y	-12,325	506	2,795	39,117	8,310
2	SISMA8(max)]						
411		I[2066	Moment-z	-12,134	502	2,795	39,116	8,818
2	SISMA9(max)]						
411		I[2066	Axial	-11,810	-286	518	7,232	-3,292
2	SISMA9(max)]						
411		I[2066	Moment-y	-12,001	-283	518	7,233	-3,800
2	SISMA9(max)]						
411		I[2066	Moment-z	-11,810	-286	518	7,232	-3,292
2	SISMA10(max)]						
411		I[2066	Axial	-12,385	2,717	2,426	33,978	43,663
2	SISMA10(max)]						
411		I[2066	Moment-y	-12,576	2,721	2,426	33,979	43,155
2	SISMA10(max)]						
411		I[2066	Moment-z	-12,385	2,717	2,426	33,978	43,663

PROGETTAZIONE ATI:

GPI INGEGNERIA

GESTIONE PROGETTI INGEGNERIA srl



cooprogetti



Studio di Architettura e Ingegneria Moderna

Pag. 215 di

240

411 2	SISMA11(max)	I[2066]	Axial	-12,399	1,889	3,676	51,460	30,490
411 2	SISMA11(max)	I[2066]	Moment-y	-12,590	1,892	3,676	51,461	29,982
411 2	SISMA11(max)	I[2066]	Moment-z	-12,399	1,889	3,676	51,460	30,490
411 2	SISMA12(max)	I[2066]	Axial	-13,213	976	1,386	19,404	15,900
411 2	SISMA12(max)	I[2066]	Moment-y	-13,403	980	1,386	19,405	15,392
411 2	SISMA12(max)	I[2066]	Moment-z	-13,213	976	1,386	19,404	15,900
411 2	SISMA13(max)	I[2066]	Axial	-13,335	-2,810	-2,485	-34,819	-43,560
411 2	SISMA13(max)	I[2066]	Moment-y	-13,526	-2,806	-2,485	-34,818	-44,068
411 2	SISMA13(max)	I[2066]	Moment-z	-13,335	-2,810	-2,485	-34,819	-43,560
411 2	SISMA14(max)	I[2066]	Axial	-13,321	-1,981	-3,735	-52,302	-30,387
411 2	SISMA14(max)	I[2066]	Moment-y	-13,512	-1,977	-3,735	-52,301	-30,895
411 2	SISMA14(max)	I[2066]	Moment-z	-13,321	-1,981	-3,735	-52,302	-30,387
411 2	SISMA15(max)	I[2066]	Axial	-13,645	-1,192	-1,458	-20,418	-18,277
411 2	SISMA15(max)	I[2066]	Moment-y	-13,836	-1,188	-1,457	-20,417	-18,785
411 2	SISMA15(max)	I[2066]	Moment-z	-13,645	-1,192	-1,458	-20,418	-18,277
411 2	SISMA16(max)	I[2066]	Axial	-12,595	1,988	469	6,574	32,220
411 2	SISMA16(max)	I[2066]	Moment-y	-12,785	1,992	469	6,575	31,713
411 2	SISMA16(max)	I[2066]	Moment-z	-12,595	1,988	469	6,574	32,220
411 2	SISMA17(max)	I[2066]	Axial	-13,099	-541	-2,849	-39,884	-7,653
411 2	SISMA17(max)	I[2066]	Moment-y	-13,290	-538	-2,849	-39,883	-8,160
411 2	SISMA17(max)	I[2066]	Moment-z	-13,099	-541	-2,849	-39,884	-7,653
411 2	SISMA18(max)	I[2066]	Axial	-13,423	247	-571	-8,000	4,457
411 2	SISMA18(max)	I[2066]	Moment-y	-13,613	251	-571	-7,999	3,950
411	SISMA18(max)	I[2066	Moment-	-13,423	247	-571	-8,000	4,457

PROGETTAZIONE ATI:

GPI INGEGNERIA
GESTIONE PROGETTI INGEGNERIA srl

cooprogetti


engeko


Studi di Architettura e Ingegneria Moderna

2]	z					
411 2	SLE1_CAR(ma x)	I[2066]	Axial	-11,936	98	-357	-5,101	1,362
411 2	SLE1_CAR(ma x)	I[2066]	Moment-y	-15,220	74	-276	-3,951	10,875
411 2	SLE1_CAR(ma x)	I[2066]	Moment-z	-16,058	50	-304	-4,352	14,886
411 2	SLE2_CAR(ma x)	I[2066]	Axial	-12,068	434	-225	-3,221	4,292
411 2	SLE2_CAR(ma x)	I[2066]	Moment-y	-15,353	410	-145	-2,070	13,805
411 2	SLE2_CAR(ma x)	I[2066]	Moment-z	-16,191	386	-173	-2,471	17,816
411 2	SLE3_CAR(ma x)	I[2066]	Axial	-11,940	-493	84	1,201	-6,999
411 2	SLE3_CAR(ma x)	I[2066]	Moment-y	-15,225	-517	164	2,352	2,515
411 2	SLE3_CAR(ma x)	I[2066]	Moment-z	-16,063	-541	136	1,951	6,526
411 2	SLE4_CAR(ma x)	I[2066]	Axial	-12,073	-157	216	3,082	-4,069
411 2	SLE4_CAR(ma x)	I[2066]	Moment-y	-15,357	-181	296	4,232	5,445
411 2	SLE4_CAR(ma x)	I[2066]	Moment-z	-16,195	-205	268	3,831	9,455
411 2	SLE1_FR(max)	I[2066]	Axial	-9,097	-91	-180	-2,570	-855
411 2	SLE1_FR(max)	I[2066]	Moment-y	-10,899	-104	-138	-1,973	4,004
411 2	SLE1_FR(max)	I[2066]	Moment-z	-11,161	-115	-150	-2,141	5,981
411 2	SLE2_FR(max)	I[2066]	Axial	-9,152	-90	-178	-2,544	-661
411 2	SLE2_FR(max)	I[2066]	Moment-y	-10,602	-104	-145	-2,067	3,831
411 2	SLE2_FR(max)	I[2066]	Moment-z	-10,961	-115	-155	-2,221	5,709
411 2	SLE3_FR(max)	I[2066]	Axial	-9,229	244	-48	-689	2,075
411 2	SLE3_FR(max)	I[2066]	Moment-y	-11,032	232	-6	-92	6,934
411 2	SLE3_FR(max)	I[2066]	Moment-z	-11,293	220	-18	-261	8,911
411 2	SLE4_FR(max)	I[2066]	Axial	-9,285	245	-46	-663	2,269
411 2	SLE4_FR(max)	I[2066]	Moment-y	-10,735	232	-13	-187	6,761

PROGETTAZIONE ATI:

GPI INGEGNERIA
 GESTIONE PROGETTI INGEGNERIA srl


cooprogetti


engeko


AIM

Studio di Architettura e Ingegneria Moderna

411 2	SLE4_FR(max)	I[2066]	Moment-z	-11,094	220	-24	-341	8,639
411 2	SLE1_QP(max)	I[2066]	Axial	-9,434	-156	-72	-1,033	-964
411 2	SLE1_QP(max)	I[2066]	Moment-y	-9,625	-153	-72	-1,032	-1,471
411 2	SLE1_QP(max)	I[2066]	Moment-z	-9,434	-156	-72	-1,033	-964
411 2	SLE2_QP(max)	I[2066]	Axial	-9,545	123	37	535	1,478
411 2	SLE2_QP(max)	I[2066]	Moment-y	-9,736	127	37	535	971
411 2	SLE2_QP(max)	I[2066]	Moment-z	-9,545	123	37	535	1,478
411 2	SLU1(min)	I[2066]	Axial	-22,196	94	-489	-6,996	18,306
411 2	SLU1(min)	I[2066]	Moment-y	-19,655	124	-563	-8,046	9,057
411 2	SLU1(min)	I[2066]	Moment-z	-17,117	158	-522	-7,471	2,130
411 2	SLU2(min)	I[2066]	Axial	-22,395	598	-292	-4,175	22,701
411 2	SLU2(min)	I[2066]	Moment-y	-19,854	627	-365	-5,225	13,452
411 2	SLU2(min)	I[2066]	Moment-z	-17,316	661	-325	-4,650	6,525
411 2	SLU3(min)	I[2066]	Axial	-22,202	-793	172	2,458	5,765
411 2	SLU3(min)	I[2066]	Moment-y	-19,662	-763	98	1,408	-3,484
411 2	SLU3(min)	I[2066]	Moment-z	-17,123	-729	139	1,983	-10,411
411 2	SLU4(min)	I[2066]	Axial	-22,401	-289	369	5,279	10,160
411 2	SLU4(min)	I[2066]	Moment-y	-19,861	-259	296	4,229	911
411 2	SLU4(min)	I[2066]	Moment-z	-17,322	-226	336	4,804	-6,016
411 2	SLU5(min)	I[2066]	Axial	-17,286	101	-479	-6,854	18,134
411 2	SLU5(min)	I[2066]	Moment-y	-14,783	132	-553	-7,904	8,783
411 2	SLU5(min)	I[2066]	Moment-z	-12,207	165	-513	-7,329	1,958
411 2	SLU6(min)	I[2066]	Axial	-17,485	605	-282	-4,033	22,529
411	SLU6(min)	I[2066]	Moment-	-14,982	635	-355	-5,083	13,178

PROGETTAZIONE ATI:

GPI INGEGNERIA
GESTIONE PROGETTI INGEGNERIA srl

cooprogetti


engeko


AIM

Studio di Architettura e Ingegneria Moderna

2] y						
411		I[2066	Moment-					
2	SLU6(min)]	z	-12,406	668	-315	-4,508	6,353
411		I[2066	Axial	-17,292	-786	182	2,600	5,593
2	SLU7(min)]		-14,790	-755	108	1,550	-3,758
411		I[2066	Moment-					
2	SLU7(min)]	z	-12,213	-722	149	2,125	-10,583
411		I[2066	Axial	-17,491	-282	379	5,421	9,988
2	SLU8(min)]		-14,989	-252	306	4,371	637
411		I[2066	Moment-					
2	SLU8(min)]	z	-12,412	-219	346	4,946	-6,188
411		I[2066	Axial	-23,626	-336	-151	-2,157	10,567
2	SLU9(min)]		-20,193	-309	-247	-3,532	600
411		I[2066	Moment-					
2	SLU9(min)]	z	-17,988	-274	-203	-2,904	-6,722
411		I[2066	Axial	-23,825	168	46	664	14,962
2	SLU10(min)]		-20,392	195	-50	-712	4,995
411		I[2066	Moment-					
2	SLU10(min)]	z	-18,187	230	-6	-83	-2,327
411		I[2066	Axial	-18,716	-329	-141	-2,015	10,395
2	SLU11(min)]		-15,321	-301	-237	-3,390	326
411		I[2066	Moment-					
2	SLU11(min)]	z	-13,078	-267	-193	-2,762	-6,894
411		I[2066	Axial	-18,915	175	56	805	14,790
2	SLU12(min)]		-15,520	202	-40	-569	4,721
411		I[2066	Moment-					
2	SLU12(min)]	z	-13,277	237	4	59	-2,500
411		I[2066	Axial	-23,560	-502	-216	-3,090	9,114
2	SLU13(min)]		-20,128	-476	-312	-4,465	-853
411		I[2066	Moment-					
2	SLU13(min)]	z	-17,922	-440	-268	-3,837	-8,176
411		I[2066	Axial	-23,892	337	113	1,611	16,439

411 2	SLU14(min)	I[2066]	Moment- y	-20,459	364	17	236	6,471
411 2	SLU14(min)	I[2066]	Moment- z	-18,254	399	61	865	-851
411 2	SLU15(min)	I[2066]	Axial	-18,650	-495	-206	-2,949	8,941
411 2	SLU15(min)	I[2066]	Moment- y	-15,256	-468	-302	-4,323	-1,127
411 2	SLU15(min)	I[2066]	Moment- z	-13,012	-433	-258	-3,695	-8,348
411 2	SLU16(min)	I[2066]	Axial	-18,982	344	123	1,753	16,266
411 2	SLU16(min)	I[2066]	Moment- y	-15,587	372	26	378	6,198
411 2	SLU16(min)	I[2066]	Moment- z	-13,344	406	70	1,007	-1,023
411 2	SLU17(min)	I[2066]	Axial	-17,712	716	-588	-8,403	10,698
411 2	SLU17(min)	I[2066]	Moment- y	-17,483	712	-588	-8,404	11,307
411 2	SLU17(min)	I[2066]	Moment- z	-17,712	716	-588	-8,403	10,698
411 2	SLU18(min)	I[2066]	Axial	-12,802	723	-578	-8,261	10,526
411 2	SLU18(min)	I[2066]	Moment- y	-12,611	719	-578	-8,262	11,033
411 2	SLU18(min)	I[2066]	Moment- z	-12,802	723	-578	-8,261	10,526
411 2	SISMA1(min)	I[2066]	Axial	-12,088	2,774	2,432	34,052	44,218
411 2	SISMA1(min)	I[2066]	Moment- y	-11,897	2,770	2,432	34,051	44,726
411 2	SISMA1(min)	I[2066]	Moment- z	-12,088	2,774	2,432	34,052	44,218
411 2	SISMA2(min)	I[2066]	Axial	-12,102	1,945	3,681	51,535	31,045
411 2	SISMA2(min)	I[2066]	Moment- y	-11,912	1,942	3,681	51,534	31,552
411 2	SISMA2(min)	I[2066]	Moment- z	-12,102	1,945	3,681	51,535	31,045
411 2	SISMA3(min)	I[2066]	Axial	-11,779	1,157	1,404	19,651	18,935
411 2	SISMA3(min)	I[2066]	Moment- y	-11,588	1,153	1,404	19,650	19,442
411 2	SISMA3(min)	I[2066]	Moment- z	-11,779	1,157	1,404	19,651	18,935
411	SISMA4(min)	I[2066	Axial	-12,829	-2,024	-523	-7,341	-31,563

PROGETTAZIONE ATI:

GPI INGEGNERIA

GESTIONE PROGETTI INGEGNERIA srl


cooprogetti


engeko


Studia Architettura e Ingegneria Moderna

Pag. 220 di
240

2]						
411		I[2066	Moment-y	-12,638	-2,027	-523	-7,342	-31,055
2	SISMA4(min)]						
411		I[2066	Moment-z	-12,829	-2,024	-523	-7,341	-31,563
2	SISMA4(min)]						
411		I[2066	Axial	-12,802	-485	-2,843	-39,809	-7,098
2	SISMA5(min)]						
411		I[2066	Moment-y	-12,612	-488	-2,843	-39,810	-6,590
2	SISMA5(min)]						
411		I[2066	Moment-z	-12,802	-485	-2,843	-39,809	-7,098
2	SISMA5(min)]						
411		I[2066	Axial	-13,403	980	1,386	19,405	15,392
2	SISMA6(min)]						
411		I[2066	Moment-y	-13,213	976	1,386	19,404	15,900
2	SISMA6(min)]						
411		I[2066	Moment-z	-13,403	980	1,386	19,405	15,392
2	SISMA6(min)]						
411		I[2066	Axial	-12,298	2,045	474	6,649	32,775
2	SISMA7(min)]						
411		I[2066	Moment-y	-12,107	2,041	474	6,648	33,283
2	SISMA7(min)]						
411		I[2066	Moment-z	-12,298	2,045	474	6,649	32,775
2	SISMA7(min)]						
411		I[2066	Axial	-12,325	506	2,795	39,117	8,310
2	SISMA8(min)]						
411		I[2066	Moment-y	-12,134	502	2,795	39,116	8,818
2	SISMA8(min)]						
411		I[2066	Moment-z	-12,325	506	2,795	39,117	8,310
2	SISMA8(min)]						
411		I[2066	Axial	-12,001	-283	518	7,233	-3,800
2	SISMA9(min)]						
411		I[2066	Moment-y	-11,810	-286	518	7,232	-3,292
2	SISMA9(min)]						
411		I[2066	Moment-z	-12,001	-283	518	7,233	-3,800
2	SISMA9(min)]						
411		I[2066	Axial	-12,576	2,721	2,426	33,979	43,155
2	SISMA10(min)]						
411		I[2066	Moment-y	-12,385	2,717	2,426	33,978	43,663
2	SISMA10(min)]						
411		I[2066	Moment-z	-12,576	2,721	2,426	33,979	43,155
2	SISMA10(min)]						
411		I[2066	Axial	-12,590	1,892	3,676	51,461	29,982
2	SISMA11(min)]						
411		I[2066	Moment-y	-12,399	1,889	3,676	51,460	30,490
2	SISMA11(min)]						
411		I[2066	Moment-z	-12,590	1,892	3,676	51,461	29,982

PROGETTAZIONE ATI:

GPI INGEGNERIA

GESTIONE PROGETTI INGEGNERIA srl



cooprogetti



Studio di Architettura e Ingegneria Moderna

411 2	SISMA12(min)	I[2066]	Axial	-13,403	980	1,386	19,405	15,392
411 2	SISMA12(min)	I[2066]	Moment-y	-13,213	976	1,386	19,404	15,900
411 2	SISMA12(min)	I[2066]	Moment-z	-13,403	980	1,386	19,405	15,392
411 2	SISMA13(min)	I[2066]	Axial	-13,526	-2,806	-2,485	-34,818	-44,068
411 2	SISMA13(min)	I[2066]	Moment-y	-13,335	-2,810	-2,485	-34,819	-43,560
411 2	SISMA13(min)	I[2066]	Moment-z	-13,526	-2,806	-2,485	-34,818	-44,068
411 2	SISMA14(min)	I[2066]	Axial	-13,512	-1,977	-3,735	-52,301	-30,895
411 2	SISMA14(min)	I[2066]	Moment-y	-13,321	-1,981	-3,735	-52,302	-30,387
411 2	SISMA14(min)	I[2066]	Moment-z	-13,512	-1,977	-3,735	-52,301	-30,895
411 2	SISMA15(min)	I[2066]	Axial	-13,836	-1,188	-1,457	-20,417	-18,785
411 2	SISMA15(min)	I[2066]	Moment-y	-13,645	-1,192	-1,458	-20,418	-18,277
411 2	SISMA15(min)	I[2066]	Moment-z	-13,836	-1,188	-1,457	-20,417	-18,785
411 2	SISMA16(min)	I[2066]	Axial	-12,785	1,992	469	6,575	31,713
411 2	SISMA16(min)	I[2066]	Moment-y	-12,595	1,988	469	6,574	32,220
411 2	SISMA16(min)	I[2066]	Moment-z	-12,785	1,992	469	6,575	31,713
411 2	SISMA17(min)	I[2066]	Axial	13,289.70	-537.71	2,848.61	-39,883.12	-8,160.31
411 2	SISMA17(min)	I[2066]	Moment-y	13,099.01	-541.45	2,848.68	-39,884.04	-7,652.76
411 2	SISMA17(min)	I[2066]	Moment-z	13,289.70	-537.71	2,848.61	-39,883.12	-8,160.31
411 2	SISMA18(min)	I[2066]	Axial	13,613.32	250.92	-571.15	-7,998.78	3,949.75
411 2	SISMA18(min)	I[2066]	Moment-y	13,422.64	247.18	-571.22	-7,999.71	4,457.29
411 2	SISMA18(min)	I[2066]	Moment-z	13,613.32	250.92	-571.15	-7,998.78	3,949.75
411 2	SLE1_CAR(min)	I[2066]	Axial	17,189.12	66.63	-324.49	-4,639.84	12,061.26
411 2	SLE1_CAR(min)	I[2066]	Moment-y	14,625.22	85.97	-395.71	-5,658.49	4,734.57
411	SLE1_CAR(min)	I[2066]	Moment-	-	112.37	-363.11	-5,192.59	-745.72

PROGETTAZIONE ATI:

GPI INGEGNERIA
 GESTIONE PROGETTI INGEGNERIA srl


 cooprogetti


 engeko


 Studio di Architettura e Ingegneria Moderna

2)]	z	13,013.03				
411 2)	SLE2_CAR(min)	I[2066]	-				
411 2)	SLE2_CAR(min)	I[2066]	Axial	17,321.71	402.33	-192.98	-2,759.26
411 2)	SLE2_CAR(min)	I[2066]	Moment-y	-	421.68	-264.19	-3,777.90
411 2)	SLE2_CAR(min)	I[2066]	Moment-z	13,145.62	448.08	-231.60	-3,312.01
411 2)	SLE3_CAR(min)	I[2066]	-		-524.62	116.24	1,662.70
411 2)	SLE3_CAR(min)	I[2066]	Axial	17,193.52	-		3,700.62
411 2)	SLE3_CAR(min)	I[2066]	Moment-y	14,629.62	-505.28	45.03	644.05
411 2)	SLE3_CAR(min)	I[2066]	Moment-z	13,017.43	-478.87	77.63	1,109.95
411 2)	SLE4_CAR(min)	I[2066]	-		-188.91	247.76	3,543.28
411 2)	SLE4_CAR(min)	I[2066]	Axial	17,326.11	-		6,630.58
411 2)	SLE4_CAR(min)	I[2066]	Moment-y	14,762.21	-169.57	176.54	2,524.64
411 2)	SLE4_CAR(min)	I[2066]	Moment-z	13,150.02	-143.17	209.14	2,990.53
411 2)	SLE1_FR(min)	I[2066]	-		-104.85	-163.07	-2,331.68
411 2)	SLE1_FR(min)	I[2066]	Axial	11,816.88	-		4,160.24
411 2)	SLE1_FR(min)	I[2066]	Moment-y	-	10,555.27	-96.19	-197.91
411 2)	SLE1_FR(min)	I[2066]	Moment-z	-	-9,713.01	-82.46	-182.71
411 2)	SLE2_FR(min)	I[2066]	-		-109.47	-165.27	-2,363.10
411 2)	SLE2_FR(min)	I[2066]	Axial	11,324.13	-		4,704.91
411 2)	SLE2_FR(min)	I[2066]	Moment-y	-	10,350.56	-100.37	-192.35
411 2)	SLE2_FR(min)	I[2066]	Moment-z	-	-9,395.92	-87.00	-178.41
411 2)	SLE3_FR(min)	I[2066]	-		-		
411 2)	SLE3_FR(min)	I[2066]	Axial	11,949.47	230.86	-31.56	-451.10
411 2)	SLE3_FR(min)	I[2066]	Moment-y	-	10,687.86	239.51	-66.40
411 2)	SLE3_FR(min)	I[2066]	Moment-z	-	-9,845.60	253.25	-51.20
411 2)	SLE4_FR(min)	I[2066]	-		-		
411 2)	SLE4_FR(min)	I[2066]	Axial	11,456.72	226.24	-33.75	-482.52
411 2)	SLE4_FR(min)	I[2066]	Moment-y	-	10,483.15	235.34	-60.83
411 2)	SLE4_FR(min)	I[2066]	Moment-z	-	-9,528.51	248.71	-46.89
411 2)	SLE1_QP(min)	I[2066]	-		-		
411 2)	SLE1_QP(min)	I[2066]	Axial	-9,625.04	-152.59	-72.15	-1,031.67
411 2)	SLE1_QP(min)	I[2066]	Moment-y	-	-9,434.35	-156.33	-72.21
411 2)	SLE1_QP(min)	I[2066]	-		-		-1,032.60
411 2)	SLE1_QP(min)	I[2066]	Moment-y	-	-	-	-963.51

PROGETTAZIONE ATI:

GPI INGEGNERIA
 GESTIONE PROGETTI INGEGNERIA srl


cooprogetti


engeko


AIM

Studio di Architettura e Ingegneria Moderna

411 2	SLE1_QP(min)	I[2066]	Moment-z	-9,625.04	-152.59	-72.15	-1,031.67	-1,471.06
411 2	SLE2_QP(min)	I[2066]	Axial	-9,735.53	127.17	37.45	535.48	970.57
411 2	SLE2_QP(min)	I[2066]	Moment-y	-9,544.85	123.43	37.38	534.56	1,478.12
411 2	SLE2_QP(min)	I[2066]	Moment-z	-9,735.53	127.17	37.45	535.48	970.57

Le azioni in testa ai pali sono valutate per ogni combinazione secondo la seguente formulazione:

$$N_{palo} = N/(\text{num pali}) + (M_{trasv}/W_{trasv}) + (M_{long}/W)$$

Lo sforzo di taglio viene ripartito tra tutti i pali.

Casi	Tipo	Nmax	Mtrasv	Mlong	Ttrasv	Tlong	Npalo	Npalo min	Tpalo
		[kN]	[kNm]	[kNm]	[kN]	[kN]	[kN]	[kN]	[kN]
1	SLU1(max)-Axial	- 23,919	3,162	8,480	154	-520	-289	-154	5.0
2	SLU1(max)-Moment-y	- 27,317	15,071	7,101	116	-436	-368	-138	4.2
3	SLU1(max)-Moment-z	- 28,783	20,030	7,663	86	-470	-409	-124	4.4
4	SLU2(max)-Axial	- 24,117	8,564	5,265	657	-323	-296	-150	6.8
5	SLU2(max)-Moment-y	- 27,516	20,473	3,885	619	-238	-376	-134	6.1
6	SLU2(max)-Moment-z	- 28,982	25,432	4,448	590	-273	-417	-120	6.0
7	SLU3(max)-Axial	- 23,925	11,153	2,296	-733	141	-289	-154	6.9
8	SLU3(max)-Moment-y	- 27,323	3,840	3,676	-771	225	-294	-212	7.4
9	SLU3(max)-Moment-z	- 28,789	8,919	3,113	-801	191	-328	-205	7.6
10	SLU4(max)-Axial	- 24,124	5,751	5,511	-230	338	-285	-162	3.8
11	SLU4(max)-Moment-y	- 27,522	7,228	6,891	-267	423	-332	-178	4.6
12	SLU4(max)-Moment-z	- 28,988	12,306	6,328	-297	388	-366	-171	4.5
13	SLU5(max)-Axial	- 19,047	2,904	8,318	162	-510	-241	-111	5.0
14	SLU5(max)-Moment-y	- 22,407	14,913	6,939	123	-426	-321	-94	4.1
15	SLU5(max)-Moment-z	- 23,911	19,772	7,501	94	-460	-362	-81	4.3
16	SLU6(max)-Axial	- 19,246	8,306	5,103	665	-313	-249	-107	6.8
17	SLU6(max)-Moment-y	- 22,606	20,315	3,723	627	-228	-329	-90	6.2
18	SLU6(max)-Moment-z	- 24,110	25,174	4,286	597	-263	-369	-77	6.0
19	SLU7(max)-Axial	- 19,053	11,411	2,458	-725	151	-246	-107	6.9
20	SLU7(max)-Moment-y	- -	3,653	3,837	-764	235	-249	-166	7.4

PROGETTAZIONE ATI:

GPI INGEGNERIA

GESTIONE PROGETTI INGEGNERIA srl


cooprogetti


engeko


AIM

Studio di Architettura e Ingegneria Moderna

		22,413							
21	SLU7(max)-Moment-z	- 23,917	8,629	3,275	-793	201	-283	-160	7.6
22	SLU8(max)-Axial	- 19,252	6,009	5,673	-222	348	-242	-115	3.8
23	SLU8(max)-Moment-y	- 22,612	7,041	7,053	-260	433	-286	-132	4.7
24	SLU8(max)-Moment-z	- 24,116	12,017	6,490	-290	398	-320	-126	4.6
25	SLU9(max)-Axial	- 23,769	4,538	3,169	-292	-194	-261	-179	3.3
26	SLU9(max)-Moment-y	- 28,175	9,617	1,399	-325	-86	-315	-207	3.1
27	SLU9(max)-Moment-z	- 29,335	15,019	2,016	-357	-124	-355	-188	3.5
28	SLU10(max)-Axial	- 23,968	864	46	211	3	-226	-218	2.0
29	SLU10(max)-Moment-y	- 28,374	13,718	1,816	178	111	-339	-186	1.9
30	SLU10(max)-Moment-z	- 29,534	18,993	1,199	147	74	-371	-176	1.5
31	SLU11(max)-Axial	- 18,898	4,796	3,007	-284	-185	-216	-134	3.1
32	SLU11(max)-Moment-y	- 23,265	9,430	1,237	-318	-76	-268	-163	3.0
33	SLU11(max)-Moment-z	- 24,463	14,729	1,854	-349	-114	-308	-145	3.4
34	SLU12(max)-Axial	- 19,096	606	208	219	13	-181	-173	2.0
35	SLU12(max)-Moment-y	- 23,464	13,559	1,978	185	121	-294	-141	2.1
36	SLU12(max)-Moment-z	- 24,662	18,735	1,361	154	83	-326	-131	1.6
37	SLU13(max)-Axial	- 23,704	6,324	4,233	-459	-260	-276	-163	4.9
38	SLU13(max)-Moment-y	- 28,109	8,496	2,463	-492	-151	-316	-205	4.8
39	SLU13(max)-Moment-z	- 29,269	13,898	3,080	-524	-189	-356	-186	5.2
40	SLU14(max)-Axial	- 24,035	2,679	1,126	380	69	-242	-203	3.6
41	SLU14(max)-Moment-y	- 28,441	15,532	2,896	347	178	-355	-172	3.6
42	SLU14(max)-Moment-z	- 29,601	20,807	2,279	316	140	-387	-161	3.2
43	SLU15(max)-Axial	- 18,832	6,583	4,071	-451	-250	-231	-118	4.8
44	SLU15(max)-Moment-y	- 23,199	8,310	2,301	-485	-141	-268	-161	4.7
45	SLU15(max)-Moment-z	- 24,397	13,609	2,918	-516	-179	-309	-143	5.1
46	SLU16(max)-Axial	- 19,163	2,421	1,288	388	79	-197	-158	3.7
47	SLU16(max)-Moment-y	- 23,531	15,374	3,058	354	188	-310	-126	3.7
48	SLU16(max)-Moment-z	- 24,729	20,549	2,441	323	150	-342	-116	3.3
49	SLU17(max)-Axial	- 24,690	12,731	9,580	712	-588	-348	-109	8.5
50	SLU17(max)-Moment-y	- 24,919	12,131	9,578	716	-588	-347	-114	8.6
51	SLU17(max)-Moment-z	- 24,690	12,731	9,580	712	-588	-348	-109	8.5
52	SLU18(max)-Axial	- -	12,472	9,418	719	-578	-301	-66	8.5

PROGETTAZIONE ATI:

GPI INGEGNERIA

GESTIONE PROGETTI INGEGNERIA srl



cooprogetti



Studio di Architettura e Ingegneria Moderna

		19,818							
53	SLU18(max)-Moment-y	- 20,009	11,972	9,417	723	-578	-300	-70	8.6
54	SLU18(max)-Moment-z	- 19,818	12,472	9,418	719	-578	-301	-66	8.5
55	SISMA1(max)-Axial	- 19,105	50,267	38,915	2,770	2,432	-656	302	34.1
56	SISMA1(max)-Moment-y	- 19,295	49,766	38,916	2,774	2,432	-655	298	34.2
57	SISMA1(max)-Moment-z	- 19,105	50,267	38,915	2,770	2,432	-656	302	34.1
58	SISMA2(max)-Axial	- 19,119	35,436	58,897	1,942	3,681	-709	355	38.5
59	SISMA2(max)-Moment-y	- 19,310	34,936	58,898	1,945	3,681	-708	351	38.6
60	SISMA2(max)-Moment-z	- 19,119	35,436	58,897	1,942	3,681	-709	355	38.5
61	SISMA3(max)-Axial	- 18,795	21,748	22,458	1,153	1,404	-416	68	16.8
62	SISMA3(max)-Moment-y	- 18,986	21,248	22,459	1,157	1,404	-415	64	16.8
63	SISMA3(max)-Moment-z	- 18,795	21,748	22,458	1,153	1,404	-416	68	16.8
64	SISMA4(max)-Axial	- 19,845	35,110	8,387	-2,027	-523	-402	35	19.4
65	SISMA4(max)-Moment-y	- 20,036	35,610	8,386	-2,024	-523	-406	35	19.4
66	SISMA4(max)-Moment-z	- 19,845	35,110	8,387	-2,027	-523	-402	35	19.4
67	SISMA5(max)-Axial	- 19,819	7,567	45,497	-488	-2,843	-500	133	26.7
68	SISMA5(max)-Moment-y	- 20,010	8,067	45,496	-485	-2,843	-504	134	26.7
69	SISMA5(max)-Moment-z	- 19,819	7,567	45,497	-488	-2,843	-500	133	26.7
70	SISMA6(max)-Axial	- 20,420	17,852	22,176	976	1,386	-411	33	15.7
71	SISMA6(max)-Moment-y	- 20,611	17,352	22,177	980	1,386	-410	28	15.7
72	SISMA6(max)-Moment-z	- 20,420	17,852	22,176	976	1,386	-411	33	15.7
73	SISMA7(max)-Axial	- 19,315	37,366	7,597	2,041	474	-403	45	19.4
74	SISMA7(max)-Moment-y	- 19,505	36,866	7,598	2,045	474	-403	41	19.4
75	SISMA7(max)-Moment-z	- 19,315	37,366	7,597	2,041	474	-403	45	19.4
76	SISMA8(max)-Axial	- 19,341	9,823	44,706	502	2,795	-502	144	26.3
77	SISMA8(max)-Moment-y	- 19,532	9,322	44,707	506	2,795	-501	139	26.3
78	SISMA8(max)-Moment-z	- 19,341	9,823	44,706	502	2,795	-502	144	26.3
79	SISMA9(max)-Axial	- 19,017	3,865	8,267	-286	518	-245	-107	5.5
80	SISMA9(max)-Moment-y	- 19,208	4,365	8,268	-283	518	-250	-106	5.5
81	SISMA9(max)-Moment-z	- 19,017	3,865	8,267	-286	518	-245	-107	5.5
82	SISMA10(max)-Axial	- 19,592	49,098	38,830	2,717	2,426	-654	291	33.7
83	SISMA10(max)-Moment-y	- 19,783	48,598	38,831	2,721	2,426	-654	287	33.8
84	SISMA10(max)-Moment-z	- -	49,098	38,830	2,717	2,426	-654	291	33.7

PROGETTAZIONE ATI:

GPI INGEGNERIA

GESTIONE PROGETTI INGEGNERIA srl



cooprogetti



Studio di Architettura e Ingegneria Moderna

		19,592							
85	SISMA11(max)-Axial	-	19,606	34,267	58,812	1,889	3,676	-707	344 38.3
86	SISMA11(max)-Moment-y	-	19,797	33,767	58,814	1,892	3,676	-707	340 38.3
87	SISMA11(max)-Moment-z	-	19,606	34,267	58,812	1,889	3,676	-707	344 38.3
88	SISMA12(max)-Axial	-	20,420	17,852	22,176	976	1,386	-411	33 15.7
89	SISMA12(max)-Moment-y	-	20,611	17,352	22,177	980	1,386	-410	28 15.7
90	SISMA12(max)-Moment-z	-	20,420	17,852	22,176	976	1,386	-411	33 15.7
91	SISMA13(max)-Axial	-	20,543	49,180	39,790	-2,810	-2,485	-669	289 34.7
92	SISMA13(max)-Moment-y	-	20,733	49,680	39,789	-2,806	-2,485	-673	290 34.7
93	SISMA13(max)-Moment-z	-	20,543	49,180	39,790	-2,810	-2,485	-669	289 34.7
94	SISMA14(max)-Axial	-	20,528	34,349	59,772	-1,981	-3,735	-722	342 39.1
95	SISMA14(max)-Moment-y	-	20,719	34,849	59,771	-1,977	-3,735	-726	343 39.1
96	SISMA14(max)-Moment-z	-	20,528	34,349	59,772	-1,981	-3,735	-722	342 39.1
97	SISMA15(max)-Axial	-	20,852	20,661	23,333	-1,192	-1,458	-435	49 17.4
98	SISMA15(max)-Moment-y	-	21,043	21,161	23,332	-1,188	-1,457	-439	50 17.4
99	SISMA15(max)-Moment-z	-	20,852	20,661	23,333	-1,192	-1,458	-435	49 17.4
100	SISMA16(max)-Axial	-	19,802	36,197	7,512	1,988	469	-402	35 18.9
101	SISMA16(max)-Moment-y	-	19,993	35,697	7,513	1,992	469	-401	31 18.9
102	SISMA16(max)-Moment-z	-	19,802	36,197	7,512	1,988	469	-402	35 18.9
103	SISMA17(max)-Axial	-	20,306	8,736	45,581	-541	-2,849	-511	135 26.8
104	SISMA17(max)-Moment-y	-	20,497	9,236	45,580	-538	-2,849	-515	135 26.8
105	SISMA17(max)-Moment-z	-	20,306	8,736	45,581	-541	-2,849	-511	135 26.8
106	SISMA18(max)-Axial	-	20,630	4,952	9,142	247	571	-271	111 5.8
107	SISMA18(max)-Moment-y	-	20,821	4,452	9,141	251	-571	-270	-115 5.8
108	SISMA18(max)-Moment-z	-	20,630	4,952	9,142	247	-571	-271	-111 5.8
109	SLE1_CAR(max)-Axial	-	19,143	1,559	5,815	98	-357	-221	-134 3.4
110	SLE1_CAR(max)-Moment-y	-	22,427	11,024	4,504	74	-276	-288	-128 2.6
111	SLE1_CAR(max)-Moment-z	-	23,265	14,987	4,961	50	-304	-317	-114 2.9
112	SLE2_CAR(max)-Axial	-	19,275	5,160	3,671	434	-225	-226	-131 4.5
113	SLE2_CAR(max)-Moment-y	-	22,560	14,625	2,360	410	-145	-293	-125 4.0
114	SLE2_CAR(max)-Moment-z	-	23,398	18,588	2,817	386	-173	-322	-111 3.9
115	SLE3_CAR(max)-Axial	-	19,147	7,985	1,369	-493	84	-224	-131 4.6
116	SLE3_CAR(max)-Moment-	-		3,549	2,680	-517	164	-241	-174 5.0

PROGETTAZIONE ATI:

GPI INGEGNERIA

GESTIONE PROGETTI INGEGNERIA srl



cooprogetti



ANM
Studio di Architettura e Ingegneria Moderna

Pag. 227 di

240

	y	22,432							
117	SLE3_CAR(max)-Moment-z	- 23,270	7,607	2,223	-541	136	-265	-166	5.2
118	SLE4_CAR(max)-Axial	- 19,280	4,383	3,513	-157	216	-221	-136	2.5
119	SLE4_CAR(max)-Moment-y	- 22,564	5,807	4,824	-181	296	-266	-152	3.2
120	SLE4_CAR(max)-Moment-z	- 23,402	9,866	4,367	-205	268	-290	-143	3.1
121	SLE1_FR(max)-Axial	- 16,304	1,038	2,929	-91	-180	-174	-128	1.9
122	SLE1_FR(max)-Moment-y	- 18,106	4,211	2,249	-104	-138	-202	-134	1.6
123	SLE1_FR(max)-Moment-z	- 18,368	6,211	2,441	-115	-150	-215	-126	1.8
124	SLE2_FR(max)-Axial	- 16,359	842	2,900	-90	-178	-173	-130	1.8
125	SLE2_FR(max)-Moment-y	- 17,809	4,039	2,356	-104	-145	-199	-131	1.6
126	SLE2_FR(max)-Moment-z	- 18,168	5,939	2,532	-115	-155	-212	-124	1.8
127	SLE3_FR(max)-Axial	- 16,437	2,564	786	244	-48	-169	-135	2.3
128	SLE3_FR(max)-Moment-y	- 18,239	7,399	105	232	-6	-205	-133	2.2
129	SLE3_FR(max)-Moment-z	- 18,500	9,351	297	220	-18	-218	-125	2.0
130	SLE4_FR(max)-Axial	- 16,492	2,760	756	245	-46	-170	-135	2.3
131	SLE4_FR(max)-Moment-y	- 17,942	7,224	213	232	-13	-202	-131	2.1
132	SLE4_FR(max)-Moment-z	- 18,301	9,080	388	220	-24	-215	-124	2.1
133	SLE1_QP(max)-Axial	- 16,642	1,276	1,177	-156	-72	-167	-141	1.6
134	SLE1_QP(max)-Moment-y	- 16,832	1,776	1,176	-153	-72	-172	-140	1.6
135	SLE1_QP(max)-Moment-z	- 16,642	1,276	1,177	-156	-72	-167	-141	1.6
136	SLE2_QP(max)-Axial	- 16,752	1,725	609	123	37	-167	-143	1.2
137	SLE2_QP(max)-Moment-y	- 16,943	1,225	610	127	37	-166	-147	1.2
138	SLE2_QP(max)-Moment-z	- 16,752	1,725	609	123	37	-167	-143	1.2
139	SLU1(min)-Axial	- 29,403	18,494	7,974	94	-489	-409	-135	4.6
140	SLU1(min)-Moment-y	- 26,862	9,305	9,171	124	-563	-350	-148	5.3
141	SLU1(min)-Moment-z	- 24,324	2,445	8,516	158	-522	-289	-161	5.1
142	SLU2(min)-Axial	- 29,602	23,897	4,759	598	-292	-417	-131	6.2
143	SLU2(min)-Moment-y	- 27,061	14,707	5,955	627	-365	-357	-144	6.7
144	SLU2(min)-Moment-z	- 24,523	7,847	5,300	661	-325	-297	-157	6.8
145	SLU3(min)-Axial	- 29,410	7,351	2,802	-793	172	-325	-220	7.5
146	SLU3(min)-Moment-y	- 26,869	5,010	1,605	-763	98	-282	-215	7.1
147	SLU3(min)-Moment-z	- 24,331	11,869	2,261	-729	139	-296	-155	6.9
148	SLU4(min)-Axial	- -	10,738	6,017	-289	369	-362	-186	4.3

PROGETTAZIONE ATI:

GPI INGEGNERIA

GESTIONE PROGETTI INGEGNERIA srl



cooprogetti



engeko
Studio di Architettura e Ingegneria Moderna

		29,608							
149	SLU4(min)-Moment-y	- 27,068	1,430	4,821	-259	296	-287	-214	3.6
150	SLU4(min)-Moment-z	- 24,529	6,467	5,476	-226	336	-292	-163	3.7
151	SLU5(min)-Axial	- 24,493	18,336	7,813	101	-479	-362	-91	4.5
152	SLU5(min)-Moment-y	- 21,991	9,047	9,009	132	-553	-302	-105	5.3
153	SLU5(min)-Moment-z	- 19,414	2,287	8,354	165	-513	-242	-117	5.0
154	SLU6(min)-Axial	- 24,692	23,738	4,597	605	-282	-370	-88	6.2
155	SLU6(min)-Moment-y	- 22,189	14,449	5,794	635	-355	-310	-101	6.7
156	SLU6(min)-Moment-z	- 19,613	7,689	5,138	668	-315	-250	-113	6.8
157	SLU7(min)-Axial	- 24,500	7,164	2,963	-786	182	-279	-175	7.5
158	SLU7(min)-Moment-y	- 21,997	5,268	1,767	-755	108	-240	-168	7.1
159	SLU7(min)-Moment-z	- 19,421	12,028	2,422	-722	149	-252	-108	6.8
160	SLU8(min)-Axial	- 24,698	10,552	6,179	-282	379	-317	-140	4.4
161	SLU8(min)-Moment-y	- 22,196	1,140	4,982	-252	306	-242	-169	3.7
162	SLU8(min)-Moment-z	- 19,619	6,625	5,638	-219	346	-248	-115	3.8
163	SLU9(min)-Axial	- 30,833	11,239	2,459	-336	-151	-354	-217	3.4
164	SLU9(min)-Moment-y	- 27,400	1,218	4,026	-309	-247	-284	-223	3.7
165	SLU9(min)-Moment-z	- 25,195	7,270	3,310	-274	-203	-288	-178	3.2
166	SLU10(min)-Axial	- 31,032	15,298	756	168	46	-365	-210	1.6
167	SLU10(min)-Moment-y	- 27,599	5,384	811	195	-50	-286	-225	1.9
168	SLU10(min)-Moment-z	- 25,394	2,786	94	230	-6	-249	-221	2.1
169	SLU11(min)-Axial	- 25,923	11,052	2,297	-329	-141	-307	-173	3.3
170	SLU11(min)-Moment-y	- 22,529	929	3,865	-301	-237	-237	-180	3.5
171	SLU11(min)-Moment-z	- 20,285	7,428	3,148	-267	-193	-243	-133	3.0
172	SLU12(min)-Axial	- 26,122	15,140	918	175	56	-319	-164	1.7
173	SLU12(min)-Moment-y	- 22,727	5,126	649	202	-40	-239	-182	1.9
174	SLU12(min)-Moment-z	- 20,484	2,973	67	237	4	-204	-175	2.2
175	SLU13(min)-Axial	- 30,767	10,118	3,523	-502	-216	-355	-215	5.1
176	SLU13(min)-Moment-y	- 27,335	1,805	5,090	-476	-312	-293	-213	5.3
177	SLU13(min)-Moment-z	- 25,130	9,057	4,373	-440	-268	-303	-163	4.8
178	SLU14(min)-Axial	- 31,099	17,113	1,836	337	113	-381	-195	3.3
179	SLU14(min)-Moment-y	- 27,666	7,199	269	364	17	-292	-220	3.4
180	SLU14(min)-Moment-z	- 1,648		986	399	61	-250	-222	3.7

PROGETTAZIONE ATI:

GPI INGEGNERIA

GESTIONE PROGETTI INGEGNERIA srl



cooprogetti



Studio di Architettura e Ingegneria Moderna

		25,461							
181	SLU15(min)-Axial	-	25,857	9,932	3,361	-495	-206	-307	-172 5.0
182	SLU15(min)-Moment-y	-	22,463	2,063	4,928	-468	-302	-248	-168 5.2
183	SLU15(min)-Moment-z	-	20,220	9,215	4,211	-433	-258	-257	-117 4.7
184	SLU16(min)-Axial	-	26,189	16,954	1,998	344	123	-335	-150 3.4
185	SLU16(min)-Moment-y	-	22,794	6,941	431	372	26	-247	-175 3.4
186	SLU16(min)-Moment-z	-	20,551	1,835	1,148	406	70	-206	-174 3.8
187	SLU17(min)-Axial	-	24,919	12,131	9,578	716	-588	-347	-114 8.6
188	SLU17(min)-Moment-y	-	24,690	12,731	9,580	712	-588	-348	-109 8.5
189	SLU17(min)-Moment-z	-	24,919	12,131	9,578	716	-588	-347	-114 8.6
190	SLU18(min)-Axial	-	20,009	11,972	9,417	723	-578	-300	-70 8.6
191	SLU18(min)-Moment-y	-	19,818	12,472	9,418	719	-578	-301	-66 8.5
192	SLU18(min)-Moment-z	-	20,009	11,972	9,417	723	-578	-300	-70 8.6
193	SISMA1(min)-Axial	-	19,295	49,766	38,916	2,774	2,432	-655	298 34.2
194	SISMA1(min)-Moment-y	-	19,105	50,267	38,915	2,770	2,432	-656	302 34.1
195	SISMA1(min)-Moment-z	-	19,295	49,766	38,916	2,774	2,432	-655	298 34.2
196	SISMA2(min)-Axial	-	19,310	34,936	58,898	1,945	3,681	-708	351 38.6
197	SISMA2(min)-Moment-y	-	19,119	35,436	58,897	1,942	3,681	-709	355 38.5
198	SISMA2(min)-Moment-z	-	19,310	34,936	58,898	1,945	3,681	-708	351 38.6
199	SISMA3(min)-Axial	-	18,986	21,248	22,459	1,157	1,404	-415	64 16.8
200	SISMA3(min)-Moment-y	-	18,795	21,748	22,458	1,153	1,404	-416	68 16.8
201	SISMA3(min)-Moment-z	-	18,986	21,248	22,459	1,157	1,404	-415	64 16.8
202	SISMA4(min)-Axial	-	20,036	35,610	8,386	-2,024	-523	-406	35 19.4
203	SISMA4(min)-Moment-y	-	19,845	35,110	8,387	-2,027	-523	-402	35 19.4
204	SISMA4(min)-Moment-z	-	20,036	35,610	8,386	-2,024	-523	-406	35 19.4
205	SISMA5(min)-Axial	-	20,010	8,067	45,496	-485	-2,843	-504	134 26.7
206	SISMA5(min)-Moment-y	-	19,819	7,567	45,497	-488	-2,843	-500	133 26.7
207	SISMA5(min)-Moment-z	-	20,010	8,067	45,496	-485	-2,843	-504	134 26.7
208	SISMA6(min)-Axial	-	20,611	17,352	22,177	980	1,386	-410	28 15.7
209	SISMA6(min)-Moment-y	-	20,420	17,852	22,176	976	1,386	-411	33 15.7
210	SISMA6(min)-Moment-z	-	20,611	17,352	22,177	980	1,386	-410	28 15.7
211	SISMA7(min)-Axial	-	19,505	36,866	7,598	2,045	474	-403	41 19.4
212	SISMA7(min)-Moment-y	-	-	37,366	7,597	2,041	474	-403	45 19.4

PROGETTAZIONE ATI:

GPI INGEGNERIA

GESTIONE PROGETTI INGEGNERIA srl



cooprogetti



ANIM
Studio di Architettura e Ingegneria Moderna

		19,315								
213	SISMA7(min)-Moment-z	-	19,505	36,866	7,598	2,045	474	-403	41	19.4
214	SISMA8(min)-Axial	-	19,532	9,322	44,707	506	2,795	-501	139	26.3
215	SISMA8(min)-Moment-y	-	19,341	9,823	44,706	502	2,795	-502	144	26.3
216	SISMA8(min)-Moment-z	-	19,532	9,322	44,707	506	2,795	-501	139	26.3
217	SISMA9(min)-Axial	-	19,208	4,365	8,268	-283	518	-250	-106	5.5
218	SISMA9(min)-Moment-y	-	19,017	3,865	8,267	-286	518	-245	-107	5.5
219	SISMA9(min)-Moment-z	-	19,208	4,365	8,268	-283	518	-250	-106	5.5
220	SISMA10(min)-Axial	-	19,783	48,598	38,831	2,721	2,426	-654	287	33.8
221	SISMA10(min)-Moment-y	-	19,592	49,098	38,830	2,717	2,426	-654	291	33.7
222	SISMA10(min)-Moment-z	-	19,783	48,598	38,831	2,721	2,426	-654	287	33.8
223	SISMA11(min)-Axial	-	19,797	33,767	58,814	1,892	3,676	-707	340	38.3
224	SISMA11(min)-Moment-y	-	19,606	34,267	58,812	1,889	3,676	-707	344	38.3
225	SISMA11(min)-Moment-z	-	19,797	33,767	58,814	1,892	3,676	-707	340	38.3
226	SISMA12(min)-Axial	-	20,611	17,352	22,177	980	1,386	-410	28	15.7
227	SISMA12(min)-Moment-y	-	20,420	17,852	22,176	976	1,386	-411	33	15.7
228	SISMA12(min)-Moment-z	-	20,611	17,352	22,177	980	1,386	-410	28	15.7
229	SISMA13(min)-Axial	-	20,733	49,680	39,789	-2,806	-2,485	-673	290	34.7
230	SISMA13(min)-Moment-y	-	20,543	49,180	39,790	-2,810	-2,485	-669	289	34.7
231	SISMA13(min)-Moment-z	-	20,733	49,680	39,789	-2,806	-2,485	-673	290	34.7
232	SISMA14(min)-Axial	-	20,719	34,849	59,771	-1,977	-3,735	-726	343	39.1
233	SISMA14(min)-Moment-y	-	20,528	34,349	59,772	-1,981	-3,735	-722	342	39.1
234	SISMA14(min)-Moment-z	-	20,719	34,849	59,771	-1,977	-3,735	-726	343	39.1
235	SISMA15(min)-Axial	-	21,043	21,161	23,332	-1,188	-1,457	-439	50	17.4
236	SISMA15(min)-Moment-y	-	20,852	20,661	23,333	-1,192	-1,458	-435	49	17.4
237	SISMA15(min)-Moment-z	-	21,043	21,161	23,332	-1,188	-1,457	-439	50	17.4
238	SISMA16(min)-Axial	-	19,993	35,697	7,513	1,992	469	-401	31	18.9
239	SISMA16(min)-Moment-y	-	19,802	36,197	7,512	1,988	469	-402	35	18.9
240	SISMA16(min)-Moment-z	-	19,993	35,697	7,513	1,992	469	-401	31	18.9
241	SISMA17(min)-Axial	-	20,497	9,236	45,580	-538	-2,849	-515	135	26.8
242	SISMA17(min)-Moment-y	-	20,306	8,736	45,581	-541	-2,849	-511	135	26.8
243	SISMA17(min)-Moment-z	-	20,497	9,236	45,580	-538	-2,849	-515	135	26.8
244	SISMA18(min)-Axial	-	4,452	9,141	251	-571	-270	-115	5.8	

PROGETTAZIONE ATI:

GPI INGEGNERIA

GESTIONE PROGETTI INGEGNERIA srl



cooprogetti



engeko
Studio di Architettura e Ingegneria Moderna

		20,821							
245	SISMA18(min)-Moment-y	- 20,630	4,952	9,142	247	-571	-271	-111	5.8
246	SISMA18(min)-Moment-z	- 20,821	4,452	9,141	251	-571	-270	-115	5.8
247	SLE1_CAR(min)-Axial	- 24,396	12,195	5,289	67	-324	-316	-135	3.1
248	SLE1_CAR(min)-Moment-y	- 21,832	4,907	6,450	86	-396	-265	-139	3.7
249	SLE1_CAR(min)-Moment-z	- 20,220	970	5,919	112	-363	-228	-146	3.5
250	SLE2_CAR(min)-Axial	- 24,529	15,796	3,145	402	-193	-322	-133	4.1
251	SLE2_CAR(min)-Moment-y	- 21,965	8,508	4,306	422	-264	-270	-136	4.6
252	SLE2_CAR(min)-Moment-z	- 20,353	3,080	3,775	448	-232	-226	-151	4.7
253	SLE3_CAR(min)-Axial	- 24,401	4,750	1,895	-525	116	-260	-192	5.0
254	SLE3_CAR(min)-Moment-y	- 21,837	4,637	734	-505	45	-229	-176	4.7
255	SLE3_CAR(min)-Moment-z	- 20,225	10,064	1,265	-479	78	-243	-132	4.5
256	SLE4_CAR(min)-Axial	- 24,533	7,008	4,039	-189	248	-285	-169	2.9
257	SLE4_CAR(min)-Moment-y	- 21,969	1,035	2,878	-170	177	-226	-181	2.3
258	SLE4_CAR(min)-Moment-z	- 20,357	6,463	3,409	-143	209	-240	-137	2.3
259	SLE1_FR(min)-Axial	- 19,024	4,370	2,658	-105	-163	-213	-139	1.8
260	SLE1_FR(min)-Moment-y	- 17,762	1,133	3,226	-96	-198	-190	-139	2.0
261	SLE1_FR(min)-Moment-z	- 16,920	2,302	2,978	-82	-183	-186	-127	1.9
262	SLE2_FR(min)-Axial	- 18,531	4,924	2,694	-109	-165	-212	-132	1.8
263	SLE2_FR(min)-Moment-y	- 17,558	1,934	3,135	-100	-192	-191	-134	2.0
264	SLE2_FR(min)-Moment-z	- 16,603	1,379	2,908	-87	-178	-178	-129	1.8
265	SLE3_FR(min)-Axial	- 19,157	7,552	514	231	-32	-216	-138	2.2
266	SLE3_FR(min)-Moment-y	- 17,895	4,350	1,082	240	-66	-193	-138	2.3
267	SLE3_FR(min)-Moment-z	- 17,053	1,299	835	253	-51	-169	-147	2.4
268	SLE4_FR(min)-Axial	- 18,664	8,087	550	226	-34	-215	-131	2.1
269	SLE4_FR(min)-Moment-y	- 17,690	5,134	991	235	-61	-194	-133	2.3
270	SLE4_FR(min)-Moment-z	- 16,736	2,222	764	249	-47	-170	-140	2.3
271	SLE1_QP(min)-Axial	- 16,832	1,776	1,176	-153	-72	-172	-140	1.6
272	SLE1_QP(min)-Moment-y	- 16,642	1,276	1,177	-156	-72	-167	-141	1.6
273	SLE1_QP(min)-Moment-z	- 16,832	1,776	1,176	-153	-72	-172	-140	1.6
274	SLE2_QP(min)-Axial	- 16,943	1,225	610	127	37	-166	-147	1.2
275	SLE2_QP(min)-Moment-y	- 16,752	1,725	609	123	37	-167	-143	1.2
276	SLE2_QP(min)-Moment-z	- -	1,225	610	127	37	-166	-147	1.2

PROGETTAZIONE ATI:

GPI INGEGNERIA

GESTIONE PROGETTI INGEGNERIA srl



cooprogetti



engeko
Studio di Architettura e Ingegneria Moderna

	16,943					
--	--------	--	--	--	--	--

Per la verifica del palo si rimanda alla relazione delle fondazioni.

21.1. PULVINO

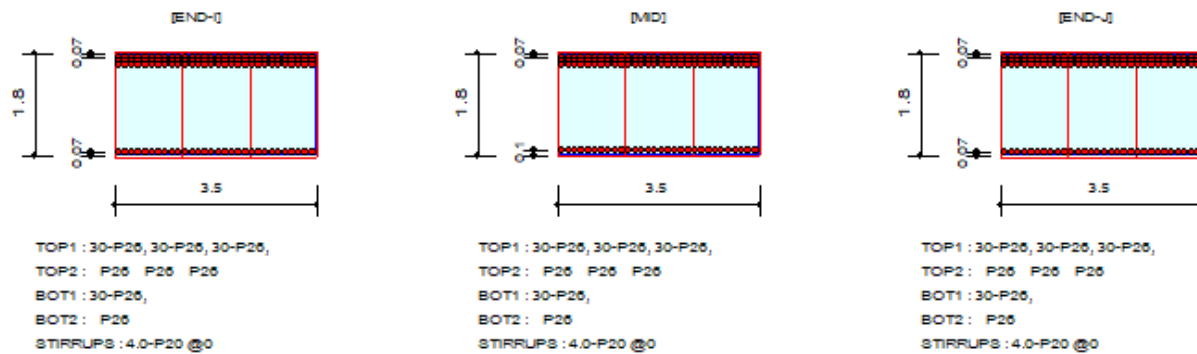
21.2. PILA P1-P3

L'armatura prevista per il pulvino è costituita da 3 strati di ferri Ø26 con staffe a sei braccia Ø22.

1. Design Information

Design Code : Eurocode2-2:05
 Unit System : kN, m
 Material Data : $f_{ck} = 30000$, $f_{yk} = 450000$, $f_{yw} = 450000$ KPa
 Beam Span : 1.8 m
 Section Property : pulv_350x180 (No : 50)

2. Section Diagram



3. Bending Moment Capacity

	END-I	MID	END-J
Negative Moment (M_{Ed})	18898.53	16393.98	11384.86
(-) Load Combination No.	1-	1-	1-
Factored Strength (M_{Rd})	27997.69	27997.69	27997.69
Check Ratio (M_{Ed}/M_{Rd})	0.6750	0.5855	0.4066

PROGETTAZIONE ATI:

GPI INGEGNERIA

GESTIONE PROGETTI INGEGNERIA srl


cooprogetti


engeko


AIM

Studio di Architettura e Ingegneria Moderna

4. Shear Capacity

	END-I	MID	END-J
Load Combination No.	1-	1-	1-
Factored Shear Force (V_Ed)	5565.68	5565.68	5565.68
Shear Strength by Conc.(V_Rdc)	2734.34	2734.34	2734.34
Shear Strength by Rebar.(V_Rds)	7342.69	7342.69	7342.69
Using Shear Reinf. (Asw)	0.0000	0.0000	0.0000
Using Stirrups Spacing	4.0-P20 @0	4.0-P20 @0	4.0-P20 @0
Check Ratio	0.7580	0.7580	0.7580

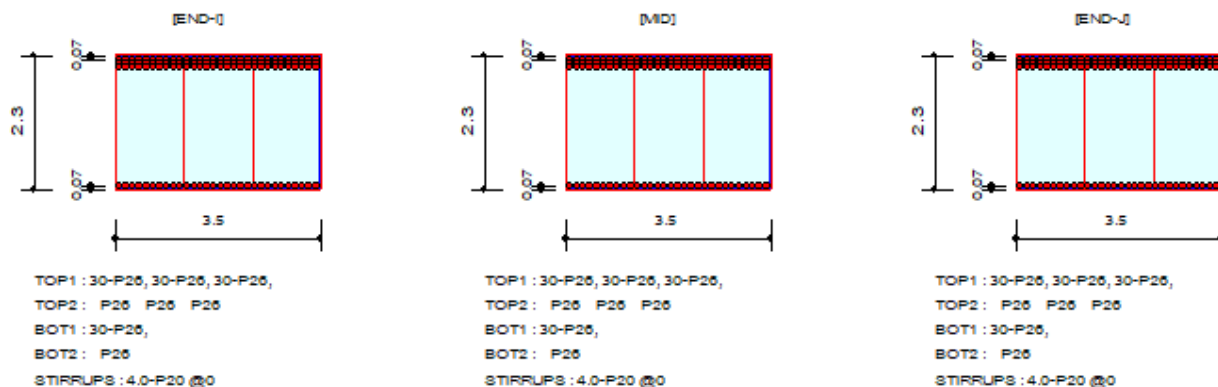
21.3. PILA P2

L'armatura prevista per il pulvino è costituita da 3 strati di ferri Ø26 con staffe a sei braccia Ø22.

1. Design Information

Design Code : Eurocode2-2:05
Unit System : kN, m
Material Data : $f_{ck} = 30000$, $f_{yk} = 450000$, $f_{yw} = 450000$ KPa
Beam Span : 1.8 m
Section Property : pulv_350x230 (No : 54)

2. Section Diagram



3. Bending Moment Capacity

	END-I	MID	END-J
Negative Moment (M_Ed)	18501.53	16309.66	11925.92
(-) Load Combination No.	1-	1-	1-
Factored Strength (M_Rd)	37313.04	37313.04	37313.04
Check Ratio (M_Ed/M_Rd)	0.4958	0.4371	0.3196

4. Shear Capacity

	END-I	MID	END-J
Load Combination No.	1-	1-	1-
Factored Shear Force (V_Ed)	4870.87	4870.87	4870.87
Shear Strength by Conc.(V_Rdc)	3155.41	3155.41	3155.41
Shear Strength by Rebar.(V_Rds)	9554.34	9554.34	9554.34
Using Shear Reinf. (Asw)	0.0000	0.0000	0.0000
Using Stirrups Spacing	4.0-P20 @0	4.0-P20 @0	4.0-P20 @0
Check Ratio	0.5098	0.5098	0.5098

PROGETTAZIONE ATI:

GPI INGEGNERIA

GESTIONE PROGETTI INGEGNERIA srl


cooprogetti


engeko


AIM
Studio di Architettura e Ingegneria Moderna

Pag. 235 di
240

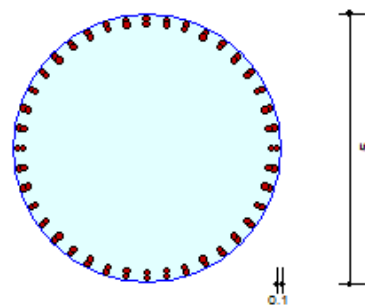
21.1. FUSTO PILA

La pila P1 ha una altezza maggiore rispetto le altre pile, pertanto alla base viene previsto un ringrosso della sezione.

21.2. RINGROSSO BASE PILA P1

1. Design Condition

Design Code	Eurocode2-2:05		
Unit System	kN, m		
Member Number	4112 (PM), 4112 (Shear)		
Material Data	$f_{ck} = 30000$, $f_{yk} = 450000$, $f_{yw} = 450000$ KPa		
Column Height	2.04286 m		
Section Property	pila_salvagente (No : 61)		
Rebar Pattern	Layer 1	Pos 1	Pos 2
	40-P26,26	--	--
	Layer 2	40-P26,26	--
Total Rebar Area	$A_{st} = 0.04248 \text{ m}^2$ ($\rho_{st} = 0.0022$)		



2. Applied Loads

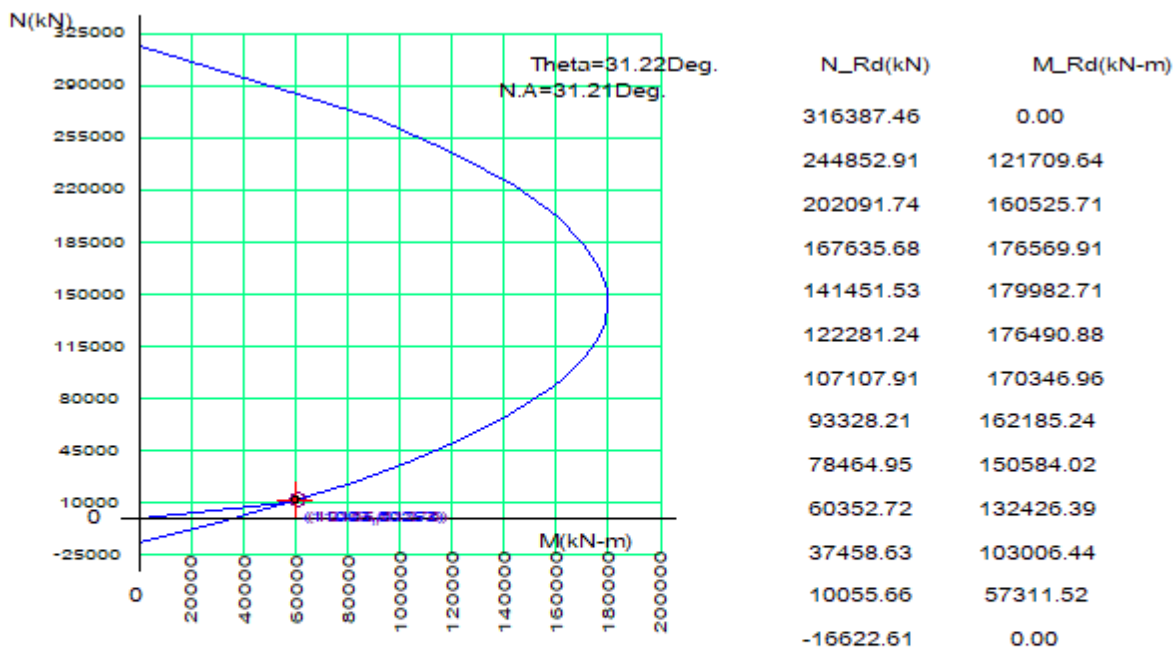
Load Combination 4 AT (I) Point

$$N_{Ed} = 11993.1 \text{ kN}, \quad M_{Edy} = 51533.1, \quad M_{Edz} = 31220.2, \quad M_{Ed} = 60252.5 \text{ kN-m}$$

3. Axial Forces and Moments Resistance Check

Concentric Max. Axial Load	$N_{Rdmax} = 3.2e+05 \text{ kN}$
Axial Load Ratio	$N_{Ed}/N_{Rd} = 11993.1 / 12164.6 = 0.986 < 1.000 \dots \text{O.K.}$
Moment Ratio	$M_{Edy}/M_{Rdy} = 51533.1 / 52404.5 = 0.983 < 1.000 \dots \text{O.K.}$
	$M_{Edz}/M_{Rdz} = 31220.2 / 31756.6 = 0.983 < 1.000 \dots \text{O.K.}$
	$M_{Ed}/M_{Rd} = 60252.5 / 61275.7 = 0.983 < 1.000 \dots \text{O.K.}$

4. P-M Interaction Diagram



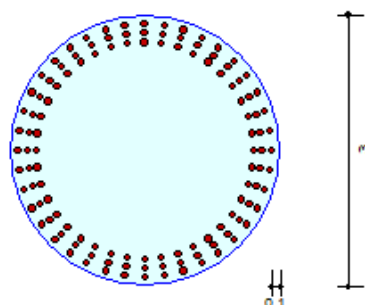
5. Shear Force Resistance Check

Applied Shear Resistance V_{Ed} = 4162.63 kN (Load Combination 4)
 Shear Strength by Conc V_{Rdc} = 5531.30 kN
 Shear Resistance by Rebar V_{Rds} = 6771.23 kN (2.0-P20 @0)
 Shear Ratio V_{Ed}/V_{Rd} = $4162.63 / 5531.30$ = 0.753 < 1.000 O.K

21.3. SEZIONE TIPICA Ø3000

1. Design Condition

Design Code	Eurocode2-2:05		
Unit System	kN, m		
Member Number	4111 (PM), 4110 (Shear)		
Material Data	$fck = 30000$, $fyk = 450000$, $fyw = 450000$ KPa		
Column Height	2.04286 m		
Section Property	pila (No : 60)		
Rebar Pattern	Pos 1	Pos 2	Pos 3
	Layer 1	40-P32,32	--
	Layer 2	40-P32,32	--
	Layer 3	40-P26,26	--
Total Rebar Area $Ast = 0.08556 \text{ m}^2$ ($Rhost = 0.0121$)			



2. Applied Loads

Load Combination 4 AT (I) Point
 $N_{Ed} = 13935.5 \text{ kN}$, $M_{Edy} = 44703.9$, $M_{Edz} = 16946.9$, $M_{Ed} = 47808.3 \text{ kN-m}$

PROGETTAZIONE ATI:

GPI INGEGNERIA
GESTIONE PROGETTI INGEGNERIA srl

 **cooprogetti**

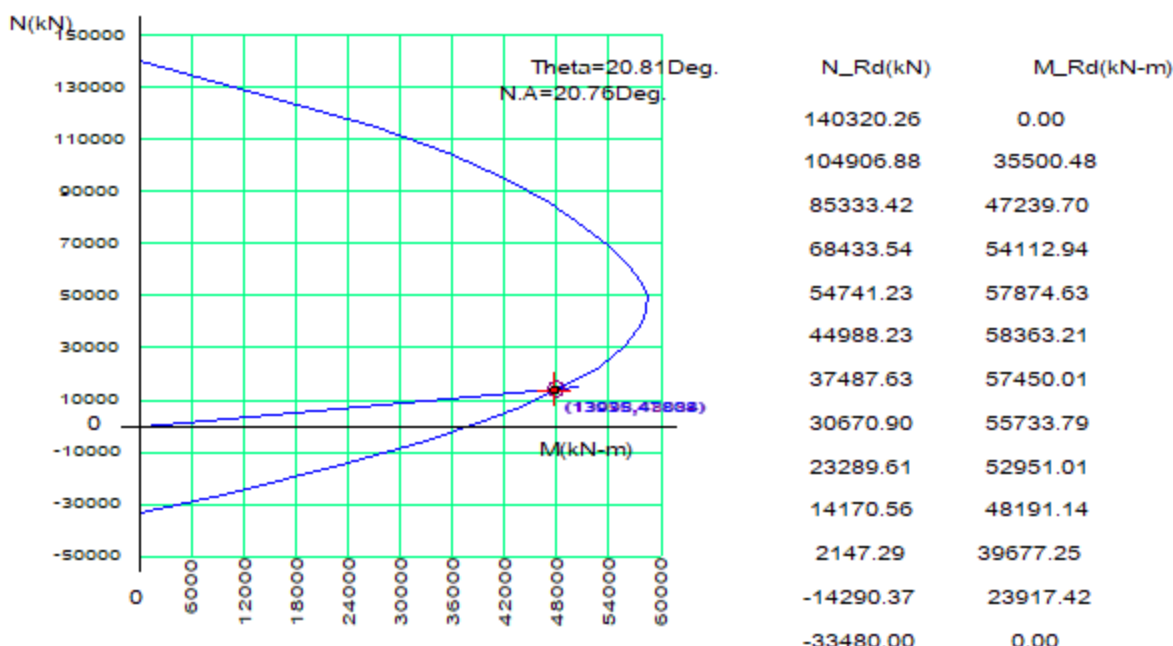



Studio di Architettura e Ingegneria Moderna

3. Axial Forces and Moments Resistance Check

Concentric Max. Axial Load	N_Rdmax	= 1.4e+05 kN
Axial Load Ratio	N_Ed/N_Rd	= 13935.5 / 13997.6 = 0.996 < 1.000 O.K
Moment Ratio	M_Edy/M_Rdy	= 44703.9 / 44948.3 = 0.995 < 1.000 O.K
	M_Edz/M_Rdz	= 16946.9 / 17079.8 = 0.992 < 1.000 O.K
	M_Ed/M_Rd	= 47808.3 / 48084.0 = 0.994 < 1.000 O.K

4. P-M Interaction Diagram



5. Shear Force Resistance Check

Applied Shear Resistance	V_Ed	= 3351.84 kN (Load Combination 4)
Shear Strength by Conc	V_Rdc	= 3375.79 kN
Shear Resistance by Rebar	V_Rds	= 9119.68 kN (4.0-P20 @0)
Shear Ratio	V_Ed/V_Rd	= 3351.84 / 3375.79 = 0.993 < 1.000 O.K

22. ACCETTABILITÀ DEI RISULTATI (CAP.10.2 NTC2018)

Verifica dei risultati

Nel corso della progettazione sono state effettuate continue validazioni dei valori delle sollecitazioni, nei diversi elementi strutturali, emersi dal calcolo e delle verifiche condotte dal post processore del programma MIDAS GEN 2020 ver.3.2: tali calcolazioni di controllo sono state condotte con metodi consolidati della scienza delle costruzioni o con l'ausilio di altri software o fogli di calcolo.

PROGETTAZIONE ATI:

GPI INGEGNERIA

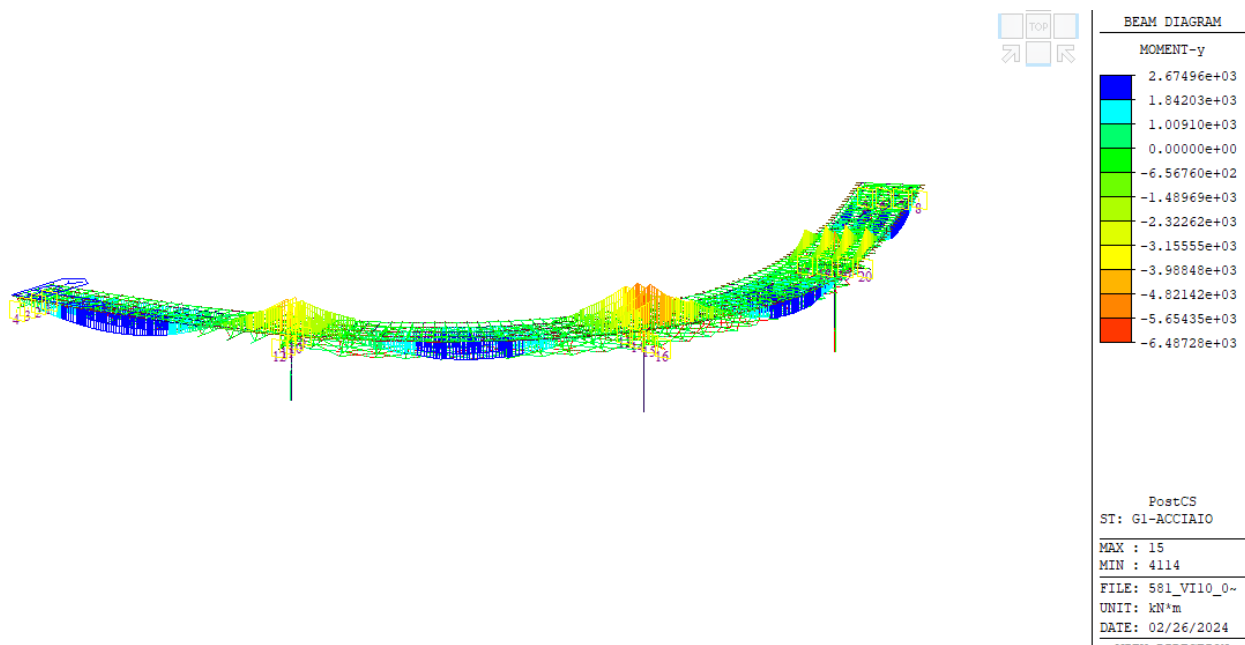
GESTIONE PROGETTI INGEGNERIA srl

cooprogetti

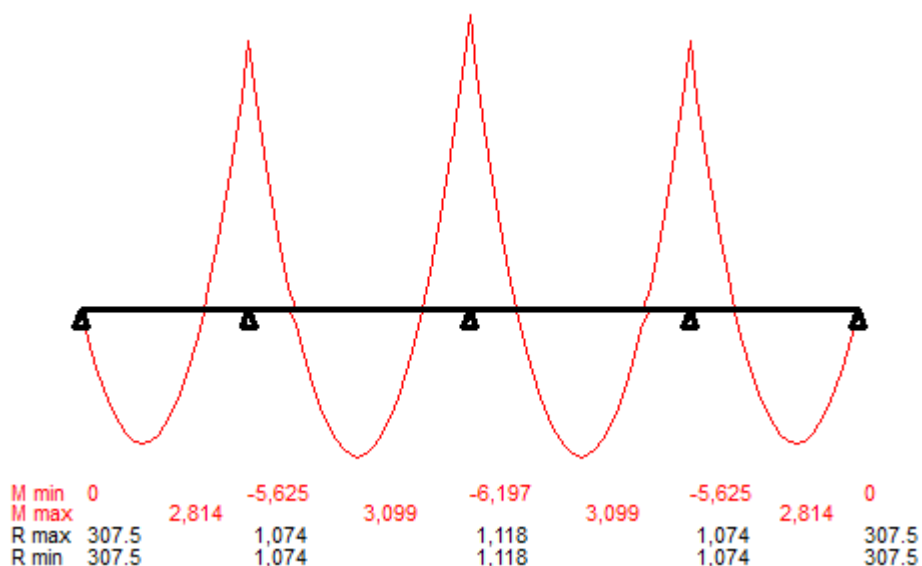
 **engeko**
Studio di Architettura e Ingegneria Moderna

Pag. 238 di
240

E' possibile fare un confronto con le sollecitazioni indotte da una carico permanente, considerando infatti la condizione di carico della struttura metallica ad esempio si ha il seguente diagramma di sollecitazioni.



La geometria complessa non consente una facile schematizzazione semplificata, ad ogni modo, considerando in modo semplificato (programma “trave continua” P.Gelfi) uno schema a trave continua con la medesima sezione si ha per la trave esterna, che per effetto della curvatura ha delle luci centrali di sviluppo maggiore 65.5m invece dei 62m in asse impalcato, a parità di carico:



La distribuzione dei momenti flettenti è congruente, sebbene per effetto del cambio di sezione vi siano variazioni poco significative dell'ordine del 5% con quello che si ottiene con il modello di calcolo fem adottato per il dimensionamento della struttura.

Giudizio motivato di accettabilità

Dalle verifiche effettuate e sopra descritte appare evidente l'accettabilità dei risultati ottenuti, in quanto i valori qui determinati risultano coerenti a quelli emersi dal calcolo effettuato con l'ausilio del software.